

იგანე ჯავახიშვილის სახელობის თბილისის სახელმწიფო უნივერსიტეტი

სათურა პობერიძე

ზუსტ და საბუნებისმეტყველო მეცნიერებათა ფაკულტეტი
ქიმიის მიმართულება

უჯერი ციკლური ფრაგმენტების შემცველი სილიციუმორგანული
ოლიგომერების სინთეზი, კვლევა და კომპოზიციები მათ ბაზაზე

ს ა დ ო ქ ტ ო რ ო დ ო ს ე რ ტ ა ც ო ა

ხელმძღვანელები:

პროგრამის ხელმძღვანელი:
სრული პროფესორი,
ქიმიის მეცნიერებათა დოქტორი

ომარ მუქბანიანი

სამეცნიერო ხელმძღვანელი:
სრული პროფესორი,
ქიმიის მეცნიერებათა დოქტორი

ომარ მუქბანიანი



თბილისი 2009 წელი

სარჩევი

შესავალი	3
1. ლიტერატურის მიმოხილვა	7
1.1. ორგანოების პიდროლიზური და ჰეტეროფუნქციური კონდენსაცია	7
1.2. დიენური ნაერთების პიდროსილილირების რეაქციები	18
1.3. მეთილპიდრიდსილოქსანების პიდროსილილირების რეაქციები უჯერ ნაერთებთან	29
2. სამუშაოს შედეგები და მათი განსჯა	40
2.1. სილაციკლოპენტენ-3 ჯგუფის შემცველი ზოგიერთი სილიციუმორგანული ნაერთის სინთეზი	40
2.2. ციკლური და ხაზოვანი ორგანოსილოქსანები ნორბორნენ-2-ილ ჯგუფებით სილიციუმის აცომთან	45
2.3. მეთილპიდრიდსილოქსანების პიდრიდული მიერთების რეაქციები ცის-1,5-ციკლოპენტადიენთან და 3,4-დიპიდრო-2H-ჰეტეროპირანთან	49
2.4. მეთილპიდრიდსილოქსან(დიმეთილსილოქსან)ის პიდროსილილირების რეაქცია ტრიციკლოდეპადიენთან	58
2.5. α,ω-ბის(ტრიმეთილსილოქსი)მეთილპიდრიდსილოქსანის პიდროსილილირების რეაქცია ციკლოპენტა-1,3-დიენთან	70
2.6. პოლიმერული კომპოზიციები ნორბორნენის და ზოგიერთი სხვა ფუნქციური ჯგუფების შემცველი პოლიორგანოსილოქ- სანების საფუძველზე	85
3. ექსპერიმენტული ნაწილი	95
3.1. ინსტრუმენტული გამოკვლევები	95
3.2. საწყისი ნახევარპროდუქტების დახასიათება	96
3.3. სილაციკლოპენტენ-3 ჯგუფის შემცველი სილიციუმორგანული ნაერთების სინთეზი	96
3.4. ნორბორნენ-2-ილ ჯგუფის შემცველი ციკლური და ხაზოვანი ორგანისილოქსანების სინთეზი	98
3.5. α,ω-ბის(ტრიმეთილსილოქსი) მეთილპიდრიდსილოქსან(დიმეთილ- სილოქსან)ის პიდროსილილირების რეაქციები	100
3.6. პოლიმერული კომპოზიციების მიღება	102
დასაგნები	103
გამოყენებული ლიტერატურა	105

შესავალი

სილიციუმორგანული პოლიმერები თავისი განსაკუთრებული კომპლექსური თვისებების გამო, როგორიცაა მაღალი თერმული და თერმოეანგვითი სტაბილურობა, დაბალი გამინებისა და კრისტალიზაციის ტემპერატურა, სხვადასხვა ფიზიკური მაჩვენებლების ნაკლებდამოკიდებულება ტემპერატურაზე, ატმოსფეროსა და სინათლის სხივებისადმი მდგრადობა, ფართოდ გამოიყენებიან ტექნიკის სხვადასხვა დარგში.

საზოგანი ოლიგომეთილჰიდროიდსილოქსანი წარმოადგენს საინტერესო საწყის მასალას სავარცხლისებური პოლიმერების სინთეზისათვის, მათ ბაზაზე მიღებულ პოლიმერებს შეიძლება გააჩნდეთ ისეთი თვისებები როგორიცაა პრო-ან ანგი-ადჰეზიურობა, ამფიფილურობა ან ჰიდროფობურობა, თხევადკრისტალური ბუნება და ზედაპირულად აქტიურობა; წარმოადგენს გამკერავ აგენტებს, გამტარებს და არახაზოვან ოპტიკურ მასალებს, ელექტროლუმინესცენციური და ბაქტერიციდული თვისებების მქონე პოლიმერებს. აღნიშნული პოლიმერების მიღების საუკეთესო გზას წარმოადგენს ჰიდროსილიორების რეაქციები მს-H აქტიურ ჯგუფსა და უჯერი ბმის შემცველ ნაერთებს შორის [1-10].

მრავალი კომერციული პოლიდიორგანოსილოქსანური პოლიმერი, დღესდღუობით ფართოდ გამოიყენება მრეწველობასა და ყოველდღიურ ცხოვრებაში ისეთი შესანიშნავი თვისებების გამო, როგორიცაა თერმომდგრადობა, გარემო პირობებისადმი მდგრადობა და კარგი ელექტრული თვისებები. ამასთან, პოლიორგანოსილოქსანები, როგორც წესი, ხასიათდებიან დაბალი გამინების ტემპერატურით გამომდინარე ძირითადი ჯაჭვის მოქნილობიდან [11, 12].

უკანასკნელ ხანებში დიდი ყურადღება მიიკურო სავარცხლისებური აგებულების თანაპოლიმერებმა, სადაც ჰიდროფობური თვისებების მქონე მეთილსილოქსანურ მატრიცასთან დაკავშირებულია სხვადასხვა ტიპის, სიგრძის და ბუნების ორგანული ჩამნაცვლებელი ჯგუფები, რომელთა ვარირებით შეიძლება აღნიშნული პოლიმერების თვისებების ცვლილება და მათი ფართო გამოყენება სხვადასხვა სფეროში. სავარცხლისებური აგებულების თანაპოლიმერებიდან აღსანიშნავია მეთილსილოქსანური თანაპოლიმერები სხვადასხვა კლასიკური მეზობენური ჯგუფებით გვერდით ჯაჭვში, რაც თანაპოლიმერებს თხევადკრისტალურ ბუნებას ანიჭებს [13-15]. თუმცა აღსანიშნავია, რომ პოლიდიალკილსილოქსანებში ძირითადი ჯაჭვისაგან დამოუკიდებლად მეზომორფული მდგრადების წარმოქმნა შეიმჩნევა უმთავრესად არაკლასიკური მეზოგენური ჯგუფების შემცველი ალკილური (ეთოლი, პროპილი) ჩამნაცვლებლების გარკვეული სიგრძეების დროს ($R=C_nH_{2n+1}$, $n\geq 2$) [16, 17]. აღსანიშნავია, რომ მეზოფაზის ტემპერატურული ინტეგრალი, თავის მხრივ, დამოკიდებულია ჩამნაცვლებელი ჯგუფების სიგრძეზე. ეს დასკვნა შეიძლება გავაკეთოთ პოლიდიპროპილსილოქსანიდან პოლიდიეთოლსილოქსანზე გადასვლისას მეზოფაზის ტემპერატურული ინტერვალის მკვეთრი ზრდიდან [18]. ამდენად, სხვადასხვა ორგანული ჩამნაცვლებელი და ფუნქციური ჯგუფების შემცველი ახალი ორგანოსილოქსანური ოლიგომერებისა და პოლიმერების სინთეზი და კვლევა აქტიულურ პრობლემას წარმოადგენს.

უკანასკნელ ხანებში დიდი სამეცნიერო და საწარმოო ინტერესი ენიჭება სილიკააეროგელების მიღებას. ისინი ხასიათდებიან მაღალი ფორმუნებით, აქვთ დაბალი სიმკვრივე და თერმოგამტარობა, დიდი ზედაპირის ფართობი და გამჭვირვალობა. სილიკააეროგელები გამოიყენებიან ჩერენკოვის რადიაციულ დეტექტორების სინთეზი და კვლევა აქტიულურ პრობლემას წარმოადგენს.

რებში, მაღალი ენერგიების ფიზიკაში, თერმულ და აკუსტიკურ სუპერიზოლატორებად სხვადასხვა სფეროში. ასევე ისინი გამოიყენებიან თერმობირთვულ სინთეზში და ჰეტეროგენული კატალიზატორების მატარებლებად. სილიკააეროგელები, როგორც წესი, შედგებიან SiO_2 -ისგან, თუმცა დღესდღეობით დიდ ინტერესს იწვევს ორგანული რადიკალების შემცველი სილიკააეროგელების სინთეზი ჰიდროფოტურობის გაზრდის მიზნით. ამდენად, სილიკააეროგელების სინთეზისათვის დიდი მნიშვნელობა ენიჭება ახალი საწყისი მასალების მიღებას [19, 20].

ბოლო ხანებში, ახალი ფოტოლუმინისცენციური და, მათ შორის, სავარცხლისებური აგებულების თხევადკრისტალური თვისებების მქონე მეთილსილოქსანური ოლიგომერების და პოლიმერების სინთეზისათვის ფართოდ გამოიყენება მეთილჰიდრიდსილოქსანების ქიმიური მოდიფიკაციის რეაქციები. სავარცხლისმაგვარი აგებულების მეთილჰიდრიდსილოქსანური ოლიგომერების და პოლიმერების სინთეზის ორი უმთავრესი გზა არსებობს; ეს არის აქტიურ $\equiv\text{Si}-\text{H}$ ბმის ჰიდროსილიდირების და დეტიდროკონდენსაციის რეაქციები უჯერი და აქტიური წყალბადის შემცველ ნაერთებთან.

ჰიდროსილიდირება კვლავ რჩება ფართო შესწავლის საგნად და გარდამავალი მეტალების როლი მნიშვნელოვანია აღნიშნულ კვლევებში. კვლევების შედეგები დამოკიდებულია უჯერი ნაერთებისა და სილანების სტრუქტურაზე, ასევე კატალიზატორის ბუნებაზე და რეაქციის ჩატარების პირობებზე [21].

ამდენად, მეთილჰიდრიდსილოქსანური ოლიგომერების მოდიფიკაციის რეაქციები, ახალი ტიპის სავარცხლისმაგვარი აგებულების სილოქსანური ოლიგომერების მიღების მიზნით, აქტიულურ პრობლემას წარმოადგენს.

მეთილ- და ეთილჰიდრიდსილოქსანების ქიმიური მოდიფიკაციის რეაქციებით თხევადკრისტალური ბუნების პოლიმერების მიღების მიმართულებით მრავალი ინფორმაცია არსებობს [22]. ამდენად, ამ მიმართულებით ლიტერატურას ჩვენ არ განვიხილავთ. მეთილჰიდრიდსილოქსანების ქიმიური მოდიფიკაციის მიმართულებით არსებულ მასალას და გამოყენებულ სინთეზის მეთოდებს ჩვენ განვიხილავთ სადისერტაციო მასალის განსჯასთან ერთად.

სამუშაოს მიზანს წარმოადგენს: უჯერი ბმების და ფუნქციური ჯგუფების შემცველი ახალი სილიციუმორგანული ნაერთების მიღება; მეთილჰიდრიდსილოქსანების და დიმეთილსილოქსან-მეთილვინილსილოქსანური ოლიგომერების ქიმიური მოდიფიკაციის რეაქციების გამოყენებით ახალი, გვერდით ჯაჭვში სხვადასხვა ჯგუფების შემცველი მეთილსილოქსანური ოლიგომერების სინთეზის პრაკტიკული მეთოდების შემუშავება; მიღებული თლიგომერების და პოლიმერების ფიზიკურ-ქიმიური თვისებების შესწავლა და მათი პრაქტიკაში გამოყენების გზების ძიება.

მუციურული სისხლე:

- შესწავლით 1,1-დიქლორსილაციკლოპენტენ-3-ის ნაწილობრივი და სრული ჰიდროლიზური კონდენსაციის რეაქციები, როგორც ნეიტრალურ, ისე მჟავა არეში და დასინთეზებულია შესაბამისი დიპიდროქსი- და დიქლორწარმოებულები. 1,1-დიქლორსილაციკლოპენტენ-3-ის ჰეტეროფუნქციური კონდენსაციის რეაქციებით დიპიდროქსიდიფენილსილანთან, მორეაგირე კომპონენტების სხვადასხვა თანაფარდობით, მიღებულია სილაციკლოპენტენ-3-ის უჯერი ციკლების შემცველი როგორც ხაზოვანი, ასევე ციკლური აღნაგობის სილიციუმორგანული ნაერთები. მიღებული ნაერთების შედგენილობა და აღნაგობა დადგენილია ფუნქციური და ელემენტური ანალიზით, მოლეკულური მასებისა და რეფრაქციის განსაზღვრით, აგრეთვე იწ სპექტრების მონაცემებით.
- შესწავლით მეთილვინილდიქლორსილანის და ვინილტრიქლორსილანის ციკლოპენტადიენთან დილს-ალდერის რეაქციები და რაოდენობრივი გამოსავლია-

ნობით მიღებულია მეთილნორბონენდი- და ნორბორნენ-ტრიქლორსილანი. შესწავლილია დი- და ტრიქლორსილანების ნაწილობრივი და სრული პიდროლიზის რეაქციები და მიღებულია შესაბამისი პიდროქსილანები და ქლორსილოქსანები. მეთილნორბორნენდიქლორსილანის ჰეტეროფუნქციური კონდენსაციის რეაქციებით 1,3-დიპიდროქსიტეტრამეთილდისილოქსანთან და 1,5-დიპიდროქსიპექსამეთილტრისილოქსანთან აქცეპტორის-ანილინის თანაობისას მიღებულია შესაბამისი ციკლოტრი- და ტეტრასილოქსანები. დასინთეზებული ახალი სილიციუმორგანული ნაერთების აღნაგობა დამტკიცებულია კვლევის ფიზიკურ-ქიმიური მეთოდებით.

- შესწავლილია α,ω-ბის(ტრიმეთილსილოქსი)მეთილპიდრიდსილოქსანის პიდროსილილირების რეაქციები არაშეუდლებული დიენური ტიპის ნაერთებთან: ტრიციკლოდეკადიენთან და ცის-1,5-ციკლოოქტადიენთან კატალიზატორების-პლატინაქლორწყალბადმჟავას და ნახშირბადზე დაფენილი პლატინის (Pt/C) თანაობისას. მიღებულია ორგანულ გამხსნელებში სსნადი, გვერდით ჯაჭვში უჯერი ფრაგმენტების შემცველი ოლიგომერები, რომლებიც წარმოადგენენ თერმორეაქტიულ ოლიგომერებს. გაცხელებისას ისინი ადვილად განიცდიან გელის წარმოქმნას სისტემაში არსებული კატალიზატორის ხარჯზე.
- პიდროსილილირების პროცესის უფრო ღრმად დახასიათებისათვის ნახევრად-ემპირიული ქვანტურ-ქიმიური AM1 მეთოდით, მოდელური ნაერთის-მეთილდიმეთოქსისილანის ტრიციკლოდეკადიენთან ურთიერთქმედების მოდელურ რეაქციაში გათვლილი რეაქციის წარმოქმნის სითბოს და აქტივაციის ენერგიის შენიშვნელობების შედარებიდან დადგენილია, რომ მიერთება მიმდინარეობს უმთავრესად 9-10 მდგომარეობაში, რაც თანხვდენაშია მეთილ-პიდრიდსილოქსანის ტრიციკლოდეკადიენთან მიერთების პროდუქტის ბმრ სპექტრულ მონაცემებთან.
- ჩატარებულია α,ω-ბის(ტრიმეთილსილოქსი)მეთილპიდრიდსილოქსანის პიდროსილილირების რეაქციები 3,4-დიპიდრო-2H-პირანთან კატალიზატორების-პლატინაქლორწყალბადმჟავას და ნახშირბადზე დაფენილი პლატინის (Pt/C) თანაობისას, 50-80°C ტემპერატურულ ინტერვალში. დასინთეზდა მეთილსილოქსანური ოლიგომერები ჰეტეროციკლური ფრაგმენტებით გვერდით ჯაჭვში.
- დადგენილია, რომ რეაქციის ჩატარებისას 70-80°C ტემპერატურულ ინტერვალში, განზავებული ტოლუოლის სსნარში, 15-25% აქტიური ≡Si-H ბმის კონვერსიის პირობებში ადგილი ჰქონდა შეკერილი სისტემების წარმოქმნას. სსნადი სისტემების მიღების მიზნით პიდროსილილირების რეაქციები ჩატარებულია პლატინაქლორწყალბადმჟავას თანაობისას აბსოლუტური ტოლუოლის სსნარში 50°C ტემპერატურაზე ან Pt/C კატალიზატორის თანაობისას 60-70°C ტემპერატურულ ინტერვალში.
- შესწავლილია α,ω-ბის(ტრიმეთილსილოქსი)მეთილპიდრიდსილოქსანის პიდროსილილირების რეაქციები შეუდლებულ დიენური ტიპის ციკლოპექსა-1,3-დიენთან კატალიზატორების პლატინაქლორწყალბადმჟავას და ნახშირბადზე დაფენილი პლატინის (Pt/C) თანაობისას. დადგენილია, რომ აქტიური ≡Si-H ბმის 80%-ის ზევით კონვერსიის დროს ადგილი აქვს გაპერვის რეაქციებს. სსნადი სისტემები მიღება 80% კონვერსიამდე. მიღებულია ორგანულ გამხსნელებში სსნადი, გვერდით ჯაჭვში უჯერი ჰეტენილის ფრაგმენტების შემცველი ოლიგომერები, რომლებიც წარმოადგენენ თერმორეაქტიულ სისტემებს. სისტემაში არსებული კატალიზატორის ხარჯზე, გაცხელებისას ადვილად ხდება გელის წარმოქმნა, რაც გამოწვეულია მაკრომოლეკულათშორისი გაკერვის რეაქციებით. დადგენილია, რომ მეთილპიდრიდსილოქსანის ციკლოპექსა-1,3-

დიენთან ჰიდროსილილირების რეაქცია საწყის სტადიებზე მეორე რიგისაა; გათვლილია რეაქციის სიჩარის მუდმივები ($60-80^{\circ}\text{C}$) და აქტივაციის ენერგია.

- ნახევრადემპირიული ქვანტურ-ქიმიური AM1 მეთოდით, მეთილდიმეთოქსილანის ციკლოპენ-1,3-დიენთან მიერთების მოდელურ რეაქციაში გათვლილია რეაქციის წარმოქმნის სითბოს და აქტივაციის ენერგიის მნიშვნელობები. თეორიული გათვლის შედეგები სრულ თანხვდენაშია ბმრ სპექტროსკოპული გამოკვლევების შედეგებთან, კერძოდ, დადგენილია, რომ α,ω-ბის(ტრიმეთოდ-სილოქსი)მეთილპიდრიდსილოქსანის ციკლოპენ-1,3-დიენთან ჰიდროსილილი-რება მიმდინარეობს როგორც 1,4-, ასევე 1,2- მიმართულებით.
- შესწავლილია ციკლოპენტადიენის დიმეთილსილოქსან-მეთილფინილსილოქსან-თან დილ-ალდერის რეაქციები და მიღებულია რეაქციისუნარიანი ნორბორნენის ჯგუფების შემცველი ორგანოსილოქსანები. აღნიშნული სილოქსანის ბაზაზე, აეროსილის, თუთიის თქსიდის, ტექნიკური ნახშირბადის და გამამყარებლის- დიეთილამინომეთილტრიეთოქსისილანის ან ორგანოციკლოტრისილოქსანეთილტრიეთოქსისილანის თანაობისას მიღებულია ახალი ელექტროგამტარი კომპოზიციები.
- კომპონენტების მოცემული შემადგენლობა უზრუნველყოფს კომპოზიციის სასურველ თვისებებს, რომლებიც საშუალებას იძლევა მიღწეულ იქნას სავარაუდო ტექნიკური შედეგები.

პრაქტიკული მნიშვნელობა:

- მიღებული სილაციკლოპენტენ-3 და ნორბორნენ-2-ილ ფრაგმენტების შემცველი საზოგანი და ციკლური აღნაგობის სილიციუმორგანული ნაერთები წარმოადგენენ პერსპექტიულ სისტემებს მათგან ახალი ტიპის სილიციუმორგანული ელასტომერების მისაღებად.
- დასინთეზებული სავარცხლისებური აგებულების ოლიგომერები ციკლო-ოქტენილის, ტრიციკლოდეცენილის და ციკლოპენენილის ჯგუფებით გვერდით ჯაჭვში წარმოადგენენ თერმორეაქტიულ სისტემებს და შესაძლებელია გამოყენებული იქნან კარბოჯაჭვური პოლიმერების მოდიფიკატორებად, სპეც-დანიშნულების ელასტომერების მისაღებად.
- რეაქციისუნარიანი ნორბორნენის ჯგუფების შემცველი ორგანოსილოქსანების ბაზაზე მიღებული ელექტროგამტარი სილიციუმორგანული კომპოზიციები შეიძლება გამოყენებულ იქნან სხვადასხვა დანიშნულების რეზისტორულ ელემენტებად. კერძოდ, ამ მასალებისაგან შეიძლება დამზადდეს მაღალი სტაბილურობის მქონე ტენზო- ან თერმოელემენტები, გამათბობლები (სხვადასხვა ნომინალის მუდმივი ან ცვალებადი დენისათვის), სანტიმეტრული დიაპაზონის ელექტრომაგნიტური ტალღების შთანთქმელები და სხვა.

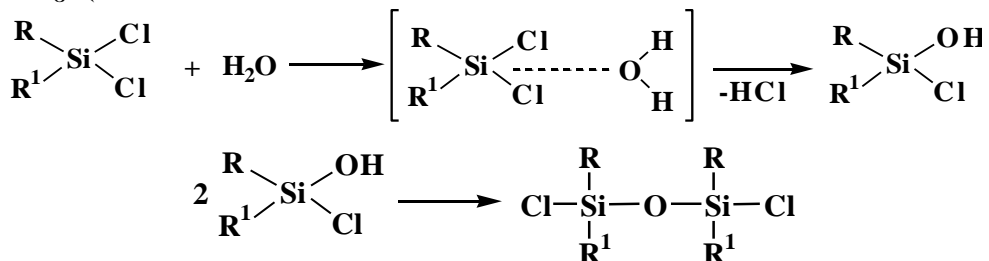
თავი 1

ლიტერატურის მიმოხილვა

1.1. ორგანოქლორისილანების ჰიდროლიზური და ჰეტეროფუნქციური კონდენსაცია

ციკლური და ხაზოვანი აღნაგობის ორგანოსილოქსანების სინთეზის ძირითად მეთოდებს წარმოადგენს დიფუნქციური სილიციუმორგანული ნაერთების ჰიდროლიზური და ჰეტეროფუნქციური კონდენსაციის რეაქციები.

ორგანოქლორისილანებსა და სილოქსანებში სილიციუმის ატომის ელექტროდადებითობა ხდის ამ ნაერთებს ბალზედ მგრძნობიარეს ნუკლეოფილური რეაგენტების მიმართ. რადგანაც $\equiv\text{Si}-\text{Cl}$ ბმა ავლენს ჰიდროლიზური მოხსელების დიდ უნარს, ამიტომ დიორგანოდიქლორისილანების წყალთან ურთიერთქმედების შედეგად მიიღება არამდგრადი ქლორპიდროქსილორგანოსილოქსანები [23], რომლებიც შემდგომში კონდენსირდებიან და წარმოქმნიან ხაზოვან ორგანოქლორისილოქსანებს დიდი გამოსავლიანობით.



დიფუნქციური მონომერების ჰიდროლიზის დროს ჭარბ წყალთან ადგილი აქვს ორ კონკურენტული რეაქციას: სრული ან ნაწილობრივი ჰიდროლიზის პროდუქტების საფეხურებრივი კონდენსაციას, რომელსაც თან ახლავს ხაზოვანი პოლიმერების წარმოქმნა და პროცესი, რომელიც მიდის ციკლური ორგანოსილოქსანების წარმოქმნამდე [24].

რეაქციის მიმართულების ძირითადი განმსაზღვრელი ფაქტორებია: სარეაქციო არის მჟავურობა, გამხსნელის პოლარობა, ფუნქციური ჯგუფების ბუნება, სილიციუმის ატომთან დაკავშირებული ორგანული რადიკალის სიდიდე და ა.შ.

ჰიდროლიზის რეაქციის ჩატარება ძლიერ მჟავა არეში გამხსნელის თანაობისას ხელს უწყობს მცირე მოლექულური მასის მქონე ციკლური ან ხაზოვანი ოლიგომერების წარმოქმნას [25].

სხვაგვარად მიმდინარეობს დიფუნქციური მონომერების ჰიდროლიზი ტუტეარეში. ჰიდროლიზის პროცესში გამოყოფილი ქლორწყალბადის განეიტრალიზაციით ძლიერ აფერხებს მოლექულების კონდენსაციას ჰიდროქსილურ ჯგუფებთან, რის შედეგადაც ხდება შუალედური პროდუქტების $\text{R}_2\text{Si}(\text{OH})\text{Cl}$ და $\text{R}_2\text{Si}(\text{OH})_2$ დაგროვება, რაც იწვევს ძირითადად ხაზოვანი პოლიმერების წარმოქმნას. ზოგიერთ შემთხვევაში შესაძლებელი ხდება დიორგანოდიპიდროქსილანების გამოყოფა.

დადგენილია, რომ მაღალი სტაბილურობით ხასიათდებიან დიორგანოდიპიდროქსილანები დიდი ზომის რადიკალებით და უარყოფითი ინდუქციური ეფექტის მქონე ჯგუფებით სილიციუმის ატომთან. მაგალითად, საკმაოდ მდგრადები არიან $(\text{C}_6\text{H}_5)_2\text{Si}(\text{OH})_2$ და მესამეული - $(\text{C}_4\text{H}_9)_2\text{Si}(\text{OH})_2$ [26].

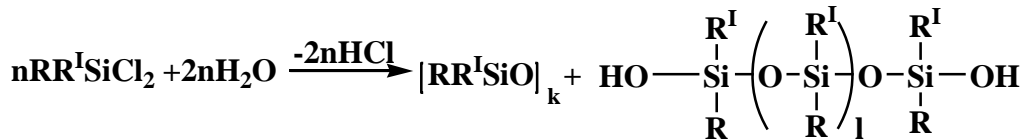
უმაღლესი ალკილმეთილ- და ალკილეთილდიპიდროქსილანები მიღებულ იქნა უმაღლესი ალკილმეთილ- და ალკილეთილდიქლორისილანების ჰიდროლიზით

ქლორწყალბადის აქცეპტორის - ანილინის თანაობისას ეთერის არეში შემდეგი სქემის მიხედვით [27]:



ამ პროცესში გამოსავლიანობა შეადგენს 70-80%.

უმაღლესი ალკილმეთილ- და ალკილეთილდიქლოსილანების ჰიდროლიზით ქლორწყალბადის აქცეპტორის გარეშე მიიღება ციკლური და ხაზოვანი პროდუქტების ნარევი შემდეგი სქემის მიხედვით [27]:



სადაც $l=1,2,3$; $K=3,4,5$; $R=\text{C}_6\text{H}_5, \text{C}_8\text{H}_{17}, \text{o-C}_8\text{H}_{17}, \text{o-C}_9\text{H}_{19}; R^1=\text{CH}_3, \text{C}_2\text{H}_5$.

შესწავლილია ალკილ(არილალკილ)-, ალკილ(დიარილალკილ)- და ალკილ(დიარილალკენილ)დიქლორსილანების ჰიდროლიზის რეაქციები სხვადასხვა პირობებში [28].

სხვადასხვა დიქლორსილანების ჰიდროლიზით ტუტე არეში გამოყოფილია შესაბამისი დიპიდროქსიდიორგანოსილანები, რომელთა წარმოქმნა მიმდინარეობდა შემდეგი სქემის მიხედვით:



სადაც: $R=\text{PhCH}_2-\text{CH}(\text{Ph})-$, $R^1=\text{CH}_3$;

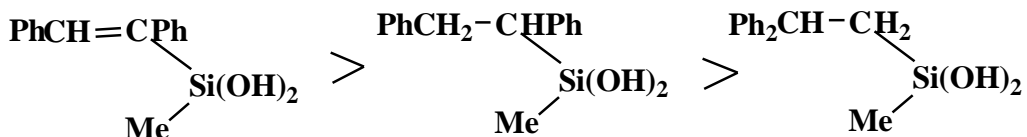
$R=\text{Ph}_2\text{CH}-\text{CH}_2-$, $R^1=\text{CH}_3$;

$R=\text{Ph}_2\text{CH}-\text{CH}_2-$, $R^1=\text{C}_2\text{H}_5$;

$R=\text{PhCH}_2-\text{CH}(\text{Ph})-$, $R^1=\text{C}_2\text{H}_5$;

$R=\text{PhCH}=\text{CPh}-$, $R^1=\text{CH}_3$.

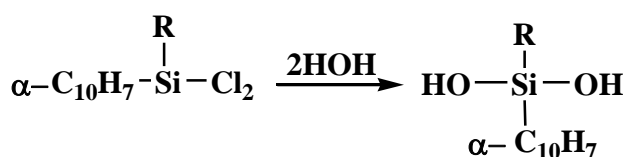
აღმოჩენილია, რომ დიპიდროქსიდიორგანოსილანების ჰიდროლიზური მდგრადობა იზრდება რიგში:



ჰიდროქსიჯგუფების სტაბილურობას სილანოლური კონდენსაციების მიმართ ავტორები ხსნიან ფენილური რადიკალების მაეკრანირებელი ეფექტით სილიციუმის ატომზე.

ლიტერატურაში არსებობს მონაცემები დიფუნქციური α -ნაფტალინის რადიკალის შემცველი ორგანოქლორსილანების ჰიდროლიზის შესახებ [29, 30].

α -ნაფტილალკილდიქლორსილანების ჰიდროლიზით ტუტე არეში მიღებული და დახასიათებულია შესაბამისი დიპიდროქსილანები [30]:



სადაც: $R=\text{CH}_3, \text{C}_2\text{H}_5$.

ე.ა. ჩერნიშევისა და მისი თანამშრომლების მიერ [29] ჩატარებულია α -ნაფტილორგანოდიქლორსილანების ჰიდროლიზი, როგორც მჟავა არეში, ასევე

აქცეპტორის-პირიდინის თანაობისას და მიღებულია 1,3-დიქლორდიორგანო-ა-დი-ნაფტილდისილოქსანები.

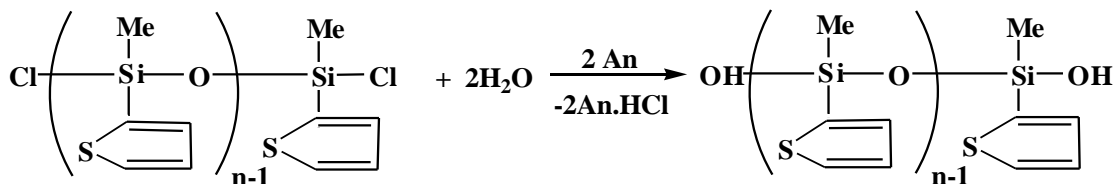
ა,ვ-დიქლორ-1,4-ბის(დიორგანოსილილ)დიპიდრონაფტილენსილოქსანების ჰიდროლიზის შედეგად ტუტე არეში დასინთეზებულია შესაბამისი ა,ვ-დიპიდროქსი-1,4-ბის(დიორგანოსილილ)დიპიდრონაფტილენსილოქსანები [31, 32].

შესწავლილია დიციკლოპენტენილმეთილდიქლოსილანის ჰიდროლიზის რეაქცია ეთერის არეში KOH-ის თანაობისას, რის შედეგადაც მიღებულია შესაბამისი დიციკლოპენტენილის რადიკალის შემცველი დიპიდროქსისილანი და 1,3-დიპიდროქსილოქსანი [33].

მეთილთიერილდიქლორსილანის ჰიდროლიზური კონდენსაციის რეაქციის ჩატარებისას ნატრიუმის ბიკარბონატის თანაობისას გამოყოფილი იქნა ექს და რვაწევრიანი ორგანოციკლოსილოქსანები თიენილის რადიკალებით სილიციუმის ატომთან [34].

ანალოგიურად მიღებულია ექს- და რვაწევრიანი ორგანოციკლოსილოქსანები ფურანული ჯგუფებით სილიციუმის ატომთან [34].

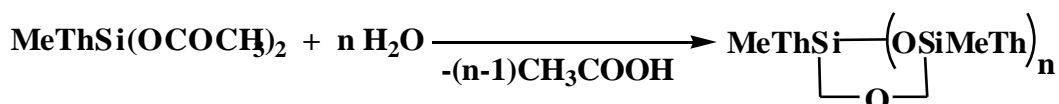
მეთილთიერილდიქლორსილანისა და ა,ვ-დიქლორმეთილთიერილსილოქსანების ჰიდროლიზის ჩატარებისას დაბალი ტემპერატურის პირობებში ქლორწყალბადის აქცეპტორის – ანილინის თანაობისას მიღებულია შესაბამისი ჰიდროქსილოებულები შემდეგი სქემის მიხედვით [35]:



სადაც $n=1; 2; 3; 10$.

მეთილთიერილდიქლორსილანის ჰიდროლიზური კონდენსაციის რეაქციების შესწავლამ ძლიერ მეტა არეში აჩვენა, რომ მეთილთიერილციკლოსილოქსანების მცირე გამოსავლიანობა გამოწვეულია Si-ის ატომთან დაკავშირებული თიენილის რადიკალების მოხლეებით.

ავტორების მიერ [35] შესწავლილია მეთილთიერილდიაცეტოქსისილანის ჰიდროლიზური კონდენსაცია სხვადასხვა ტემპერატურაზე და გამოყოფილია ექს- და რვაწევრიანი მეთილთიერილციკლოსილოქსანების ნარევი საერთო გამოსავლიანობით 70%. რეაქცია მიღის შემდეგი სქემით:



სადაც $\text{Th}=\begin{array}{c} \text{C}_6\text{H}_4 \\ | \\ \text{S} \end{array}$; $n=2;3$.

დადგენილია, რომ რეაქციის ჩატარებისას დაბალ ტემპერატურაზე უმთავრესად წარმოიქმნება ექსწევრიანი ციკლები, ხოლო ოთახის ტემპერატურაზე - რვაწევრიანი ციკლები.

როგორ საკითხს წარმოადგენს ტრიფუნქციური ორგანოსილანების ჰიდროლიზური კონდენსაციის რეაქციების შედეგად მიღებული ნაერთების შედგენილობისა და აღნაგობის დადგენა.

სილიციუმის ატომთან ორგანული რადიკალების განსაზღვრული განლაგების მქონე ორგანოციკლოსილოქსანების სინთეზისათვის გამოიყენება ჰეტეროფუნქციური კონდენსაციის რეაქცია (პფპ).

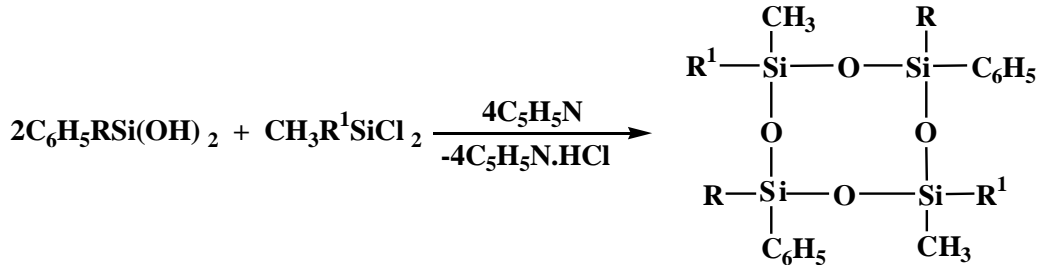
ჰეტეროფუნქციური კონდენსაციის რეაქცია საშუალებას იძლევა მიღებულიქნას ორგანოციკლოსილოქსანები, ორგორც სილიციუმის ატომთან ფუნქციური ჯგუფებით, ისე ფუნქციური ჯგუფების გარეშეც.

რეაქცია მიმდინარეობს ორგორც ჰეტეროგენულ, ასევე ჰომოგენურ გარემოში. რეაქციის სიჩქარე დამოკიდებულია სილიციუმის ატომთან მდგომი ორგანული რადიკალების ბუნებაზე და რეაქციის ტემპერატურაზე.

დიორგანოდიქლორსილანების ჰეტეროფუნქციურ კონდენსაციას სხვადასხვა დიპიდროქსილიორგანოსილანებთან და α,ω-დიპიდროქსილიორგანოსილოქსანებთან უფრო ხშირად ატარებენ გამსხველში. ქლორწყალბადის აქცეპტორის თანაობისას შერეული ალკილ(არილ)ციკლოსილოქსანების სინთეზისათვის გამოყენებულია ორგანოპიდროქსილანების ურთიერთქმედების რეაქცია ორგანოქლორსილანებთან [36]. დიფენილდიპიდროქსილანის კონდენსაციით სხვადასხვა დიორგანოდიქლორსილანებთან მიღებული იქნა სხვადსხვა აღნაგობის ორგანოციკლოსილოქსანები [37, 38].

ორგანოდისილოქსანების (საერთო ფორმულით $\text{YR}^1_2\text{SiOSiR}_2\text{Y}$) ურთიერთქმედების რეაქციის R_2SiX_2 ტიპის ნაერთებთან (სადაც $\text{R}=\text{ალკილი}, \text{ციკლოალკილი}, \text{არილი}, \text{არილალკილი}, \text{ალკენილიან ჩანაცვლებული ნახშირწყალბადური რადიკალები; } \text{R}^1=\text{ო-}, \text{მ-}, \text{პ-ტოლილი, ო-}, \text{მ-}, \text{პ-ტონფტორმეთილფენილი; Y=OH, X=Cl \text{ და პირიქით, განზავებულ სსნარებში } 20^\circ\text{C} \text{ ტემპერატურაზე და მორცაგირე კომპონენტების ექვიმოლური, თანაფარდობისას მიღებულია შესაბამისი ორგანოციკლოტრისილოქსანები [39].}$

შეთილფენილ- და დიფენილ დიპიდროქსისილანების ჰეტეროფუნქციური კონდენსაციის შედეგად დიორგანოდიქლორსილანებთან მიღებულია განსაზღვრული აღნაგობის ციკლოსილოქსანები შემდეგი სქემის მიხედვით [40] :



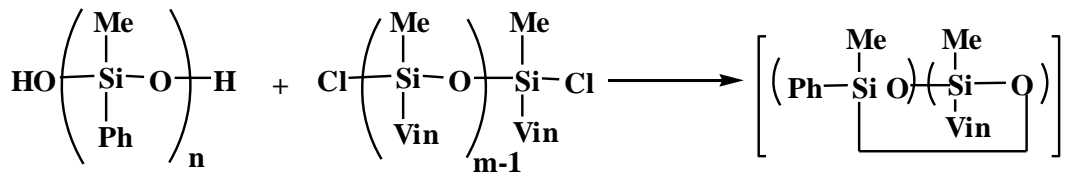
სადაც: $\text{R}=\text{CH}_3, \text{C}_6\text{H}_5; \text{R}^1=\text{H, CH=CH}_2$.

შესაბამისი ორგანოდიქლორ- და დიპიდროქსისილანების ჰეტეროფუნქციური კონდენსაციით მიღებულია ახალი ორგანოციკლოსილოქსანები, რომელთა მოლეკულაშიც სილიციუმის ატომთან დაკავშირებულია (α -ფენილ)ფენეთილ-, (β -ფენილ)-ფენეთილ-, ფენეთილისა და სტილბინის რადიკალები [40].

შესაბამისი დიპიდროქსიდიორგანოსილანების და α, ω -დიპიდროქსიდიორგანოსილოქსანების ჰეტეროფუნქციური კონდენსაციის რეაქციით დიქლოდიორგანოსილანებთან და α, ω -დიქლორდიორგანოსილოქსანებთან ეთერის არეში ტრიეთილამინის თანაობისას მიღებულია ორგანოციკლოტრი- და ტეტრასილოქსანები დიციკლოპენტრენილის რადიკალებით სილიციუმის ატომთან [41].

ექვსი- და ოვარტევრიანი ციკლოსილოქსანები მეთილფენილის და მეთილფინილის რადიკალებით სილიციუმის ატომთან მიღებულია მეთილფენილსილანდიოლის ჰეტეროფუნქციური კონდენსაციის რეაქციით ან α, ω -დიპიდროქსიმე-

თილფენილსილოქსანების ჰეტეროფუნქციური კონდენსაციით α,ω-დიქლორმეთილ-გინილსილოქსანებთან ან მეთილვინილდიქლორსილანთან შემდეგი სქემის მიხედვით [42]:



სადაც $n=1$ $m=2$ (I); $n=2$, $m=1$ (II); $n=3$, $m=1$ (III); $n=1$ $m=3$ (IV); $n=2$, $m=2$ (V)

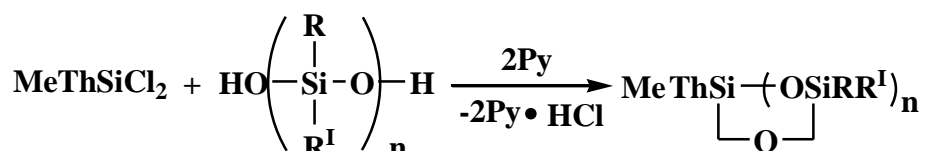
მეთილფენილსილანდიოლის ჰეტეროფუნქციური კონდენსაციის რეაქციით მეთილვინილდიქლორსილანთან მიღებულია ადრე აღწერილი [40] 1,3,5,7-ტეტრამეთილ-1,5-დიფენილ-3,7-დივინილციკლოტეტრასილოქსანი (VI), რომელშიც (V) ნივთიერებისაგან განსხვავებით ფენილის და ვინილის რადიკალები სილიციუმის ატომთან განლაგებული არიან დიაგონალზე ციკლში.

გამოკვლეულია მეთილფენილდიქლორსილანის ჰეტეროფუნქციური კონდენსაციის რეაქცია 1,3-დიპიდროქსი-1,3-დიმეთილ-1,3-დიფენილდისილოქსანთან სხვადასხვა ამინების თანაობისას სხვადასხვა პოლარობის გამხსნელების არეში [43].

დადგენილია, რომ შესაბამისი ციკლოტრისილოქსანის გამოსავლიანობა მცირდება ამინის ფუძიანობის შემცირებასა და გამხსნელის დიელექტრიკული შეღწევადობის გაზრდასთან ერთად. 1,3,5-ტრიმეთილ-1,3,5-ტრიფენილციკლოტრისილოქსანის იზომერთა შედარებით კარგი გამოსავლიანობა მიიღწევა ინერტული გამხსნელებისა და ძლიერი ამინების გამოყენებისას. ნაჩვენებია, რომ ცის-ტრანს იზომერების თანაფარდობა დაახლოებით ერთნაირია მხოლოდ მცირედ პოლარულ არეში ძლიერ ფუძე ბუნების ამინების გამოყენებისას, ხოლო დანარჩენ შემთხვევებში პროცესი ავლენს განსაზღვრულ სტერეოსელექტრიულობას ტრანს-იზომერის სასარგებლოდ. გამონაკლისს წარმოადგენს ქლოროფორმი, რომელშიც იზომერების თანაფარდობა და ჯამური გამოსავალი A₃ მცირედაა დამოკიდებული ამინის ბუნებაზე.

ამასთანავე დადგენილია, რომ სარეაქციო არეში მყარდება ცის-ტრანს იზომერებს შორის წონასწორული მდგომარეობა. ამასთან, ცის-იზომერის კონცენტრაციის შემცირებასთან ერთად ტრანს-იზომერის კონცენტრაცია თავდაპირველად იზრდება განსაზღვრულ მაქსიმუმამდე, შემდეგ კი ხდება ორივე იზომერის შემცველობის შემცირება უფრო მაღალმოლექულური პროდუქტების წარმოქმნის ხარჯზე.

ჰეტეროფუნქციური კონდენსაციის რეაქციით მიღებულია ექს- და რვაწევრიანი ორგანოციკლოსილოქსანები თიენილის რადიკალებით სილიციუმის ატომთან [43]:

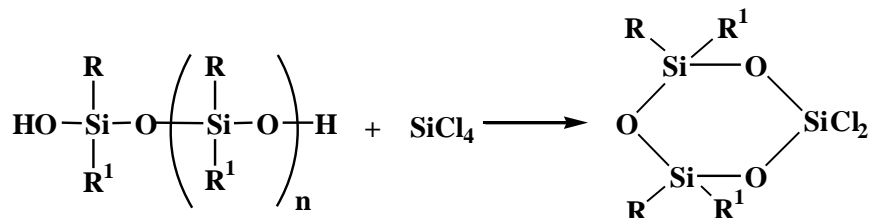


სადაც $\text{Th} = \begin{array}{c} \text{S} \\ \diagup \\ \text{C}=\text{C} \\ \diagdown \end{array}$, $n=2$, $\text{R}=\text{Me}$, $\text{R}^I=\text{CH}_2\text{Cl}$ (I); Vin (II); Ph (III);
 $\text{R}=\text{R}^I=\text{Ph}$ (IV); $n=3$, $\text{R}^I=\text{Vin}$ (V).

ექსი და რვაწევრიანი ორგანოციკლოსილოქსანები ორი მეთილთიერილ-სილოქსირგოლებით ციკლში მიღებულია 1,3-დიპიდროქსი-1,3-დიმეთილ-1,3-დითიერ-

ილდისილოქსანის ურთიერთქმედებით სხვადასხვა ალკილ(არილ)დიქლორსილანებთან და 1,3-დიქლორტეტრამეთილდისილოქსანთან.

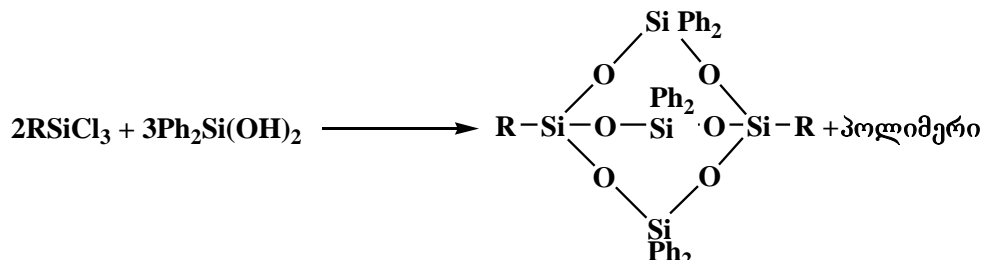
ოთხქლორიანი სილიციუმის ჰეტეროფუნქციური კონდენსაციის რეაქციით 1,3-დიაზიდროქსიტეტრაორგანოდი- და 1,5-დიაზიდროქსიპენამეთილტრისილოქსანთან HCl -ის აქცეპტორის – ამინის თანაობისას ან მის გარეშე (სარეაქციო არეან HCl -ის მოცილების პირობებში) დასინთეზებულია 1,1-დიქლორტეტრაორგანოციკლოტრი- და 1,1-დიქლორჰექსამეთილციკლოტეტრასილოქსანები შემდეგი სქემის მიხედვით [44-46]:



სადაც: $n=1$, $\text{R}=\text{R}^1=\text{CH}_3, \text{C}_6\text{H}_5$; $\text{R}=\text{CH}_3$, $\text{R}^1=\text{C}_6\text{H}_5$;
 $n=2$; $\text{R}=\text{R}^1=\text{CH}_3$.

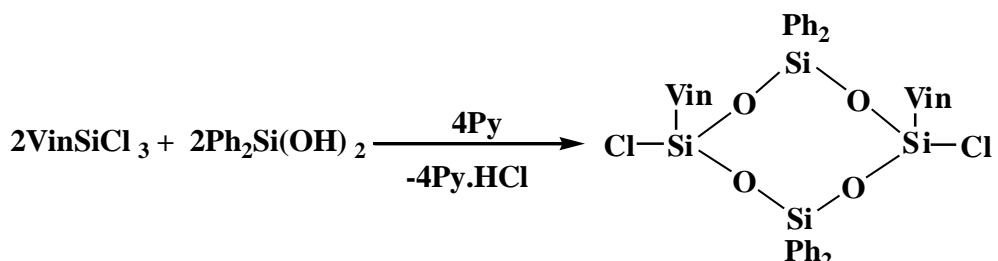
ციკლოსილოქსანების გამოსავლიანობა იზრდება α, ω -დიაზიდროქსისილოქსანში სილიციუმთან მდგრმი ჯგუფების ზომების გაზრდასთან ერთად.

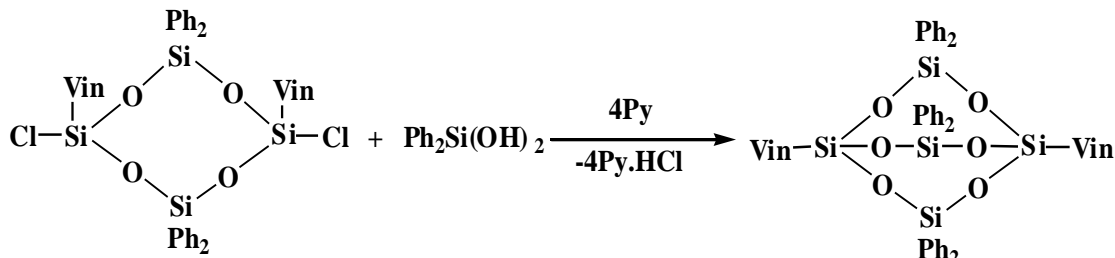
გამოკვლეულია ვინილტრიქლორსილანის და ტრიქლორსილანის ჰეტეროფუნქციური კონდენსაციის რეაქცია დიაზიდროქსიდიფენილსილანთან საწყისი კომპონენტების მოლური თანაფარდობისას 2:3. [47] ნაჩვენებია, რომ ოთახის ტემპერატურაზე თანაპლიმერებთან ერთად წარმოიქმნება დაბალმოლექულური ბიციკლური ნაერთები შემდეგი სქემის მიხედვით:



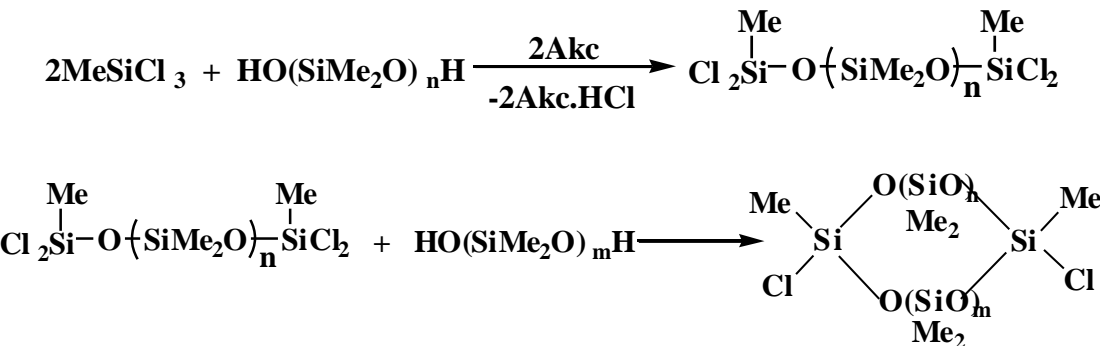
სადაც $\text{R}=\text{Vin}, \text{H}$.

განხორციელებულია აგრეთვე ვინილტრიქლორსილანის ჰეტეროფუნქციური კონდენსაცია დიაზიდროქსიდიფენილსილანთან ორ სტადიად შემდეგი სქემის მიხედვით: [48]



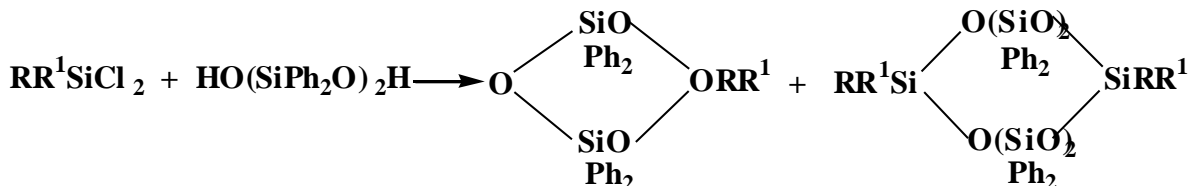


მეთოლტრიქლორსილანის საფეხურებრივი კონდენსაციის რეაქციით დიპიდროქსიდიმეთილსილოქსანთან გამოყოფილია დიქლორმეთილციკლოსილოქსანები შემდეგი სქემის მიხედვით [49]:



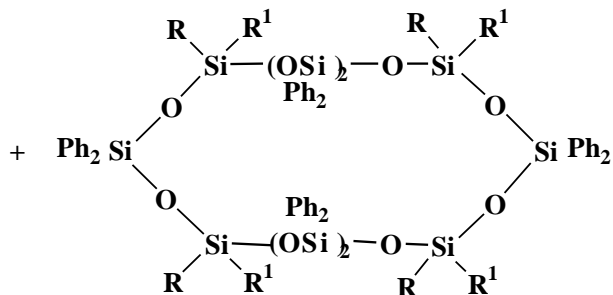
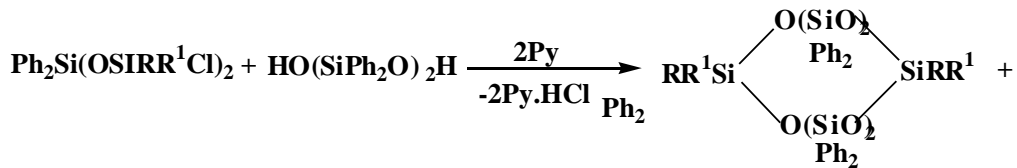
სადაც $n=m=1,2,3$, $n \neq m$.

1,3-დიპიდროქსიტეტრაფენილდისილოქსანის ჰეტეროფუნქციური კონდენსაციით დიორგანოდი- და ორგანოტრიქლორსილანებთან, ასევე ოთხქლორიან სილიციუმთან აქცეპტორის – პირიდინის თანაობისას დასინთეზდა ორგანოციკლოტრი- და ორგანოციკლოპენებსილოქსანები განსხვავებული ფუნქციური ჯგუფებით სილიციუმის ატომთან [50]:



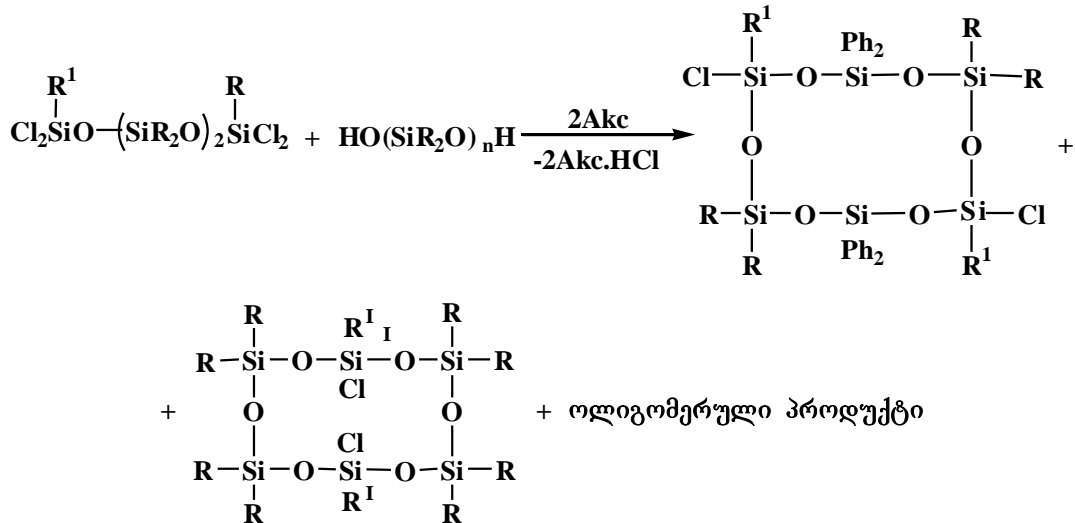
სადაც $\text{R}=\text{Me}$, Vin , Cl ; $\text{R}'=\text{Me}$, Ph , Cl .

1,3-დიპიდროქსიტეტრაფენილდისილოქსანის ჰეტეროფუნქციური კონდენსაციის რეაქციით 1,1,1,5,5,5-ჰექსაქლორ- და 1,1,5,5-ტეტრაქლორ-1,5-დიორგანო-3,3-დიფენილტრისილოქსანებთან დასინთეზებულია ორგანოციკლოპენტრა- და ორგანოციკლოდეგასილოქსანები ფუნქციური ჯგუფების განსაზღვრული განლაგებით სილიციუმის ატომთან [51, 52]:



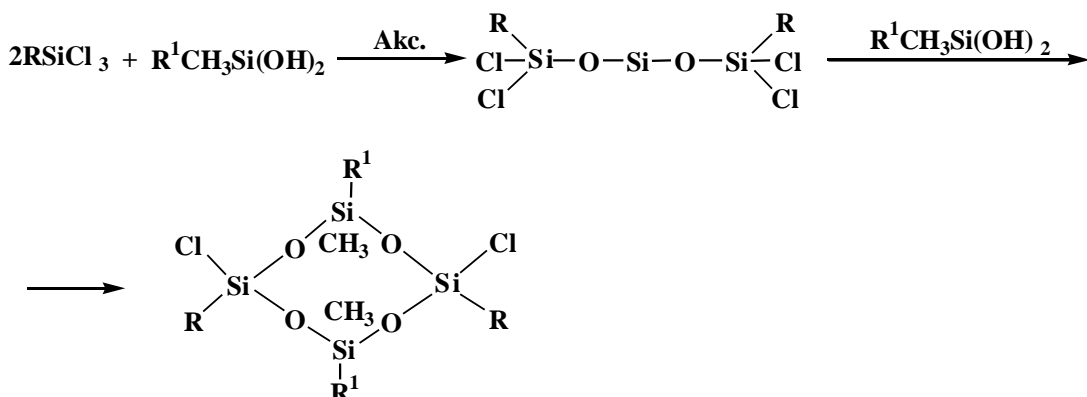
სადაც: R=Me, Ph, ClC₆H₄, ClCH₂, Vin, ClC₆H₄C₂H₄Cl, R^I=Cl; R=ClCH₂, R^I=Me; R=Me, R^I=Vin.

მიღებულია აგრეთვე ზოგიერთი დიფუნქციონალური დეპორტაციულობები სასილოქსანები შემდეგი სქემის მიხედვით [53]:



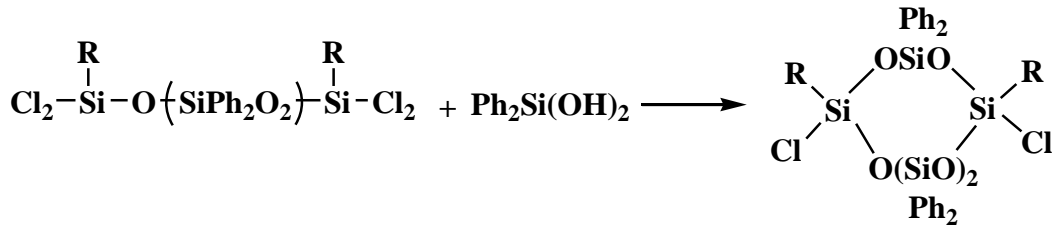
სადაც: R=R^I=Me; R=Me, R^I=Ph; R=Ph, R^I=Me.

ორგანოტრიქლორსილანების ჰეტეროფუნქციური კონდენსაციის რეაქციით დიორგანოდიპიდოქსილანებთან მიღებულია დიფუნქციური ციკლოტეტრასილოქსანები. რეაქცია მიღის შემდეგი სქემის მიხედვით [54]:



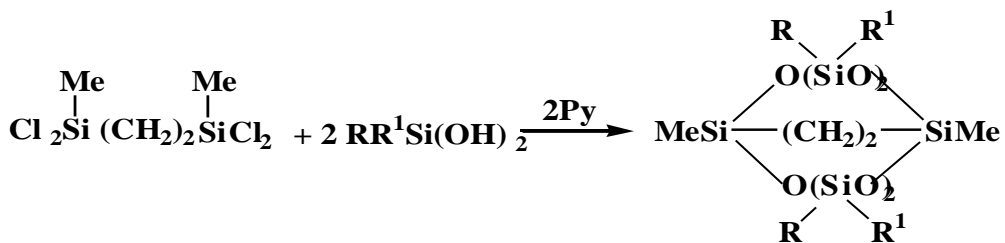
სადაც: R=R^I=CH₃, C₂H₄C₂H₅; C₂H₄C₆H₄CH₃; C₂H₄C₆H₄Cl.

შესწავლითი [55] 1,1,7,7-ტეტრაქლორორგანოტეტრასილოქსანების რეაქცია დიპიდროქსიდიფენილსილანთან გამოსავალი კომპონენტების ექვიმოლური თანაფარდობისას ტოლუოლის 5%-იან ხსნარში პირიდინის თანაობისას -5÷0°C ტემპერატურაზე. მიღებულია შესაბამისი ციკლური პროდუქტი რეაქციის მიხედვით:



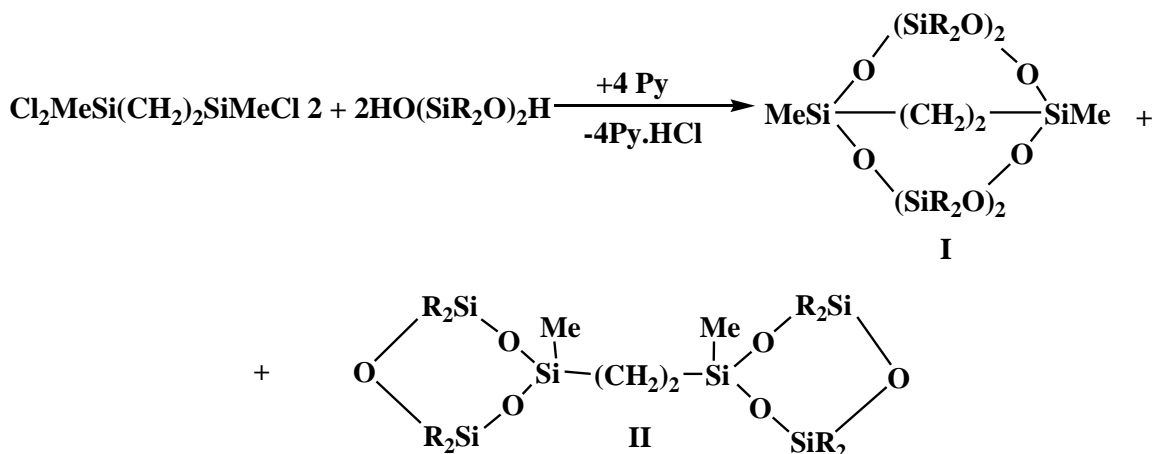
სადაც R=Me, Ph.

ავტორების მიერ [56] გამოკვლეულია სილიციუმორგანული და ჰიდროქსიტარმოებულების ჰეტეროფუნქციური კონდენსაციის რეაქცია ბის(მეთილქლორსილილ)ეთანთან, ნაჩვენებია, რომ ამ დროს წარმოიქმნება ბიციკლური ნაერთები ეთოლენური ხიდებით ციკლის შიგნით.



სადაც R=R^I=Me, Et, Ph; R=Me, R^I=Ph, Vin.

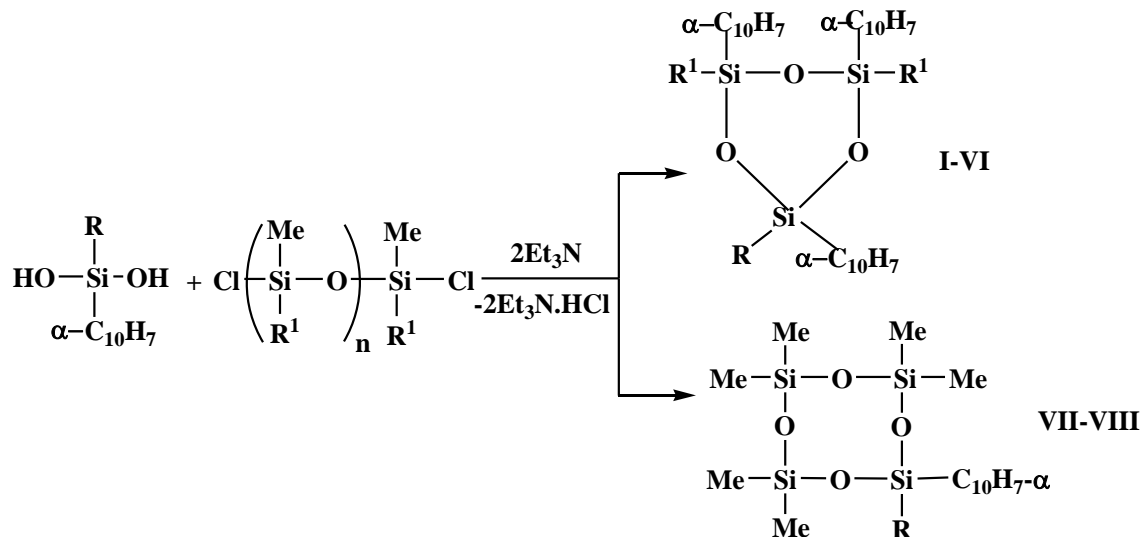
აგრეთვე დადგენილია, რომ ბის(მეთილქლორსილილ)ეთანის ჰეტეროფუნქციური კონდენსაციის რეაქციით 1,3-დიპიდროქსიტეტრაორგანოსილოქსანებთან, გამოსავალი ნივთიერებების მოლური თანაფარდობისას 1:2 მიიღებიან ბიციკლური ნაერთები, სადაც ეთოლენური ხიდები განლაგებულია როგორც ციკლის შიგნით, ასევე მათ შორის. რეაქცია მიღის შემდეგი სქემის მიხედვით:



რეაქციის პროდუქტების თანაფარდობა I:II შესაბამისად შეადგენდა 3:1.

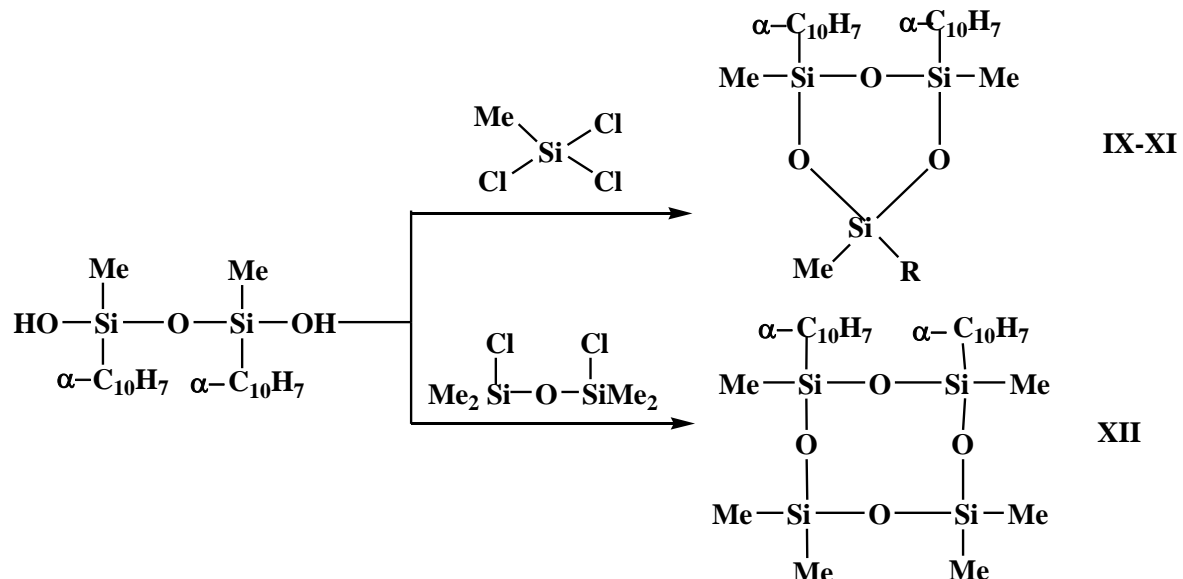
ავტორების მიერ შესწავლითია 1,3-დიქლორტეტრაორგანოდი- და 1,5-დიქლორჰექსიორგანოტრისილოქსანების ჰეტეროფუნქციური კონდენსაციის რეაქციები დიპიდროქსიდიორგანოსილანებთან 5÷30°C ტემპერატურაზე ტრიეთილამინის თანაობისას, რის შედეგადაც მიღებულია შესაბამისი ციკლოტრი- და ციკლოტეტრა-

სილოქსანები ონაფტოლინის რადიკალურით სილიციუმის ატომთან [57]. რეაქცია
მიმდინარეობს შემდეგი სქემის მიხედვით:



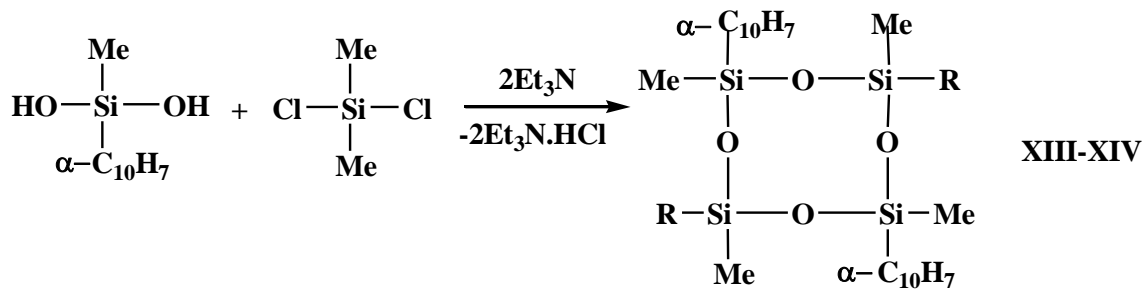
სადაც: $n=1$, $R=Me$, $R^1=Me$ (I), Vin (II), Ph (III); $n=1$, $R=Ph$, $R^1=Me$ (IV), Vin (V), Ph (VI);
 $n=2$, $R=Me$ (VII), Ph (VIII).

აგრეთვე, მოლეკულაში ორი ონაფტოლინის რადიკალის შემცველი ორგანო-
ციკლოტრი- და ტეტრასილოქსანების სინთეზის მიზნით ჩატარებულია 1,3-დი-
მეთილ-1,3-დი-ა-ნაფტილ-1,3-დიჰიდროქსილისილოქსანის რეაქცია დიმეთილ-, მეთილ-
ვინილ- და მეთილფენილდიქლორსილანებთან, აგრეთვე 1,3-დიქლორტეტრამეთილ-
დისილოქსანთან. რეაქცია მიმდინარეობს შემდეგი სქემით:



სადაც: $R=Me$ (IX), Vin (X), Ph (XI)

მეთილ-, ონაფტილ-, და ფენილ-ა-ნაფტილდიჰიდროქსილანების ურთიერთქ-
მედებით დიმეთილდიქლორსილანთან მიღებულია 1,5-დი(ა-ნაფტილ)პექსამეთილ- და
1,5-დი(ა-ნაფტილ)-1,5-დიფენილტეტრამეთილციკლოტეტრასილოქსანები:



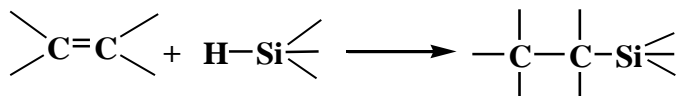
სადაც: R=Me (XIII), Ph (XIV).

ამდენად, ჩვენს მიერ, პეტეროვუნქციური კონდენსაციის რეაქციების გამოყენებით განხილულია ფუნქციური ჯგუფების შემცველი ხაზოვანი და ციკლური აღნაგობის ნივთიერებების სინთეზის მეთოდები.

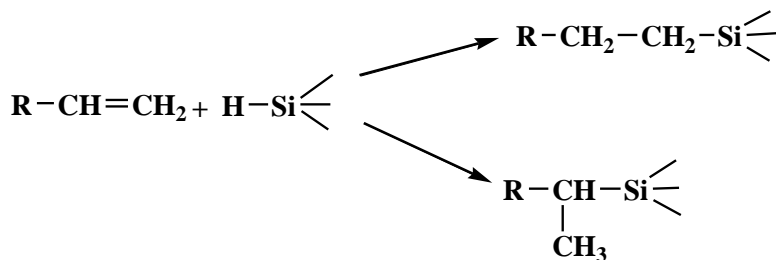
1.2. დიენური ნაერთების ჰიდროსილილირების რეაქციები

ლიტერატურაში ფართოდ არის აღწერილი ჰიდროსილილირების რეაქციები უჯერი ნაერთებისა, რომლებიც შეიცავენ შემდგენ ტიპის ჯერად ბმებს: $>\text{C}=\text{C}<$, $\text{C}=\text{C}$, $\text{C}\equiv\text{N}$ და დიოლეფინური ნახშირწყალბადებისა, რომლებიც შეიცავენ შეუდლებულ ორმაგ კავშირებს.

ორმაგი $\text{C}=\text{C}$ ბმის შემცველი ნაერთების ჰიდროსილილირება შეიძლება წარმოვიდგინოთ სქემაზე მეტად შემდეგი სახით:



რეაქცია შეიძლება წარიმართოს ორი მიმართულებით, მარკოპნიკოვის ან ანტი-მარკოვნიკოვის (ფარმერის) წესით ორი იზომერის წარმოქმნით:



ჰიდროსილილირების რეაქციის მიმართულება და სიჩქარე განისაზღვრება კატალიზატორის ბუნებით, საწყისი უჯერი ნაერთების სტრუქტურით, ჰიდროსილინების აღნაგობით და რეაქციის პირობებით.

ჰიდროსილილირების რეაქციების კატალიზატორებად გამოიყენება H_2PtCl_6 , Pt და Pd მატარებლებზე, რკინისა და ნიკელის კარბონილები, ზეჟანგური ნაერთები, უი და γ -გამოსხივება, ფუძე ბუნების ნაერთები: ამინები, ფოსფინები, ამიდები, სამმაგი კატალიზატორი [58]. წარმოდგენილია ასევე რიგი ახალი ეფექტური კატალიზატორებისა [59-61]. მიუხედავად მათი დიდი რაოდენობისა, ამჟამად ჰიდროსილილირების რეაქციებში ყველაზე მეტად გამოიყენება პლატინაქლორწყალბადმჟავა, რაც აისხება მისი უპირატესობებით: დამზადების სიმარტივე, მაღალი აქტივობა, მიერთების რეაქციის პროდუქტების დიდი გამოსავლიანობა. თუმცა ამ კატალიზატორს გააჩნია თავისი ნაკლოვანებებიც: ინდუქციური პერიოდის არსებობა და ამასთან დაკავშირებით, პროცესის მძაფრი წარმართვა, შედარებით მცირე სელექტიურობა, გარკვეულ პირობებში პოლიმერიზაციის თანამდევი რეაქციების გამოწვევა.

ამჟამად შესწავლილია ჰიდროსილილირების რეაქციები მრავალი უჯერი ორგანული და ელექტრორეგანული ნაერთებისათვის [58, 62-67].

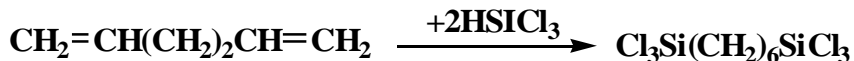
ჰიდროსილილირების რეაქციას ხშირად ატარებენ გამხსნელების თანაობისას. ფუძე ხასიათის გამხსნელების გამოყენება ხელს უწყობს ჰიდროსილილირების რეაქციის წარმართვას [66].

სილიციუმის ატომთან მდგომი ბიციკლური რადიკალის შემცველი სილიციუმორგანული მონომერების სინთეზი შეიძლება განხორციელდეს ქლორსილანების როგორც თერმული [68-73], ასევე კატალიზური [74] მიერთებით დიოლეფინურ ნახშირწყალბადებთან. ტრიქლორსილანის მიერთება შეუდლებული ორმაგი ბმის შემცველ დიოლეფინებთან, ორგანული ზეჟანგების თანაობისას ან ულტრაიისფერი დასხივების ზემოქმედებით ვერ მოხერხდა, რადგან აღნიშნული კატალიზატორები იწვევდნენ საწყისი ნახშირწყალბადების პოლიმერიზაციას, რომელიც მიმდინარე

ობდა გაცილებით ჩქარა, ვიდრე HSiCl_3 მიერთება ორმაგ ბმასთან [75], მაგრამ რეაქციის ჩატარებისას კატალიზატორების თანაობისას მაღალი ტემპერატურისა და წნევის პირობებში უმრავლეს შემთხვევაში შესაძლებელია ჰიდროსილირების რეაქციის ჩატარება.

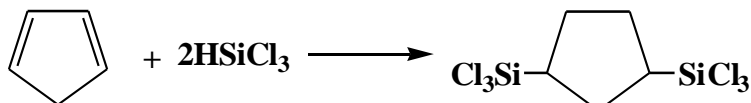
ავტორების მიერ [75] შეისწავლებოდა ტრიქლორსილანის თერმული მიერთების რეაქცია ალიფატურ და აციკლურ ნახშირწყალბადებთან, რომლებიც შეიცავენ ორ იზოლირებულ ან შეუდლებულ ორმაგ ბმებს.

დადგინდა, რომ ჰექსადიენ-1,5, რომელიც შეიცავს ოზოლირებულ ორმაგ ბმებს, ურთიერთქმედებს ჭარბ ტრიქლორსილანთან მონოოლეფინური ნახშირწყალბადების მსგავსად, და წარმოქმნის 1,6-ბის(ტრიქლორსილილ)ჰექსანის 70%-იანი გამოსავლიანობით:



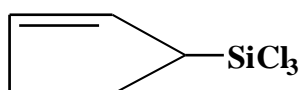
იმავე ავტორების მიერ დადგინდა, რომ ნახშირწყალბადის მოლეკულაში ორი იზოლირებული ორმაგი ბმის არსებობისას მიერთება მიმდინარეობს ფარმერის წესის თანახმად, ე.ო. - SiCl_3 ჯგუფი უკავშირდება ნაკლებად ჰიდროგენიზირებულ ნახშირბადის ატომს [75].

ლიტერატურაში მოიპოვება ცნობები ციკლოპენტადიენთან სილიციუმჰიდროდების თერმული მიერთების შესახებ [75]. ციკლოპენტადიენ-1,3, რომელიც შეიცავს შეუდლებულ ორმაგ ბმებს, იერთებს ტრიქლორსილანს (ავტოკლავში 280°C -ზე) და წარმოქმნის 1,3-ბის(ტრიქლორსილილ)ციკლოპენტანს 45%-იანი გამოსავლიანობით:



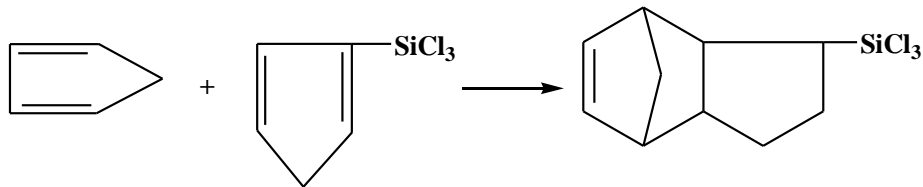
აღნიშნული ნივთიერება მიღებულია აგრეთვე 28,5%-იანი გამოსავლიანობით ტრიქლორსილანის მიერთებით დიციკლოპენტადიენთან. როგორც ჩანს, ამ შემთხვევაში, ჰიდროსილირების რეაქცია წინ უძღვის დიციკლოპენტადიენის თერმულ დეპოლიმერიზაციას ციკლოპენტადიენად და ამის შემდგომ უმნიშვნელო გამოსავლიანობით წარმოიქმნება დიციკლოპენტადიენის მოლეკულასთან ერთი და ორი მოლეკულა ტრიქლორსილანის მიერთების პროდუქტების იზომერების ნარევი.

ციკლოპენტადიენისა და ტრიქლორსილანის 600°C -მდე ხანმოკლე გახურებით (ამ ნივთიერებების ორთქლის ნარევის გატარებით გახურებული ცარიელი კვარცის მილში) ძირითადად წარმოიქმნება β -ციკლოპენტენილტრიქლორსილანი 30%-ი გამოსავლიანობით [76].



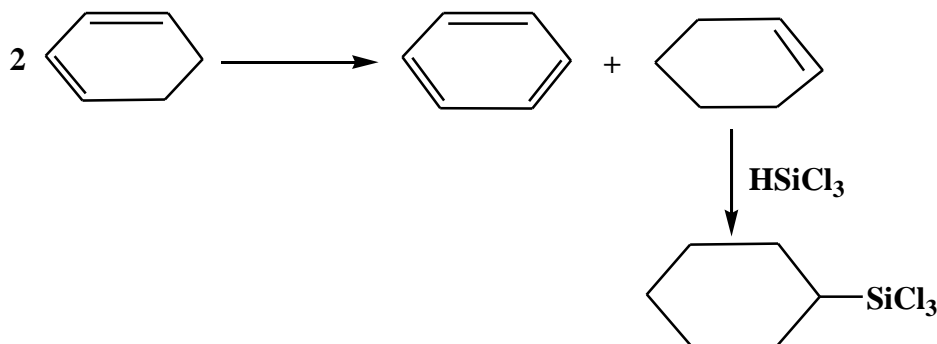
ტრიქლორსილანის დაბალტემპერატურული თხევადფაზური მიერთება ციკლოპენტადიენთან შესაძლებელი გახდა მხოლოდ ავტოკლავში $\text{H}_2\text{PtCl}_6 \cdot 6\text{H}_2\text{O}$ თანაობისას და დიენის სამჯერადი სიჭარბის შემთხვევაში.

ამასთანავე β -ციკლოპენტენილტრიქლორსილანი წარმოიქმნება სხვა ნაერთების, ცხადია, და α - და β -ციკლოპენტენილსილანების მნიშვნელოვან მინარევთან ერთად. გარდა ამისა, ამ რეაქციაში წარმოიქმნება HSiCl_3 -ის ციკლოპენტადიენის დიმერთან მიერთების პროდუქტი 40%-მდე [77]:



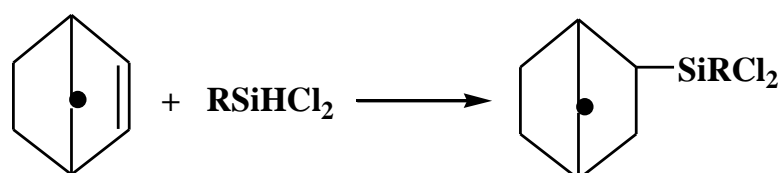
ამ უკანასკნელის მეთოლირებით მიიღება დიციკლოპენტენილტრიმეთოლსილანი.

ტრიქლორსილანის ციკლოპენტა-1,3-დიენთან რეაქციით მიღებულია ციკლოპენტენილტრიქლორსილანისა და ბენზოლის ნარევი, რასაც ავტორები ხსნიან იმ ფაქტით [72, 75], რომ რეაქციის პირობებში ციკლოპენტა-1,3-დიენი განიცდის შეუქცევად კატალიზურ გარდაქმნას ბენზოლად და ციკლოპენტანად, რომელსაც შემდეგ უკრთდება ტრიქლორსილანი შემდეგი სქემის მიხედვით:



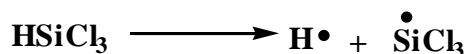
ა.დ. პეტროვისა და სხვა ავტორების მიერ [78] შესწავლილია სილიციუმშიდრიდების უჯერ ბიციკლურ ნაერთებთან მიერთების რეაქციები სპაირის კატალიზატორის თანაბობისას. სილიციუმშიდრიდების სახით გამოყენებულია ტრიქლორსილანი, მეთოლ- და ეთოლდიქლორსილანი, ხოლო უჯერი ბიციკლური ნაერთების სახით კი ბიციკლო(2,2,1)-ჰეპტენ-2, ბიციკლო(2,2,1)-ჰეპტადიენ-2,5; 2-მეთოლბიციკლო(2,2,1)-ჰეპტენ-5; 2-ვინილბიციკლო(2,2,1)-ჰეპტენ-5 და ციკლოპენტა-1,3-დიენის დიმერი.

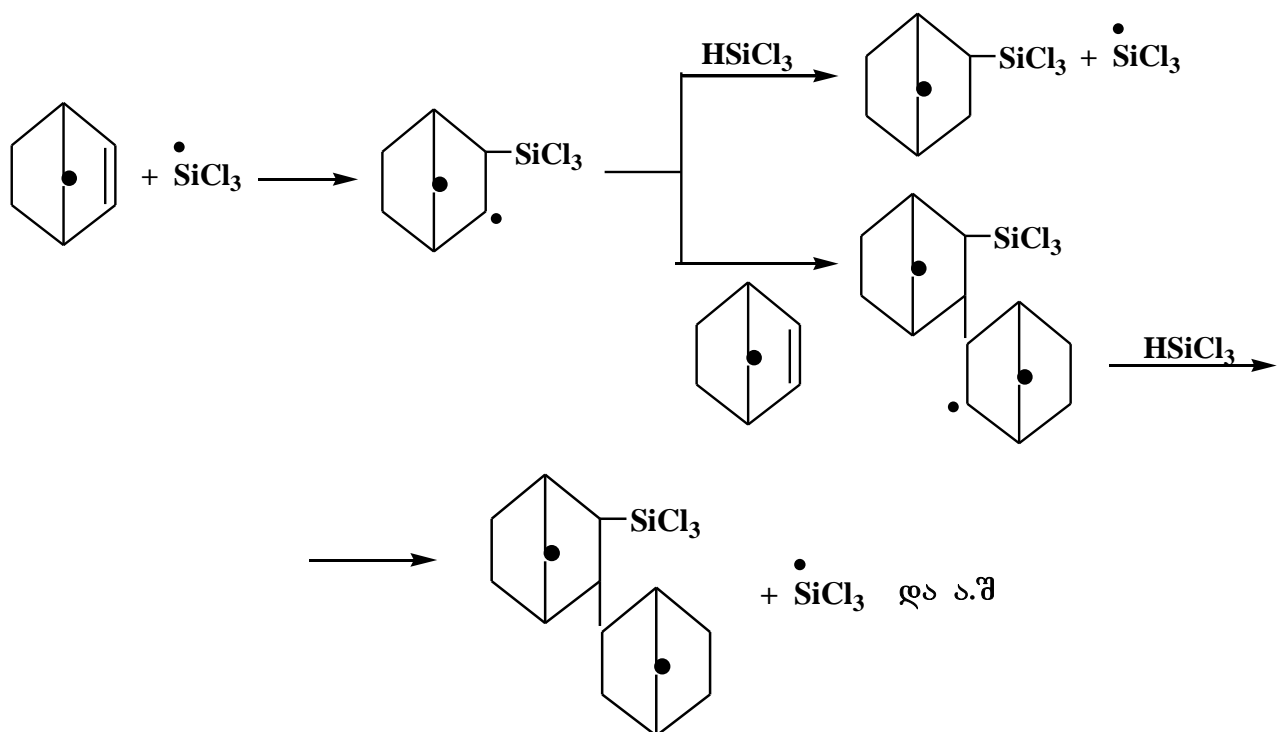
ტრიქლორსილანის, მეთოლ- და ეთოლდიქლორსილანის ურთიერთქმედება ბიციკლო(2,2,1)-ჰეპტენ-2-თან მიმდინარეობდა $30-60^{\circ}\text{C}$ -ზე (50% გამოსავლიანობით):



სადაც $\text{R}=\text{Cl}; \text{CH}_3; \text{C}_2\text{H}_5$.

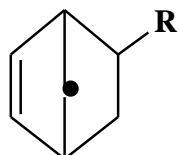
ბიციკლო(2,2,1)-ჰეპტენ-2-ის ტრიქლორსილანთან ურთიერთქმედების რეაქცია საწყისი მონომერების სხვადასხვა მოლური თანაფარდობისას (1:1 და 2:1) მიმდინარეობს შემდეგი სქემის მიხედვით:



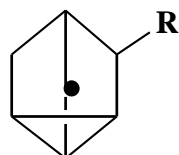


რთულად მიმდინარეობდა რეაქციები ბიციკლო(2,2,1)-ჰეპტადიენ-2,5-თან მსუბუქ ბირობებში (ატმოსფერული წნევა, ტემპერატურა 30-40°C). რეაქცია მიმდინარეობდა მხოლოდ სარეაქციო ნარევის გახურებით 70°C-მდე ავტოკლავში (15 ატმ). 2-(გრიქლორსილილ)-ბიციკლო(2,2,1)-ჰეპტენ-5-ის გამოსავლიანობა არ აღმატებოდა 44%-ს. მეთილ-, ეთილ- და დიეთილჰლორსილანები უერთდებიან ბიციკლო ჰენტადიენს ატმოსფერულ წნევაზე და 45-70°C-ზე და იძლევიან პროდუქტებს 20-80%-იანი გამოსავლიანობით.

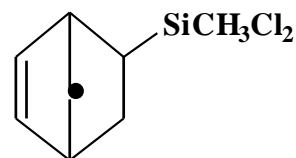
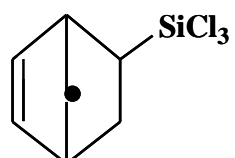
ბიციკლო(2,2,1)-ჰეპტადიენ-2,5-ის პიდროსილილირებით მიიღება როგორც ნორბორნილენის ტიპის ნაერთები



ასევე, ამ უკანასკნელების ნორტრიციკლენად გადაჯგუფების პროდუქტები.

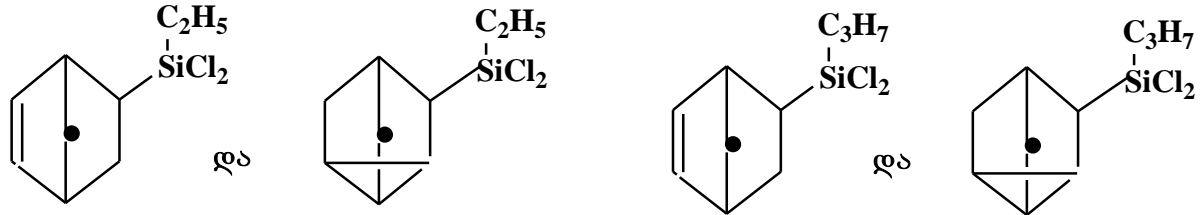


ნაჩვენებია [79, 80], რომ ბიციკლოჰეპტადიენთან HSiCl_3 და $\text{CH}_3\text{SiHCl}_2$ მიერთების პროდუქტებს შეიძლება მიეკუთვნოს ნორბორნილენის სტრუქტურა:



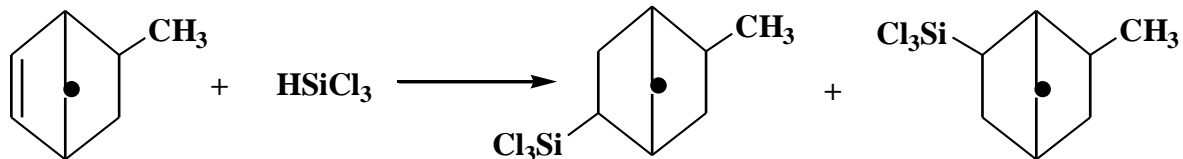
გარდა ამისა, უკანასკნელი ნაერთის პიდრირებამ პლატინის შავის თანაობისას სიცივეში, დაამტკიცა მის მოლეკულაში ერთი ორმაგი ბმის არსებობა.

ბიციკლოჰეპტადიენთან ეთილ- და პროპილდიქლორსილანების ადუქტები წარმოადგენენ ნორბორნილენისა და ნორტრიციკლენის წარმოებულების ნარევს:



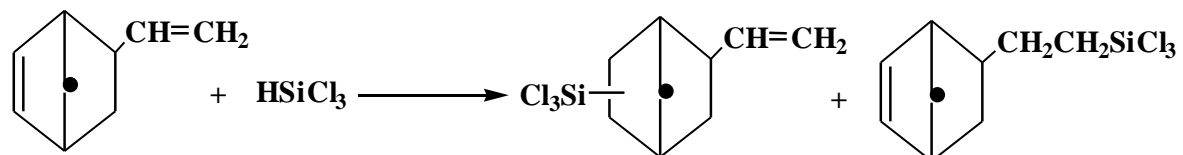
პირველ შემთხვევაში ჭარბობს ნორტრიციკლენის ტიპის სტრუქტურა, ხოლო მეორე შემთხვევაში წარმოიქმნება დიდი რაოდენობა ნაერთებისა ნორბორნილენის სტრუქტურით.

ტრიქლორსილანის ურთიერთქმედებით 2-მეთილ-ბიციკლო(2,2,1)-ჰეპტენ-5-თან 20%-იანი გამოსავლიანობით მიღებულია ადუქტი, რომელიც წარმოადგენს 5 და 6 მდგომარეობაში ტრიქლორსილილის ჯგუფის შემცველი 2-მეთილ-(ტრიქლორსილილ)ბიციკლოჰეპტანების ორი იზომერის ნარევს:

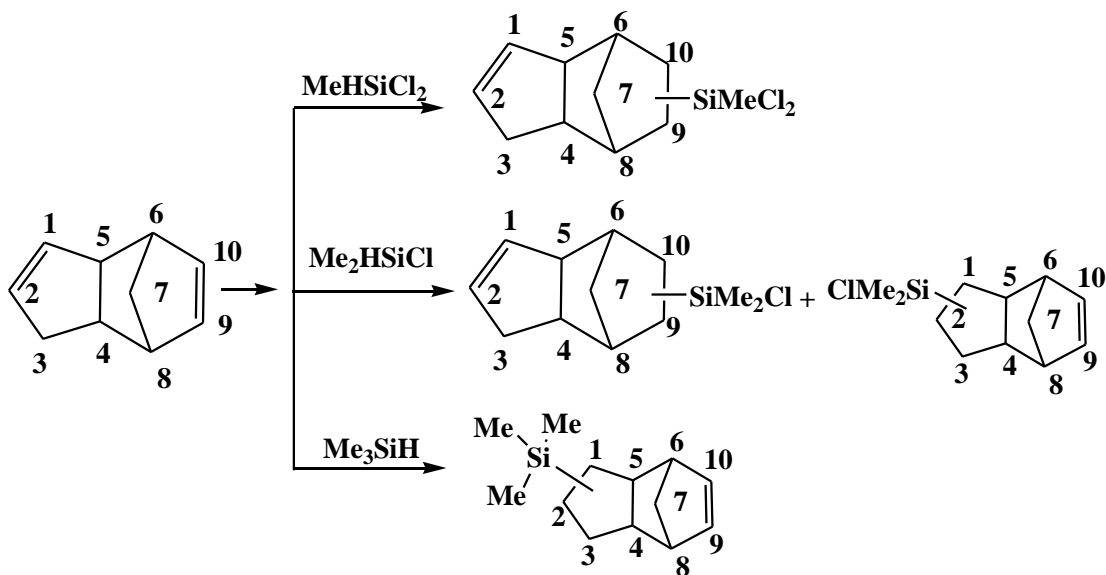


ნარევებს წარმოადგენენ აგრეთვე 2-ვინილბიციკლო(2,2,1)-ჰეპტენ-5-თან და ციკლოპენტადიენის დიმერთან სხვადასხვა სილიციუმიდრიდების ადუქტები; რადგან ამ შემთხვევებში სილილური ჯგუფების მიერთება მიმდინარეობს როგორც სხვადასხვა ორმაგ ბმებთან, ასევე მოლეკულის ბიციკლოჰეპტანური ნაწილის სხვადასხვა მდგომარეობაში (5 ან 6).

კვადრუპოლური რეზონანსული სპექტრების მონაცემებმა გვიჩვენა, რომ ტრიქლორსილანის ურთიერთქმედებისას 2-ვინილ-ბიციკლო(2,2,1)-ჰეპტენ-5-თან მიერთება მიმდინარეობს ორივე ორმაგ ბმასთან დაახლოებით ერთ და იგივე გამოსავლით:

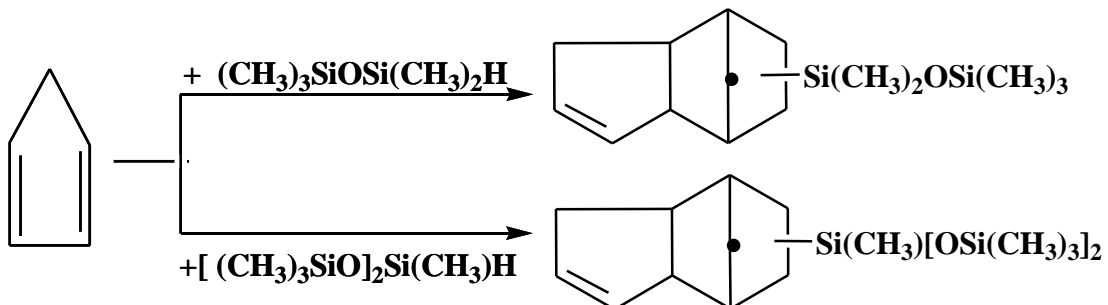


ლიტერატურაში ცნობილია ტრიციკლოდეკადიენის პიდროსილილირების რეაქციები ორგანო(ქლორ)პიდროსილანებთან სხვადასხვა კატალიზატორის (სპაიერის კატალიზატორი, დიკობალტის ტეტაკარბონილი და სხვა) თანაობისას. დადგენილია, რომ ორგანოქლორსილანში ჩამნაცვლებელი ჯგუფების ელექტრონული ბუნების მიხედვით, ტრიციკლოდეკადიენის მოლეკულასთან მიერთება შეიძლება განხორციელდეს 1-2 ან 9-10 მიმართულებით. მაგალითად, მეთილდიქლორსილანის მიერთება დიციკლოჰეპტადიენთან მიმდინარეობს 9-10 მიმართულებით, დიმეთილქლორსილანის კი 1-2 და 9-10 მიმართულებით, ხოლო ტრიმეთილქლორსილანის კი – მხოლოდ 1-2 მიმართულებით [81]:



ეველა ფორმის სტერეოქიმიურმა შესწავლამ აჩვენა, რომ პიდროსილანების ორმაგ და სამმაგ ნახშირბად-ნახშირბად ბმასთან მიერთების რეაქციები წარმოადგენებ ტრანს-მიერთებას და შეუძლებელია ენდო- ან ეგზო-იზომერების წარმოქმნის ალბათობის დადგენა [82].

ციკლოპენტბადიენის პენტამეთილდისილოქსანთან ურთიერთქმედების დროს სპაიერის კატალიზატორის თანაობისას უკვე 30°C -ზე მიმდინარეობდა ციკლოპენტბადიენის დიმერიზაცია და დიმერი შედიოდა მიერთების რეაქციაში [83]:

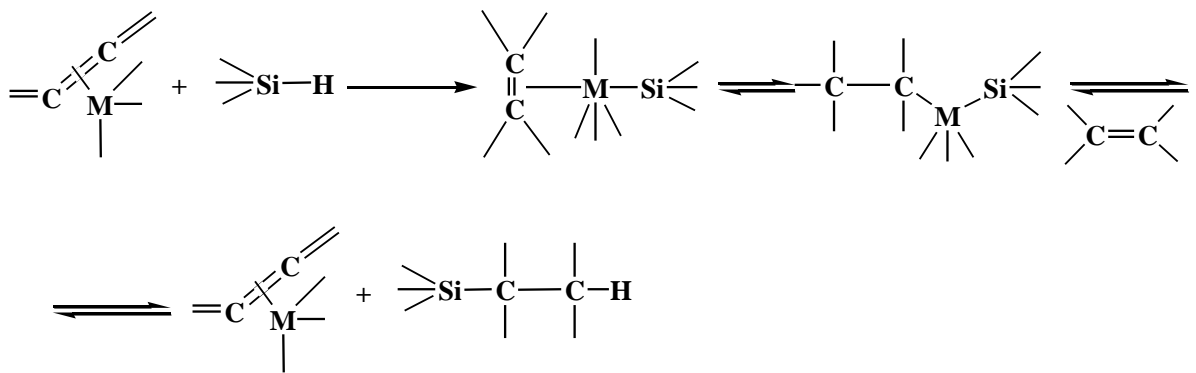


საინტერესოა აღინიშნოს, რომ მიერთების რეაქცია პენტამეთილდისილოქსანთან მიდის უფრო ადვილად, ვიდრე 3-H-ჰეპტამეთილტრისილოქსანთან.

ლიტერატურაში მოიპოვება მრავალი შრომა, რომელიც ეხება პიდროსილილირების რეაქციის მექანიზმს [58,67]. პლატინის კატალიზატორების, სახელდობრ, $\text{H}_2\text{PtCl}_6 \times 6\text{H}_2\text{O}$ თანაობისას, პიდროსილილირების რეაქციის მექანიზმის საკითხებთან დაკავშირებით უკანასკნელ დრომდე არსებობს აზრთა სხვადასხვაობა, არის თუ არა ეს რეაქცია თავისი ბუნებით იონური ან რადიკალური [67].

ავტორების მიერ [58, 62, 67, 84-86] აღნიშნულია პიდროსილილირების რეაქციებში შუალედური ნაერთების სახით პლატინაოლეფინური კომპლექსების წარმოქმნის შესაძლებლობა.

ამჟამად, ყველაზე დამაჯერებელი სქემა წარმოდგენილია ა.ჩოკისა და ჯ.ჰეროდის [62] მიერ, გათვალისწინებულია VIII ჯგუფის ლითონების ნაერთთა თანაობისას მეტალოლეფინური კომპლექსის წარმოქმნა:



წარმოდგენილი მექანიზმი კატალიზატორს უყენებს შემდეგ მოთხოვნებს [62]:

- ოლეფინების კორდინირების უნარი;
- $\equiv\text{Si}-\text{H}$ ბმის გახლების და მოლებულის ორივე ფრაგმენტის კოორდინირების უნარი;
- ლითონის იონის დესტრუქციულ ადდგენასთან შეწინააღმდეგება.

ლიტერატურაში აღწერილია ტრიქლორმეთოლდი- და ეთოლდიქლორსილანის დცპ-თან ურთიერთქმედება და გამოყოფილია შესაბამის მონომერეული პროდუქტები [75, 78].

შესწავლილია დცპ ჰიდროსილილირების რეაქციები ზოგიერთ ჰიდრიდორგანოქლორ- და ტრიორგანოსილანებთან იზოპროპილის სპირტში პლატინაქლორწყალბადმევას 0,1M ხსნარის თანაობისას (სპაიერის კატალიზატორი). ყველა შემთხვევაში ჰიდრიდორგანოქლორსილანებისა და ტრიორ-განოსილანების დცპ-თან რეაქცია მიმდინარეობს ოთახის ტემპერატურაზე [87]:



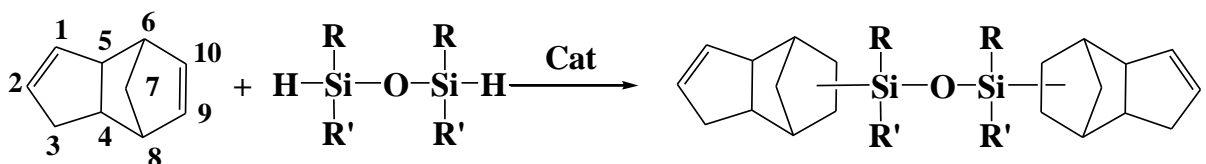
სადაც: $R=R^I=\text{CH}_3, R^{\text{II}}=\text{Cl}$ (I); $R=\text{CH}_3, R^I=\text{C}_2\text{H}_5, R^{\text{II}}=\text{Cl}$ (II);

$R=R^I=\text{C}_2\text{H}_5, R^{\text{II}}=\text{Cl}$ (III); $R=\text{CH}_3, R^I=\text{C}_6\text{H}_5, R^{\text{II}}=\text{Cl}$ (IV);

$R=R^I=\text{C}_6\text{H}_5, R^{\text{II}}=\text{Cl}$ (V); $R=R^I=R^{\text{II}}=\text{CH}_3$ (VI);

$R=R^I=R^{\text{II}}=\text{C}_2\text{H}_5$ (VII).

დცპ-ის ჰიდროსილილირება 1,3-დიპიდრიდ-1,3-დიორგანო-1,3-დიქლორდისილოქსანებთან და 1,3-დიპიდრიდტეტრამეთილდისილოქსანთან საწყისი ნივთიერებების მოლური თანაფარდობით 2:1, სპაიერის კატალიზატორის თანაობისას მიმდინარეობს 1,3-ბის(დიციკლოპენტენილ)-1,3-დიორგანო-1,3-დიქლორდისილოქსანისა და 1,3-ბის(დიციკლოპენტენილ)ორგანოდისილოქსანის წარმოქმნით [87]:



სადაც: $R=R^I=\text{CH}_3$ (VIII); $R=\text{CH}_3, R^I=\text{Cl}$ (IX); $R=\text{C}_2\text{H}_5, R^I=\text{Cl}$ (X).

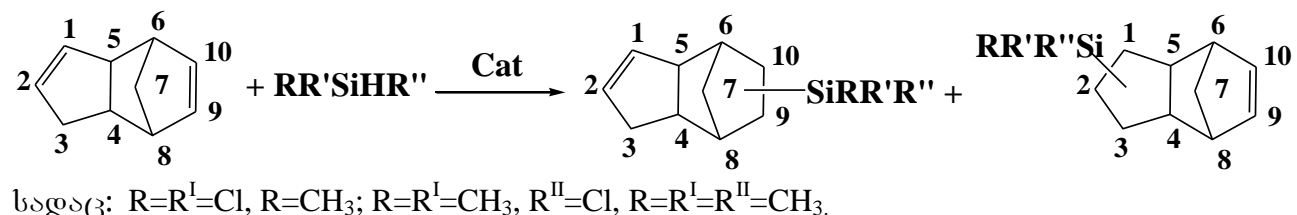
ამასთან უნდა აღინიშნოს, რომ დცპ-ს ჰიდროსილილირება ჰიდრიდორგანოქლორ- და ტრიორგანოსილანებთან მიმდინარეობს გაცილებით ადვილად, ვიდრე შესაბამის დიპიდრიდორგანოდისილოქსანებთან. თუკი დცპ ჰიდრიდდიორგანოქლორსილანებსა და ტრიეთილსილანებს უერთდება 30-40 წთ-ის განმავლობაში 55-

67%-იანი გამოსავლიანობით, დცპ-სა და 1,3-დიპიდრიდდიორგანო(დიქლორ)დისილოქსანების შორის რეაქცია მიმდინარეობს 5-7 საათის განმავლობაში მიერთების პროდუქტების დაახლოებით იგივე გამოსავლიანობით (60-62%).

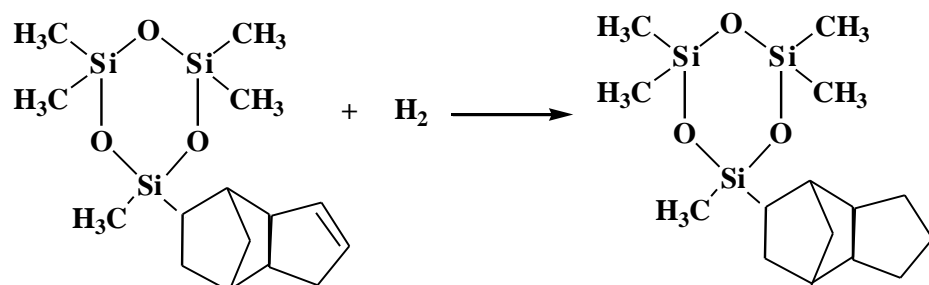
ლიტერატურიდან ცნობილია [88, 89], რომ დცპ-თან წყალბადის სხვადასხვა დონორების (HX , სადაც $\text{X}=\text{OH}, \text{Cl}, \text{Br}, \text{I}, \text{ArO}$ და ა.შ.) მიერთება მუგების კატალიზატორების ($\text{BF}_3, \text{H}_2\text{SO}_4$) თანაობისას, მიმდინარეობს ორმაგ ბმასთან “9-10” მდგომარეობაში ჩონჩხის ერთდროული გადაჯუფებით.

ნაშრომში [90] ნაჩვენებია, რომ მეთოლდიქლორსილანის დცპ-თან მიერთება სპაიერის კატალიზატორის თანაობისას მიღის დიციკლოპენტადიენის ორმაგ ბმასთან “9-10” მდგ-ში. შესწავლილია დცპ-ის ჰიდროსილიდის პროდუქტების აღნაგობა სხვადასხვა ფიზიკურ-ქიმიური მეთოდებით ($^1\text{H}, ^{13}\text{C}$, მას-სპექტრებით და რენტგენოსტრუქტურული ანალიზით).

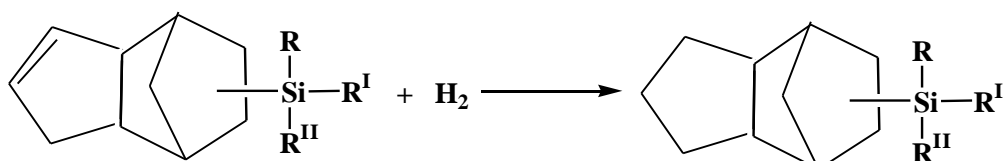
კვლევის ობიექტებად აღებულია დცპ-თან $\text{CH}_3\text{SiHCl}_2$, $(\text{CH})_2\text{SiHCl}$ და $(\text{CH}_3)_3\text{SiH}$ -ის მიერთების პროდუქტები $\text{H}_2\text{PtCl}_6 \cdot 6\text{H}_2\text{O}$ თანაობისას. ამ შემთხვევაში რეაქცია შეიძლება წარიმართოს ორი შესაძლო სქემით [91]:



შესწავლილია [91] დიციკლოპენტენილპენტამეთილციკლოტრისილოქსანის ჰიდრირების რეაქცია სპირტებისარში ადამსის კატალიზატორის თანაობისას. აღმოჩნდა, რომ ჰიდრირება მიმდინარეობს უკვე ოთახის ტემპერატურაზე 45%-იანი გამოსავლიანობით დიციკლოპენტენილპენტამეთილციკლოტრისილოქსანის წარმოქმნით:

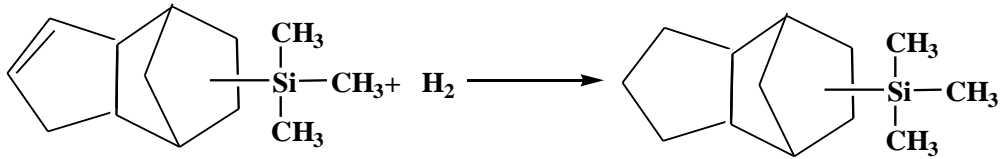


დასინთეზებულია დიციკლოპენტენილბუტოქსისილანების ჰიდრირების რეაქცია ადამსის კატალიზატორის ($\text{PtO}_2 \rightarrow \text{Pt}$ სპირტებისარში) თანაობისას. ჰიდრირება მიმდინარეობს ოთახის ტემპერატურაზე შემდეგი სქემით [92]:



სადაც: $\text{R}=\text{CH}_3$, $\text{R}'=\text{R}''=\text{OC}_4\text{H}_9$; $\text{R}=\text{R}'=\text{R}''=\text{OC}_4\text{H}_9$.

ჩატარებულია აგრეთვე დიციკლოპენტენილტრიმეთილსილანის ჰიდრირება შემდეგი სქემის მიხედვით:

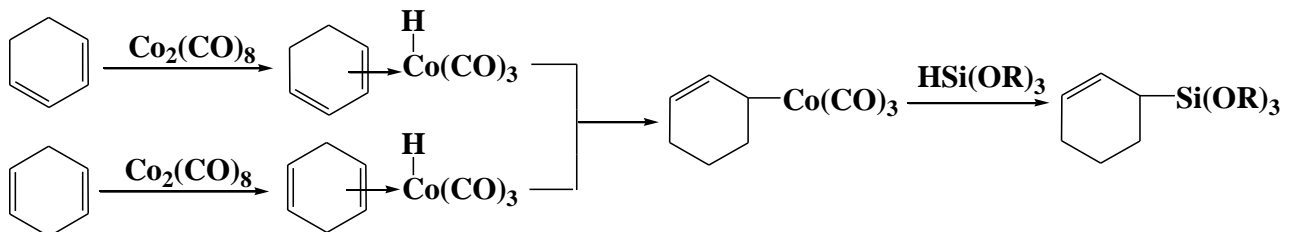


დიციკლოპენტენილმეთილდიბუტოქსისილანის ჰიდრირება ჩატარებულია აგრეთვე კალციუმის კარბონატზე (Pd/CaCO_3) დალექილი პალადიუმის კატალიზატორის თანაობისას. რეაქცია მიმდინარეობს შეუფერხებლად 90%-იანი გამოსავლიანობით [91]. დადგენილია, რომ კატალიზატორის Pd/CaCO_3 შემცველობისა და ტემპერატურის გაზრდით იზრდება ჰიდრირების რეაქციის სიჩქარე.

ავტორების მიერ შესწავლილია ტრიციკლოდეკადიენის ჰიდროსილილირების რეაქცია ორგანოპიდრიდიდილანებთან, კატალიზატორების, როგორც $\text{Rh}_4(\text{CO})_{12}$, ასევე $\text{Co}_2(\text{CO})_8$ თანაობისას (საერთო მასის 0.5%), ასევე აქტივატორის KI თანაობისას (თანაფარდობა $\text{Co}_2(\text{CO})_8$, აქტივატორთან შეადგენს 1:2) 80°C ტემპერატურაზე. დადგენილია, რომ ამ დროს რეაქცია მიმდინარეობს სელექტიურად, უმთავრესად 9,10-მიერთების პროდუქტების წარმოქმნით და მიერთების ადუქტის გამოსავლიანობა შეადგენს 90-95%. იზომერული ნაერთების წარმოქმნა აქ არ დაფიქსირებულა [93].

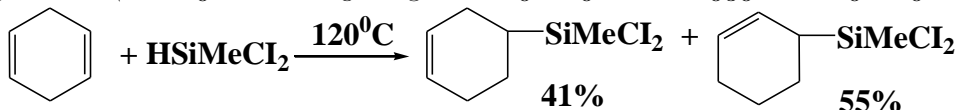
არაშეუღლებული ციკლოდიენების ჰიდროსილილირებას სხვადასხვა კატალიზატორების თანაობისას წინ უსწრებს ორმაგი ბმის წარაცვლება. განსაკუთრებით ეს დამახასიათებელია ექვსწევრიანი და რვაწევრიანი დიენური სისტემებისათვის.

1,3- და 1,4-ციკლოპენტენილიენის ჰიდროსილილირებისას ალკოჰსისილანებით, ოქტაკარბონილდიკობალტის კატალიზატორის თანაობისას მიმდინარეობს 1,4-მიერთებით შემდეგი სქემის მიხედვით [94]:

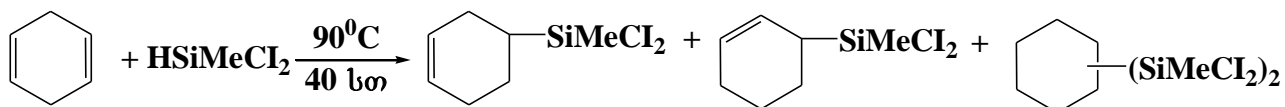


1,3-ციკლოპენტენისათვის რეაქცია მიმდინარეობს 12 სთ-ის განმავლობაში 20°C ტემპერატურაზე, 88% გამოსავლიანობით, ხოლო 1,4-პენტენისათვის 48% გამოსავლიანობით. ავტორების აზრით იზომერიზაციის პროცესი წარმოადგენს მალიმიტირებელ სტადიას. პირველად ადგილი აქვს “σ-ალკენილკობალტის კომპლექსის” წარმოქმნას და შემდგომ ადგილი აქვს C-Co ბმაში ჰიდრიდის ჩანერგვას. ანალოგიურად მიმდინარეობს რეაქციები $\text{Ni}(\text{O})$ კომპლექსზე $\text{Ni}(\text{acac})_2$ ადგენისას დიეთოლეთოქსიალუმინით [95].

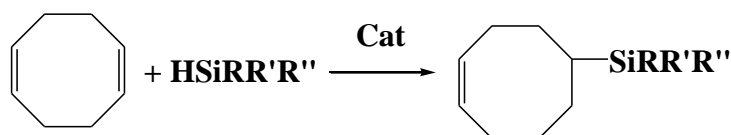
1,4-ციკლოპენტენისათვის მეთილდიქლორსილანის ჰიდროსილილირება კატალიზატორის, დიქლორ[1,1-ბის(დიმეთილფოსფინ)ფეროცენილ]ნიკელის (II) თანაობისას, რეაქცია მიმდინარეობს, როგორც 1,2-მიერთებით, ასევე 1,4-მიერთებით [96]:



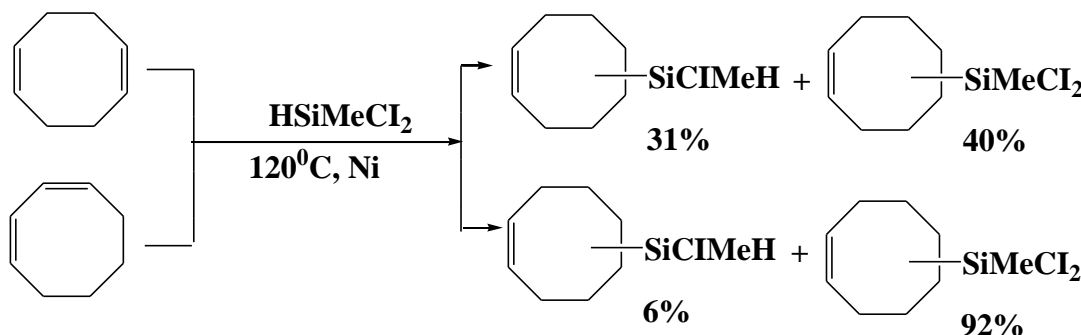
უფრო ღრმად მიმდინარეობს 1,4-ციკლოპენტენის ჰიდროსილილირება მეთილდიქლორსილანით კატალიზატორის დიქლორ-ბის[(R)-ბენზილმეთილფოსფინ]ნიკელი (II) თანაობისას, სადაც მონოადუქტოან ერთად 42% გამოსავლიანობით მიიღება ბისილილწარმოებულები [97, 98]:



ავტორების [98], მიერ შესწავლითა ფენილ-, მეთილდიქლორ- და დიმეთილსილანის პიდროსილილირების რეაქცია 1,5-ციკლოოქტადიენთან [99, 100] ნიკელის შემცველი ხელატური კომპლექსებით. დადგენილია, რომ ამ დროს ორმაგი ბმის იზომერიზაციას ადგილი არ აქვს და მიიღება მონომიერთების 5-ოქტენილსილანები შემდეგი სქემის მიხედვით:



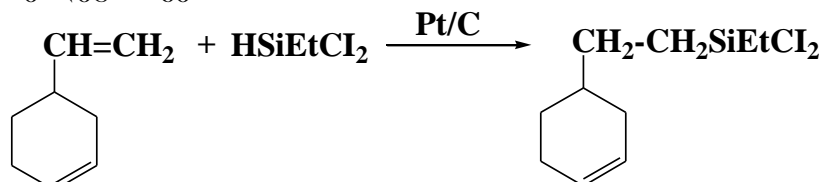
აღნიშნული ავტორებისაგან განსხვავებით დადგენილია, რომ 1,5-ციკლოოქტადიენთან ორგანოპიდრიდსილანების მიერთებისას, სპაიერის კატალიზატორის თანაობისას, პიდროსილილირებას წინ უსწრებს ნახშირწყალბადის იზომერიზაცია 1,3-ციკლოოქტადიენად, რომელიც შემდგომ განიცდის პიდროსილილირებას და მიიღება ადუქტები – 3-ციკლოოქტენილსილანები ნიკელფეროცენილ კომპლექსის თანაობისას 1,5- და 1,3-ციკლოოქტადიენთან მეთილდიქლორსილანის მიერთება ხელს უწყობს დისპროპორციონირების რეაქციას და პიდროსილილირება მიმდინარეობს შემდეგი სქემით [101, 102]:



ავტორები [101] არ იძლევიან ზუსტ სტრუქტურას წარმოქმნილი პროდუქტებისას, თუმცა იძლევიან საკუთარ მოსაზრებას Cl/H მიმოცვლის მექანიზმის შესახებ.

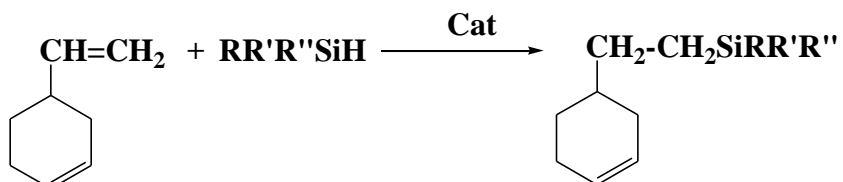
შესწავლითა ალილციკლოპენტადიენის პიდროსილილირების რეაქცია მეთილდიქლორსილანთან და ტრიქლორსილანთან H_2PtCl_6 თანაობისას და დადგენილია, რომ პიდროსილილირება მიმდინარეობს ვინილის ჯგუფზე [103, 104].

არაშეუღლებული დიენების პიდროსილილირების შესახებ მრავალი შრომა იქნა ჩატარებული პეტროვისა და მისი თანამშრომლების მიერ. შესწავლითა 4-ვინილ-1-ციკლოჰექსენთან ეთილდიქლორსილანის პიდროსილილირების რეაქცია Pt/C კატალიზატორის თანაობისას, 180°C ტემპერატურაზე. ამ დროს 2-(4-ციკლოჰექსენილ) ეთილდიქლორსილანის გამოსავლიანობა შეადგენდა 81%-ს. რეაქცია მიმდინარეობს შემდეგი სქემით [105]:



H_2PtCl_6 კატალიზატორის გამოყენებისას რეაქცია მიმდინარეობს უფრო დაბალ ტემპერატურაზე ($100^\circ C$) სამი საათის განმავლობაში [105, 106].

ვ. იურიევის და მისი თანამშრომლების მიერ შესწავლილია 4-ვინილ-1-ციკლოპექსენთან ტრიორგანოპიდრიდსილანების ჰიდროსილილირების რეაქციები სამკომპონენტიანი ხელატური კატალიზატორების თანაობისას, როგორიცაა Ni, Mo, V ტრიფენილფოსფინი და ტრიეთილალუმინი. რეაქცია ამ დროს მიმდინარეობს ვინილის ჯგუფზე შემდეგი სქემის მიხედვით [107]:



დადგენილია, რომ მიერთების ადუქტის გამოსავლიანობა იცვლება ხელატური კომპლექსის აგებულების და მეტალის ტიპის მიხედვით.

დადგენილია, რომ 4-ვინილ-1-ციკლოპექსენის ჰიდროსილილირება ჰიდრიდორგანიკლორსილანებით პლატინის კატალიზატორების თანაობისას მიმდინარეობს მონოსილილირმოებულების წარმოქმნით. იგივე მონოსილილირმოებულებზე ჰიდრიდორგანიკლორსილანებით პლატინის კატალიზატორების თანაობისას ციკლში არსებული ორმაგი ბმაც განიცდის ჰიდროსილილირებას და მიიღება დისილილირმოებულები მაღალი გამოსავლიანობით.

ამრიგად, მოცემულ თავში განხილულია სხვადასხვა კატალიზატორების თანაობისას დიენური ნაერთების ჰიდროსილილირების რეაქციები და მოცემული ტიპის რეაქციებით ნაჩვენებია შესაძლო სინთეზების ფართო სპექტრი.

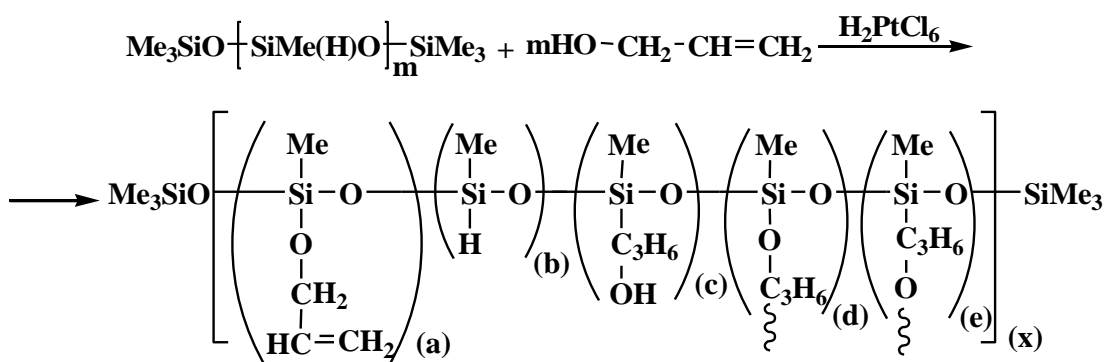
13. მეთილჰიდრიდსილოქსანების პიდროსილილირების რეაქციები უჯერ ნაერთებთან

მრავალი კომერციული პოლიდიორგანოსილოქსანური პოლიმერი, დღეს-დღეობით ფართოდ გამოიყენება მრეწველობასა და ყოველდღიურ ცხოვრებაში ისეთი შესანიშნავი თვისებების გამო, როგორიცაა თერმომდგრადობა, გარემო პირობებისადმი მდგრადობა და კარგი ელექტრული თვისებები. ამასთან პოლიორგანოსილოქსანები, გამომდინარე ძირითადი ჯაჭვის მოქნილობიდან, როგორც წესი, ხასიათდებიან დაბალი გამინების ტემპერატურით [108, 109].

უკანასკნელ ხანებში დიდი ყურადღება მიიპყრო საგარცხლისებური აგებულების თანაპოლიმერებმა, სადაც პიდროფობური თვისებების მქონე მეთილსილოქსანურ მატრიცასთან დაკავშირებულია სხვადასხვა ტიპის, სიგრძის და ბუნების ორგანული ჩამნაცვლებელი ჯგუფები, რომელთა ვარირებით შეიძლება აღნიშნული პოლიმერების თვისებების ცვლილება და მათი ფართო გამოყენება სხვადასხვა სფეროში.

პოლიმეთილჰიდრიდსილოქსანი წარმოადგენს იაფ სამრეწველო პროდუქტს, რომელიც უკანასკნელ ხანებში ფართოდ გამოიყენება, როგორც ძირითადი პოლიმერული მატრიცა სხვადასხვა თვისებების მქონე ორგანოსილოქსანური პოლიმერების მისაღებად [110].

შესწავლილია α , ω -ბის(გრიმეთილსილოქსი)მეთილჰიდრიდსილოქსანის პიდრიდული მიერთების რეაქციები ალილის სპირტთან, კატალიზატორის პლატინაქლორწყალბადმჟავას თანაობისას $30\text{--}40^{\circ}\text{C}$ -ის ტემპერატურულ ინტერვალში. დადგენილია, რომ პლატინაქლორწყალბადმჟავას თანაობისას ადგილი ჰქონდა კონკურენტული დეპიდროკონდენსაციისა და პიდრიდული მიერთების რეაქციებს, რასაც თან ახლდა შეკერვის რეაქციებიც და უხსნადი სისტემების წარმოქმნა. აღნიშნული რეაქციის დროს პიდრიდული მიერთება მიმდინარეობდა 20%-ით, ხოლო კატალიზური დეპიდროკონდენსაცია 50%-ით, ამის შემდეგ იწყებოდა გელის წარმოქმნა. ბირთვულ მაგნიტური რეზონანსული სპექტრული კვლევების საშუალებით ხაჩვენებია, რომ პიდროსილილირება მიმდინარეობს როგორც ფარმერის, ასევე მარკოვნიკოვის წესითაც, მათ შორის თანაფარდობა არის 3:1. განხილული რეაქციის შედეგად ადგილი ჰქონდა სხვადასხვა რგოლიანი პოლიმერების წარმოქმნას შემდეგი სქემის მიხედვით [111, 112]:

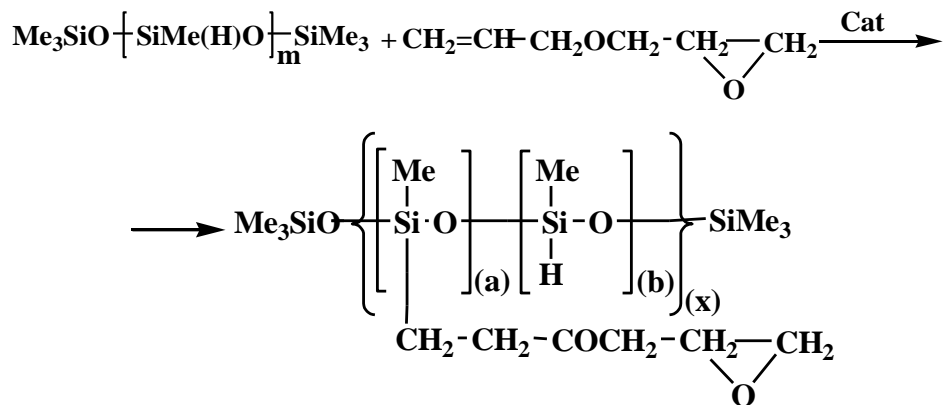


სადაც, $m \approx 53$, $[(a)+(b)+(c)+(d)+(e)](x) = 53$

შეკერვის რეაქციები შეიძლება მიმდინარეობდეს როგორც მოლეკულათაშორისი, ასევე შიგამოლევულური დეპიდროკონდენსაციისა და პიდროსილილირების რეაქციების შედეგად.

შესწავლილია α , ω -ბის(გრიმეთილსილოქსი)მეთილჰიდრიდსილოქსანის პიდრიდული მიერთების რეაქცია ალილგლიციდილის ეთერთან პლატინაქლორწყალბად-

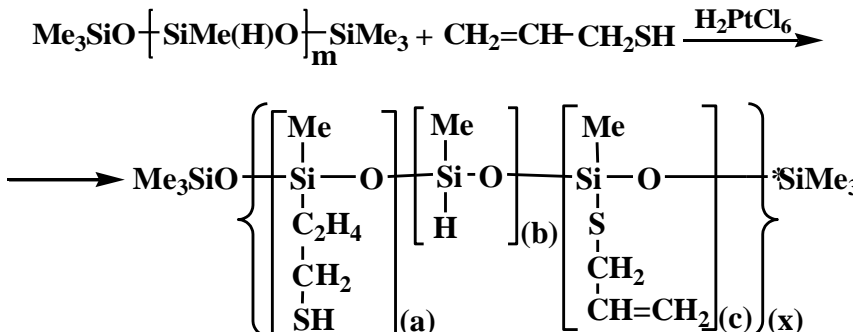
მჟავას (0,1M ხსნარი ტეტრაჰიდროფურანში) და Pt/C-ს (5%) თანაობისას, რეაქცია მიმდინარეობს შემდეგი სქემის მიხედვით [113]:



სადაც, [(a)+(b)](x)=n; n≈30, 53.

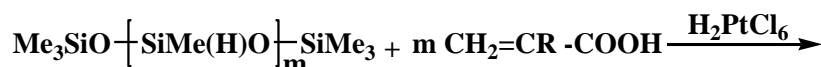
¹H ბირთვულ მაგნიტური რეზონანსული სპექტრიდან ჩანს, რომ ჰიდრიდული მიერთების რეაქცია უმთავრესად მიმდინარეობს ფარმერის წესით.

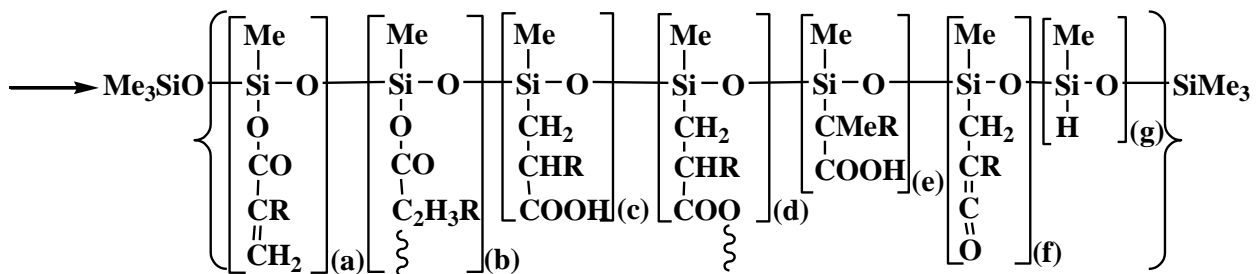
ავტორების მიერ შესწავლილია ალილმერკაპტანის α,ω-ბის(ტრიმეთილსილოქსი)მეთილჰიდროგლიცარნიკის ჰიდრიდული მიერთების რეაქცია პლატინაქლორწყალბადმჟავას თანაობისას. აღნიშნული რეაქცია მიმდინარეობს როგორც ჰიდროსილილირების (44%), ასევე დეპიდროკონდენსაციის გზით (7%) და მიიღება სხვადასხვარგოლიანი ოლიგომერები, რომლებიც შეიცავენ გვერდით განშტოებებს, როგორც თიოეთერული, ასევე კარბოსილანური ბმებით [114, 115]:



სადაც, [(a)+(b)+(c)](x)=n; n≈53.

შესწავლილია α,ω-ბის(ტრიმეთილსილოქსი)მეთილჰიდრიდსილოქსანის ჰიდრიდული მიერთების რეაქციები აკრილის მჟავასა და მეთაკრილის მჟავასთან პლატინაქლორწყალბადმჟავას და Pt/C-ს თანაობისას. აღნიშნული რეაქციები მიმდინარეობს, როგორც ჰიდროსილილირების, ასევე დეპიდროკონდენსაციის გზით. უპირატესად მიმდინარეობს ჰიდროსილილირების რეაქცია, რომელიც თავის მხრივ მიმდინარეობს როგორც ფარმერის, ასევე მარკოვნიკოვის წესის მიხედვით. რეაქციის მიმდინარეობისას ადგილი აქვს ნაწილობრივ გელის წარმოქმნას, რეაქციის შედეგად მიიღება სხვადასხვა რგოლიანი ოლიგომერები [116, 117]:



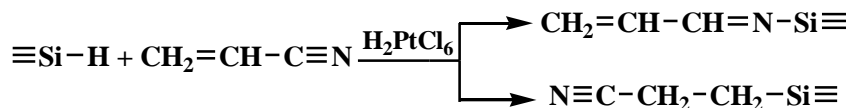


R=H; Me;

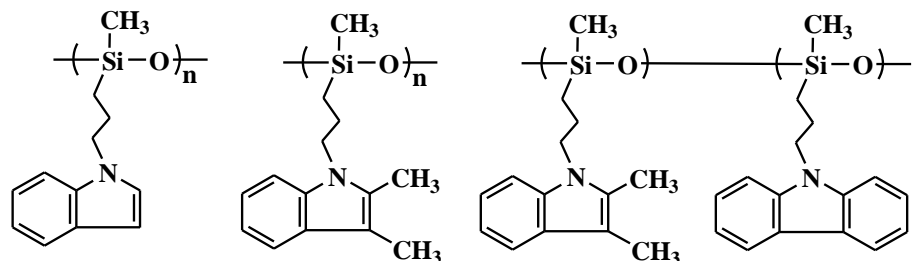
სადაც, $m \approx 53$, $[(a)+(b)+(c)+(d)+(e)+(f)+(g)](x)=35$.

ავტორის მიერ ასევე შესწავლილია აკრილისა და მეთაკრილის მჟავას N-ალკილირებულ და სილილირებულ ეთერებთან ა,თ-ბის(ტრიმეთილსილოქსი)მეთილჰიდრიდსილოქსანის ჰიდრიდული მიერთების რეაქციები. აღნიშნულ შემთხვევებში მიმდინარეობს ჰიდროსილირების რეაქციები უპირატესად ფარმერის წესის მიხედვით [118, 119].

შესწავლილია ციკლოხაზოვანი პოლიმეთილჰიდრიდსილოქსანის პოლიმიერთების რეაქციები აკრილონიტრილთან პლატინაქლორწალბადმჟავას თანაობისას, რომელიც შეიძლება წარიმართოს როგორც $C=C$, ასევე $C\equiv N$ ბმის ჰიდროსილირებით [120]:



შესწავლილია პოლიმეთილჰიდრიდსილოქსანის ($M_n=2300$) ჰიდროსილირების რეაქცია 1-(2-პროპენილ)ინდოლთან და 1-(2-პროპენილ)-2,3-დიმეთილინდოლთან დიქლორ(დიციკლოპენგრადიენ)პლატინა (II)-ის თანაობისას. ნარჩენი $\equiv Si-H$ ბმების სრული კონვერსიისათვის დამატებულია ოქტენ-1. ავტორების მიერ ასევე დასინთეზებულია როგორც ინდოლის, ასევე კარბაზოლის ჯგუფების შემცველი პოლიმეთილორგანოსილოქსანური ოლიგომერი [121]:

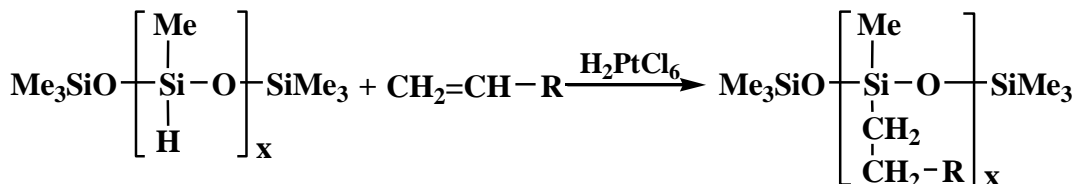


დასინთეზებული პოლიმერები შეიძლება გამოყენებულ იქნას ელექტროპატიკაში.

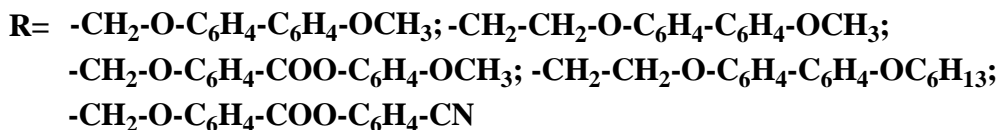
ავტორების მიერ, პოლიმეთილჰიდრიდსილოქსანის ჰიდროსილირებით პლატინის კატალიზატორების თანაობისას, დასინთეზებულია პოლიმეთილორგანოსილოქსანები, რომლებიც გვერდით ჯაჭვში შეიცავენ მეზოგენურ 4-ბუთ-3-ენილოქსიბენზოის მჟავას 4-მეთოქსიფენილის ეთერს და 1-(4-ჰიდროქსი-4'-ბიფენილ)-2-[4-(10-უნდეცენილოქსი)ფენილ]ბუთანს დასინთეზებული ელასტომერები წარმოადგენენ თხევადკრისტალურ სისტემებს და, აგრეთვე, არიან კარგი გამკერავი აგენტები [122].

შესწავლილია პოლიმეთილჰიდრიდსილოქსანის ჰიდროსილირების რეაქციები ვინილის ჯგუფის შემცველ მეზოგენურ მოლეკულებთან პლატინაქლორწალბადმჟავას თანაობისას. დასინთეზებულია რომოკოლიმერები, რომლებიც თხევად-

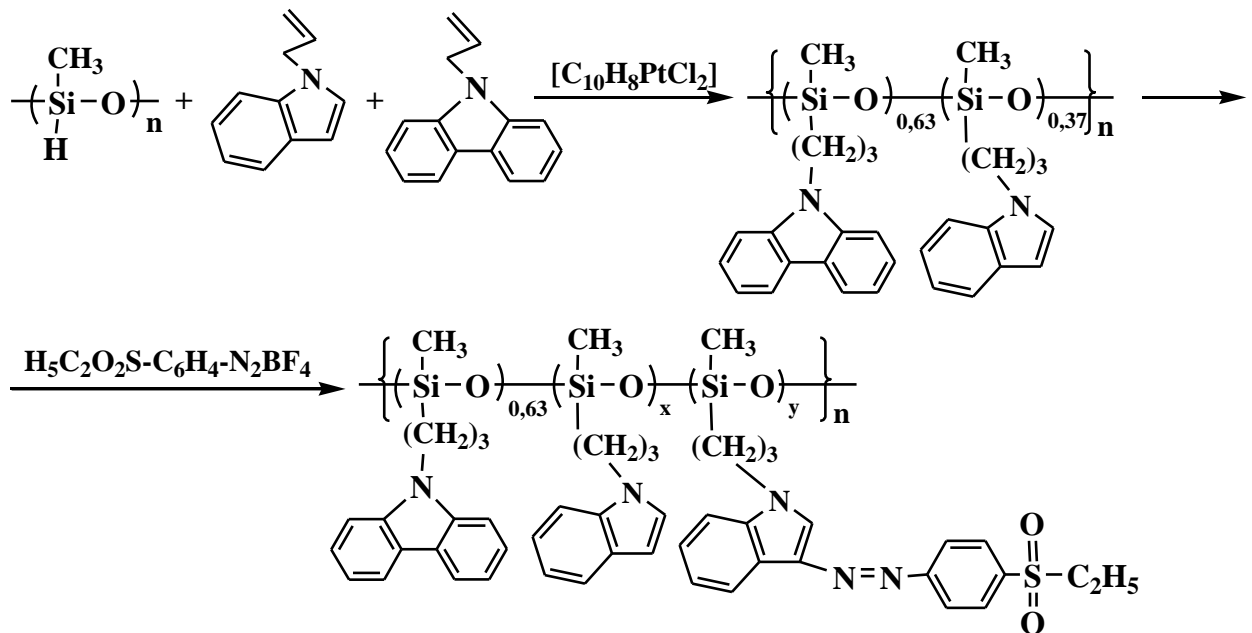
პრისტალურ თვისებებს თთახის ტემპერატურაზე ავლენენ. რეაქციები მიმდინარე-ობს შემდეგი ზოგადი სქემის მიხედვით [123]:



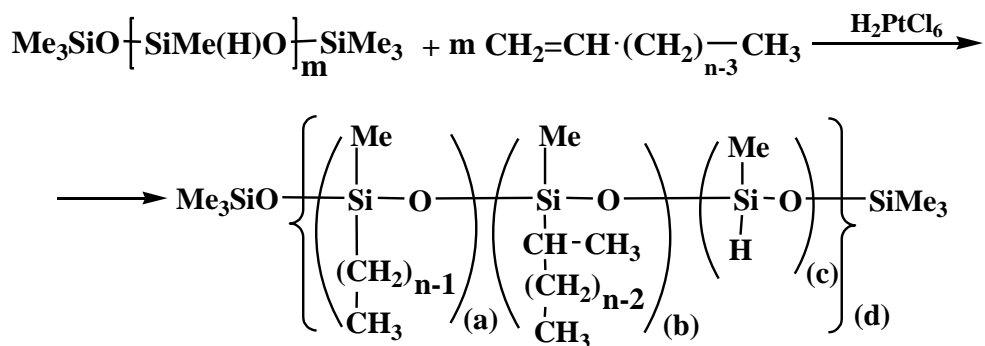
სადაც, $x=120$,



ავტორების მიერ დასინთეზებულია პოლისილოქსანები ქრომოფორული სულფონილ-ინდოლური და კარბაზოლური ჯგუფებით გვერდით ჯაჭვში ჰიდროსილოლირების რეაქციების გამოყენებით [124]:



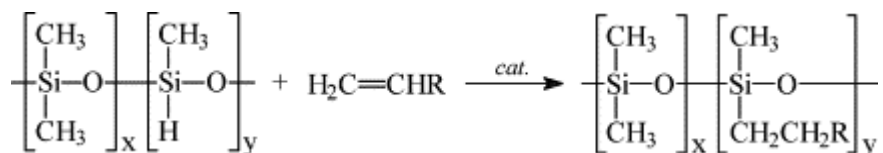
მეთილკიდრიდსილოქსანის ჰიდრიდული მიერთების რეაქციით სხვადასხვა სიგრძის ალკენებთან პლატინაქლორწყალბადმჟავას კატალიზატორის თანაობისას დადგენილია, რომ ჰიდროსილილირება სრულიად ბოლომდე არ მიმდინარეობს. გარდა ამისა, ნავჩვენებია, რომ ჰიდროსილილირება მიმდინარეობს უმთავრესად ანტიმარკოვნიკოვის წესის თანახმად, შემდეგი სქემის მიხედვით [125]:



სადაც, [(a)+(b)](c)=m≈35; n=6, 8, 10, 12, 18.

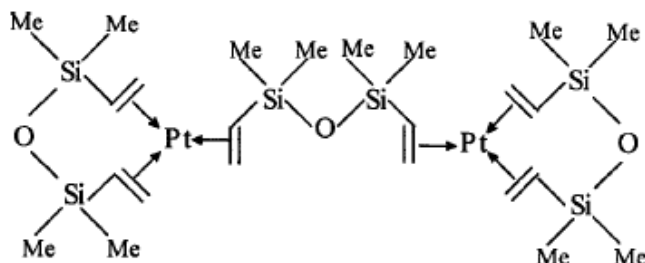
რეაქციის შედეგად მიიღება ორგანულ გამხსნელებზე ხსნადი, როგორც თხევადი, ასევე მყარი სისტემები.

პოლი(დიმეთილსილოქსან-მეთილპიდრიდიდსილოქსანი)ის პიდრიდული მიერთებით პირველად ნ-ალკენებთან ($C>8$), როდიუმის კომპლექსური კატალიზატორის თანაობისას [$\{\text{Rh}(\mu\text{-OSiMe}_3)(\text{cod})\}_2$], მიღებულია ორგანულ გამხსნელებზე ხსნადი სავარცხლისებრი აღნაგობის პოლიმერები შემდეგი სქემის მიხედვით [126]:

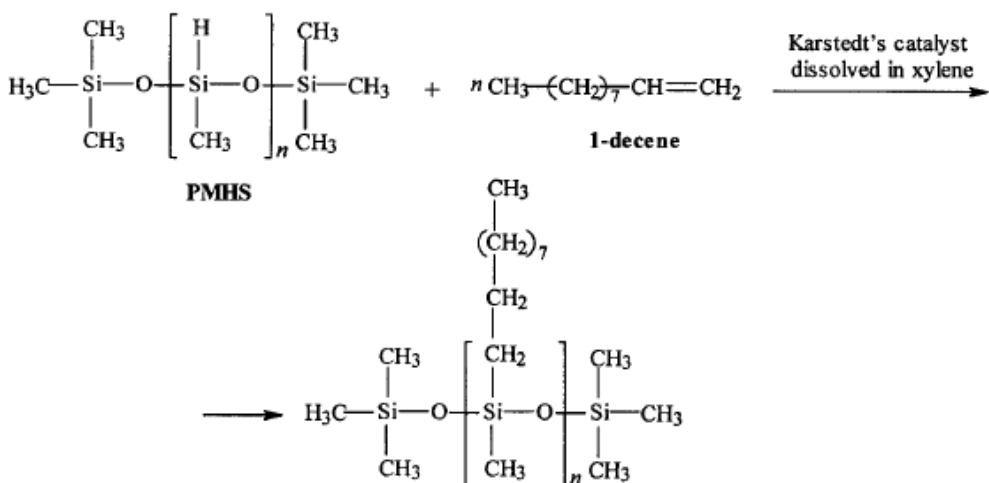


ალკილჩანაცვლებული პოლისილოქსანები (პოლიმეთილდეკილსილოქსანი) მიღებულია პოლი(მეთილპიდროსილოქსანის) პიდრიდული მიერთებით 1-დეცენთან, $25-56^0\text{C}$ ტემპერატურულ ინტერვალში, კარსტედის კატალიზატორის $\{\text{Pt}_2(\text{DVTMDS})_3$ $\text{Pt}(0)\text{-1,3-დივინილტეტრამეთილდისილოქსანი}$ [DVTMDS, $(\text{H}_2\text{C}=\text{CH})(\text{CH}_3)_2\text{SiO-Si}(\text{CH}_3)_2(\text{CH}=\text{CH}_2)\}$ თანაობისას. მიერთების კინეტიკები შესწავლილია ნალღობში და ნაჩვენებია, რომ მიერთება დაბალ ტემპერატურაზე ($28-40^0\text{C}$) მიმდინარეობს ინდუქციის პერიოდით.

ავტორების მიერ შემოთავაზებულია კარსტედის კატალიზატორის შესაძლო სტრუქტურა, რომელიც ასე წარმოდგება [127]:



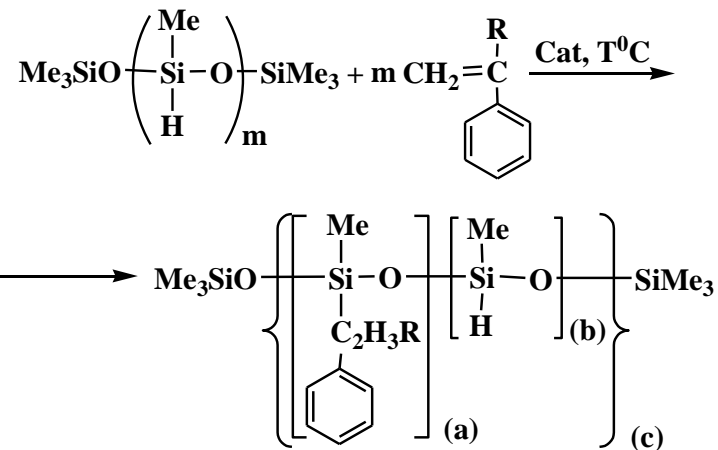
დადგენილია, რომ პიდროსილილირება 1-დეცენთან მიმდინარეობს სრულად, ანტიმარკოვნიკოვის წესით, β -მიერთების პროდუქტის წარმოქმნით.



ნაჩვენებია, რომ პიდროსილილირება კარსტედის კატალიზატორის მიმართ არის პირველი რიგის.

შემოთავაზებულია ჰიდროსილილირების რეაქციის მექანიზმი დამყარებულია კარსტედის ორბიროვიანი კატალიზატორთან აქტივიზირებული კომპლექსის წარმოქმნასთან და გათვლილია ჰიდროსილილირების რეაქციის აქტივაციის ენერგიები, რომელიც შეადგენს 73.3-78.2 კჯ/მოლს.

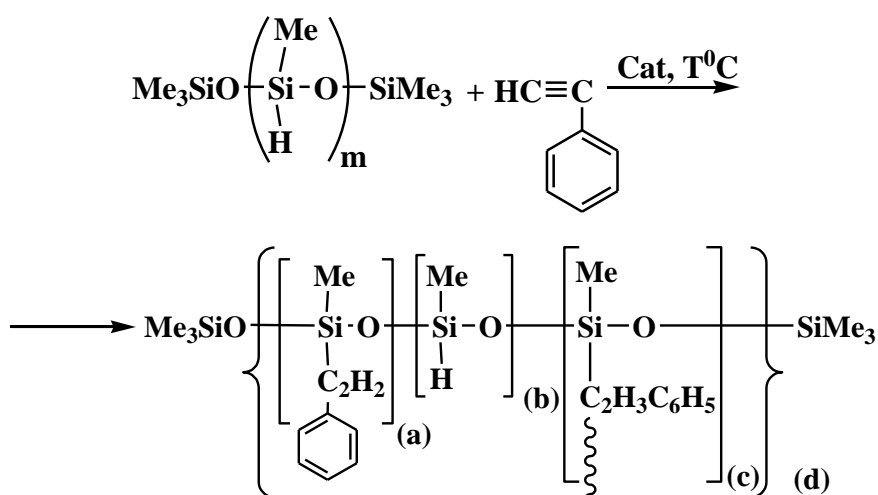
მეთილჰიდროდისილოქსანის ჰიდროსილილირების რეაქციები სტიროლთან და α-მეთილსტიროლთან პლატინაქლორფირადმჟავას ან ნახშირზე დაფენილი პლატინის თანაობისას, მიმდინარეობს როგორც მარკოვნიკოვის, ასევე ანტიმარკოვნიკოვის წესით [128]:



სადაც, $[(a)+(b)](c)=m \approx 35$; R=H (I¹ – 80°C; I² – 85°C; I – 90°C); Me (II – 90°C).

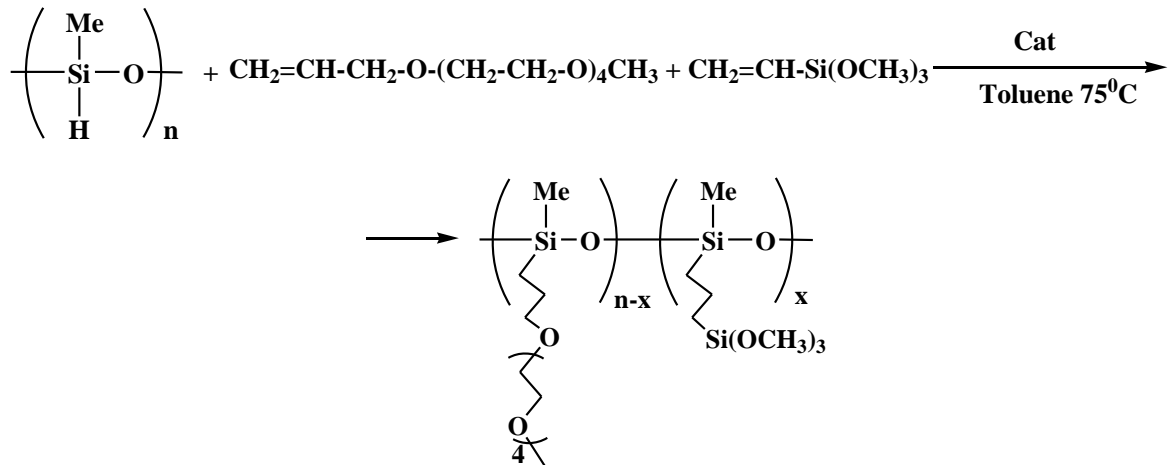
დადგენილია, რომ ყველა აქტიური ჯგუფი არ შედის ჰიდროსილილირების რეაქციაში და ტემპერატურის გაზრდება ჰიდროსილილირების რეაქციის სიღრმე.

ფენილაცეტილენთან მეთილჰიდროდისილოქსანის ჰიდრიდული მიერთებისას, მორეაგირე კომპონენტების 1:35 თანაფარდობისას ნაჩვენებია, რომ აქტიური $\equiv Si-H$ ბმას 80%-ზე მეტი კონვერსიისას ადგილი აქვს შეკერილი სისტემების წარმოქმნას, რაც შეიძლება აიხსნას ნარჩენი $\equiv Si-H$ ბმის მოლეკულათშორისი ჰიდრიდული მიერთების რეაქციით ნარჩენ ორმაგ ბმასთან. შესაბამისად რეაქცია მიმდინარეობს შემდეგი რეაქციის სქემით [129]:



ხსნადი პოლიმერების მისაღებად რეაქციას ვაჩერებდით 80% კონვერსიაზე, რათა თავიდან აგვეცილებინა გაკერვის რეაქციები.

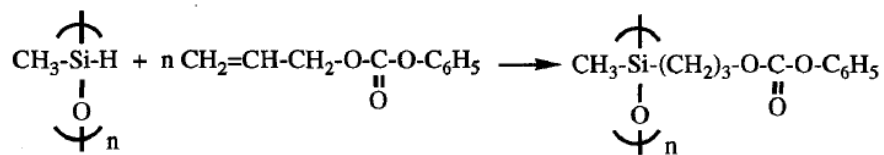
მეთილჰიდროდიდილოქსანის პიდრიდული მიერთებით ტეტრაეთილენგლიკოლმეთილალიდეთერთან და ალილტრიმეთოქსისილანთან, უკანასკნელის 5-დან 40% მოლური თანაფარდობით, კარსტედის კატალიზატორის თანაობისას, მიღებულია მეთილსილოქსანური პოლიმერები სხვადასხვა გვერდითი ჩამნაცვლებელი ჯგუფებით [130]:



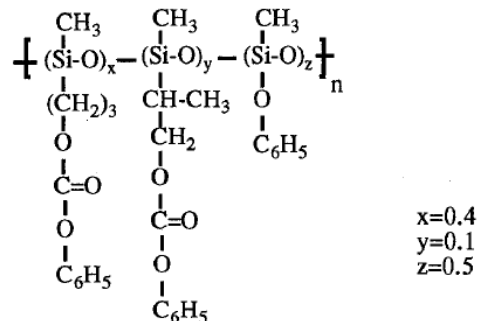
სადაც, $x=5\text{-}40\%$.

მიღებული პოლიმერის ტეტრაჰიდროფურანის ხსნარში ხსნიდნენ ტრიფტორმარმუას ლითიუმის მარილს და ზოლ-გელური პროცესების საშუალებით აწარმოებდნენ გაკერვას. მიღებულია მყარი იონგამტარი პოლიმერული ელექტროლიტი, ელექტრული გამტარებლობით: 1.4×10^{-4} სქს S^{-1} .

მეთილჰიდროდიდილოქსანის პიდრიდული მიერთების რეაქციით ალილფენილ-კარბონატთან პლატინის კატალიზატორის თანაობისას ნაჩვენებია, რომ 50%-ზე მეტი კარბონატი განიცდის დაშლას ნახშირორჟანგად, პროპენად და ფენოლად. გამოყოფილი ფენოლი შედის რეაქციაში $\equiv\text{Si}-\text{H}$ ბმასთან და შესაბამისი ოქსიფენილის ჯგუფებს წარმოქმნის შემდეგი სქემის მიხედვით [131]:

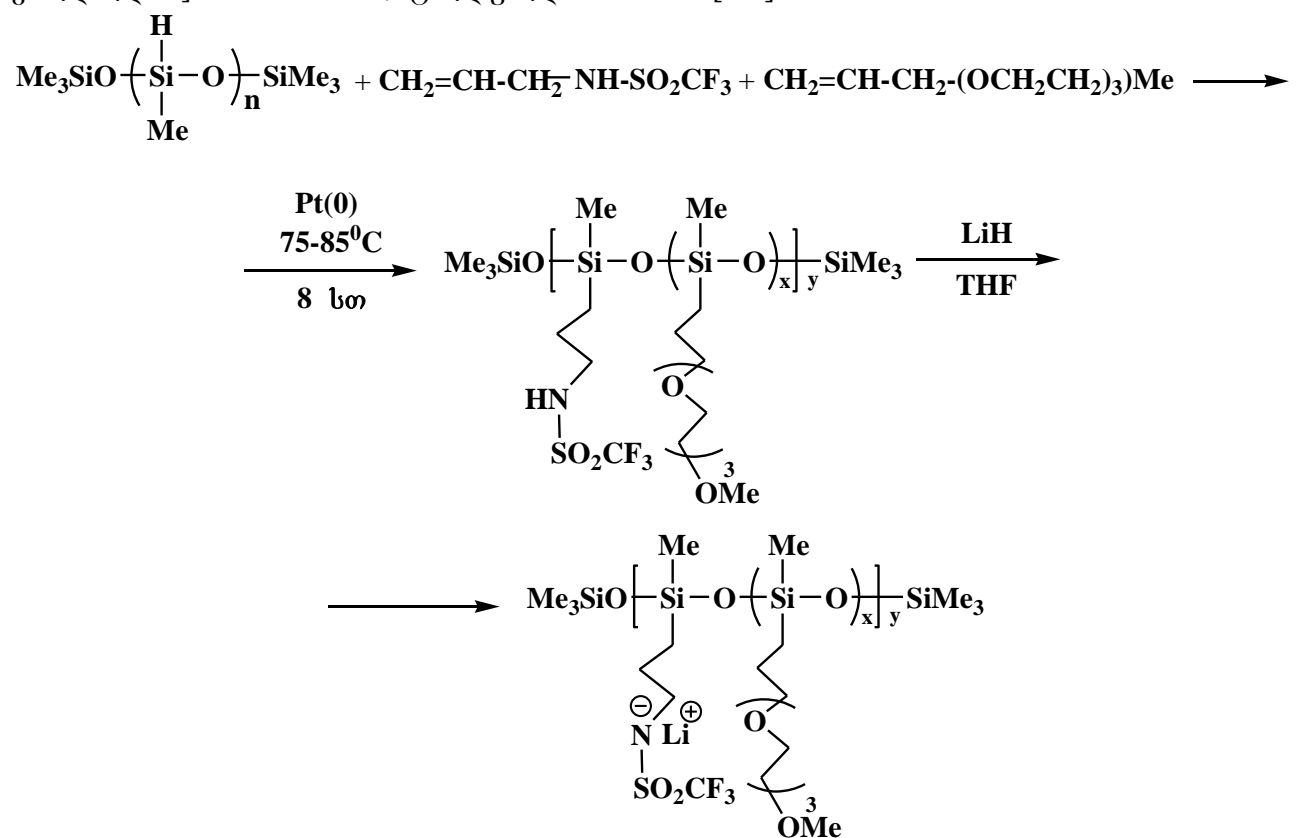


საბოლოოდ წარმოქმნილი პროდუქტის შედგენილობა შემდეგნაირია:



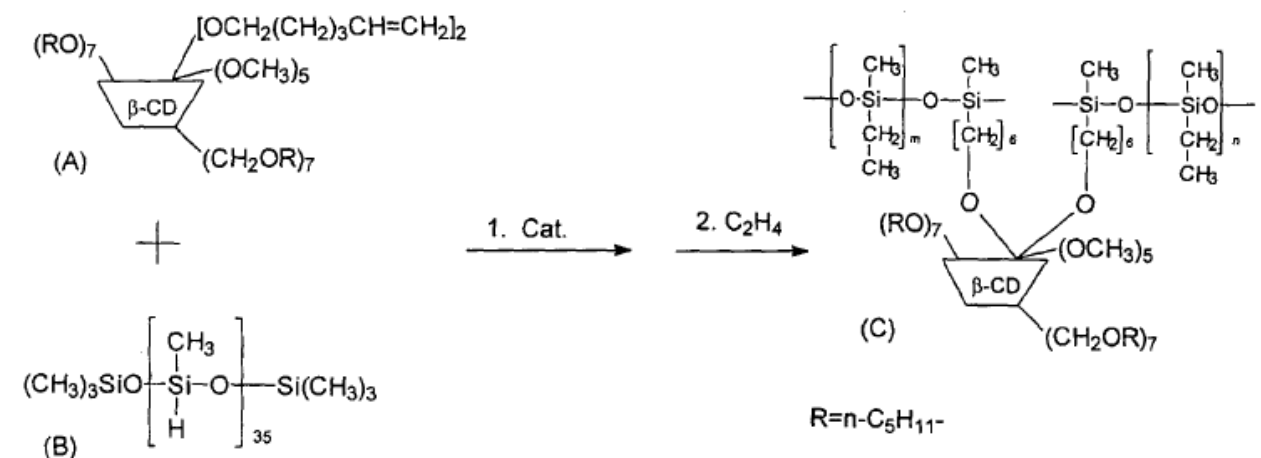
აგტორების მიერ შესწავლილია მეთილჰიდროდიდილოქსანის ($M_w=1900$) საფეხურებრივი პიდროსილილირების რეაქცია ალილტრიფტორმეთილსულფონამიდთან (5%) და ალილ(ტრიოქსიეთილენ)მეთილის ეთერთან (95%) 50-75°C ტემპერატურაზე,

კარსტედის კატალიზატორის [Pt(0) ტეტრამეთილივინილდისილოქსანის კომპლექსის ქსილოლში] თანაობისას, ტოლუოლ-ხსნარში [132]:



შემდგომში გამხსნელი ტოლუოლი შეცვლილ იქნა ტეტრაჰიდროფურანით და დამატებულ იქნა ლითიუმის ჰიდრიდი (LiH). დადგენილია, რომ ამ გზით მიღებული პოლიელექტროლიტის გამტარებლობა შეადგენს 1.2×10^{-6} (სხსმ $^{-1}$).

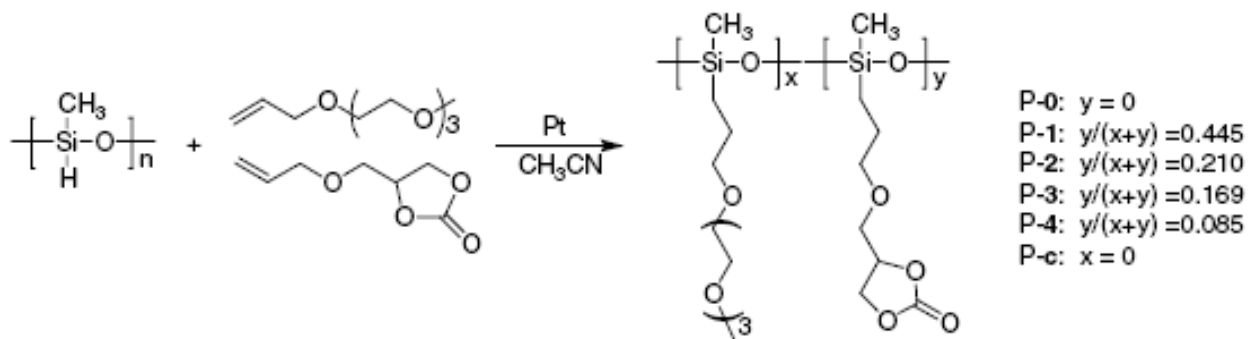
ახალი ჯგუფების შემცველი სტაციონალური ფაზა გაზ-თხევადური ქრომატოგრაფიისათვის მიღებულია ოლიგომეთილჰიდრიდსილოქსანის ($m=35$) ჰიდრიდული მიერთებით ბიკის(2,6-დი-О-პენტილ-3-О-ჰექს-6-ენილ)-პენტაკის(2,6-დი-О-პენტილ-3-О-მეთილ)-β-ციკლოდექსტრინთან პლატინის კატალიზატორის თანაობისას ტეტრაჰიდროფურანის ხსნარში, ცნობილი მეთოდით შემდეგი სქემის მიხედვით [133]:



აღნიშნული ახალი სტაციონალური ფაზა გაზ-თხევადურ ქრომატოგრაფიაში ხასიათდება ქრომატოგრაფიული სვეტის მაღალი ეფექტურობით, წარმოადგენენ

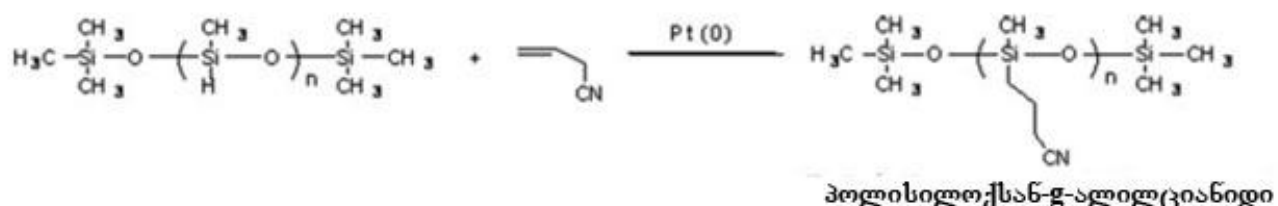
ქირალური და აქირალური იზომერების საუკეთესო დამყოფებს. დაფიქსირებული იქნა საინტერესო თვისება, რომ მეტა- და პარა-ქლორ ტოლუოლის დაყოფის უნარი მცირდება ტემპერატურის შემცირებასთან ერთად $80\text{--}110^{\circ}\text{C}$ ტემპერატურულ ინტერგალში.

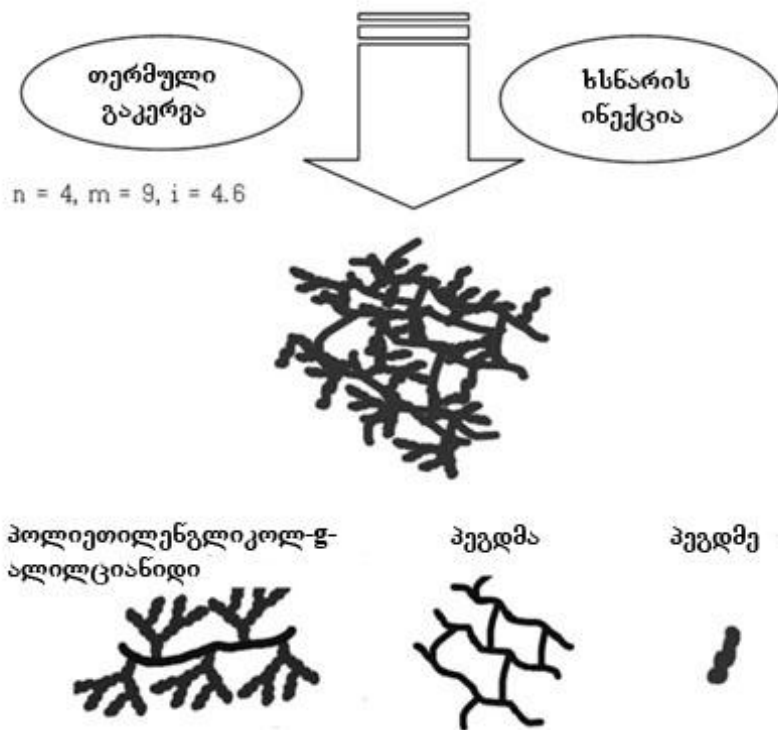
ახალი საგარცხლისებური აღნაგობის პოლისილოქსანები შერეული ჩამნაცვლებელი ჯგუფებით მიღებული პოლიმერიდრიდსილოქსანის პიდროსილილირების რეაქციებით 4-ალილოქსიმეთილ-[1,3]დიოქსალონ-2-ონ და ტრი(ეთილენგლიკოლ)ალილმეთილეთერთან კატალიზატორის დიციკლოპენტადიენ პლატინა(II) დიქლორის ხსნარის დიქლორმეთილენში თანაობისას, აცეტონიტრილის ხსნარში, 80°C ტემპერატურაზე. რეაქცია მიმდინარეობს შემდეგი სქემის მიხედვით [134]:



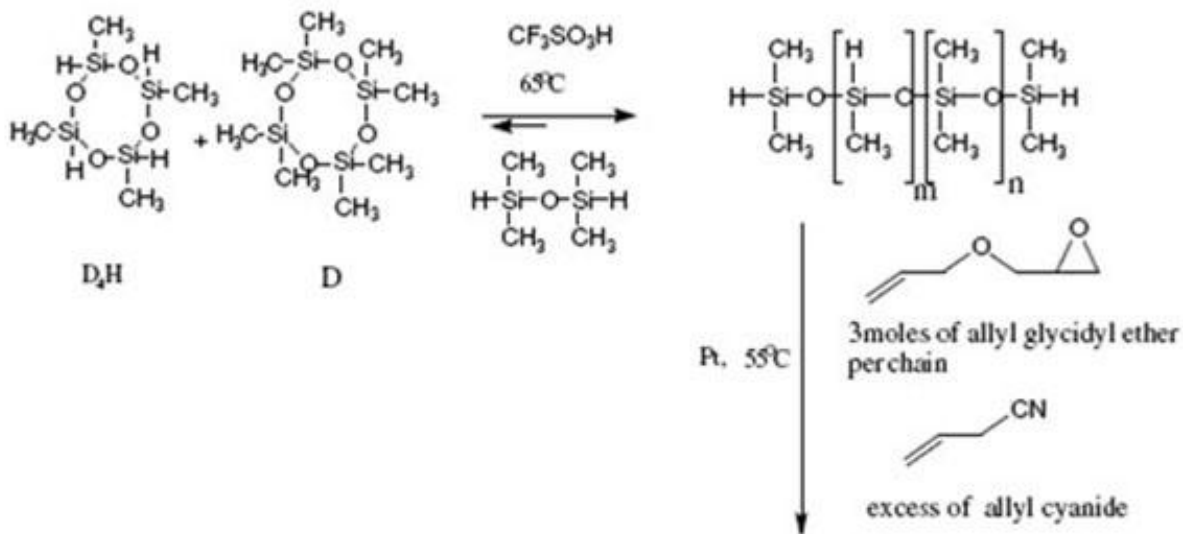
დადგენილია, რომ კარბონატული პოლარული ჯგუფების (8.5%) შეტანით გვერდით პოლიმერულ ჯაჭვში და მასში ლითიუმბის(ტრიფტორსულფონილ)იმიდის შეტანით მიღებული პოლიმერების იონური ელექტროგამტარებლობა იზრდება და ამ სერიის პოლიმერებისათვის შეადგენს $1.62 \times 10^{-3} \text{ S/cm}^{-1}$. ნაჩვენებია, რომ პოლიმერები რომლებიც შეიცავენ კარბონატულ ჯგუფებს დიდი რაოდენობით, ამჟღავნებენ უფრო დაბალ ელექტროგამტარებლობას გაზრდილი სიბლანტის და მაღალი გამინების ტემპერატურის გამო.

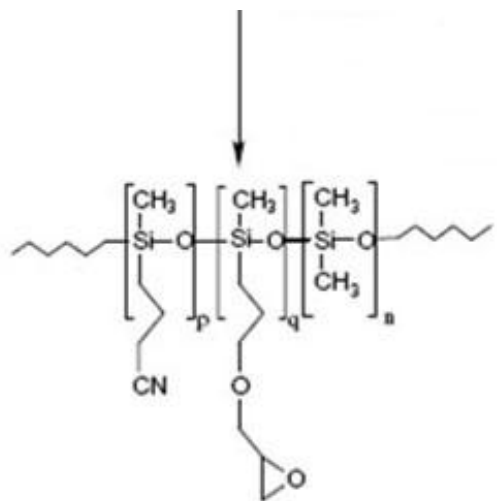
შესწავლილია პოლი(მეთილჰიდროსილოქსანი)ს ($M_n=390$) პიდრიდული მიერთების რეაქცია ალილციანიდთან კარსტედის კატალიზატორის თანაობისას და დასინთეზებულია პოლისილოქსანები ალკილციანიდური ჯგუფებით გვერდით ჯაჭვში. მიღებული სილოქსანური მატრიციდან, პოლი(ეთილენგლიკოლ)დიმეთილეთერის (პეგდმ) და პოლი(ეთილენგლიკოლ)დიმეთაკრილატის (პეგდა) თერმული დამუშავებით მიღებულია ურთიერთგამჭოლი მყარი პოლიმერ-ელექტროლიტი, რომელშიც იონური გამტარებლობა იცვლება $1.05 \times 10^{-3} \div 6.96 \times 10^{-4} \text{ S/cm}^{-1}$. რეაქცია მიმდინარეობს შემდეგი სქემის მიხედვით [135]:





ავტორების მიერ შესწავლილია ოქტამეთოლციკლოტეტრასილოქსანის (D_4), ტეტრამეთოლტეტრასილოქსანის (D_4H) და ტეტრამეთოლდისილოქსანის თანაპოლიმერიზაციის რეაქციები გოგირდმჟავას ტრიფტორმეთოლირებულ ეთერის თანაბისას 65°C ტემპერატურაზე, რის შედეგადაც დასინთეზებულია პოლიდიმეთოლსილოქსანმეთოლპილრიდისილოქსანური თანაპოლიმერი. შესწავლილია აღნიშნული თანაპოლიმერის პიდროსილილირების რეაქციები ალილგლიციდილის ეთერთან და ალილციანიდთან. რეაქცია ზოგადად წარიმართება შემდეგი სქემის მიხედვით [136]:





აღნიშნული სილოქსანური თანაპოლიმერი გამოყენებულია, როგორც შემავალებელი ახალლაქებში.

ამდენად, აღნიშნულ თავში განხილულია უმთავრესად მეთილჰიდრიდსილოქსანების ჰიდროსილირების რეაქციები უჯერი ბმების შემცველ ნაერთებთან სხვადასხვა კატალიზატორის თანაობისას და ნაჩვენებია მიღებული პოლიმერების გამოყენების პერსპექტივები.

თავი 2

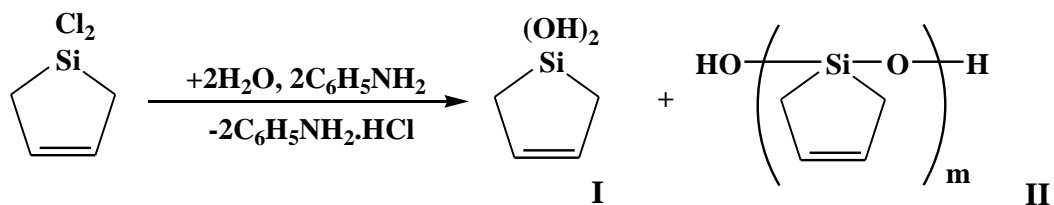
სამუშაოს შედეგები და მათი განსჯა

2.1. სილაციკლოპენტენ-3 ჯგუფის შემცველი ზოგიერთი სილიციუმორგანული ნაერთის სინთეზი

ახალი ტიპის სილიციუმორგანული ნაერთების სინთეზს, სილიციუმის ატომთან სხვადასხვა უჯერი ბმების შემცველი რადიკალებით და მათ ბაზაზე ახალი ტიპის პოლიმერების მიღების მეთოდების დამუშავებას დიდი მნიშვნელობა ენიჭება. ამიტომ ჩვენი სამუშაოს მიზანს შეადგენდა სილაციკლოპენტენ-3 და ნორბორნენ-2-ილ ჯგუფების შემცველი სილიციუმორგანული ნაერთების სინთეზი და მათ ბაზაზე ახალი სილიციუმორგანული ელასტომერების მიღება.

1-სილაციკლოპენტენ-3-ის ჯგუფის შემცველი სილიციუმორგანული ნივთიერებების სინთეზის მიზნით, ჩვენს მიერ შესწავლილია 1,1-დიქლორსილაციკლოპენტენ-3-ის როგორც ნაწილობრივი, ასევე სრული ჰიდროლიზის რეაქციები.

1,1-დიქლორსილაციკლოპენტენ-3-ის სრული ჰიდროლიზი ჩავატარეთ ეთერის არეში $-5 \div 10^\circ\text{C}$ ტემპერატურის პირობებში ანილინის თანდასწრებით აღნიშნულ პირობებში რეაქცია მიმდინარეობს შემდეგი სქემით [137-139]:

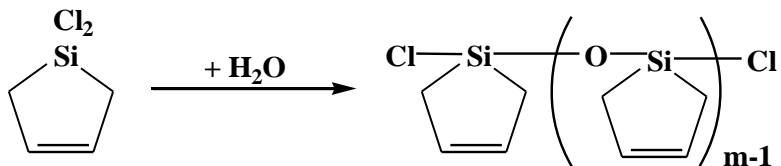


სადაც, $m=3$.

რეაქციის შედეგად მიღებული პროდუქტის პექსანიდან გადაკრისტალების შემდეგ 62%-იანი გამოსავლიანობით მიღებულია თეთრი ფერის წყალში ხსნადი კრისტალური ნივთიერება I, ხოლო დედა ხსნარიდან გამსხველის მოცილების შემდეგ ჩვენს მიერ მიღებულია ნახევარადკრისტალური ნაერთი II, გარდაქმნის საშუალო ხარისხით $m=3$.

მიღებული ნივთიერებების იშ სპექტრში არ შეიმჩნევა $\equiv\text{Si}-\text{Cl}$ ბმის სიმეტრიული გალენტური რხევებისათვის დამახასიათებელი შთანთქმის ზოლი 470-530 cm^{-1} უბანში, სამაგიეროდ სპექტრში ჩნდება $\equiv\text{Si}-\text{OH}$ ბმისათვის დამახასიათებელი შთანთქმის ზოლი, როგორც ასოცირებულისათვის 3600-3200 cm^{-1} უბანში, ასევე არასოცირებულისათვის 920 cm^{-1} [140-142].

1,1-დიქლორსილაციკლოპენტენ-3-ის ნაწილობრივი ჰიდროლიზი ჩავატარეთ განხავებული ეთერის ხსნარში $-5 \div 0 \div -10^\circ\text{C}$. რეაქციის პროცესში გამოიყოფილია α, ω -დიქლორსილაციკლოპენტენსილოქსანები. რეაქცია მიმდინარეობს შემდეგი სქემით:

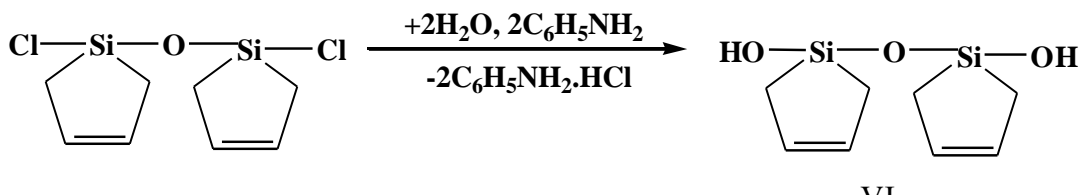


სადაც, $m=2$ (III); 3(IV), 4(V).

დასინთეზებული ნივთიერებები წარმოადგენენ ორგანულ გამსხველებში კარგად ხსნად უფერო სითხეებს, რომელთა სტრუქტურა დადგენილია ფუნქციური

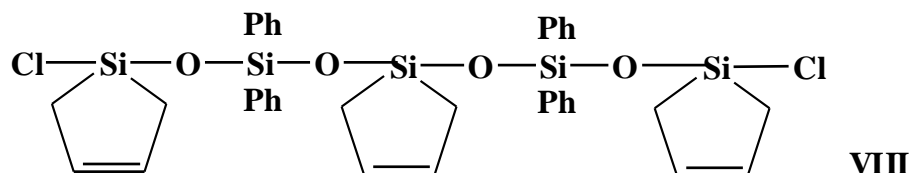
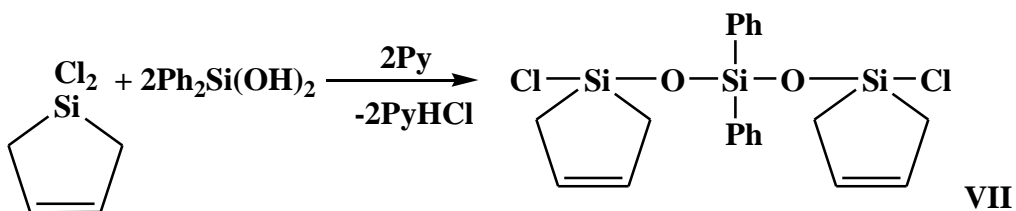
და ელემენტური ანალიზით, მოლეკულური მასებისა და მოლეკულური რეფრაქციის განსაზღვრით, აგრეთვე იწ და ^1H ბირთვული მაგნიტური რეზონანსული სპექტრების მონაცემებით. III ნივთიერების ბირთვული მაგნიტური რეზონანსის სპექტრში შეიმჩნევა სინგლეტური სიგნალი მეთილენური პროტონებისათვის ქიმიური გადაადგილებით $\delta=1,40$ კმნ და რთული მულტიპლეტი - $\text{CH}=\text{CH}-$ ბმისათვის $5,80 \div 6,10$ კმნ.

ჩატარებულია აგრეთვე 1,3-დიქლორ-1,3-დი(სილაციკლოპენტენ-3)დისილოქსანის ჰიდროლიზი სუსტ ტუტე არეში $-5 \div +10$ ტემპერატურაზე. მიღებულია 1,3-დიჰიდროქსი-1,3-დი(სილაციკლოპენტენ-3)დისილოქსანი (VI), რომელიც ჰენტანიდან გადაკრისტალების შემდეგ წარმოადგენს თეთრი ფერის მყარ ნივთიერებას, კარგად ხსნადს ორგანულ გამხსნელებში. აღსანიშნავია, რომ მიღებული ნივთიერება არ ხასიათდება მდგრადობით და დროთა განმავლობაში განიცდის კონდენსაციას:



VI ნივთიერების იწ სპექტრში ქრება $\equiv\text{Si}-\text{Cl}$ ბმის სიმეტრიული ვალენტური რხევებისათვის დამახასიათებელი შთანთქმის ზოლი $490-540 \text{ სმ}^{-1}$ უბანში და შეიმჩნევა შთანთქმის ფართო ზოლი დამახასიათებელი ასოცირებული ჰიდროქსილის ჯგუფისათვის $3600-3200 \text{ სმ}^{-1}$ უბანში [140-142].

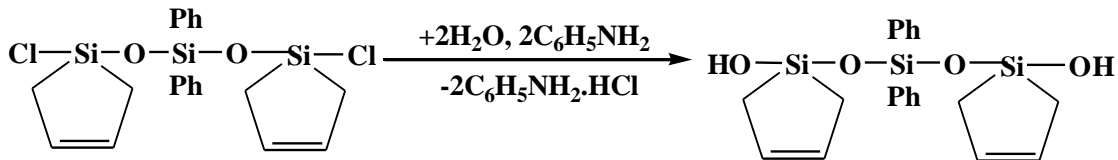
შესწავლილია აგრეთვე 1,1-დიქლორსილაციკლოპენტენ-3-ის ჰეტეროფუნქციური კონდენსაციის რეაქცია დიფენილსილანდიოლთან აბსოლუტური ტოლუოლის არეში, ჰირიდინის თანაობისას $-5 \div 0^\circ\text{C}$ ტემპერატურის ჰირობებში მორგავირე კომპონენტების 3:1 თანაფარდობით. რეაქცია წარიმართება შემდეგი სქემით:



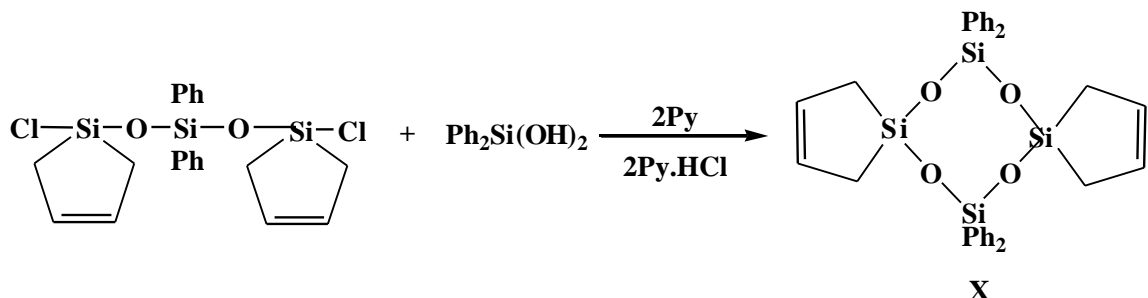
დასინთეზებული ნივთიერებები ვაკუუმში დაფრაქციონირების შემდეგ წარმოადგენენ უფერო სითხეებს, რომლებიც კარგად იხსნებიან ორგანულ გამხსნელებში.

VII და VIII ნივთიერებების იწ სპექტრში შეიმჩნევა $\equiv\text{Si}-\text{Cl}$ ბმისათვის დამახასიათებელი შთანთქმის ზოლი $490-540 \text{ სმ}^{-1}$ უბანში, აგრეთვე ხაზოვანი $\equiv\text{Si}-\text{O}-\text{Si}\equiv$ ბმის ასიმეტრიული ვალენტური რხევებისათვის დამახასიათებელი შთანთქმის ზოლი 1030 სმ^{-1} უბანში და $\equiv\text{Si}-\text{Ph}$ ბმისათვის დამახასიათებელი შთანთქმის ზოლი 1435 სმ^{-1} უბანში, აგრეთვე შეიმჩნევა CH_2 ბმისათვის დამახასიათებელი შთანთქმის ზოლები 1410 და 2900 სმ^{-1} უბანებში [140-142].

ასევე, ჩვენს მიერ ჩატარებული 1,5-დიქლორ-1,5-დი(სილაციკლოპენტენ-3)-3,3-დიფენილტრისილოქსანის პიდროლიზით სუსტ ტუტე არეში გამოყოფილია შესაბამისი, ორგანული გახმსნელებში კარგად ხსნადი კრისტალური ნივთიერება 1,5-დიპიდროქსი-1,5-დი(სილაციკლოპენტენ-3)-3,3-დიფენილტრისილოქსანი 69,7% გამოსავლიანობით (IX):

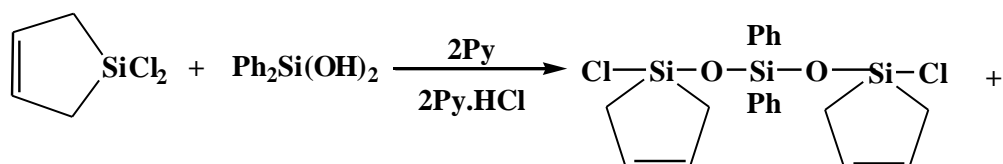


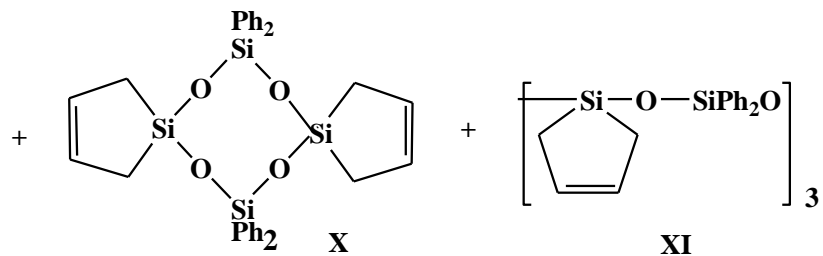
შესწავლილია 1,5-დიქლორ-1,5-დი(სილაციკლოპენტენ-3)-3,3-დიფენილტრისილოქსანის ჰეტეროფენენქციური კონდენსაციის რეაქცია დიფენილსილანდიოლთან 5%-იან აბსოლუტურ ტოლუოლებსნარში, პირიდინის თანაობისას, მორეაგირე კომპონენტების მოლური თანაფარდობით 1:1, $-4 \div +10^\circ\text{C}$ ტემპერატურულ ინტერვალში, რის შედეგადაც მიღებულ იქნა ციკლური აღნაგობის, ორგანულ გამხსნელებში კარგად ხსნადი კრისტალური ნივთიერება X - 53% გამოსავლიანობით. რეაქცია მიმდინარეობს შემდეგი სქემით:



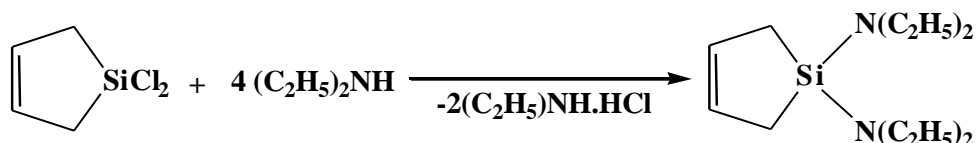
დასინთეზებული X ნაერთის ბირთვული მაგნიტური რეზონანსის სპექტრში შეიმჩნევა CH_2 ბმისათვის დამახასიათებელი სინალები სიგნალი ქიმიური გადაადგილებით $\delta \approx 1,37$ ვმნ და უჯერ $-\text{CH}=\text{CH}-$ ფრაგმენტისათვის დამახასიათებელი გაფართოებული სიგნალი $5,80 \div 6,10$ ვმნ სპექტრში შეიმჩნევა ასევე ფენილის პროტონებისათვის დამახასიათებელი რთული მულტიპლეტი ქიმიური გადაადგილებით $7,40 \div 7,72$ ვმნ.

ჩვენს მიერ, აგრეთვე, შესწავლილია 1,1-დიქლორსილაციკლოპენტენ-3-ის ჰეტეროფენენქციური კონდენსაციის რეაქცია დიპიდროქსილდილანთან მორეაგირე კომპონენტების 1:1 თანაფარდობით, განზავებული აბსოლუტური ტოლუოლის ხსნარში, $-5 \div 10^\circ\text{C}$ ტემპერატურულ ინტერვალში, პირიდინის თანაობისას. აღმოჩნდა, რომ ამ დროს მიიღება როგორც ხაზოვანი აგებულების 1,5-დიქლორტრისილოქსანი VII სტრუქტურით, ასევე 1,5-დისილაციკლოპენტენტრაფენილციკლოტერასილოქსანის X დაახლოებით 39% გამოსავლიანობით და, აგრეთვე, გაფართოებული ციკლოპენტრასილოქსანი XI სტრუქტურით. რეაქცია მიმდინარეობს შემდეგი სქემის მიხედვით:





1,1-დიქლორსილაციკლოპენტენ-3-ის ჰეტეროფუნქციური კონდენსაციით დო-
ჟოლამინთან, მოლური თანაფარდობით 1:4, გამოყოფილ იქნა უფერო სითხე – 1,1-
დიეთოლამინო-1-სილაციკლოპენტენ-3 33,3%-იანი გამოსავლიანობით (XII):



XII

ყველა, ჩვენს მიერ, დასინთეზებული ნივთიერებების შედგენილობა და
აგებულება დადგენილია ფუნქციური და ელემენტური ანალიზით, მოლეკულური
მასებისა და მოლეკულური რეფრაქციის განსაზღვრით, აგრეთვე იწ სპექტრების მო-
ნაცემებით (იხ. ცხრილი 1).

ამდენად, ჩვენს მიერ პირველად იქნა დასინთეზებული სილაციკლოპენტენ-3
ჯგუფების შემცველი ორგანოსილოქსანები, რომლებიც წარმოადგენენ საინტერესო
პროდუქტებს სილიციუმორგანული ელასტომერების მისაღებად.

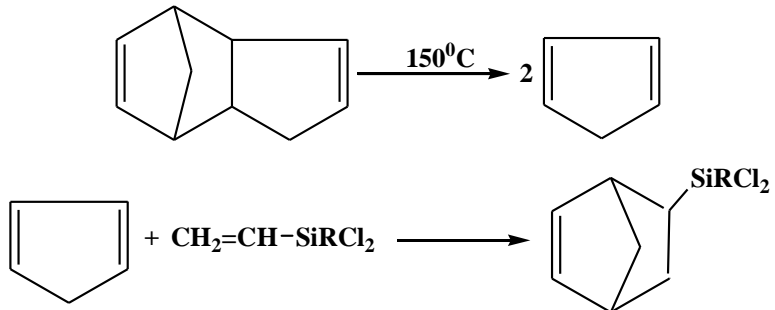
ცხრილი 1
სილაციონურობენტენ-3 ჯგუფის შემცველი ორგანოსილოქსანების ზოგიერთი ფიზიკურ-ქიმიური თვისებები

ცალი ელემენტი	გამოსა ვალიან ობა, %	n_4^{20}	d_4^{20}	MR_D	M	ფორმულა	ელემენტური ანალიზი, %				$T_{დაუღის, ^\circ C}$ (P _{გ.წყ.ს.3})	$T_{ლოდ, ^\circ C}$
							C	H	Si	OH/Cl		
I	64	—	—	—	<u>108</u> 116	$SiC_4H_8O_2$	<u>41,10</u> 41,38	<u>6,73</u> 6,90	<u>24,64</u> 24,14	<u>28,77</u> 29,31	—	28-29
II	32	—	—	—	<u>300</u> 328	$Si_3C_{12}H_{20}O_5$	<u>43,46</u> 43,90	<u>5,67</u> 6,10	<u>25,23</u> 25,61	<u>9,89</u> 10,37	—	—
III	22	1,4942	1,1468	<u>61,2</u> 61,5	<u>244</u> 251	$Si_2C_8H_{12}OCl_2$	<u>37,93</u> 38,25	<u>4,55</u> 4,78	<u>21,67</u> 22,31	<u>28,11</u> 28,29	112-114 (1)	—
IV	13	1,4981	1,1858	<u>86,27</u> 86,80	<u>358</u> 349	$Si_3C_{12}H_{18}O_2Cl_2$	<u>41,68</u> 41,26	<u>4,92</u> 5,16	<u>24,07</u> 24,28	<u>20,07</u> 20,34	138-139 (1)	—
V	8	1,5011	1,1692	<u>113,16</u> 113,95	—	$Si_4C_{16}H_{24}O_3Cl_2$	<u>42,35</u> 42,95	<u>4,98</u> 5,37	<u>24,76</u> 25,06	<u>15,30</u> 15,88	147-149 (1)	-
VI	47	—	—	—	<u>208</u> 214	$Si_2C_8H_{14}O_3$	<u>44,86</u> 44,76	<u>6,47</u> 6,54	<u>25,89</u> 26,17	<u>15,12</u> 15,88	—	—
VII	64	1,5463	1,1881	<u>119,23</u> 119,78	<u>438</u> 449	$Si_3C_{20}H_{22}O_2Cl_2$	<u>53,64</u> 53,45	<u>4,65</u> 4,90	<u>18,47</u> 18,71	<u>15,61</u> 15,81	169-172	—
VIII	16,7	1,5600	—	—	<u>763</u> 745	$Si_5C_{36}H_{38}O_4Cl_2$	<u>57,50</u> 57,89	<u>4,89</u> 5,10	<u>18,93</u> 18,79	<u>9,7</u> 9,5	238-244	—
IX	69,7	—	—	—	<u>404</u> 412	$Si_3C_{20}H_{24}O_4$	<u>57,87</u> 58,25	<u>5,68</u> 5,83	<u>20,04</u> 20,39	<u>8,41</u> 8,25	—	—
X	53 (39)	—	—	—	<u>568</u> 592	$Si_4C_{32}H_{32}O_4$	<u>64,20</u> 64,86	<u>5,52</u> 5,41	<u>18,64</u> 18,92	—	230-235 (0,01)	122-124
XI	14	—	—	—	<u>820</u> 888	$Si_6C_{48}H_{48}O_6$	<u>64,20</u> 64,86	<u>5,52</u> 5,41	<u>18,64</u> 18,92	—	277-283 (0,01)	96-99
XII	33	1,4655	0,8898	<u>70,28</u> 70,76	<u>237</u> 226	$SiC_{12}H_{26}N_2$	<u>63,10</u> 63,72	<u>11,21</u> 11,50	<u>12,53</u> 12,39	<u>12,14</u> 12,390	93-94	—

* მრიცხველში ნაპოვნი მნიშვნელობები, მნიშვნელში გამოთვლილი მნიშვნელობები

2.2. ციკლური და ხაზოვანი ორგანოსილოქსანები ნორბორნენ-2-ილ ჯგუფებით სილიციუმის ატომთან

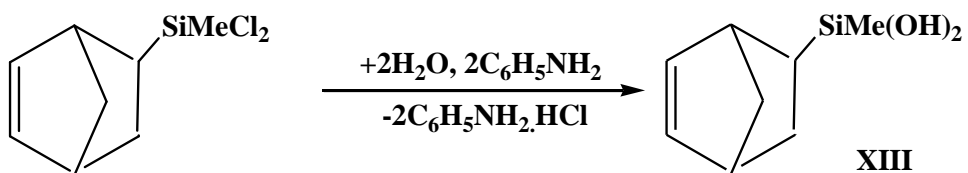
ნორბორნენ-2-ილ ჯგუფის შემცველი ორგანოქლორსილანების სინთეზის მიზნით ჩვენს მიერ ცნობილი მეთოდიკით [143, 144], ჩატარებულია ახლად გამოხდილი ციკლოპენტადიენის დილს-ალდერის რეაქციები მეთოლვინილდიქლორსილანთან და ვინილტრიქლორსილანთან შემდეგი სქემის მიხედვით:



სადაც, R=Cl, Me.

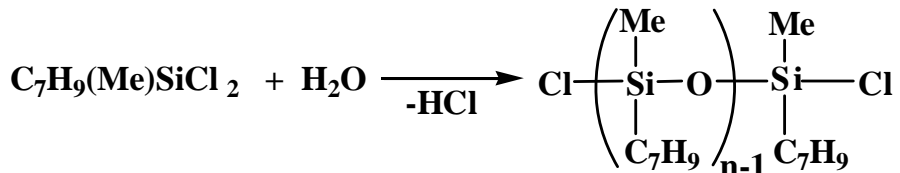
მიღებული ნორბორნენტრიქლორსილანის და მეთოლნორბორნენდიქლორსილანის ფიზიკურ-ქიმიური მაჩვენებლები სრულ თანხვდენაშია ლიტერატურულ მონაცემებთან [143].

შევისწავლეთ მეთოლნორბორნენ-2-ილ-დიქლორსილანის სრული და ნაწილობრივი ჰიდროლიზის რეაქციები. სრული ჰიდროლიზი ჩავატარეთ $-5\div 0^{\circ}\text{C}$ ტემპერატურაზე ეთერის არეში ქლორწყალბადის აქცეპტორის-ანილინის თანაობისას. რეაქციის შედეგად მიღებულია მოყავისფრო ფენილისებური ნივთიერება, რომლის გადაკრისტალებით პენტანისა და ოქტანის ნარევიდან (მოლური თანაფარდობით 1:2) გამოყოფილია კრისტალური ნივთიერება ლილობის ტემპერატურით $95\text{-}96^{\circ}\text{C}$. ჰიდროლიზის რეაქცია მიღის შემდეგი სქემის მიხედვით [145]:



უნდა აღინიშნოს, რომ მეთოლნორბორნენ-2-ილ-დიქლორსილანი შედარებით ლაბილური ნივთიერებაა და ხანგრძლივი დაყოვნების შემდეგ კონდენსირდება.

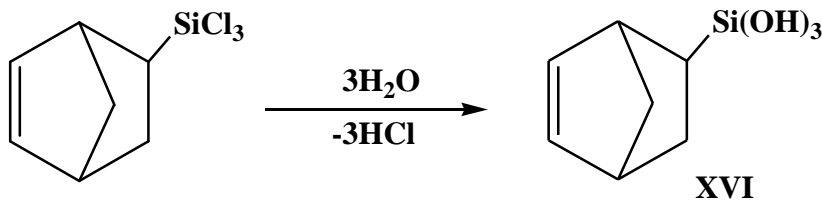
მეთოლნორბორნენ-2-ილ-დიქლორსილანის ნაწილობრივი ჰიდროლიზი ჩავატარეთ $20\div 25^{\circ}\text{C}$ ტემპერატურაზე ეთერის არეში. რეაქციის პროცესში გაედენის შემდეგ გამოყოფილი და იდენტიფიცირებული იქნა 1,3-დიქლორ-1,3-დიმეთილ-1,3-დინორბორნენ-2-ილ-დისილოქსანი (XIV) და 1,5-დიქლორ-1,3,5-ტრიმეთილ-1,3,5-ტრინორბორნენ-2-ილ-ტრისილოქსანი (XV). რეაქცია მიმდინარეობს შემდეგი სქემის შესაბამისად:



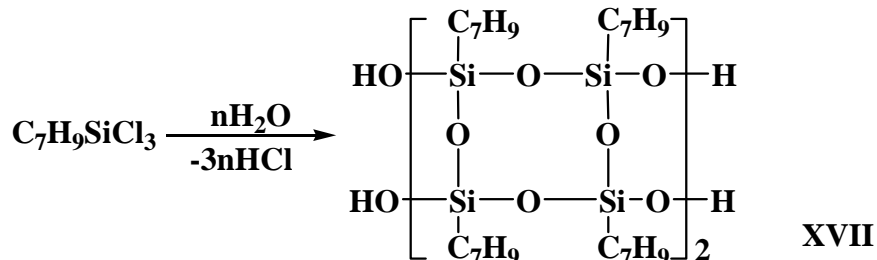
სადაც, n=2(XIV), n=3(XV).

ნორბორნენ-2-ილ ჯგუფის შემცველი სილოქსანების ნაწილობრივი პიდროლიზით მიღებული პროდუქტები წარმოადგენენ გამჭვირვალე მოყვითალო ფერის სითხეებს, რომლებიც კარგად ისხნებიან ჩვეულებრივ ორგანულ გამხსნელებში. XIV და XV ნივთიერებების იწ სპექტრში შეიმჩნევა შთანთქმის ზოლები $\equiv\text{Si}-\text{Me}$, $\equiv\text{Si}-\text{O}-\text{Si}\equiv$, $\equiv\text{Si}-\text{Cl}$ და $\equiv\text{C}-\text{H}$ ბმებისათვის შესაბამისად 1275, 1020, 460, 570 და 2900-3000 სმ⁻¹ უბნებში [140 - 142].

ნორბორნენ-2-ილ-ტრიქლოორსილანის პიდროლიზის ჩატარებისას რბილ პირობებში, წყალ-აცეტონის გარემოში (არეში) და ნატრიუმის ბიკარბონატის თანაობისას ეთერის ხსნარში. 0-5°C ტემპერატურაზე, მაღალი გამოსავლიანობით (70-80%) გამოყოფილი იქნა ნორბორნენ-2-ილ-ტრიჰიდროქსილანი (XVI):

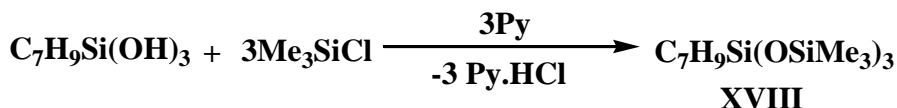


ნორბორნენ-2-ილ-ტრიქლოორსილანის პიდროლიზური კონდენსაციის ჩატარებისას ქლორწყალბადის აქცეპტორის-ანილინის თანაობისას (ტუტე არეში, NaOH-ის 05%-იან ხსნარში) წარმოიქმნება ოლიგონორბორნენ-2-ილ-ტეტროლი შემდეგი სქემის მიხედვით:



1,3,5,7-ტეტრაჰიდროქსი-1,3,5,7-ტეტრანორბორნენ-2-ილ-ტეტრასილოქსნის გამოყოფისა და იდენტიფიცირების ყველა ცდა აღმოჩნდა წარუმატებელი. ტეტრაჰიდროქსილიგონორბორნენ-2-ილ-სილსესქვიოქსნი წარმოადგენს თეთრი ფერის ფხვნილისებურ ნივთიერებას, კარგად ხსნადს ჩვეულებრივ ორგანულ გამხსნელებში XVI ნივთიერების იწ სპექტრში შეიმჩნევა $\equiv\text{Si}-\text{O}-\text{Si}\equiv$ ბმის ასიმეტრიული ვალენტური რხევებისათვის შთანთქმის ზოლი 1130 სმ⁻¹ უბანში დამახასიათებელი სილსესქვიოქსანური ფრაგმენტებისათვის და $\equiv\text{Si}-\text{OH}$ ბმის შთანთქმის ზოლი 3200-3400 სმ⁻¹ უბანში.

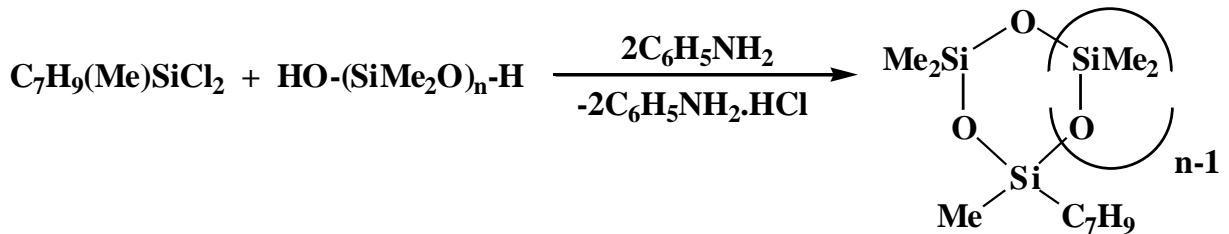
ტრიჰიდროქსინორბორნენ-2-ილ-სილანის ჰეტეროფუნქციური კონდენსაციით (ჰფკ) ტრიმეთილქლოორსილანთან საწყისი კომპონენტების 1:5 თანაფარდობით დიოქსანის არეში და პირიდინის თანაობისას 62% გამოსავლიანობით მიღებულია ნორბორნენ-2-ილ-ტრი(ტრიმეთილსილოქსი)სილანი (XVIII) შემდეგი სქემის მიხედვით:



დასინთეზებული ნივთიერება XVIII წარმოადგენს გამჭვირვალე, ბლანტ ყვითელი ფერის სითხეს, კარგად ხსნადს ორგანულ გამხსნელებში. XVII ნივთიერების ბმრ სპექტრში შეიმჩნევა სინგლეტური სიგნალი ქიმიური გადაადგილებით $\delta \approx 0,72$ გმნ, დამახასიათებელი მეთილის პროტონებისათვის ტრიმეთილსილოქსი ჯგუფში

და მულტიპლეტური სიგნალი ნორბორნენ-2-ილ ჯგუფისათვის რეგიონში $1,50\div6,00$ გმნ. ინტეგრალური თანაფარდობა მეთილისა და ნორბორნენ-2-ილ პროტონების სიგნალებისა სპექტრში შეესაბამება გათვლილ მნიშვნელობებს. იწ სპექტრში შეიმჩნევა შთანთქმის ზოლი 840 სმ⁻¹ უბანში დამახასიათებელი $\equiv\text{Si}-\text{Me}_3$ ტრიმეთილსილოქსი ჯგუფისათვის [140-142].

სილიციუმის ატომთან მდგომი ნორბორნენ-2-ილ ჯგუფის შემცველი ახალი ორგანოციკლოსილოქსანების მიღების მიზნით გამოყენებული იქნა მეთილნორბორნენ-2-ილ-დიქლორსილანის პფკ რეაქცია დიპიდროქსიდიმეთილსილოქსანებთან. რეაქცია ტარდებოდა ეთერის არეში ანილინის თანაობისას, $-5\div+10^0\text{C}$ ტემპერატურაზე შემდეგი სქემის მიხედვით [145]:



სადაც, $n=2$ (XIX), $n=3$ (XX).

უნდა აღინიშნოს, რომ მეთილნორბორნენ-2-ილ-ციკლოსილოქსანების მაღალი გამოსავლიანობა მიღწევა მორეაგირე ნივთიერებების ერთდოროული დამატებით ეთერის სსნარზე და დაბალ ტემპერატურებზე. XIX და XX ნივთიერებების იწ სპექტრში შეიმჩნევა ბმის ასიმეტრიული ვალენტური რეევებისათვის შთანთქმის ზოლი $1020\div1080$ სმ⁻¹ უბანში, დამახასიათებელი $\equiv\text{Si}-\text{O}-\text{Si}\equiv$ ბმებისათვის ორგანოციკლოტრი- და ორგანოციკლოტეტრასილოქსანური ჯაჭვისათვის. XIX და XX ნივთიერებების ბმრ სპექტრში შეიმჩნევა მულტიპლეტური სიგნალი ნორბორნენ-2-ილ ჯგუფისათვის რეგიონში $1,5:6,00$ გმნ და სინგლეტური სიგნალი მეთილის პროტონებისათვის ქიმიური გადაადგილებით $\delta\approx0,14$ გმნ, XIX და XX ნაერთების დამახასიათებელი სიგნალები (მეთილის ჯგუფებისათვის) განსხვავებულია ლიტერატურული მონაცემებისაგან [140-142]. მიღებული ნაერთების ზოგიერთი თვისება მოცემულია მე-2 ცხრილში.

ამდენად, ჩვენს მიერ, პირველად იქნა დასინთეზებული ნორბორნენ-2-ილ ფრაგმენტების შემცველი ზოგიერთი სილიციუმორგანული ნივთიერებები, რომლებიც წარმოადგენენ პერსპექტიულ სისტემებს მათგან ახალი ტიპის სილიციუმორგანული ელასტომერების მისაღებად.

ცხრილი 2
 ნორბორნენ-2-ილ ფრაგმენტის შემცველი სილიციუმორგანული ნივთიერებების ელემენტური ანალიზი და ფიზიკურ-ქიმიური
 თვისებები

ოლიგომერი	გამოსაგლიანობა %	T _{დენ.} °C პ.პ.წყ.სკ	T _{დენ.} °C პ.პ.წყ.სკ	MR _D		ფორმულა	ელემენტური ანალიზი, % *				
				გამოთვლილი	ნაპოვნი		Si	C	H	Cl	OH
XIII	60	-	95-96	170	158	Si ₁ C ₈ H ₁₄ O ₂	<u>16.47</u> 16.19	<u>56.47</u> 56.11	<u>8.23</u> 8.01	<u>20.01</u> 20.20	
XIV	38	119-120 (0.1)	-	359	369	Si ₂ C ₁₆ H ₂₄ O ₁ Cl ₂	<u>15.59</u> 15.23	<u>53.48</u> 53.08	<u>6.68</u> 6.21	<u>19.77</u> 19.21	
XV	31	147-178 (0.1)	-	511	525	Si ₃ C ₂₄ H ₃₆ O ₂ Cl ₂	<u>16.43</u> 16.18	<u>56.36</u> 55.97	<u>7.04</u> 6.98	<u>13.89</u> 14.00	
XVI	75	-	-	172	160	Si ₁ C ₇ H ₁₂ O ₃	<u>16.26</u> 15.81	<u>48.80</u> 59.60	<u>6.97</u> 6.04	<u>29.60</u> 29.20	
XVII	68	-	128-132	1196	1231	Si ₈ C ₅₆ H ₇₆ O ₁₄	<u>18.73</u> 18.24	<u>56.19</u> 55.60	<u>6.35</u> 6.10	<u>5.68</u> 5.52	
XV III	62	-	242-244	388	350	Si ₄ C ₁₆ H ₃₆ O ₃	<u>28.86</u> 28.18	<u>49.48</u> 48.91	<u>9.27</u> 8.92		-
XIX	44	119-120 (0.1)	-	300	312	Si ₃ C ₁₂ H ₂₄ O ₃	<u>28.00</u> 27.18	<u>48.00</u> 48.57	<u>8.00</u> 7.54		-
XX	38	141-142	-	374	300	Si ₄ C ₁₄ H ₃₀ O ₄	<u>29.95</u> 29.95	<u>44.82</u> 45.74	<u>8.02</u> 7.62		-

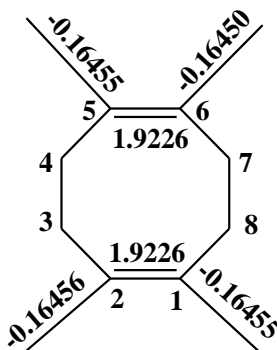
* მრიცხველში ნაპოვნი მნიშვნელობები, მნიშვნელში გამოთვლილი მნიშვნელობები

2.3. მეთილჰიდრიდსილოქსანების ჰიდრიდული მიერთების რეაქციები ცის-1,5-ციკლოოქტადიენთან და 3,4 -დიჰიდრო-2H-ჰიდროპირანთან

ჩვენი სამუშაოს მიზანს წარმოადგენდა მეთილჰიდრიდსილოქსანური ოლიგო-მერების მოდიფიკაციის რეაქციებით სავარცხლის მაგვარი აგებულების სილოქსანური ოლიგომერების სინთეზი სხვადასხვა უჯერი ფრაგმენტებით გვერდით ჯაჭვში, ამიტომ აღნიშნულ თავში ჩვენს მიერ განხილულია მეთილჰიდრიდსილოქსანის ჰიდრო-სილილირების რეაქციები ცის-1,5-ციკლოოქტადიენთან. ცის-1,5-ციკლოოქტადიენი წარმოადგენს არაშეუდლებულ სისტემას, ორი ორმაგი ბმით. როგორც ლიტერატურის მიმოხილვიდან არის ცნობილი არსებობს მონომერული ჰიდრიდსილანების ცის-1,5-ციკლოოქტადიენთან ჰიდრიდული მიერთების ორი მოსაზრება, რომლის თანახმადაც, ფენილ-, მეთილდიქლორ- და დიმეთილქლორსილანის ჰიდროსილირების რეაქცია 1,5-ციკლოოქტადიენთან [146] ნიკელის შემცველი ხელატური კომპლექსების თანაობისას, ორმაგი ბმის იზომერიზაციას ადგილი არ აქვს და მიიღება მონომიერთების 5-ციკლოოქტენილსილანები. მეორე მოსაზრების თანახმად, ცის-1,5-ციკლოოქტადიენთან ორგანოჰიდრიდსილანების მიერთებისას, სპაირის კატალიზატორის თანაობისას, ჰიდროსილილირებას წინ უსწრებს ნახშირწყალბადის იზომერიზაცია 1,3-ციკლოოქტადიენად, რომელიც შემდგომ განიცდის ჰიდროსილილირებას და მიიღება აღუქტები – 3-ციკლოოქტენილსილანები [147].

როგორც ცის-1,5-ციკლოოქტადიენის სტრუქტურიდან ჩანს, იგი შეიცავს ორ უჯერ ბმას 1-2 და 5-6 მდგომარეობაში. ნახვრადემპირიული ქვანტურ-ქიმიური AM1 მეთოდით გათვლილ იქნა ცის-1,5-ციკლოოქტადიენის ელექტრონული მახასიათებლები: მუხტის სიდიდეები ნახშირბადის ატომებზე და ბმის რიგები. მიღებული შედეგები გამოსახულია მოლექულურ დიაგრამაზე [148]:

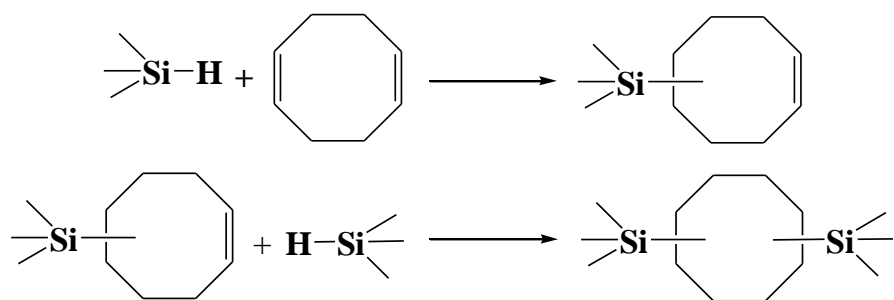
დიაგრამა 1:
**მუხტის სიდიდეები და ბმის რიგები ცის-1,5-ციკლოოქტადიენის
მოლექულაში**



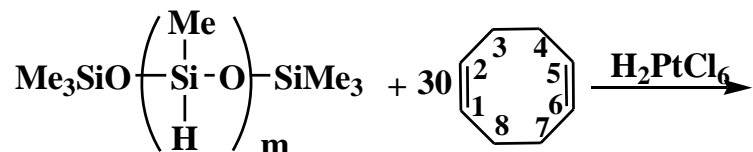
როგორც დიაგრამიდან ჩანს, ცის-1,5-ციკლოოქტადიენის მოლექულა წარმოადგენს სიმეტრიულ მოლეკულას, სადაც ბმის რიგის მნიშვნელობები და მუხტის სიდიდეები C^1-C^2 და C^5-C^6 ნახშირბადის ატომებს შორის თითქმის ერთი და იგივე მნიშვნელობით ხასიათდება. რაც მიუთითებს იმაზე, რომ ჰიდროსილილირების რეაქცია ერთნაირი ალბათობით შეიძლება წარიმართოს ორივე მიმართულებით, როგორც 1-2, ასევე 5-6 მიმართულებით.

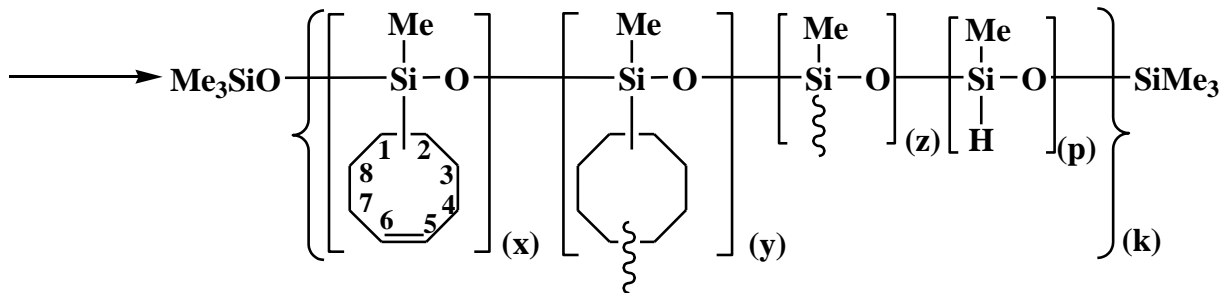
უჯერი ოქტენილის ჯგუფების შემცველი მეთილჰიდრიდსილოქსანების მიღების მიზნით, ჩვენს მიერ, პირველად შესწავლილია მეთილჰიდრიდსილოქსანის ჰიდრიდული მიერთების რეაქციები ცის-1,5-ციკლოოქტადიენთან, მორეაგირე კომპონენტების 1:30 მოლური თანაფარდობით, პლატინაქლორწყალბადმჟავას თანაობისას, 60-70°C ტემპერატურულ ინტერვალში, როგორც ნალღობში, ასევე გამხსნელის – აბსოლუტური ტოლუოლის არეში. საწყის პროდუქტად გამოყენებულია სამრეწველო მასშტაბით გამოშვებული ტრიმეთილსილოქსი ჯგუფებით ბლოკირებული მეთილჰიდრიდსილოქსანი (გარდაქმნის საშუალო ხარისხით $m \approx 30$).

ნალღობში ჰიდროსილილირების რეაქციის ჩატარებისას რეაქცია მიმდინარეობს იმდენად ენერგიულად, რომ რამდენიმე წუთში ადგილი ჰქონდა შეკერილი სისტემის წარმოქმნას. ამდენად ჰიდრიდსილოქსანის ურთიერთქმედება შეიძლება წარიმართოს, როგორც ერთ ორმაგ ბმასთან მიერთებით ასევე შესაძლებელია ნარჩენი ორმაგი ბმის მონაწილეობა მაკრომოლექულათშორის ჰიდროსილილირების რეაქციაში, შემდგან სქემით:



სსნადი სისტემების მიღების მიზნით ჰიდროსილილირების რეაქციები შესწავლილია გამსხნელში 60°C ტემპერატურაზე. ანალოგიურად, აქაც ვაკვირდებოდით აქტიური \equiv Si-H ბმის კონცენტრაციის 80% კონვერსიის ზემოთ ადგილი ჰქონდა შეკერილი სისტემების წარმოქმნას, რაც შეიძლება ახსნილ იქნას მაკრომოლექულათშორისი ჰიდროსილილირებით. ამიტომ, ჰიდროსილილირებას ვწყვეტდით 80% კონვერსიამდე. მიღებული ოლიგომერი გადალექილ იქნა ტოლუოლ-სსნარიდან ნ-ჰექსანით, რის შემდეგაც ვახდენდით ვაკუუმირებას მუდმივ წონამდე, 50-60°C ტემპერატურულ ინტერვალში. ამდენად, ჰიდროსილილირების რეაქცია ზოგადად მიმდინარეობს შემდეგი სქემის მიხედვით [148]:



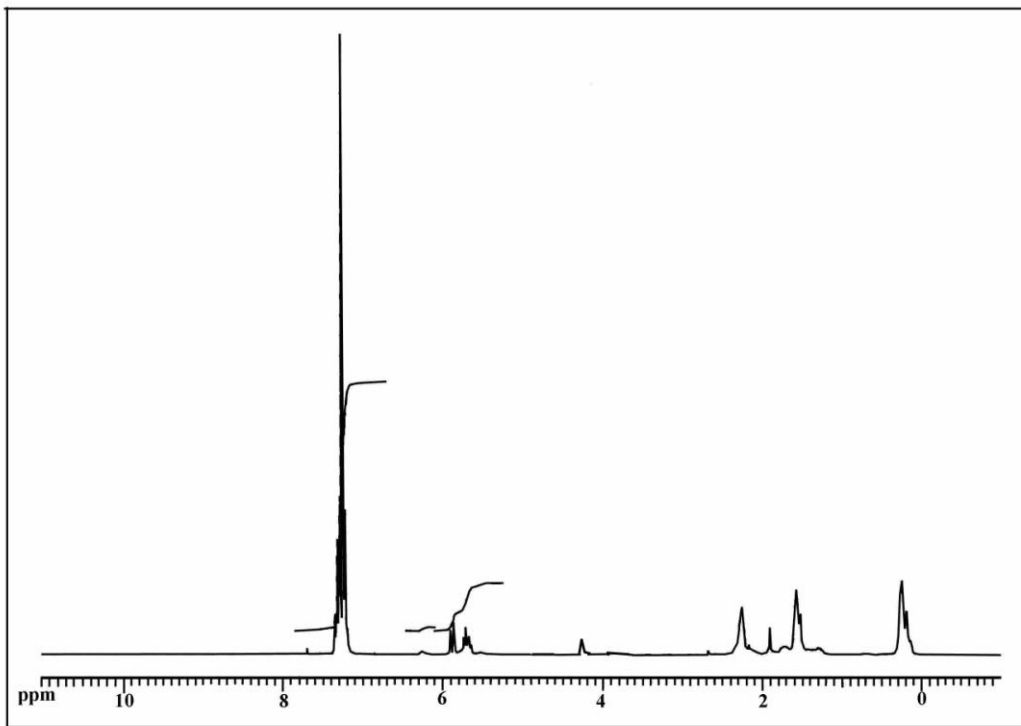


სადაც, $[(x)+(y)+(z)+(p)](k) \approx 30 - XXI (60^{\circ}\text{C})$.

დასინთეზებული ოლიგომერი წარმოადგენს ბლანტ მასას $\eta_{\text{sp}} = 0,11$, რომელიც კარგად იხსნება არომატული ტიპის ორგანულ გამნენელებში. XXI - ოლიგომერის სტრუქტურა დადგნილია ელემენტური და ფუნქციური ანალიზით, იწ და ბირთვული მაგნიტური რეზონანსის სპექტრებით.

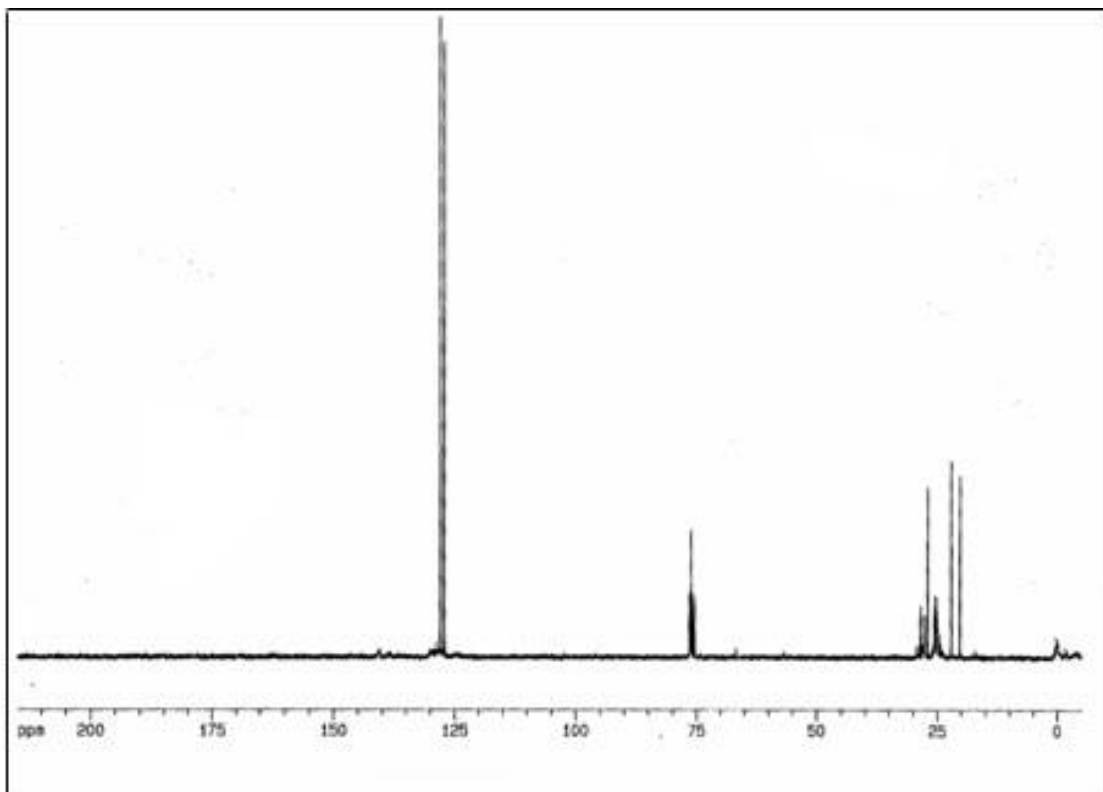
დასინთეზებული ოლიგომერის იწ სპექტრში შეიმჩნევა $\equiv\text{Si}-\text{Me}$ და $-\text{SiMe}_3$ ჯგუფებისათვის დამახასიათებელი შთანთქმის ზოლები 1270 და 840 cm^{-1} უბანში. სპექტრში შეიმჩნევა ხაზოვანი სილოქსანური ბმის ასიმეტრიული რხევებისათვის დამახასიათებელი შთანთქმის ზოლი 1020 cm^{-1} უბანში. სპექტრში ასევე შეიმჩნევა ოქტენილის ციკლში არსებული $-\text{CH}=\text{CH}-$ ჯგუფისათვის დამახასიათებელი სიგნალი 1650 cm^{-1} უბანში, რაც ადასტურებს რეაქციის წარმართვას ერთ უჯერ ბმაზე, თუმცა არ შეიძლება იმის უარყოფაც, რომ ჰიდროსილიდირება შეიძლება წარიმართოს მეორე უჯერ ბმაზეც, რასაც, თავის მხრივ, განტოტვილი აგებულების პოლიმერების მიღებამდე მივყავართ. სპექტრში შეიმჩნევა ოქტენილის ჯგუფის მეთილენური ჯგუფების ვალენტური რხევებისათვის დამახასიათებელი შთანთქმის ზოლები 2800-3000 cm^{-1} უბანში. იწ სპექტრში შეიმჩნევა რეაქციაში შეუსვლელი $\equiv\text{Si}-\text{H}$ ბმისათვის დამახასიათებელი სუსტი სიგნალი 2170 cm^{-1} [140-142].

XXI ოლიგომერის ^1H ბმრ სპექტრში (ნახაზი 1) შეიმჩნევა სინგლეტური სიგნალები მეთილის პროტონებისათვის $\equiv\text{Si}-\text{Me}$ და OSiMe_3 ჯგუფებში ქიმიური გადაადგილებით $\delta \approx 0,10$ და $\delta \approx 0,15$ ვმნ შესაბამისად; ასევე შეიმჩნევა გაფართოებული მულტიპლეტური სიგნალები მეთილენური ჯგუფებისათვის $\text{C}_1, \text{C}_2, \text{C}_3, \text{C}_4, \text{C}_7$ და C_8 მდგომარეობაში ქიმიური გადაადგილების ცენტრით $\delta \approx 1,5; \delta \approx 1,3; \delta \approx 1,4; \delta \approx 2,20$ ვმნ შესაბამისად. 1,5 და 1,3 ვმნ ადგილი აქვს რეზონანსული სიგნალების ზედდებას რაც ართულებს სპექტრის დეტალურ გარჩევას. ^1H სპექტრში შეიმჩნევა წყალბადის პროტონებისათვის დამახასიათებელი რთული მულტიპლეტური სიგნალები ფრაგმენტში $-\text{CH}=\text{CH}- (\text{C}_5-\text{C}_6)$ ქიმიური გადაადგილებით $\delta \approx 5,5-5,8$ ვმნ და, აგრეთვე, შეიმჩნევა სუსტი სინგლეტური სიგნალი რეაქციაში შეუსვლელი $\equiv\text{Si}-\text{H}$ პროტონებისათვის ქიმიური გადაადგილებით $\delta \approx 4,1$ ვმნ.



ნახაზი 1. XXI ოლიგომერის ^1H ბმრ სპექტრი (გამხსნელი და ეტალონი CDCl_3)

მე-2 ნახაზზე მოცემულია XXI ოლიგომერის ^{13}C ბმრ სპექტრი. სპექტრში შეიმჩნევა ნახშირბადის ბირთვებისათვის დამახასიათებელი რეზონანსული სიგნალები ქიმიური წანაცვლებით $\delta = -1.2$ კმნ და $\delta = 2.37$ კმნ დამახასიათებელი $\equiv\text{Si}-\text{Me}$ და $-\text{SiMe}_3$ ჯგუფებში. სპექტრში ასევე შეიმჩნევა ნახშირბადის ბირთვებისათვის დამახასიათებელი რეზონანსული სიგნალები ქიმიური წანაცვლებით $\delta \sim 20.2, 22.0$ C^1H_2 და C^4H_2 ჯგუფში. 24,3-24,9 კმნ ადგილი აქვს რეზონანსული სიგნალების ზედდებას $\text{C}^2, \text{C}^3, \text{C}^7$ და C^8 ნახშირბადებისათვის. აქვე ზედდებას განიცდის მოლეკულარული შრომის პიდროსილი რების პროდუქტებში არსებული C^4 და C^5 ნახშირბადის სიგნალები. რეზონანსული სიგნალი 26,9 და 27,5 კმნ მიკუთვნებულ იქნა მოლეკულარული შრომის პიდროსილი რების დროს მიღებული C^7 და C^3 ნახშირბადის ატომებისათვის. სპექტრში შეიმჩნევა რეზონანსული სიგნალები 127,8 და 128,8 კმნ, რომელიც შეესაბამება უჯერ ციკლო-ოქტენილის უჯერ ფრაგმენტში არსებულ C^5 და C^6 ნახშირბადის ატომებს.



ნახაზი 2. XXI ოლიგომერის ^{13}C ბმრ სპექტრი (გამხსნელი და ეტალონი CDCl_3)

ამდენად, ^{13}C სპექტრი ადასტურებს აგრეთვე პიდროსილილირების რეაქციის მაკრომოლეკულათშორის ხასიათს. მიღებული ოლიგომერი XXI გავაცხელეთ $70\text{--}80^\circ\text{C}$ ტემპერატურაზე 4 საათის განმავლობაში. აღმოჩნდა, რომ ამ დროს ადგილი აქვს მიღებული პოლიმერის სრულ გაკერვას სისტემაში არსებული კატალიზატორის ხარჯზე და მიიღება უხსნადი პროდუქტი XXI^a.

XXI ოლიგომერისათვის ჩატარებულია თერმოგრავიმეტრიული გამოკვლევა. კვლევამ აჩვენა, რომ აღნიშნული ოლიგომერისათვის 5% მასის დანაკარგი აღინიშნება 260°C -ზე. ამ ტემპერატურაზე არაბლოკირებული პოლიდიმეთილსილოქსანი სრულად განიცდის დაშლას. ფორპოლიმერებში ასეთი გაზრდილი თერმოჟანგვითი სტაბილურობა ერთის მხრივ გაზრდილია ხაზოვან მეთილსილოქსანურ ჯაჭვში ციკლოოქტილის ფრაგმენტის შეყვანით, რომელიც ხელს უშლის დეპოლიმერიზაციის პროცესის მიმდინარეობისას ჯაჭვის გადაცემის რეაქციებს, რომელიც მიმდინარეობს D_6 ტიპის ნაერთების წარმოქმნით, ხოლო მეორეს მხრივ მაკრომოლეკულათშორისი ურთიერთქმედებით, რომელსაც ადგილი აქვს სისტემის გაცხელების დროს, არსებული კატალიზატორის ხარჯზე.

ფართო კუთხოვანი რენტგენოგრაფიული გამოკვლევებით დადგენილია, რომ აღნიშნული ოლიგომერი XXI წარმოადგენს ამორფულ სისტემას, რომელთა ჯაჭვთაშორისი მანძილი შეადგენს $d_1=10.13\text{\AA}$.

ჩატარებულია XXI ოლიგომერის დიფერენციალური სკანირებადი კალორიმეტრიული გამოკვლევა. დადგენილია, რომ ოლიგომერი ხასიათდება მხოლოდ ერთი ტემპერატურული გადასვლით -10°C , რომელიც შეესაბამება ოლიგომერის გამინების ტემპერატურას.

ამდენად ჩვენს მიერ პირველად შესწავლილია მეთილჰიდრიდსილოქსანების პიდრიდული მიერთების რეაქციები ცის-1,5-ციკლოოქტადიენთან და დადგენილია, რომ პიდროსილილირების რეაქცია მიმდინარეობს როგორც უშალოდ ციკლურ ფრაგმენტზე, ასევე მოლეკულათშორისი მიმართულებით. დასინთეზებული ოლიგომერი წარმოადგენს თერმორეაქტიულ სისტემას, რომელიც შეიძლება გამოყენებულ იქნას კარბოჯაჭვური პოლიმერების მოდიფიკატორებად.

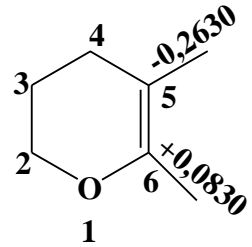
გვერდით ჯაჭვში ჰეტეროციკლური ფრაგმენტების შემცველი მეთილსილოქსანების მიღების მიზნით, ჩვენს მიერ შესწავლილია აგრეთვე მეთილჰიდრიდსილოქსანის პიდრიდული მიერთების რეაქციები 3,4-დიაზიდრო-2H-პირანთან მორეაგირე კომპონენტების 1:30 თანაფარდობით, როგორც პლატინაქლორწყალბადმჟავას 0.1M ხსნარის (ტეტრაჰიდროფურანში) თანაობისას, ასევე ნახშირბადზე დაფენილი პლატინის კატალიზატორის თანაობისას, აბსოლუტური ტოლუოლის არეში 50-80°C ტემპერატურულ ინტერვალში, [148].

3,4-დიაზიდრო-2H-პირანის პიდროსილილირების რეაქციები პლატინაქლორწყალბადმჟავას თანაობისას, ჩვენს მიერ შესწავლილ იქნა სხვადასხვა ტემპერატურაზე. 70-80°C ტემპერატურულ ინტერვალში რეაქციის ჩატარებისას, განზავებული ტოლუოლის ხსნარში, 15-25% აქტიური $\equiv\text{Si}-\text{H}$ ბმის კონვერსიის პირობებში ადგილი ჰქონდა შეკერილი სისტემების წარმოქმნას, რაც შეიძლება აიხსნას პირანული ციკლის გახსნით, რომელიც შეიძლება განხორციელდეს პლატინაქლორწყალბადმჟავას კატალიზატორის თანაობისას, როგორც რეაქციის პროცესში, ასევე საწყის სტადიაზე, მიერთებამდე, რასაც თან ახლავს პიდროქსილის ჯგუფის წარმოქმნას.

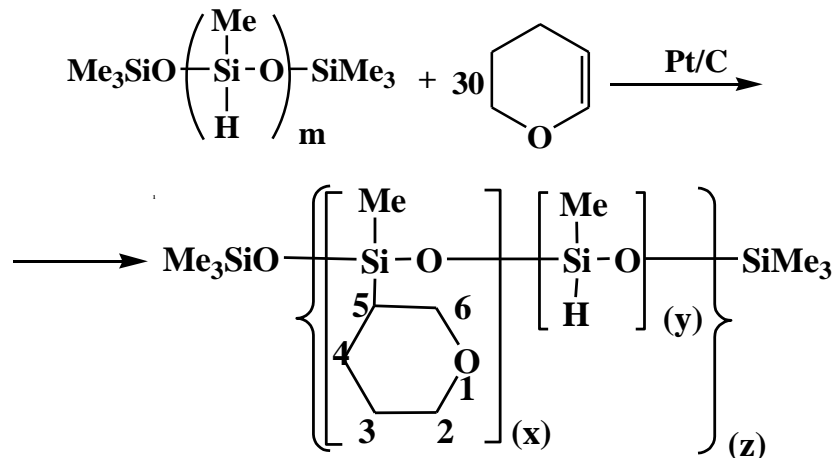
ამის შემდეგ შესაძლებელია წარიმართოს კონკურენტული დეპიდროკონდენსაციის რეაქცია სპირტულ ჯგუფზე. აღნიშნულ რეაქციას მივყავართ სამგანზომილებიან სისტემის წარმოქმნამდე. ამიტომ პიდროსილილირების რეაქციებს პლატინაქლორწყალბადმჟავას თანაობისას ვარგარებდით 20-30%-ანი განზავებისას აბსოლუტური ტოლუოლის ხსნარში, 50°C ტემპერატურაზე ან Pt/C კატალიზატორის თანაობისას 60-70°C ტემპერატურულ ინტერვალში. აღნიშნულ პირობებში რეაქცია უმთავრესად მიმდინარეობს ხსნადი სისტემების წარმოქმნით. უნდა აღვნიშნოთ, რომ Pt/C კატალიზატორის თანაობისას რეაქცია მიმდინარეობს უფრო ნელა, ვიდრე პლატინაქლორწყალბადმჟავას კატალიზატორის შემთხვევაში და ამ დროს უმთავრესად მიიღება ორგანულ გამსხელებში ხსნადი სისტემები. ამიტომ შემდეგი პიდროსილირების რეაქციები უმთავრესად ჩატარებულ იქნა ნახშირბადზე დაფენილი პლატინის (5%) თანაობისას.

როგორც 3,4-დიაზიდრო-2H-პირანის სტრუქტურიდან ჩანს, პიდროსილილირება შეიძლება წარიმართოს ორი მიმართულებით. ქვანტურ-ქიმიური ნახევრადემპირიული მეთოდით AM გათვლილ იქნა ნახშირბადის ატომებზე მუხტის სიდიდეები. როგორც მოცემული დიაგრამიდან სჩანს:

დიაგრამა 2:
**მუხტის სიდიდეები და ბმის ოგები 3,4-დიჰიდრო-2H-პირანის
 მოლეკულაში**



ჰიდროსილილირების რეაქცია 3,4-დიჰიდრო-2H-პირანთან, მოცემული დიაგრამითან გამომდინარე, უნდა წარიმართოს შემდეგნაირად: ვინაიდან მე-5 ნახშირბადის ატომზე მუხტის სიდიდე შეადგენს – 0,2630, ხოლო მე-6 ნახშირბადის ატომზე მუხტის სიდიდე შეადგენს +0,0830, ამიტომ წყალბადი უნდა მიუერთდეს მე-6 ნახშირბადის ატომს, ხოლო სილიციუმი კი უნდა მიუერთდეს მე-5 ნახშირბადის ატომს. რეაქცია უნდა მიმდინარეობდეს შემდეგი სქემის მიხედვით:



სადაც, $[(x) + (y)](z) \approx 30$ -XXII.

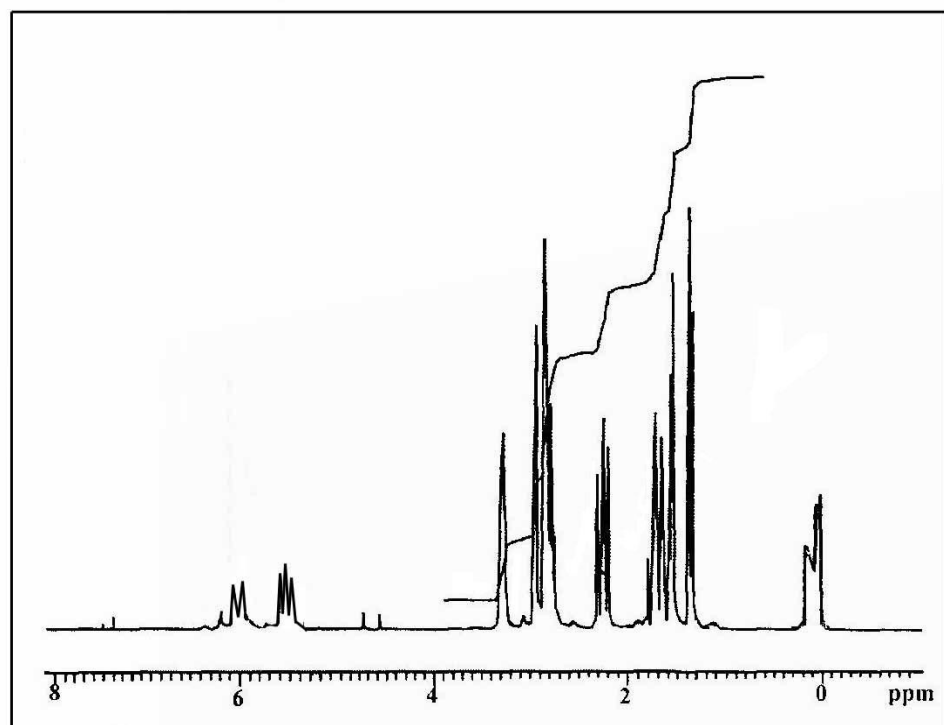
რეაქციის პროდუქტების გადალექვისას ტოლუოლ-ხსნარიდან ნ-ჰექსანით მიიღება ორგანულ გამსხველებში კარგად ხსნადი გამჭვირვალე უფერო სითხე. დასინთეზებული ოლიგომერის შედგენილობა და აღნაგობა დამტკიცებულია ელემენტური და ფუნქციური ანალიზით, იწ, ^1H და ^{13}C ბირთვული მაგნიტური რეზონანსული სპექტრებით. ოლიგომერის ზოგიერთი ფიზიკურ-ქიმიური თვისებები მოცემულია ცხრილში 3.

XXII ოლიგომერის ^1H ბმრ სპექტრში (ნახაზი 3) შეიძლება სინგლეტური სიგნალი წყალბადის პროტონებისათვის $\equiv\text{SiMe}$ და $-\text{OSiMe}_3$ ჯგუფებში $\delta \approx 0,10$ და $\delta \approx 0,15$ კმნ შესაბამისად.

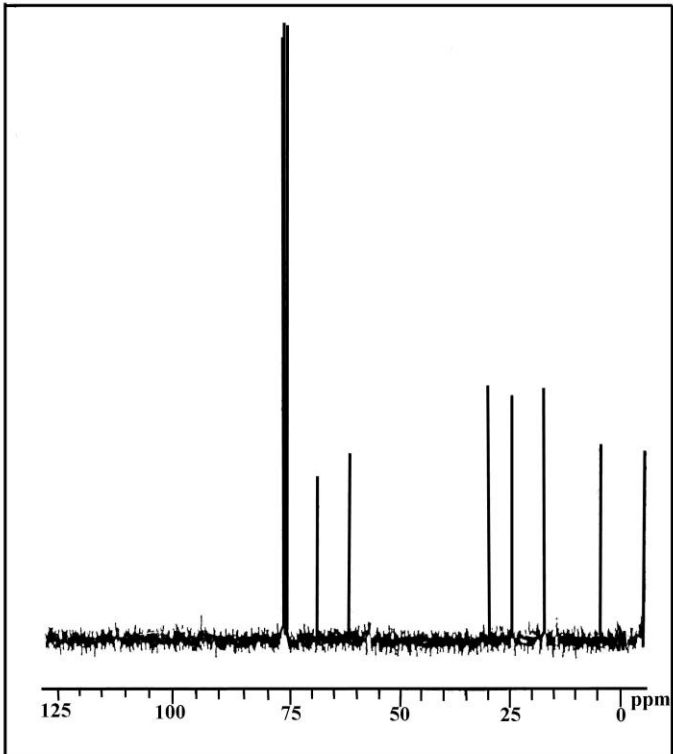
სპექტრში შეიძლება აგრეთვე მულტიპლეტური სიგნალები წყალბადის პროტონებისათვის მეთილენურ ჯგუფში, ქიმიური წანაცვლების ცენტრით $\delta \approx 1,3$ კმნ (C_3, C_4 , და C_5 ნახშირბადებთან) და, აგრეთვე, მულტიპლეტური სიგნალები წყალბადის პროტონებისათვის მეთილენურ ჯგუფში, ქიმიური წანაცვლების ცენტრით $\delta \approx 3,4$ კმნ (C_2 და C_6 ნახშირბადებთან).

^{13}C სპექტრში (ნახაზი 4) აღმოჩენილია სიგნალები ქიმიური გადაადგილებით -3,21 კტ (Si-Me), 4,37 კტ (SiMe₃ – ტრიმეთილსილოქსი ჯგუფში); 69,75 (C₂); 61,99 (C₆); 29,97 (C₃); 24,64 (C₄) და 18,88 (C₅) კტ შესაბამისად.

ჩატარებულია დასინთეზებული XXII ოლიგომერის თერმოგრავიმეტრიული გამოკვლევები. დადგენილია, რომ აღნიშნული ოლიგომერისათვის 5% მასის დანაკარგი შეიმჩნევა 200÷230°C ტემპერატურულ ინტერვალში, დესტრუქციის ძირითადი პროცესი მიმდინარეობს 250÷700°C ინტერვალში, რის შემდეგაც მასის საბოლოო დანაკარგი შეადგენს 78%-ს. ცხრილში მოტანილია ოლიგომერის საშუალო წონითი მოლეკულური მასა და პოლიდისპერსულობა. XXII ოლიგომერი წარმოადგენს ამორფულ სისტემას, რომლის ჯაჭვთაშორისი მანძილი და გამინების ტემპერატურა მოტანილია ცხრილში 3.



ნახაზი 3. XXII ოლიგომერის ^1H ბმრ სპექტრი (გამხსნელი და ეტალონი CDCl_3)



ნახაზი 4. XXII ოლიგომერის ^{13}C ბმრ სპექტრი (გამხსნელი და ეტალონი CDCl_3)

ცხრილი 3

ოლიგომერების გამოსავლიანობა და ზოგიერთი ფიზიკურ-ქიმიური თვისება

N _º ოლიგომერი	გამოსავლიანობა %	η^*_{b3}	$T_{\delta\delta}^0\text{C}$	$\bar{M}_w \times 10^{-3}$	ჰოლიდისკერსობა	5% მასის დანაკარგი, ^0C	$d_1, \text{\AA}$
XXI	75	0,1	-1	7,7	3,1	260	10,13
XXII	80	0,08	-5	3,8	1,6	235	7,32

*1%-იანი ხსნარი ტოლულ ში 25°C.

ამდენად, ჩვენს მიერ, ჩატარებულია მეთილჰიდრიდსილოქსანების მოდიფიცირების რეაქციები სხვადასხვა უჯერი ბმების შემცველი ნაერთებით და დასინთეზებულია ახალი ტიპის ფორპოლიმერები, რომელთაგან ზოგიერთი მათგანი, უჯერი ბმებით ციკლ ში, წარმოადგენენ საინტერესო პროდუქტებს სილიციუმორგანული რეზინების მისაღებად და, აგრეთვე, გამოიყენებიან კარბოჯაჭვური პოლიმერების მოდიფიკატორებად.

2.4. მეთილჰიდრიდსილოქსან(დიმეთილსილოქსან)ის ჰიდროსილირების რეაქცია ტრიციკლოდეკადიენთან

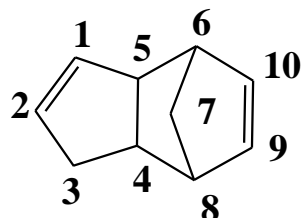
ახალი ტიპის სილიციუმორგანული ნაერთების სინთეზს და მათ ბაზაზე სხვა-დასხვა უჯერი ბმების შემცველი რადიკალებით ახალი კომპლექსური თვისებების მქონე თანაპოლიმერების მიღების მეთოდების დამუშავებას დიდი პრაქტიკული მნიშვნელობა ენიჭება. ამ მხრივ, აღსანიშნავია ფუნქციური ჯგუფების შემცველი სამრეწველო გამოშვების ფორპოლიმერების მოდიფიკაციის რეაქციები, რომელიც საშუალებას გვაძლევს ჯაჭვში სხვადასხვა უჯერი ფრაგმენტების და ჯგუფების შეტანით ფართო დიაპაზონში ვცვალოთ დასინთეზებული ფორპოლიმერების თვისებები.

უჯერი ტრიციკლოდეკენილის ჯგუფების შემცველი მეთილსილოქსანების სინთეზის მიზნით, ჩვენს მიერ, შესწავლილია მეთილჰიდრიდსილოქსანების (პოლიმერიზაციის ხარისხით $m \approx 30,53$) და მეთილჰიდრიდსილოქსან-დიმეთილსილოქსანური ოლოგომერის ($m \approx 33, n \approx 23$) მოდიფიკაციის რეაქციები ტრიციკლოდეკადიენით.

ჰიდროსილილირების რეაქციებში კატალიზატორად გამოყენებული პლატინა-ქლორწყალბადმჟავა და ასევე ნახშირბადზე დაფენილი პლატინა (Pt/C) იწვევენ მეთილჰიდრიდსილოქსანში არსებული კონკურენტულ დეპიდროკონდენსაციის რეაქციებს კიდურა ჰიდროქსილის ჯგუფების არსებობის გამო, ამიტომ მოვახდინეთ მისი ბლოკირება ტრიმეთილქლორსილანით. კერძოდ, ჩატარებულია α, ω -დიპიდროქსიმეთილჰიდრიდსილოქსანის ჰეტეროფუნქციური კონდენსაციის რეაქცია ტრიმეთილქლორსილანთან, მორეაგირე კომპონენტების 1:3 თანაფარდობით, ჰირიდინის თანაობისას და დასინთეზებულია α, ω -ბის(ტრიმეთილსილოქსი)მეთილჰიდრიდსილოქსანი ($m \approx 30, 53$), შესაბამისად α, ω -ბის(ტრიმეთილსილოქსი)მეთილჰიდრიდ(დიმეთილ)სილოქსანი ($m \approx 33, 23$).

საწყისი კომპონენტების წინასწარი გაცხელებით $60\text{--}90^{\circ}\text{C}$ ინტერვალში პლატინა-ქლორწყალბადმჟავას $0,1 \text{ M}$ ხსნარის (ტეტრაჰიდროფურანში) თანაობისას (კატალიზატორი აიდებოდა $5\text{--}8 \times 10^{-5} \text{ g}$, 1 g სარეაქციო ნარევზე) ნაჩვენებია, რომ საწყისი პროდუქტების პოლიმერიზაციას ან მეთანის ელიმინირებას ადგილი არ ჰქონდა. არავითარი ცვლილება არ იქნა დაფიქსირებული იწ და ბმრ სპექტრებშიც. გაზ-თხევადური ქრომატოგრაფიული ანალიზით დამტკიცებულია, რომ ტრიციკლოდეკადიენი აღნიშნულ ჰირობებში პოლიმერიზაციას არ განიცდის [149, 150].

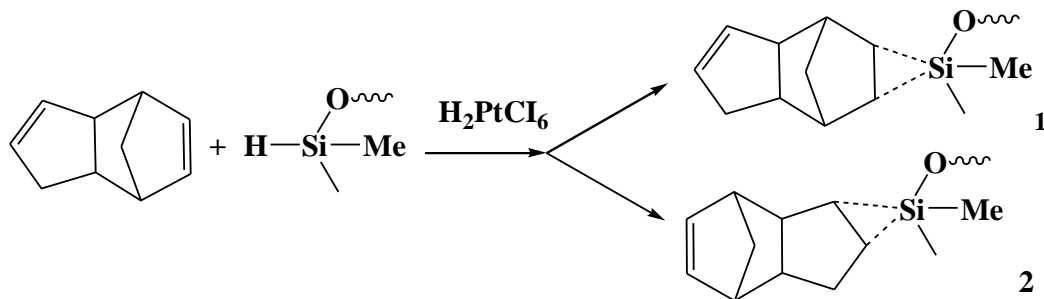
ტრიციკლოდეკადიენის სტრუქტურიდან ჩანს, რომ იგი შეიცავს ორ უჯერ ბმას 1,2 და 9,10 მდგომარეობაში:



ლიტერატურიდან ცნობილია, რომ ელექტროაქტევტორული ჯგუფების დიდი შემცველობისას (მეთილდიქლორსილანი) ჰიდროსილილირება ორმაგ ბმასთან სპაიერის კატალიზატორის შემთხვევაში მიმდინარეობს 9,10-მიერთებით, მცირე რაოდენობის დროს (დიმეთილქლორსილანი) მიერთება მიდის, როგორც 9,10 ასევე 1,2-მიმართუ-

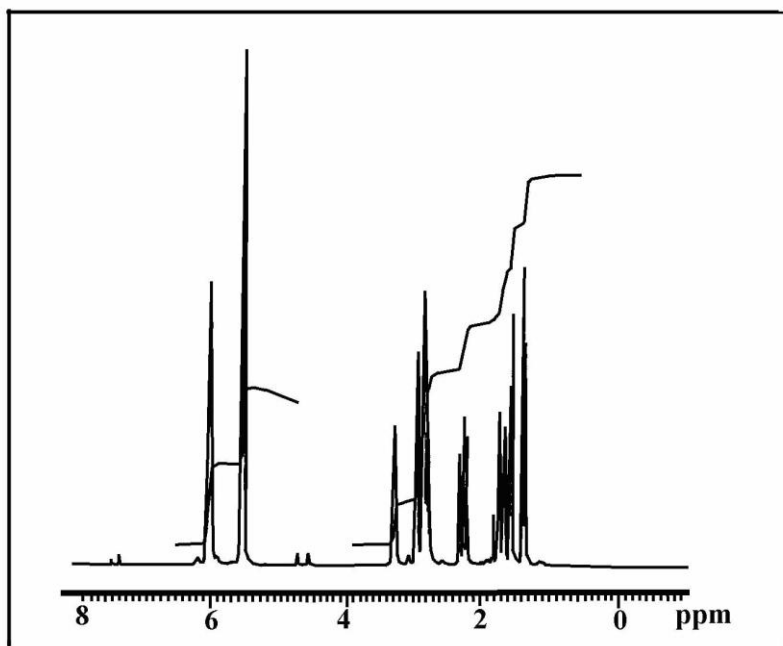
ლებით, ხოლო დონორული ჯგუფების შემთხვევაში ჰიდროსილირება მიმდინარეობს უმთავრესად 1,2-მიმართულებით. მოსალოდნელი იყო, რომ მეთილჰიდროდილოქსილობისანის ჰიდროსილირება პლატინაქლორწყალბადმჟავას 0,1 M ხსნარის (ტეტრაჰიდროფურანში) თანაბისას წასულიყო 1,2-მიმართულებით.

ლიტერატურიდან ცნობილია, რომ ტრიციკლოდეგადიენთან $\equiv\text{Si}-\text{H}$ ბმის ელექტროფილური მიერთება მიმდინარეობს სამწევრიანი გარდამავალი კომპლექსის წარმოქმნით:



ვინაიდან 1 გარდამავალი კომპლექსის შემთხვევაში სტერიული დაბრკოლების გამო 1 კომპლექსის მდგრადობა 2 კომპლექსის მდგრადობაზე ნაკლებია, ამიტომ უპირატესი არის მიერთება 9,10-მდგომარეობაში. აღნიშნულის დასადასტურებლად გამოყენებულ იქნა ბმრ სპექტრის ნაჯერი ნახშირწყალბადების პროტონების უბანი, სადაც ნათლად ჩანს ნაჯერი ჯგუფების პროტონებით ზეზუსტი სტრუქტურის ცვლილება.

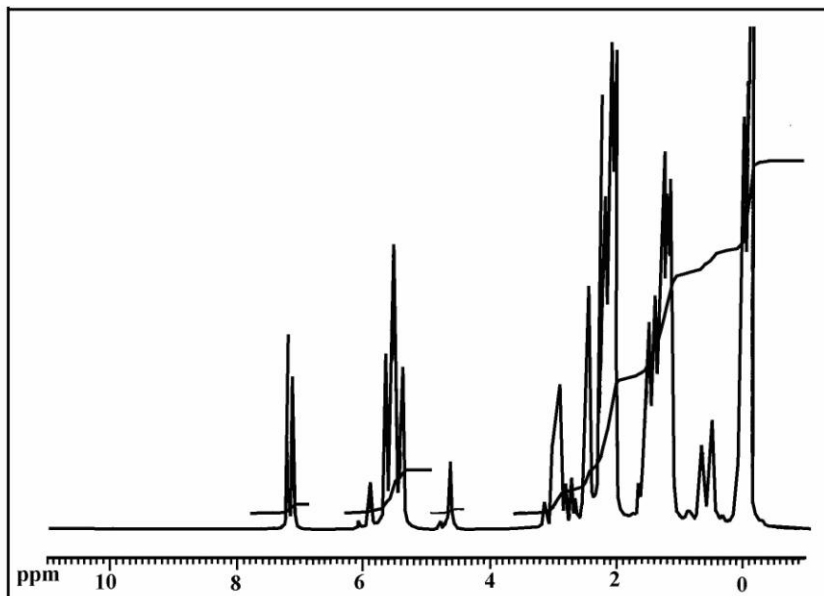
ტრიციკლოდეგადიენის ^1H ბმრ სპექტრში (გადაღებულია დეიტერირებულ ქლოროფორმში), ნათლად ჩანს ორმაგი 1-2 და 9-10 ბმებისათვის დამახსიათებელი შთანთქმის მულტიპლეტური სიგნალები ცენტრით $\delta \approx 5,55$ და $\delta \approx 6,0$ გმჩ (იხ. ნახაზი 5).



ნახაზი 5. ტრიციკლოდეგადიენის ^1H ბმრ სპექტრი

გარდა ამისა, ტრიციკლოდეცენილის CH_2 -ის 7a და 7b პროტონებისათვის შეიმჩნევა მულტიპლეტური სიგნალები ცენტრით $\delta \approx 1,55$ და $\delta \approx 1,35$ ვმნ ($J_{\text{ჰემინალურ}} = 14$ ჰერცი), $\delta H(3_{\text{a,e}}) = 2,2$ ვმნ, სპექტრში ასევე შეიმჩნევა მულტიპლეტური სიგნალები პროტონებისათვის 5,6- და 8 მდგომარეობაში. მათი ზედდების გამო სიგნალების სრული მიკუთვნება გაძნელებულია.

მიერთების პროდუქტის ^1H ბმრ სპექტრი (ნახაზი 6) იგივე გამსხველში შეიცავს უმნიშვნელო ინტენსივობის სიგნალებს 9-10 მდგომარეობისათვის, კერძოდ, უჯერი პროტონებისათვის დამახასიათებელ მულტიპლეტს და ძირითადად უცვლელ 1-2 მდგომარეობის უჯერი პროტონებისათვის დამახასიათებელ რეზონანსულ სიგნალებს ქიმიური წანაცვლებით 5,3-5,7 ვმნ-ში ინტეგრალური ინტენსივობით $\sim 1:10$. ამდენად, ^1H ბმრ სპექტრიდან ჩანს, რომ ჰიდროსილილირება უმთავრესად მიმდინარეობს 9-10 მდგომარეობაში და დაახლოებით 10% 1,2-მიმართულებით.



ნახაზი 6. XXIII ოლიგომერის ^1H ბმრ სპექტრი

ცხრილი 4-ში მოცემულია საწყისი ტრიციკლოდეკადიენის და XXIV ოლიგომერის ბმრ სპექტრების მონაცემები.

ცხრილი 4

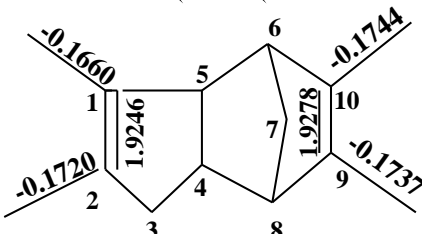
ტრიციკლოდეკადიენის (TCD), XXIII და XXIV ოლიგომერების ^1H ბმრ სპექტრების მონაცემები

C-H ბმა	H-1	H-2	H-3	H-4	H-5	H-6	H-7	H-8	H-9	H-10
TCD (ვმნ)	5,95	5,95	2,20	1,67	1,67	2,22	1,40	2,17	5,50	5,50
XXIII (ვმნ)	5,95	5,95	2,20	1,70	1,70	1,80	1,30	1,80	-	-
XXIV (ვმნ)	5,96	5,96	2,20	1,70	1,70	1,80	1,30	1,80	-	-

აღნიშნული დასკვნა პიდროსილილირების რეაქციის შესაძლო მიმდინარეობის შესახებ დასტურდება ქვანტურ-ქიმიური გათვლებით.

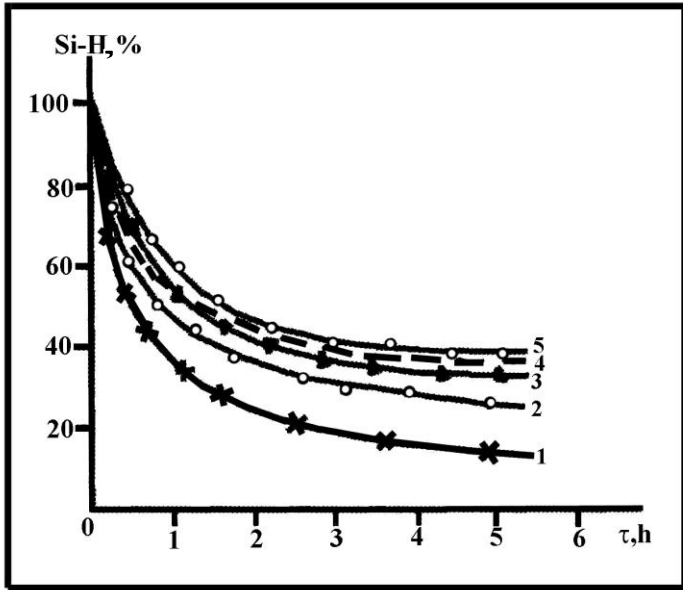
ნახევრადემპირიული ქვანტურ-ქიმიური AM1 მეთოდით გათვლილია ელექტრონული მახასიათებლები: მუხტის სიდიდეები ნახშირბადის ატომებზე და ბმის რიგები. მიღებული შედეგები გამოსახულია მოლეკულურ დიაგრამაზე:

დიაგრამა 3
**მუხტის სიდიდეები და ბმის რიგები ტრიციკლოდეპადიენის
 მოლეკულაში**



როგორც მე-3 დიაგრამიდან ჩანს, მუხტის ყველაზე მაღალი მნიშვნელობა შეიმჩნევა 1-2 და 9-10 ნახშირბადის ატომებზე, რაც მიუთითებს იმაზე, რომ ისინი წარმოადგენენ ყველაზე მაღალ რეაქციისუნარიან ცენტრებს ელექტროფილური მიერთების მიმართ. ასევე მაღალი მნიშვნელობა გააჩნიათ 1-2 და 9-10 ბმის რიგებს. კერძოდ, $P_{1,2}(\pi)=1,9246$ და $P_{9,10}(\pi)=1,9274$ (სადაც ინდექსი π მიუთითებს ბმის რიგის კომპონენტს). ვინაიდან $P_{9,10}(\pi) > P_{1,2}(\pi)$ შეიძლება ვივარაუდოთ, რომ მიერთება უფრო მოსალოდნელია $P_{9,10}$ ბმის π -ელექტრონების მონაწილეობით. თუმცა ეს არ გამორიცხავს, რომ მიერთება 1,2 ბმასთანაც განხორციელდეს.

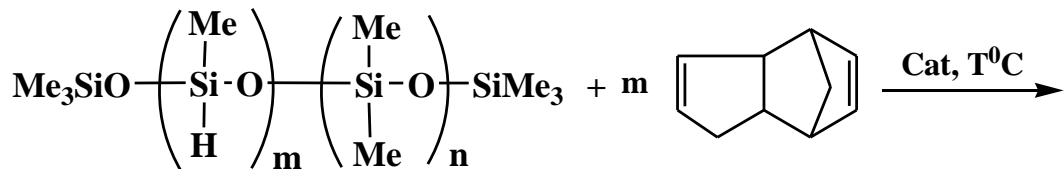
კატალიზური მიერთების რეაქციები, ჩვენს მიერ, შესწავლილია მუდმივ ტემპერატურაზე $60\text{--}90^{\circ}\text{C}$ -ზე. აღმოჩენილია, რომ ნალღობში რეაქციის ჩატარებისას მიერთების დაბალ სტადიებზე 1,3-ციკლოპექსადიენის მსგავსად, ადგილი ჰქონდა შეკერილი სისტემების წარმოქმნას, რაც ჯაჭვთაშორისი შეკერვის რეაქციებით შეიძლება აიხსნას. ამდენად, ხსნადი პროდუქტების მიღების მიზნით პილრიდული მიერთების რეაქციები შესწავლილი იქნა აბსოლუტურად მშრალი ტოლუოლის არეში ($C \approx 0,1017$ მოლი/ლ). რეაქციის მიმდინარეობისას ვახდენდით აქტიური $\equiv\text{Si-H}$ ბმის განსზღვრას. კვლევამ აჩვენა, რომ ტემპერატურის გაზრდასთან ერთად იზრდება მიერთების რეაქციის სიდრმე. 60°C -ზე აქტიური $\equiv\text{Si-H}$ ბმის პროცენტული კონცენტრაცია 5 საათის შემდეგ შეადგენს 39% (ნახაზი 7, მრუდი 4).

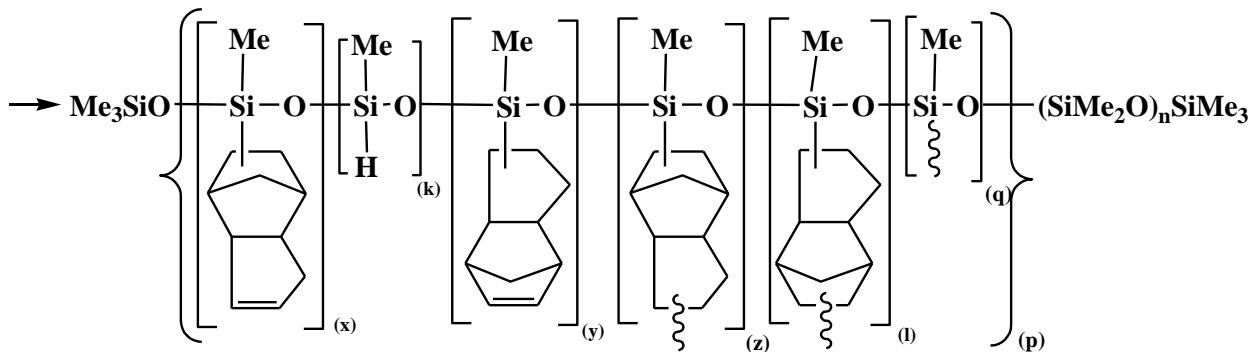


ნახაზი 7. აქტიური $\equiv\text{Si}-\text{H}\%$ კონცენტრაციის ცვლილების დამოკიდებულება დროზე მეთილპიდრიდსილოქსანის ტრიციკლოდეკადიენთან ჰიდროსილილირების დროს, სადაც 1 მრუდი შეესაბამება 90°C , 3 - 80°C , 4 - 70°C და 5 - 60°C , ხოლო მრუდი 2 შეესაბამება მეთილპიდრიდსილოქსან-დიმეთილსილოქსანური ოლიგომერის ჰიდროსილილირების რეაქციას ტრიციკლოდეკადიენთან 90°C

ტემპერატურის გაზრდასთან ერთად აქტიური ჯგუფების კონცენტრაცია მცირდება და 90°C შეადგენს 15% (მრუდი 1). როგორც ნახაზიდან ჩანს, ჰიდროდენიზაციურთების რეაქციები ენერგიულად მიმდინარეობს პირველი 2 საათის განმავლობაში, რის შემდეგაც აქტიური წყალბადის კონვერსია უმნიშვნელოდ იცვლება.

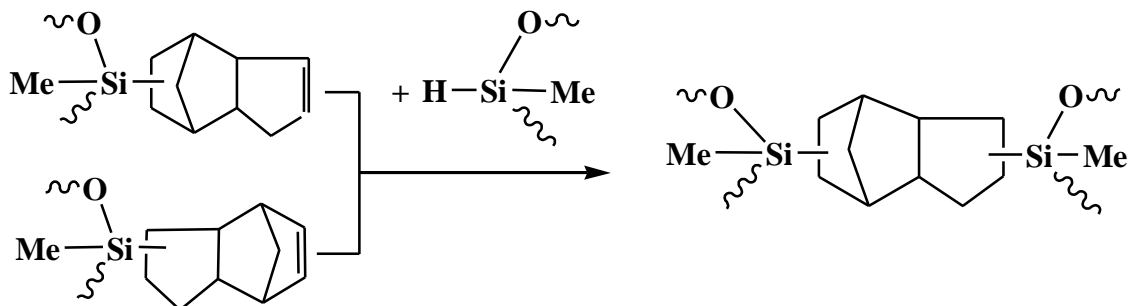
ამდენად, ექსპერიმენტული კვლევის შედეგებიდან გამომდინარე, შეიძლება ვთქაოთ, რომ მეთილპიდრიდსილოქსანების და მეთილპიდრიდსილოქსანდიმეთილისილოქსანის ჰიდროსილილირების რეაქცია ტრიციკლოდეკადიენთან მიმდინარეობს სხვადასხვა რგოლიანი განტოტვილი სისტემების წარმოქმნით შემდეგი სქემის მიხედვით [149-151]:





სადაც, $[(x)+(k)+(y)+(z)+(l)+(q)](p)=m \approx 30$, $n=0$: 90^0C (XXIII) $m \approx 53$, 60^0C (XXIV¹); 70^0C (XXIV²), 80^0C (XXIV³), 90^0C (XXIV); $[(x)+(k)+(y)+(z)+(l)+(q)](p)=m \approx 30$, $m \approx 33$, $n=23$: 90^0C (XXV).

დადგენილია, რომ ტემპერატურის გაზრდასთან ერთად ადგილი აქვს შეკერილი სისტემების წარმოქმნას, რომელთა პროცენტული შემცველობა ტემპერატურის გაზრდასთან ერთად იზრდება. 90^0C -ზე რეაქციის ჩატარებისას, 85% $\equiv\text{Si-H}$ ბმის კონვერსიის დროს მიიღება ~33-35% შეკერილი პოლიმერი, რაც შეიძლება აიხსნას სისტემაში არსებული კატალიზატორის სარჯზე ჯაჭვთაშორის მიმდინარე შემდეგი გვერდითი რეაქციებით:



აქედან გამომდინარეობს, რომ ტრიციკლოდეკადიენის “1-2” მდგომარეობაში არსებული $-\text{CH}=\text{CH}-$ ბმა, ისევე როგორც “9-10” მგომარეობაში არსებული $-\text{CH}=\text{CH}-$ ბმა, ხასიათდება დიდი რეაქციის უნარიანობით ჰიდრიდული მიერთების დროს. ამდენად, ხსნადი სისტემების მისაღებად ჰიდროსილიორებას ვწყვეტდით 75-80%-მდე კონვერსიის მიღწევამდე. ამის შემდეგ სარეაქციო პროცესებს ვფილტრავდით, ვაცილებდით ტოლუოლს, ვაკუუმირებით ($P=1-2$ მმ. Hg) მუდმივ მასამდე, $40-50^0\text{C}$ ტემპერატურულ ინტერვალში.

დასინთეზებული ოლიგომერები წარმოადგენენ გამჭვირვალე, მყარ, ოდნავ ოპალისცირებულ სისტემებს $\eta_{\text{vz}}=0,07-0,13$, რომლებიც კარგად იხსნებიან ჩვეულებრივ თრგანულ გამხსნელებში. დასინთეზებული ოლიგომერების ზოგიერთი ფიზიკურ-ქიმიური თვისებები მოცემულია მე-5 ცხრილში.

ცხრილი 5

ოლიგომერების ზოგიერთი ფიზიკურ-ქიმიური თვისებები

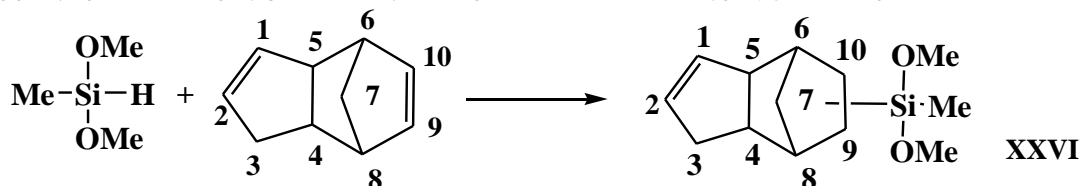
№ ოლიგომერი	გამოსავ ლიანობა, %	რეაქციის ტემპ., °C	η^*_{b3}	T_g °C	$\bar{M}_w \times 10^{-3}$	P, პოლიდ.	5%, მასის დანაკ. °C	d_1 , Å
XXIII	85	90	0.08	-1	7.8	2.6	240	9.10
XXIII ¹	65	-	0.13	+8	82.1	21.8	300	9.33
XXIV ¹	83	60	0.07	-	-	-	-	-
XXIV ²	75	70	0.08	+2	7.8	1.8	-	-
XXIV ³	70	80	0.09	-	-	-	-	-
XXIV	67	90	0.09	+6	10.3	2.3	270	9.33
XXV	70	90	0.11	-15	-	-	250	8.63

* 1% -იანი ხსნარი ტოლუოლში 25°C.

ოლიგომერების იწ სპექტრში შეიმჩნევა $-\text{CH}=\text{CH}-$ უჯერი ბმისათვის დამახასიათებელი შთანთქმის ზოლი 1600 და 3350 სმ⁻¹ უბანში. ასევე შეიმჩნევა შესაბამისი შთანთქმის ზოლები 840, 2165, 1275 და 1020 სმ⁻¹ უბანში, დამახასიათებელი $-\text{SiMe}_3$, $\equiv\text{Si-H}$, $\equiv\text{Si-Me}$ და ხაზოვანი $\equiv\text{Si-O-Si}\equiv$ ბმებისათვის [140 - 142].

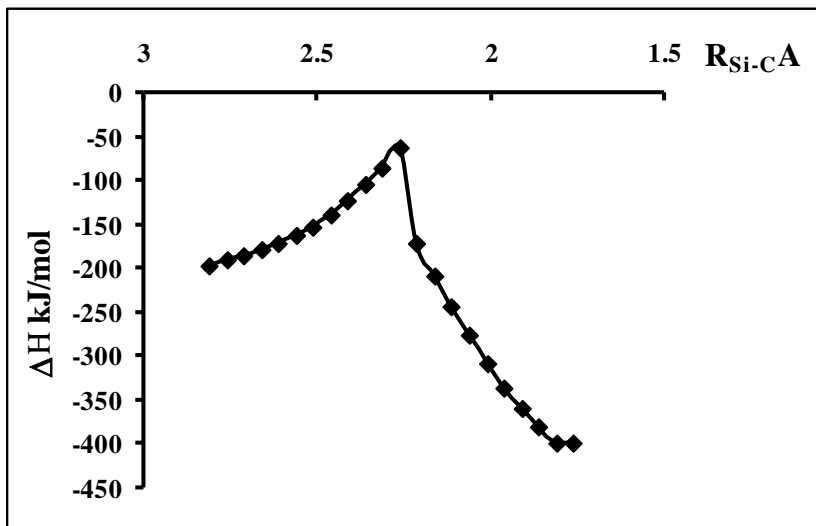
მეთოლდიმეთოქსისილანის ტრიციკლოდეკადიენთან მიერთების რეაქციის სრული დახასიათებისათვის ჩატარებულია გათვლები ნახევრადემპირიული ქვანტურ-ქიმიური მეთოდით AM1 [152]. ყველა საწყისი ნივთიერების, შუალედური და საბოლოო პროდუქტისათვის მოდელურ რეაქციაში მეთოლდიმეთოქსისილანის $[\text{Me}(\text{MeO})_2\text{SiH}]$ პი-დროსილილირებისას ტრიციკლოდეკადიენთან გათვლილია წარმოქმნის სითბოები (ΔH_f), სისტემის ენერგიის ცვლილება (ΔH) $\equiv\text{C-Si}\equiv$ ბმის მანძილის ცვლილებისას ($R_{\text{C-Si}}$), აგრეთვე მუხტების მნიშვნელობები (q_i) ატომებზე, დიპოლური მომენტები (μ) და ბმის რიგები (P_{ij}).

პირველად განხილული იქნა 9-10-მიერთების მიხედვით მიმდინარე პიდრიდული მიერთების მოდელური რეაქცია მეთოლდიმეთოქსისილანსა $[\text{Me}(\text{MeO})_2\text{SiH}]$ და ტრიციკლოდეკადიენთან. რეაქცია მიმდინარეობს XXVI მოდელური ნაერთის წარმოქმნით:



ტრიციკლოდეკადიენის ორმაგ ბმასთან მდგომ ნახშირბადის (C_{10} და C_9) ატომებსა და სილიციუმის ატომს შორის მანძილი აღებულ იქნა 1,0 Å-ით მეტი, ვიდრე ბმის მანძილი საბოლოო პროდუქტში. მანძილის ცვლილება ($R_{C_{10}-\text{Si}}$) სილიციუმის ატომსა და ორმაგ ბმასთან მდგომ ნახშირბადის (C_{10}) ატომს შორის ხდებოდა 0,05 Å-ის ინტერვალით. სისტემის ენერგიის ცვლილების (ΔH) დამოკიდებულება მანძილზე ($R_{C_{10}-\text{Si}}$) სილიციუმის ატომსა და ორმაგ ბმასთან მდგომ ნახშირბადის ატომს შორის მოცემულია მე-8 ხახაზზე.

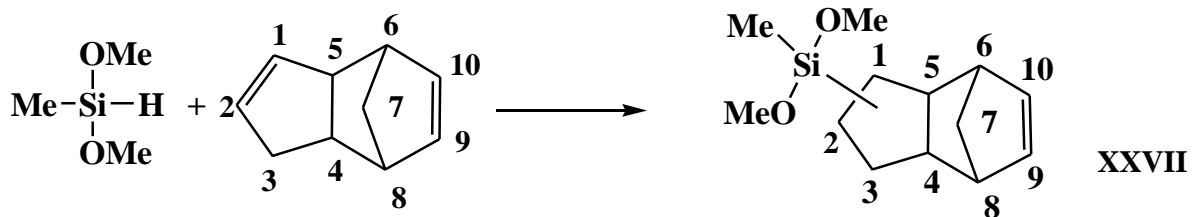
როგორც მე-8 ნახაზიდან ჩანს, სილიციუმის ატომის მიახლოებისას ნახშირბადის (C_{10}) ატომთან $R_{C-Si}=2,26 \text{ \AA}$ მანძილამდე, სისტემის ენერგია იზრდება, ბმის რიგი C_{10} და C_9 ატომებს შორის ტრიციკლოდეკადიენში მოდეკულაში მცირდება 1,909-დან 1,649-მდე. ასევე მცირდება ბმის რიგი სილიციუმის ატომსა და წყალბადს შორის ($P_{Si-H}=0,922-0,775$) და მოდელურ ნივთიერებაში შეიმჩნევა ახალი ბმის წარმოქმნა ($R_{C_{10}-Si}=0,015-0,105$ და $P_{C_9-H}=0,0006-0,063$). სილიციუმის ატომსა და ნახშირბადის (C_{10}) ატომს შორის 2,21 Å მანძილზე სისტემის ენერგია მკვეთრად მცირდება, ორმაგი ბმა გადადის ორდინარულ C-C ბმაში ($P_{C_{10}-C_9}=0,991$), და ბმის რიგი სილიციუმის და ნახშირბადის (C_{10}) ატომებს შორის აღწევს 0,798-ს. ამგვარად, წყალბადის ატომი სრულად წყდება სილიციუმის ატომს ($P_{Si-H}=0,013$) და უერთდება ნახშირბადის ატომს C_9 მდგომარეობაში ($P_{C_9-H}=0,929$). იგივე გათვლები ჩატარებულია სილიციუმის ატომის მიერთებით C_9 ნახშირბადის ატომთან.



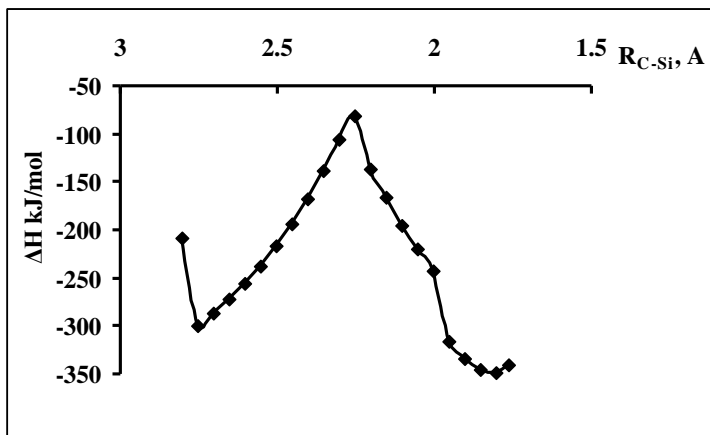
ნახაზი 8. სისტემის ენერგიის ცვლილების დამოკიდებულება (ΔH) სილიციუმის და ნახშირბადის ატომებს შორის მანძილზე ($R_{C_{10}-Si}$), მეთილდიმეთოქსისილანის ტრიციკლოდეკადიენთან ჰიდროსილილირებისას მოდელურ რეაქციაში (9,10-მიერთება)

სილიციუმისა და ნახშირბადის (C_{10}) ატომებს შორის მანძილის შემდგომი შემცირებისას სისტემის ენერგია მცირდება და ხდება წარმოქმნილი ახალი ბმების განმტკიცება. XXVI პროდუქტის წარმოქმნის სითბო 9,10-მიერთებისას ($\Delta H=-399,129 \text{ kJ/mol}$, იტერაციით გამოთვლილი) კარგ თანხვდენაშია ნაბიჯ-ნაბიჯ გათვლილ მეთილდიმეთოქსისილანის ტრიციკლოდეკადიენთან მიერთების წარმოქმნის სითბოსთან $\Delta H=-399,012 \text{ kJ/mol}$, ხოლო აღნიშნული რეაქციის აქტივაციის ენერგია შეადგენს $E_{\text{act}}=133,21 \text{ kJ/mol}$.

ჩვენს მიერ, ასევე განხილულია 1,2-მიერთების მიხედვით მიმდინარე ჰიდროდული მიერთების მოდელური რეაქცია მეთილდიმეთოქსისილანისა და ტრიციკლოდეკადიენს შორის. რეაქცია მიმდინარეობს შემდეგი სქემის მიხედვით, მოდელური XXVII ნაერთის წარმოქმნით:



მე-9 ნახაზზე მოცემულია სისტემის ენერგიის ცვლილების (ΔH) დამოკიდებულება სილიციუმის და ნახშირბადის (C_1) ატომებს შორის მანძილზე ($R_{C_1\text{-Si}}$). მანძილი სილიციუმის და ნახშირბადის (C_1) ატომებს შორის აღებულია $1,0 \text{ \AA}$ -ით მეტი, ვიდრე ბმის მანძილი საბოლოო პროდუქტში. მანძილის ცვლილება ($R_{C_1\text{-Si}}$) სილიციუმის ატომსა და ორმაგ ბმასთან მდგომ ნახშირბადის (C_1) ატომს შორის ხდებოდა $0,05 \text{ \AA}$ -ის ინტერვალით.



ნახაზი 9. სისტემის ენერგიის ცვლილების დამოკიდებულება (ΔH) სილიციუმის და ნახშირბადის ატომებს შორის მანძილზე ($R_{C_1\text{-Si}}$), მეთიოდიმეთოქსილანის ტრიციკლოდეკადიენთან ჰიდროსილილირებისას მოდელურ რეაქციაში (1,2-მიერთება)

როგორც მე-9 ნახაზიდან ჩანს, სილიციუმის ატომის მიახლოებისას ნახშირბადის (C_1) ატომთან $R_{C_1\text{-Si}} = 2,30 \text{ \AA}$ მანძილამდე, სისტემის ენერგია იზრდება. ერთდროულად ბმის რიგი C_1 და C_2 ატომებს შორის ტრიციკლოდეკადიენის მოლეკულაში მცირდება $1,901$ -დან $0,978$ -მდე.

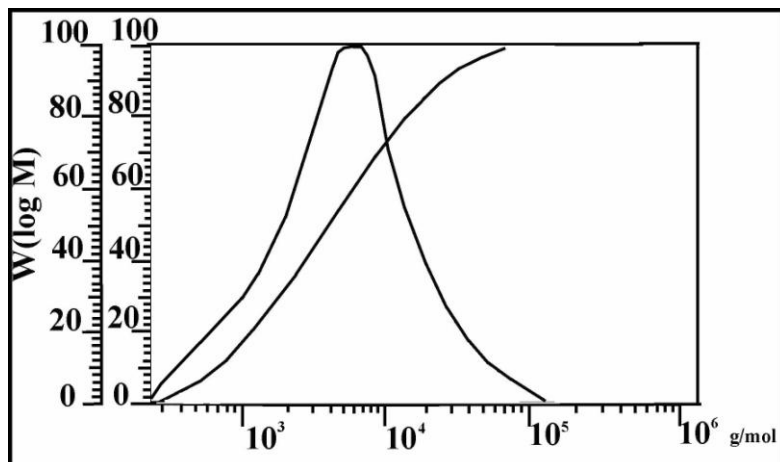
ბმის რიგი სილიციუმის ატომსა და წყალბადს შორის ასევე მცირდება ($R_{\text{Si-H}} = 0.917\text{-}0.884$) და შეიმჩნევა ახალი ბმის წარმოქმნა ($R_{C_1\text{-Si}} = 0,0085\text{-}0,853$ და $P_{C_2\text{-H}} = 0,0009\text{-}0,011$). სილიციუმის ატომსა და ნახშირბადის (C_1) ატომს შორის $2,25 \text{ \AA}$ მანძილზე სისტემის ენერგია მკვეთრად იზრდება, ორმაგი ბმა $C_1=C_2$ გადადის ერთმაგ $C_1\text{-}C_2$ ბმაში ($P_{C_1\text{-}C_2} = 0,980$) და ბმის რიგი სილიციუმის და ნახშირბადის (C_1) ატომებს შორის აღწევს 0.853 -ს. წყალბადის ატომი სრულად წყდება სილიციუმის ატომს ($P_{\text{Si-H}} = 0,043$) და უერთდება ნახშირბადის ატომს C_2 ($P_{C_2\text{-H}} = 0.887$). თითქმის იგივე შედეგი იქნა მიღებული სილიციუმის ატომის C_2 ნახშირბადის ატომთან მიერთებისას. XXVII

ნაერთის წარმოქმნის სითბო 1-2-მიერთების დროს ტოლია $\Delta H = -349.129 \text{ кJ/მოლი}$, ხოლო აქტივაციის ენერგია $E_{\text{акт}} = 218.67 \text{ кJ/მოლი}$.

მე-8 და მე-9 ნახაზების მრუდებიდან, აქტივაციის ენერგიების და ბმის რიგების შედარებიდან გამომდინარე მეთილდიმეთოქსისილანის ტრიციკლოდეკადიენთან ჰიდროსილილირების მოდელურ რეაქციაში 9,10-მიერთება ენერგეტიკულად უფრო ხელსაყრელია, რაც თანხვდენაშია ბმრ სპექტრულ მონაცემებთან.

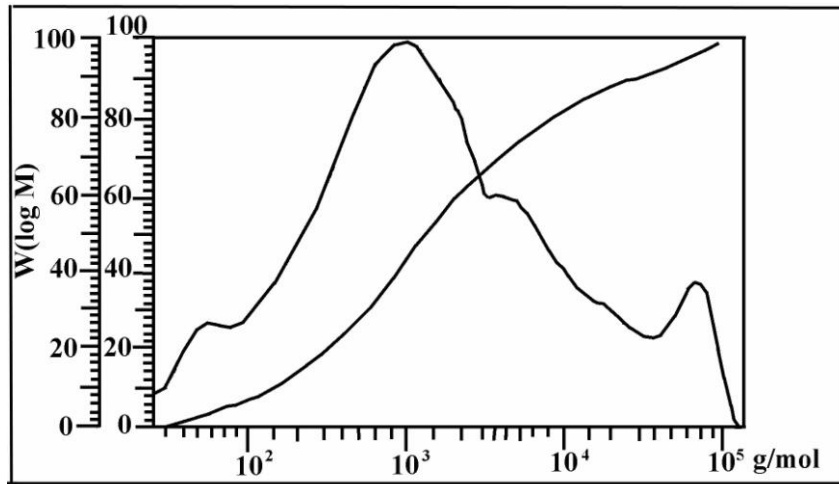
მეთილჰიდროდილოქსანის ($m=53$) ტრიციკლოდეკადიენთან ჰიდროსილილირების რეაქციის დროს შებრუნებული კონცენტრაციის დროზე დამოკიდებულებიდან ნაჩვენებია, რომ ჰიდროსილილირების რეაქცია მეორე რიგისაა. გათვლილია ჰიდროსილილირების რეაქციის სიჩქარის მუდმივები სხვადასხვა ტემპერატურაზე: $k_{60}^0 \approx 1,051 \times 10^{-1}$, $k_{70}^0 \approx 1,405 \times 10^{-1}$, $k_{80}^0 \approx 1,944 \times 10^{-1}$ მოლი/ლ·ს. რეაქციის სიჩქარის მუდმივას ლოგარითმის ტემპერატურის შებრუნებულ სიდიდესთან დამოკიდებულებიდან გათვლილი იქნა ჰიდროსილილირების აქტივაციის ენერგია, რომელიც ტოლია $E \approx 32,3 \text{ кJ/მოლი}$.

ოლიგომერისათვის ჩატარებულია გელ-შედწევადი ქრომატოგრაფიული გამოკვლევა. მე-10 ნახაზზე მოცემულია ოლიგომერების მოლეკულურ-მასური განაწილების მრუდები, საიდანაც ჩანს, რომ მას გააჩნია მონომოდალური მოლეკულურ-მასური განაწილება. XXIII ოლიგომერისათვის განსაზღვრულ იქნა საშუალო მოლეკულური მასები და პოლიდისპერსულობა, რომელიც შეადგენს: $M_w \approx 7,8 \times 10^3$, $M_n \approx 3,0 \times 10^3$, $P \approx 2,6$. სრული ჰიდროსილილირების დროს საშუალო მოლეკულური მასა XXIII ოლიგომერისათვის არ უნდა აღემატებოდეს 6×10^3 . გაზრდილი მოლეკულური მასა XXIII ოლიგომერისათვის კიდევ ერთხელ მიუთითებს იმაზე, რომ ჰიდროსილილირების რეაქცია მიმდინარეობს მაკრომოლეკულათშორისი მიმართულებით.



ნახაზი 10. XXIII ოლიგომერის გელ-შედწევადი ქრომატოგრაფიული მრუდი

XXIII ოლიგომერის 30% ტოლუოლენისნარი დამატებით გავაცხელეთ 4 საათის განმავლობაში 80-90°C ტემპერატურაზე, რომლის დროსაც აქტიური $\equiv Si-H$ ბმის კონცენტრაცია შემცირდა 18%-დან 3%-მდე. გაფილტვრისა და გამხსნელის – ტოლუოლის მოცილების შემდეგ, 40-50°C ტემპერატურაზე ვაკუუმში ($P=1 \div 2 \text{ mmHg}$) მუდმივ მასამდე გამოხდით მიღებულია გამჭვირვალე მოყვითალო ფერის ბლანტი მასა – ოლიგომერი XXIII¹ (65%), რომელიც იხსნება ორგანულ გამხსნელში.

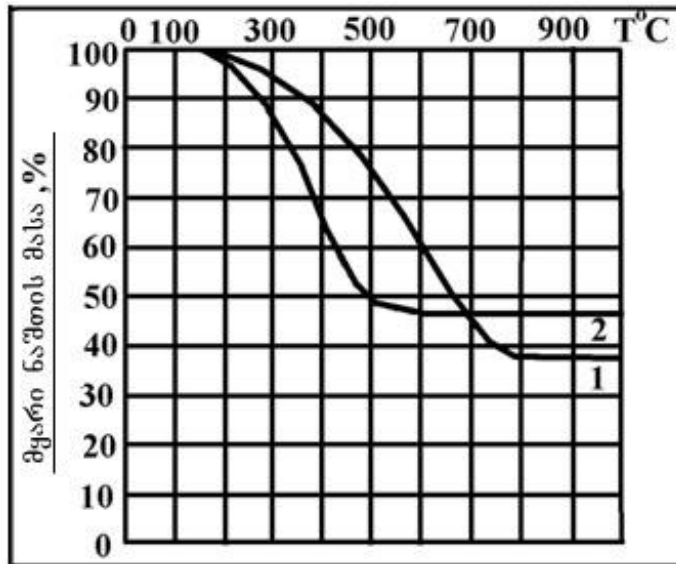


ნახაზი 11. XXIII¹ ოლიგომერის გელ-შედწევადი ქრომატოგრაფიული მრუდი

აღნიშნული ოლიგომერის გელ-შედწევადი ქრომატოგრაფიული ანალიზით (ნახაზი 11) ნაჩვენებია, რომ ოლიგომერს გააჩნია პოლიმოდალური მოლეკულურ-მასური განაწილება: $M_w \approx 8,3 \times 10^4$, $M_n \approx 3,8 \times 10^3$ და გაზრდილი პოლიდისპერსულობა ($p \approx 21,8$) XXIII ოლიგომერთან შედარებით. როგორც ჩანს დამატებითი გაცხელების დროს სისტემაში არსებული კატალიზატორის ხარჯზე ადგილი აქვს მაკრომოლეკულათ შორის და შიგამოლეკულურ პიდროსილილირების რეაქციებს.

ჩატარებულია ტრიციკლოდეცნილის ჯგუფების შემცველი მეთილსილოქსანური ოლიგომერების თერმოგრავიმეტრიული გამოკვლევა.

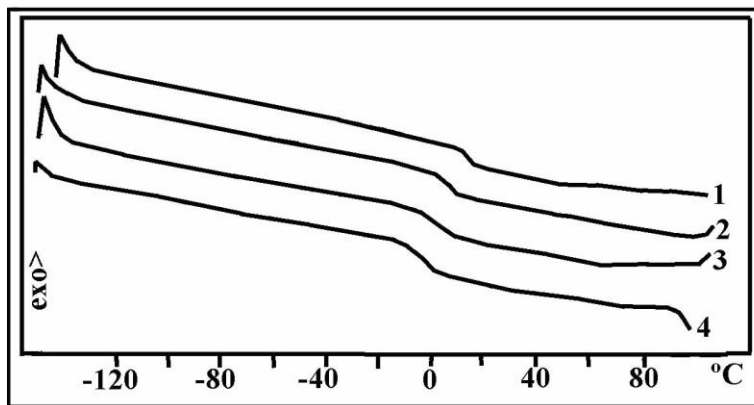
როგორც მე-12 ნახაზიდან ჩანს XXIV² და XXV ოლიგომერისათვის 5%-იანი მასის დანაკარგი შეიმჩნევა 290-300°C ტემპერატურულ ინტერვალში.



ნახაზი 12. ოლიგომერების თერმოგრავიმეტრიული მრუდები სადაც, 1 მრუდი შექსაბამება XXIV² ოლიგომერს, ხოლო 2 – XXV.

დესტრუქციის ძირითადი პროცესი მიმდინარეობს $350\text{-}700^{\circ}\text{C}$ ინტერვალში. 700°C ზევით მასის ცვლილება არ აღინიშნება. XXV ოლიგომერი ნაკლები თერმოუსანგვითი სტაბილურობით ხასიათდება, რაც აიხნება ოლიგომერულ ჯაჭვში დამატებით დიმეთოლსილოქსანური ფრაგმენტის არსებობით.

დიფერენციალური სკანირებადი კალორიმეტრიული გამოკვლევებით დადგნილია, რომ XXIII ოლიგომერისათვის ტემპერატურული გადასვლა, რომელიც შეესაბამება გამინების ტემპერატურას შეიმჩნევა $\sim -1^{\circ}\text{C}$, ხოლო XXIII¹ შეიმჩნევა $\sim +8^{\circ}\text{C}$. ტრიციკლოდეცენილის რაოდენობის გაზრდასთან ერთად გვერდით ჯაჭვი ოლიგომერების გამინების ტემპერატურა იზრდება. რაც შეეხება XXV ოლიგომერს მისი $T_g \approx 15^{\circ}\text{C}$ შეადგენს (ნახაზი 13).



ნახაზი 13. ოლიგომერების დიფერენციალურ სკანირებადი კალორიმეტრიული მრუდები. სადაც 1 მრუდი შეესაბამება XXIII¹ ოლიგომერს, 2 – XXIV, 3 – XXIII, და 4 – XXV.

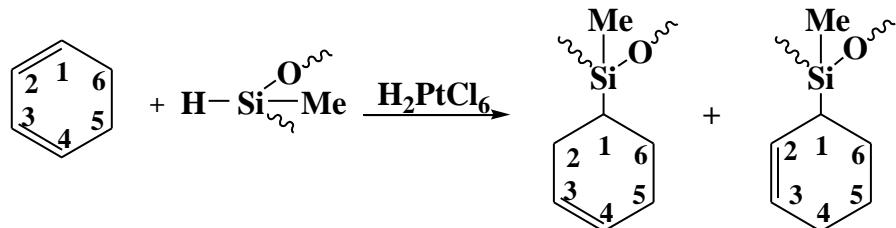
ფართოკუთხოვანი რენტგენოგრაფიული გამოკვლევებით დადგენილია, რომ ოლიგომერები წარმოადგენენ ერთფაზიან ამორფულ სისტემებს. ნაჩვენებია, რომ ტრიციკლოდეცენილის ჯგუფების რაოდენობის გაზრდასთან ერთად ჯაჭვთაშორისი მანძილის მნიშვნელობა უმნიშვნელოდ იზრდება $d_1 \approx 9,1\text{-}9,33 \text{ \AA}$. რაც შეეხება XXV ოლიგომერს მისი ჯაჭვთაშორისი მანძილის მნიშვნელობა ოდნავ შემცირებულია $d_1 \approx 8,63 \text{ \AA}$ -მდე.

ამრიგად, ჩვენს მიერ, პირველად იქნა შესწავლილი მეთოლჰიდრიდსილოქსანის და მეთოლჰიდრიდსილოქსან-დიმეთოლსილოქსანური ოლიგომერების პიდრიდული მიერთების რეაქციები ტრიციკლოდეკადიენთან პლატინაქლორწყალბადმჟავას კატალიზატორის თანაობისას და ნაჩვენებია, რომ პიდროსილილირება მიმდინარეობს როგორც 9,10-, ასევე 1,2-მიერთებით. ამასთანავე, ადგილი აქვს მაკრომოლეკულათშორის პიდროსილილირებას განტოტვილი აგებულების სისტემების მიღებით. დასინთეზებული ოლიგომერები წარმოადგენენ საინტერესო სისტემებს კარბოჯაჭვური ელასტომერების მოდიფიკაციისათვის, ვინაიდან ისინი დამატებითი გაცხელების დროს განიცდიან გაკერვის რეაქციებს სისტემაში არსებული კატალიზატორის ხარჯზე.

2.5. α,ω-ბის(ტრიმეთილსილოქსი)მეთილპიდრიდსილოქსანის ჰიდროსილილირების რეაქცია ციკლოჟექსა-1,3-დიენთან

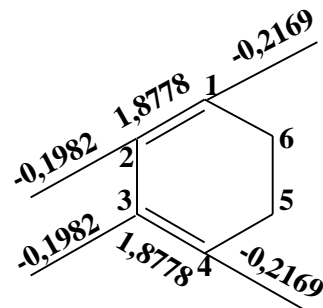
ლიტერატურაში არ არის ინფორმაცია მეთილპიდრიდსილოქსანების ციკლოჟექსა-1,3-დიენთან ჰიდრიდული მიერთების რეაქციების შესახებ. მეთილსილოქსანური ოლიგომერების მიღების მიზნით, უჯერი ციკლოჟექსენილის ჯგუფებით გვერდით ჯაჭვში, ჩვენს მიერ შესწავლილია მეთილპიდრიდსილოქსანების ჰიდრიდული მიერთება შეუდლებულ ბმიან ციკლოჟექსა-1,3-დიენთან, მორეაგირე კომპონენტების 1:30 თანაფარდობით, როგორც აბსოლუტურად მშრალი ტოლუოლის ხსნარში, ასევე ნალღობში [153-157].

ციკლოჟექსა-1,3-დიენი წარმოადგენს საინტერესო სისტემას, ვინაიდან ჰიდრიდული მიერთება შეიძლება განხორციელდეს ერთ ორმაგ ბმასთან, ორმაგი ბმის შენარჩუნებით, რაც თავის მხრივ მიღებულ სისტემებს საინტერესოს ხდის სილიციუმორგანული რეზინების მიღების თვალსაზრისით. მეორეს მხრივ, აქ ჰიდროსილილირება შესაძლებელია განხორციელდეს 1,2- ან 1,4-მიმართულებით [153-157]:



ქვანტურ-ქიმიური ნახევრადემპირიული AM1 მეთოდით [152] გათვლილია ციკლოჟექსა-1,3-დიენის ელექტრონული მახასიათებლები – მუხტის სიდიდეები ატომებზე და ბმის რიგები. მიღებული შედეგები გამოსახულია დიაგრამაზე:

დიაგრამა 4
მუხტის სიდიდეები და ბმის რიგები ციკლოჟექსა-1,3-დიენის მოლებულაში

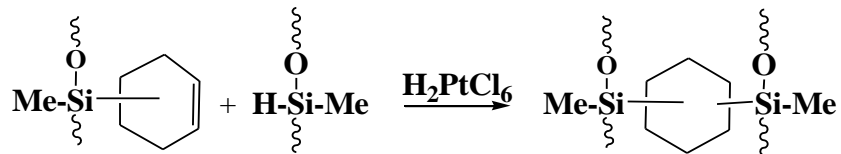


როგორც მოლებულური დიაგრამიდან ჩანს მუხტის მაღალი მნიშვნელობები აღინიშნება ნახშირბადის ატომზე 1 და 4 მდგომარეობაში, რაც მიუთითებს იმაზე, რომ ნახშირბადის ატომები ელექტროფილური მიერთებისას ამ მდგომარეობაში წარმოადგენენ მაღალ რეაქციისუნარიან ცენტრებს. აქედან გამომდინარე, ჰიდრიდული მიერთება ყველაზე დიდი ალბათობით შეიძლება განხორციელდეს “1-4” პოზიციაში, ვიდრე 2 ან 3 პოზიციაში ($q_{1,4} \approx -0,2169$; $q_{2,3} \approx -0,1982$). თანაფარდობა ატომებზე მუხტის სიდიდეებისა შეადგენს $q_{1,4}/q_{2,3} \approx 1,09$, რაც პირდაპირ თანხვდენაშია ბმრ სპექტრულ

მონაცემებთან. მეორეს მხრივ, ბმის რიგი “1-2” და “3-4” მდგომარეობაში ხასიათდებიან ერთი და იგივე მნიშვნელობებით $P_{1,2}=P_{3,4} \approx 1,8778$, რაც მიუთითებს იმაზე, რომ ჰიდროსილილირების რეაქციის მიმდინარეობისას გადამწყვეტ როლს ითამაშებს მუხტის სიღიძეების მნიშვნელობა ნახშირბადის ატომზე.

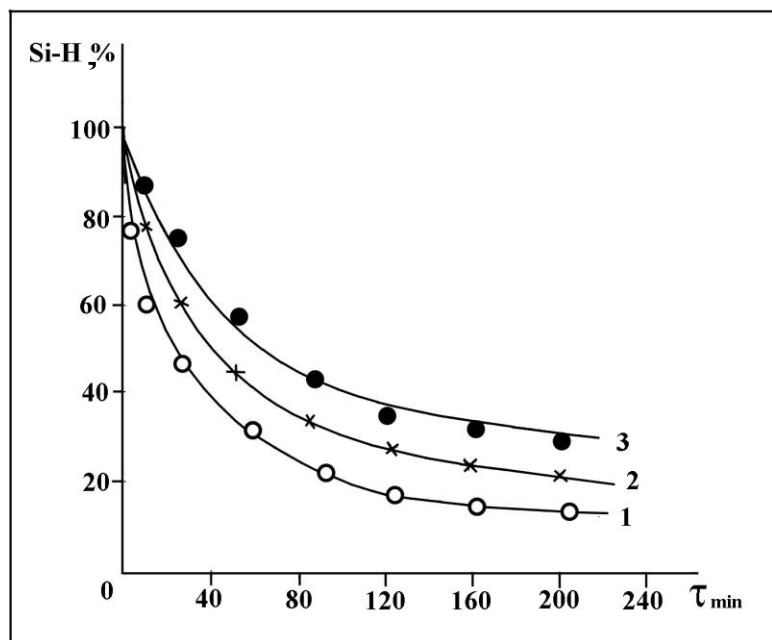
საწყისი პროდუქტების წინასწარი გაცხელებით პლატინის კატალიზატორის თანაობისას $60\text{--}80^{\circ}\text{C}$ ტემპერატურულ ინტერვალში, დადგენილია, რომ აფნიშნულ პირობებში ციკლოპექსა-1,3-დიენის პოლიმერიზაციას ან მეთილპიდრიდსილოქსანის სხვა რაიმე გარდაქმნას ადგილი არ ჰქონდა.

ჰიდროსილილირების ჩატარებისას ნალეობში ნაჩვენებია, რომ ჰიდროსილილირების საწყის სტადიებზე (აქტიური $\equiv\text{Si-H}$ ბმის 20% კონცენტრაციის დროს) ადგილი აქვს გაკერვის რეაქციებს, სივრცითი ბადისებრი სისტემების მიღებას, რაც აისხება იმით, რომ ამ დროს შესაძლებელია განხორციელდეს არამარტო მაკრომოლეკულათ-შორისი ჰიდროსილილირების რეაქციები სქემის მიხედვით:



არამედ შიგამოლებულური ჰიდროსილილირების რეაქციებიც.

სსნადი ოლიგომერების მიღების მიზნით, ჩვენს მიერ ჰიდროსილილირების რეაქციები ჩატარებულია აბსოლუტურად მშრალი ტოლუოლის სსნარში ($C \approx 0,1155$ მოლი/ლ).

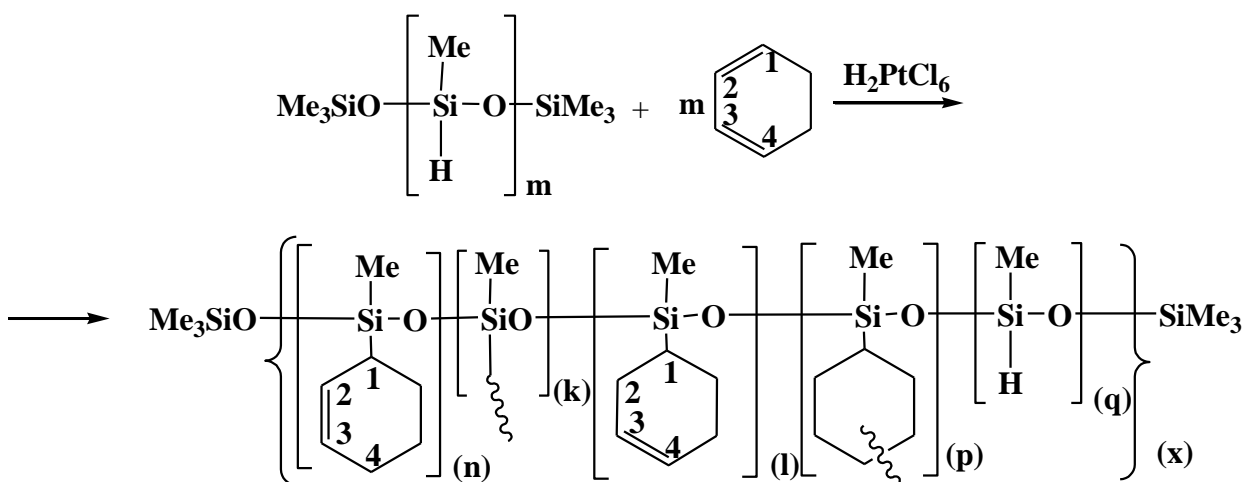


ნახაზი 14. $\equiv\text{Si-H}$ ბმის კონცენტრაციის შემცირება დროში, მეთილპიდრიდსილოქსანის ჰიდრიდული მიერთების დროს ციკლოპექსა-1,3-დიენთან, სადაც 1 მრუდი შეესაბამება 80°C , 2–70 $^{\circ}\text{C}$ და 3–60 $^{\circ}\text{C}$.

რეაქციის მიმდინარეობისას ვახდენდით აქტიური $\equiv\text{Si}-\text{H}$ ბმის კონცენტრაციის განსაზღვრას. დადგენილია, რომ ტემპერატურის გაზრდასთან ერთად ჰიდროსილირების რეაქციის სიღრმე ($\equiv\text{Si}-\text{H}$ ბმის კონცენტრაციის იზრდება (ნახაზი 14).

სამი საათის შემდეგ 60°C ტემპერატურაზე აქტიური $\equiv\text{Si}-\text{H}$ ბმის კონცენტრაცია შეადგენს 69% (ნახაზი 14, მრუდი 3). ტემპერატურის გაზრდასთან ერთად 80°C -მდე, $\equiv\text{Si}-\text{H}$ ბმის კონცენტრაცია შეადგენს 85% (ნახაზი 14, მრუდი 1). ხსნადი ოლიგომერების მიღების მიზნით ჰიდროსილირების რეაქციას ვწყვეტდით 80% კონცენტრაციის დროს, მაგრამ გამოყენებული გამსხვევის მოცილების დროს ადგილი აქვს გვერდით, შიდა-მოლეკულურ და მოლეკულატშორის ჰიდროსილირებას, რასაც მივყავართ $\equiv\text{Si}-\text{H}$ ბმის შემდგომ შემცირებასთან და განტოტვილი ოლიგომერების მიღებამდე.

შესაბამისად, მეთილჰიდროდილოქსანის ჰიდროსილირების რეაქცია ციკლო-ჰექსა-1,3-დიენთან მიმდინარეობს შემდეგი სქემის მიხედვით [153-157]:



სადაც, $[(n)+(k)+(l)+(q)](x) \approx 30$ - XXVI¹(60°C); XXVI²(70°C); XXVI(80°C).

დასინთეზებული მეთილჰიდროდილოქსანური ოლიგომერები წარმოადგენებ რეზინოსებურ სისტემებს, რომლებიც კარგად იხსნებიან ჩვეულებრივ ორგანულ გამსხველებში, $\eta_{\text{sp}} = 0.08-0.09$. ოლიგომერების შედგენილობა და აღნაგობა დამტკიცებულია ფუნქციური და ელემენტური ანალიზით, მოლეკულური მასების განსაზღვრით, იწ და ბმრ სპექტრული ანალიზებით. ოლიგომერების ზოგიერთი ფიზიკურ-ქიმიური თვისებები, ელემენტური ანალიზი და გამოსავლიანობა ნაჩვენებია ცხრილში 6.

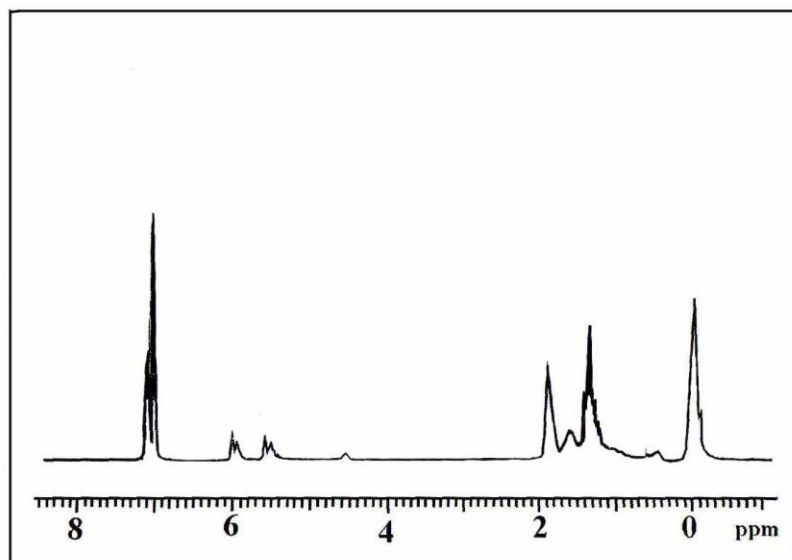
ოლიგომერების იწ სპექტრში შეიმჩნევა ხაზოვანი $\equiv\text{Si}-\text{O}-\text{Si}\equiv$ ბმის ასიმეტრიული ვალენტური რხევებისათვის დამახასიათებელი შთანთქმის ზოლი 1020 cm^{-1} უბანში. სპექტრში ასევე შეიმჩნევა $\equiv\text{Si}-\text{Me}$ და $-\text{SiMe}_3$ ბმებისათვის, შთანთქმის ზოლები შესაბამისად 1275 და 840 cm^{-1} უბანში [140-142].

ცხრილი 6
 ოლიგომერების ელემენტური ანალიზი, გამოსავლიანობა და
 ზოგიერთი ფიზიკურ-ქიმიური თვისება

№	ოლიგომერი გამოსავლიანობა %	რეაქციის ტემპ., $^{\circ}\text{C}$	η_{sp}^*	T_g , $^{\circ}\text{C}$	d_1 , Å	5%- მასის დანაკ., $^{\circ}\text{C}$	$\bar{M}_w \times 10^{-3}$	ელემენტური** შედგენილობა, %		
								C	H	Si
XXVI ¹	94	60	0,08	-14	8,40	230	-	<u>59,42</u> 58,95	<u>8,66</u> 8,43	<u>20,54</u> 21,02
XXVI ²	94	70	0,08	-	-	-	-	<u>59,42</u> 59,21	<u>8,66</u> 8,51	<u>20,54</u> 20,94
XXVI	95	80	0,09	-10	8,43	230	48	<u>59,42</u> 59,30	<u>8,66</u> 8,35	<u>20,54</u> 20,77

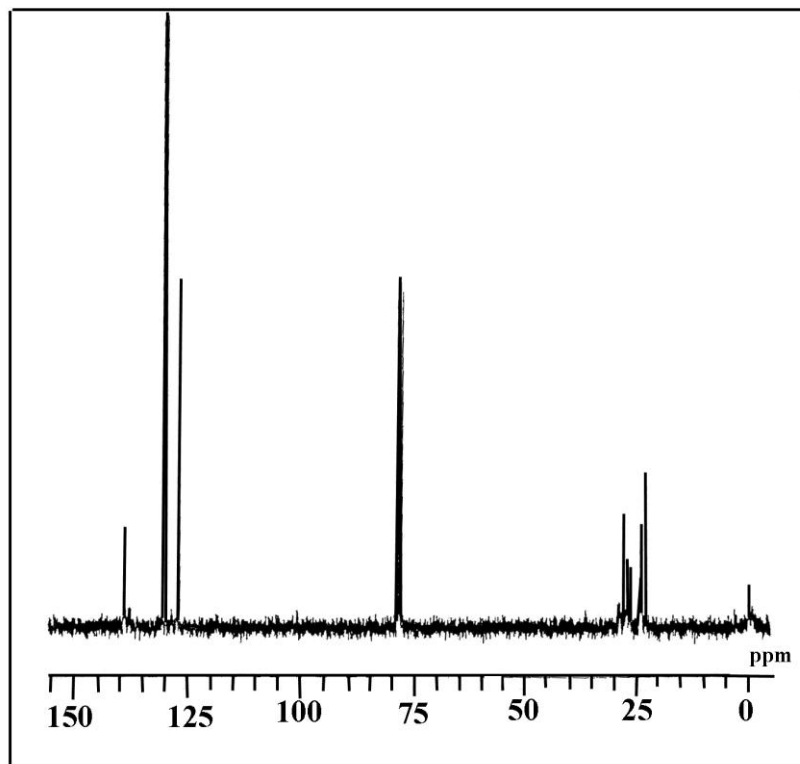
* 25°C ტემპერატურა, 1%-იანი ტოლუოლის ხსნარი. **ხაზს ზევით – გათვლილი მნიშვნელობები, ხაზს ქვევით – ექსპრიმენტული.

XXVI ოლიგომერის ^1H ბმრ სპექტრში აღინიშნება სიგნალი მეთოლის პროტონებისათვის $\delta \approx 0,1$ ვმნ. სპექტრში ასევე აღინიშნება გაფართოებული სიგნალი მეთინის პროტონებისათვის -CH=CH- ფრაგმენტში, ქიმიური წანაცვლებით $\delta \approx 6,1$ და $\delta \approx 5,5$ ვმნ-ში, აგრეთვე მეთილენური ჯგუფის პროტონებისათვის გაფართოებული სიგნალები $1,0-1,97$ ვმნ, ქიმიური წანაცვლების ცენტრით $\delta \approx 1,2$; $\delta \approx 1,5$; $\delta \approx 1,7$ და $\delta \approx 1,9$ ვმნ-ში.



ნახაზი 15. XXVI ოლიგომერის ^1H ბმრ სპექტრი

ამ უბანში ცალ-ცალკე სიგნალების მიკუთვნება გამნელებულია, ვინაიდან ადგილი აქვს რეზონანსული სიგნალების ზედღებას. სპექტრში არსებული სიგნალების ინტეგრალური მრუდების თანაფარდობიდან გამომდინარე, ლიტერატურაში არსებული მონაცემებისაგან განსხვავებით ნაჩვენებია, რომ ჰიდროსილილირება მიმდინარეობს, როგორც 1,4-ასევე 1,2-მიმართულებით. უმეტესად მიმდინარეობს 1,4-მიმართულებით და თანაფარდობა შეადგენს ~1,6:1 (ნახაზი 15). ^1H ბმრ სპექტრში შეიმჩნევა რეაქციაში შეუსვლელი $\equiv\text{Si-H}$ ბმებისათვის შთანთქმის სინგლეტური სიგნალი ქიმიური წანაცვლებით $\delta \approx 4,4$ ვმნ.



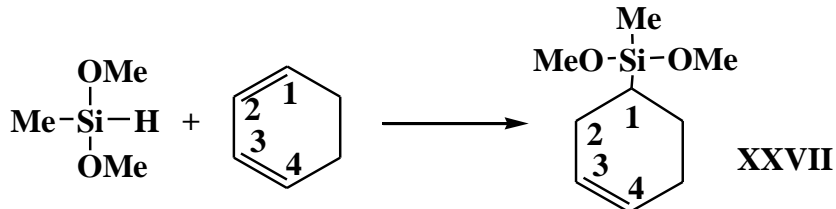
ნახაზი 16. XXVI ოლიგომერის ^{13}C ბმრ სპექტრი

XXVI ოლიგომერის ^{13}C ბმრ სპექტრში 1,4 და 1,2-ჰიდროდული მიერთებისათვის აღინიშნება სიგნალები ქიმიური წანაცვლებით: 1,4-მიერთებისათვის $\delta \approx 129,6$ და $\delta \approx 130,4$ ვმნ-ში და 1,2-მიერთებისათვის $\delta \approx 126,7$ და $\delta \approx 139,9$ ვმნ-ში. შესაბამისად ქიმიური სიგნალები 1,4-მიერთებისათვის აღინიშნება: 23,7(C-1); 29,2(C-5); 27,8(C-4); 130,4 (C-2); 23,7(C-3) და 1,2-მიერთებისათვის 24,1(C-6); 28,8(C-5); 129,6(C-4), 126,7(C-3); 22,8(C-2); 27,0(C-1) ვმნ-ში (ნახაზი 16).

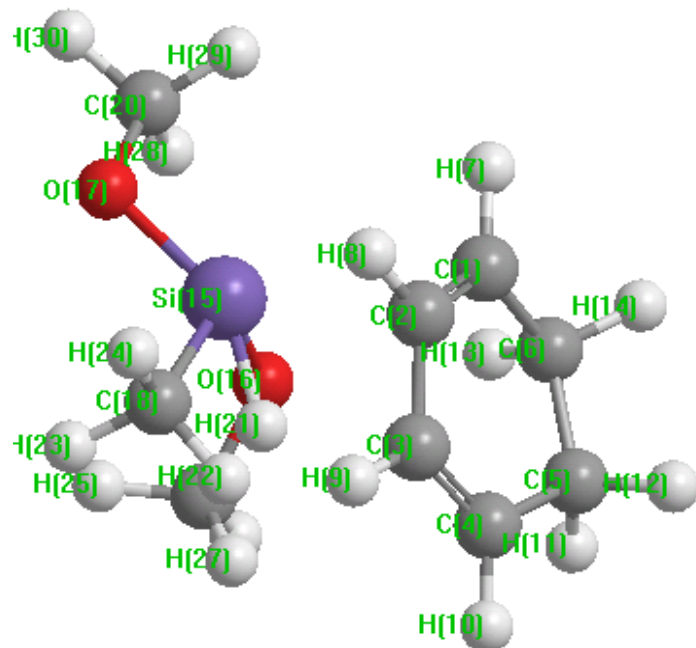
მეთოლჰიდრიდსილოქსანის ციკლოჰექსა-1,3-დიენთან ჰიდრიდული მიერთების რეაქციის სრული დახასიათებისათვის, ნახევრადემპირიული ქვანტურ-ქიმიური მეთოდით AM1 [155], ჩატარებულია თეორიული გათვლები. მოდელურ რეაქციაში მეთოლდიმეთოქსისილანის $[\text{Me}(\text{MeO})_2\text{SiH}]$ ჰიდროსილილირებისას ციკლოჰექსა-1,3-დიენთან, გათვლილია ყველა საწყისი ნივთიერების, შუალედური და საბოლოო პროდუქტისათვის წარმოქმნის სითბოები (ΔH_f), სისტემის ენერგიის ცვლილება (ΔH) $\equiv \text{C-Si} \equiv$ ბმის მანძილის ცვლილებისას ($R_{\text{C-Si}}$), აგრეთვე მუხტების მნიშვნელობები (q_i) ატომებზე.

დიპოლური მომენტი (μ) და ბმის რიგები (Pij). ქვანტურ-ქიმიური გათვლებით მიღებული შედეგები მოცემულია მე-7 და მე-8 ცხრილებში.

ჩვენს მიერ, პირველად განხილულია $[Me(MeO)_2SiH]$ -ის ციკლოჰექსა-1,3-დიენთან პიდროსილილირების მოდელური რეაქცია 1,2-მიეროების მიმართულებით. პიდროსილილირების მოდელური რეაქცია მიმდინარეობს შემდეგი სქემის მიხედვით, XXVII მოდელური ნაერთის წარმოქმნით:



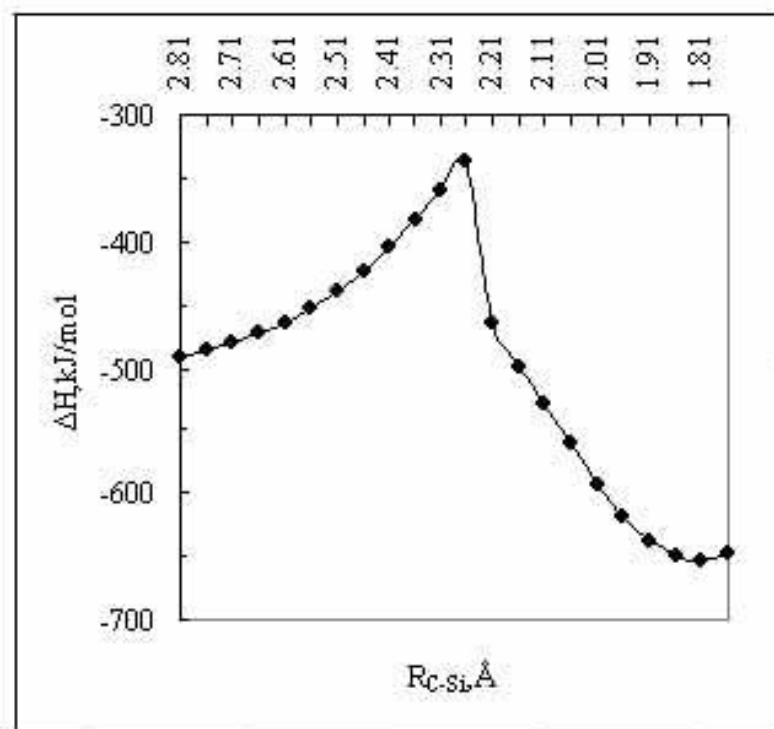
ორმაგ ბმასთან მდგომ ნახშირბადსა (C_1) და სილიციუმის ატომს შორის მანძილი აღებულია $1,0 \text{ \AA}$ -ით მეტი, ვიდრე ბმის მანძილი საბოლოო პროდუქტში. მე-17 ნახშე მოცემულია საწყისი პროდუქტების საწყისი მდგომარეობა და ნუმერაცია მეთილდიმეთოქსილანის ციკლოჰექსა-1,3-დიენთან პიდროსილილირების მოდელურ რეაქციაში:



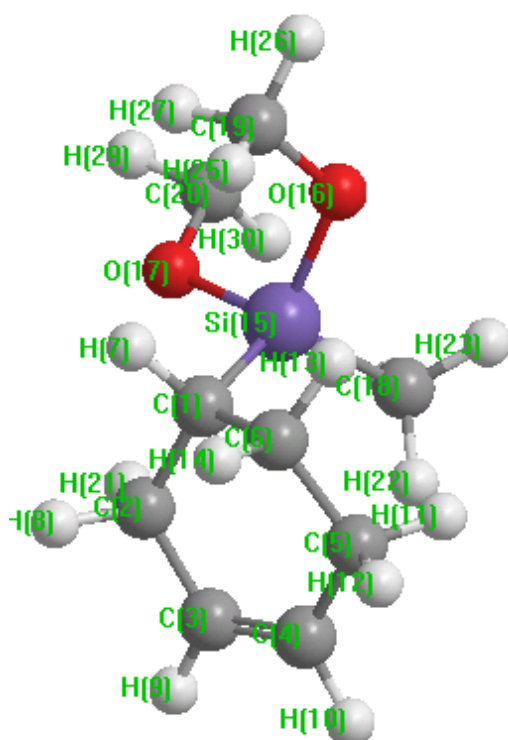
ნახაზი 17. საწყისი პროდუქტების საწყისი მდგომარეობა და ნუმერაცია მეთილდიმეთოქსილანის ციკლოჰექსა-1,3-დიენთან პიდროსილილირების მოდელურ რეაქციაში

მანძილის ცვლილება (R_{C_1-Si}) სილიციუმის ატომსა და ორმაგ ბმასთან მდგომ ნახშირბადის (C_1) ატომს შორის ხდებოდა $0,05 \text{ \AA}$ -ის ინტერვალით. სისტემის ენერგიის ცვლილების (ΔH) დამოკიდებულება მანძილზე (R_{C-Si}) სილიციუმის ატომსა და ორმაგ ბმასთან მდგომ ნახშირბადის ატომს შორის მოცემულია მე-18 ნახაზზე.

მე-18 ნახაზიდან ჩანს, რომ სილიციუმის ატომის მიახლოებისას ნახშირბადის (C_1) ატომთან $R_{C_1-Si}=2.26 \text{ \AA}$ მანძილამდე, სისტემის ენერგია იზრდება, ბმის რიგი C_1 და C_2 ატომებს შორის ციკლოპექსა-1,3-დიენთან მოლეკულაში მცირდება 1.855 -დან 1.648 -მდე. ასევე მცირდება ბმის რიგი სილიციუმის ატომსა და წყალბადს შორის ($R_{Si-H}=0.907$ - 0.739) და მოდელურ ნივთიერებაში შეიმჩნევა ახალი ბმის წარმოქმნა ($P_{C_1-Si}=0.013$ - 0.106 და $P_{C_2-H}=0.001$ - 0.073). სილიციუმის ატომსა და ნახშირბადის (C_1) ატომს შორის 2.21 \AA მანძილზე სისტემის ენერგია მკვეთრად მცირდება, ორმაგი ბმა გადადის ორდინარულ $C-C$ ბმაში ($P_{C_1-C_2}=0.996$) და ბმის რიგი სილიციუმის და ნახშირბადის (C_1) ატომებს შორის აღწევს 0.794 -ს. ამგვარად, წყალბადის ატომი სრულად წყდება სილიციუმის ატომს ($P_{Si-H}=0.0111$) და უერთდება ნახშირბადის ატომს C_2 მდგომარეობაში ($P_{C_2-H}=0.912$). სილიციუმისა და ნახშირბადის (C_1) ატომებს შორის მანძილის შემდგომი შემცირებისას სისტემის ენერგია მცირდება და ხდება წარმოქმნილი ახალი ბმების განმტკიცება. XXVII მოდელური ნაერთის წარმოქმნის სითბო 1,2-მიერთებისას ($\Delta H=-654.04 \text{ \textit{კჯ/მოლი}}$) კარგ თანხვდენაშია გათვლილ წარმოქმნის სითბოსთან ($\Delta H=-653.94 \text{ \textit{კჯ/მოლი}}, \text{ იხილეთ } \text{ცხრილი } 7)$. 1,2-მიერთების აქტივაციის ენერგია $E_{\text{აქ}}=155.16 \text{ \textit{კჯ/მოლი}}$. მე-19 ნახაზზე მოცემულია მეთილდიმეთოქსისილანის ციკლოპექსა-1,3-დიენთან 1-2 მიმართულებით პიდროსილილირების მოდელურ რეაქციაში მიერთების პროდუქტის საბოლოო მდგომარეობა.

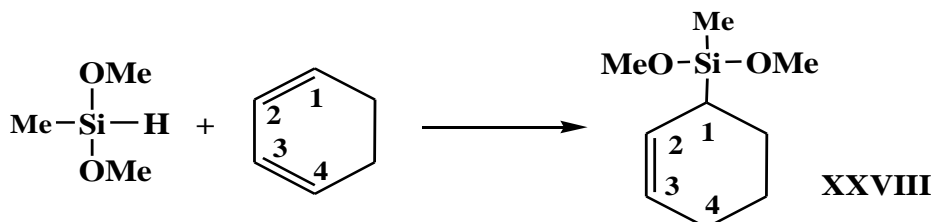


ნახაზი 18. სისტემის ენერგიის ცვლილების დამოკიდებულება (ΔH) სილიციუმის და ნახშირბადის ატომებს შორის მანძილზე (R_{C_1-Si} -ზ), მეთილდიმეთოქსისილანის პიდროსილილირებისას ციკლოპექსა-1,3-დიენთან (1,2-მიერთება)

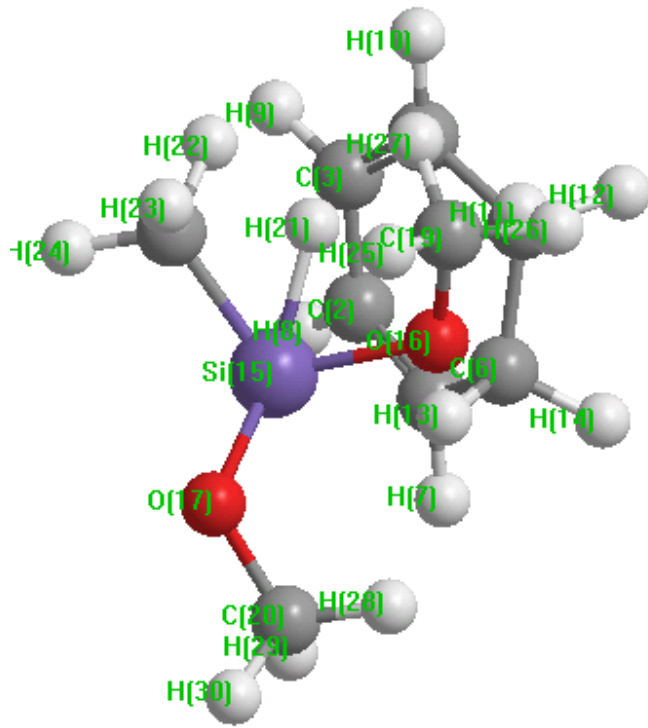


ნახაზი 19. მეთილდიმეთოქსისილანის ციკლოჰექსა-1,3-დიენთან 1-2 მიმართულებით ჰიდროსილილირების მოდელურ რეაქციაში მიერთების პროდუქტის საბოლოო მდგომარეობა

ჩვენს მიერ, აგრეთვე, განხილულია მეთილდიმეთოქსისილანის ციკლოჰექსა-1,3-დიენთან 1-4 მიმართულებით ჰიდროსილილირების მოდელური რეაქცია, რომელიც მიმდინარეობს XXVIII მოდელური ნაერთის წარმოქმნით შემდეგი სქემის მიხედვით:



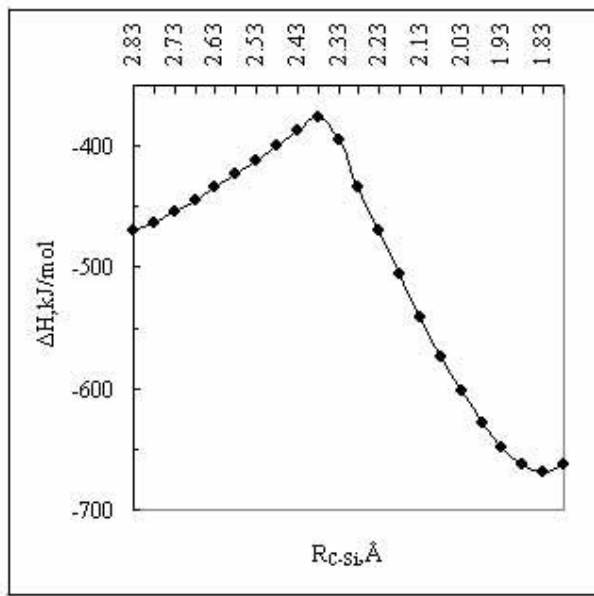
მე-20 ნახაზზე წარმოდგენილია მეთილდიმეთოქსისილანის ციკლოჰექსა-1,3-დიენთან ჰიდროსილილირების მოდელური რეაქცია 1,4-მიერთების მიმართულებით ნივთიერებების საწყისი მდგომარეობა:



ნახაზი 20. მეთილდიმეთოქსისილანის ციკლოპექსა-1,3-დიენთან ჰიდროსილირების მოდელური რეაქცია 1,4-მიერთების მიმართულებით ნივთიერებების საწყისი მდგომარეობა

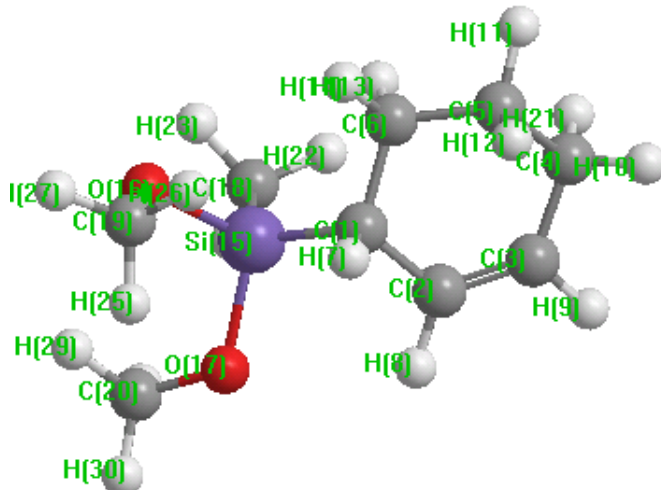
21-ე ნახაზზე მოცემულია სისტემის ენერგიის ცვლილების (ΔH) დამოკიდებულება მანძილზე (R_{C-Si}) სილიციუმის ატომსა და ორმაგ ბმასთან მდგომ ნახშირბადის ატომს შორის. ზემოთ აღნიშნულის მსგავსად მანძილი სილიციუმის ატომსა და ორმაგ ბმასთან დაკავშირებული (C_1) ნახშირბად ატომს შორის აიღებოდა $1,0 \text{ \AA}$ -ით მეტი, ვიდრე ბმის მანძილი საბოლოო პროდუქტში. მანძილის ცვლილება (R_{C_1-Si}) სილიციუმის ატომსა და ორმაგ ბმასთან მდგომ ნახშირბადის (C_1) ატომს შორის ხდებოდა $0,05 \text{ \AA}$ -ის ინტერვალით.

(C_1) ატომთან $R_{C_1-Si}=2,38 \text{ \AA}$ მანძილამდე, სისტემის ენერგია იზრდება, ბმის რიგი C_1-C_2 და C_3-C_4 ატომებს შორის ციკლოპექსა-1,3-დიენის მოლეკულაში შესაბამისად მცირდება 1.829 -დან 1.630 -დან 1.840 -დან 1.627 -მდე. პარალელურად იზრდება ბმის რიგი C_2 და C_3 ($P_{C_2-C_3}=1.063$ - 1.205) ნახშირბად ატომებს შორის და ადგილი აქვს ახალი ბმების წარმოქმნას ($P_{C_1-Si}=0.027$ - 0.185 და $P_{C_4-H}=0.014$ - 0.170). სილიციუმის ატომსა და ნახშირბადის (C_1) ატომს შორის $2,33 \text{ \AA}$ მანძილზე სისტემის ენერგია მკვეთრად მცირდება, ორმაგი ბმა $C_1=C_2$ და $C_3=C_4$ გადადის ორდინალურ $C-C$ ბმაში ($P_{C_1-C_2}=1.065$ და $P_{C_3-C_4}=1.046$) და ბმის რიგი სილიციუმის და ნახშირბადის (C_1) ატომებს შორის აღწევს 0.779 .



ნახაზი 21. სისტემის ენერგიის ცვლილების დამოკიდებულება (ΔH) სილიციუმის და ნახშირბადის ატომებს შორის მანძილზე (R_{C_1-Si} -ზი), მეთილდიმეთოქსისილანის ჰიდროსილილირებისას ციკლოჰექსა-1,3-დიენთან (1,4-მიერთება)

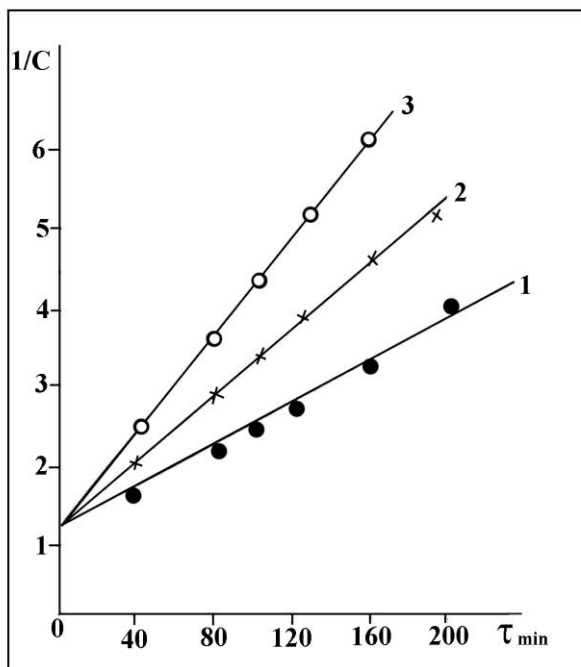
ამგვარად, წყალბადის ატომი სრულად წყდება სილიციუმის ატომს ($P_{Si-H} = 0.011$) და უერთდება ნახშირბადის ატომს C_4 მდგომარეობაში ($P_{C_4-H} = 0.878$). ამავე დროს ადგილი აქვს ორდინალური C_2-C_3 ბმის გარდაქმნას ორმაგ ბმაში, რომელსაც თან ახლავს ბმის რიგის მკვეთრი ცვლილება C_2 და C_3 ნახშირბადის ატომებს შორის ($P_{C_2-C_3} = 1.817$). 22-ე ნახაზზე მოცემულია მეთილდიმეთოქსისილანის ციკლოჰექსა-1,3-დიენთან ჰიდროსილილირების მოდელურ რეაქციაში 1,4-მიერთების პროდუქტის საბოლოო სტრუქტურა.



ნახაზი 22. მეთილდიმეთოქსისილანის ციკლოჰექსა-1,3-დიენთან 1-4 მიმართულებით ჰიდროსილილირების მოდელურ რეაქციაში 1-4 მიერთების პროდუქტის XXVIII საბოლოო სტრუქტურა

მონომერების შემდგომი მიახლოების პროცესში სისტემის ენერგია კვლავ მცირდება ხდება ახლად ჩამოყალიბებული ბმების უფრო განმტკიცება. 1-4 მიმართულებით მიღებული მოდელური პროდუქტის XXVIII წარმოქმნის სითბო ($\Delta H=-656.87 \text{ kJ/mol}$) კარგ თანხვდენაშია წარმოქმნილი სითბოს გათვლილ მნიშვნელობებთან ($\Delta H=-668.33 \text{ kJ/mol}$, იხილეთ ცხრილი 8).

23-ე ნახაზზე მოცემულია კონცენტრაციის შებრუნებული სიდიდის დამოკიდებულება დროზე, საიდანაც ჩანს, რომ მეთილჰიდრიდსილოქსანის ციკლოჰექსა-1,3-დიენთან ჰიდროსილილირების რეაქცია საწყის სტადიებზე მეორე რიგისაა. გათვლილია რეაქციის სიჩქარის მუდმივები სხვადასხვა ტემპერატურაზე ($60-80^\circ\text{C}$): $K_{60}^0 \approx 1,440 \times 10^{-2}$, $K_{70}^0 \approx 2,330 \times 10^{-2}$ და $K_{80}^0 \approx 3,2 \times 10^{-2} \text{ l/mol}\cdot\text{s}$ და ჰიდროსილილირების აქტივაციის ენერგია, რომელიც შესაბამისად ტოლია $E_{\text{act}} \approx 32,3 \text{ kJ/mol}$.



ნახაზი 23. კონცენტრაციის შებრუნებული სიდიდის დამოკიდებულება დროზე მეთილჰიდრიდსილოქსანის ჰიდროდიული მიერთებისას ციკლოჰექსა-1,3-დიენთან, სადაც 1 მრუდი შეესაბამება 60°C , 2 - 70°C და 3 - 80°C

24-ე ნახაზზე მოცემულია მეთილჰიდრიდსილოქსანის ციკლოჰექსა-1,3-დიენთან ჰიდრიდული მიერთებისას რეაქციის სიჩქარის მუდმივას ლოგარითმის დამოკიდებულება ტემპერატურის შებრუნებულ სიდიდესთან, საიდანაც გათვლილია ჰიდროსილილირების რეაქციის აქტივაციის ენერგია, რომელიც შეადგენს $E_{\text{act}} \approx 32.3 \text{ kJ/mol}$.

ცხრილი 7

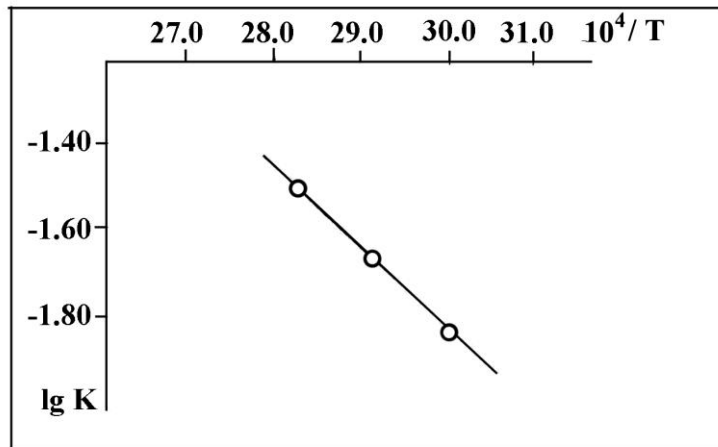
ენერგიის (ΔH) ცვლილების დამოკიდებულება სილიციუმისა და ნახშირბადის ატომებს შორის მანძილზე (R_{C-Si}), ატომებზე მუხტის სიდიდეები (q), დიპოლური მომენტები (μ) და ბმის რიგები (P_{ij}), მეთილდიმეთოქსისილანის ციკლოჰექსა-1,3-დიენთან 1-2 ჰიდრიდული მიერთების მოდელურ რეაქციაში

$R_{1,15}, \text{\AA}$	$\Delta H, \text{ჯ} / \text{მოლი}$	q_1	q_2	q_{15}	q_{21}	μ	P_{12}	$P_{1,15}$	$P_{15,21}$	$P_{2,21}$
2.81	-491.11	-.1862	-.1263	1.3613	-.2266	1.214	1.855	.013	.907	.001
2.76	-485.86	-.1776	-.1401	1.3738	-.2337	1.550	1.846	.020	.897	.003
2.71	-480.11	-.1860	-.1351	1.3746	-.2327	1.457	1.843	.023	.895	.004
2.66	-472.91	-.1966	-.1282	1.3755	-.2329	1.376	1.840	.027	.893	.005
2.61	-463.94	-.2099	-.1192	1.3770	-.2335	1.296	1.835	.031	.890	.006
2.56	-452.89	-.2261	-.1079	1.3793	-.2346	1.222	1.829	.035	.886	.008
2.51	-439.50	-.2457	-.0939	1.3829	-.2365	1.161	1.821	.041	.881	.011
2.46	-423.54	-.2702	-.0762	1.3888	-.2398	1.116	1.810	.047	.873	.015
2.41	-404.91	-.3011	-.0536	1.3984	-.2453	1.108	1.794	.056	.860	.020
2.36	-383.71	-.3438	-.0221	1.4143	-.2545	1.143	1.766	.068	.839	.030
2.31	-360.45	-.3979	.0187	1.4440	-.2714	1.302	1.723	.084	.802	.045
2.26	-335.94	-.4660	.0708	1.4943	-.2962	1.474	1.648	.106	.739	.073
2.21	-464.87	-.3891	-.0820	1.3615	-.0006	1.413	.996	.794	.011	.912
2.16	-498.63	-.3997	-.0869	1.3734	.0125	1.471	.993	.799	.009	.921
2.11	-530.82	-.4119	-.0907	1.3865	.0242	1.516	.991	.802	.008	.928
2.06	-560.93	-.4258	-.0938	1.4015	.0347	1.567	.990	.805	.006	.934
2.01	-594.18	-.4030	-.1208	1.3951	.0858	.472	.987	.847	.006	.939
1.96	-618.28	-.4236	-.1180	1.4164	.0879	.480	.985	.845	.005	.943
1.91	-637.40	-.4456	-.1152	1.4387	.0897	.504	.984	.842	.004	.947
1.86	-649.96	-.4688	-.1124	1.4621	.0917	.557	.983	.838	.003	.951
1.81	-653.95	-.4936	-.1087	1.4860	.0930	.647	.982	.835	.003	.954
1.76	-646.89	-.5198	-.1039	1.5104	.0936	.771	.980	.830	.002	.957

ცხრილი 8

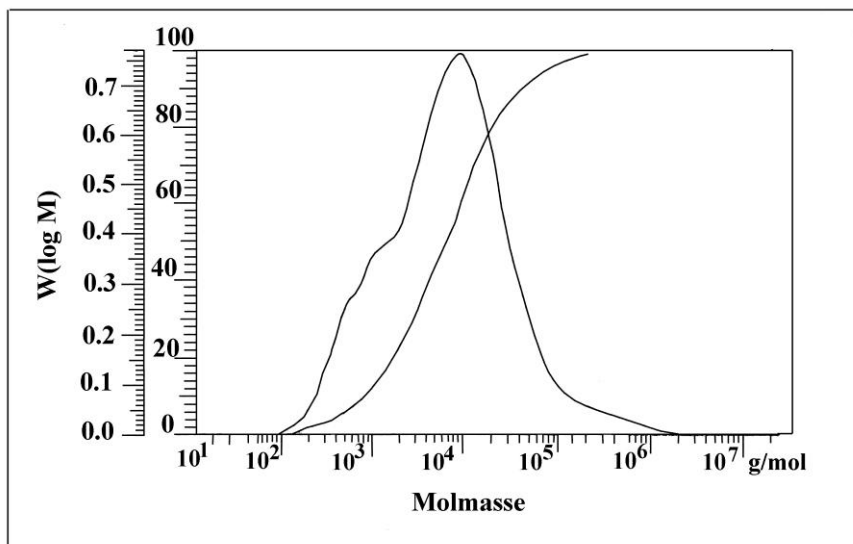
ენერგიის (ΔH) ცვლილების დამოკიდებულება სილიციუმისა და ნახშირბადის ატომებს შორის მანძილზე (R_{C-Si}), ატომებზე მუხსის სიდიდეები (q), დიპოლური მომენტები (μ) და ბმის რიგები (P_{ij}), მეთილდიმეთოქსისილანის ციკლოჰექსა-1,3-დიენთან 1-4 პიდრიდული მიერთების მოდელურ რეაქციაში

$R_{1,15}, \text{Å}$	$\Delta H,$ კკ/მოლი	q_1	q_4	q_{15}	q_{21}	μ	P_{12}	P_{23}	P_{34}	$P_{1,15}$	$P_{4,21}$
2.83	-469.79	-.1726	-.1349	1.3299	-.1804	1.760	1.829	1.063	1.840	.027	.014
2.78	-463.01	-.1758	-.1321	1.3233	-.1783	1.749	1.823	1.066	1.835	.032	.017
2.73	-454.27	-.1806	-.1274	1.3196	-.1756	1.648	1.815	1.070	1.827	.038	.022
2.68	-444.82	-.1862	-.1218	1.3157	-.1728	1.543	1.804	1.076	1.818	.046	.028
2.63	-434.63	-.1928	-.1151	1.3118	-.1699	1.433	1.791	1.084	1.805	.055	.037
2.58	-423.72	-.2002	-.1070	1.3079	-.1669	1.316	1.776	1.094	1.788	.068	.048
2.53	-412.15	-.2092	-.0974	1.3045	-.1636	1.206	1.755	1.107	1.767	.084	.064
2.48	-400.10	-.2191	-.0863	1.3017	-.1598	1.147	1.728	1.127	1.737	.105	.086
2.43	-387.98	-.2306	-.0730	1.3001	-.1552	1.129	1.689	1.156	1.694	.136	.118
2.38	-376.64	-.2443	-.0565	1.3007	-.1489	1.179	1.630	1.205	1.627	.185	.170
2.33	-394.47	-.2928	-.1072	1.2904	.0107	.755	1.065	1.817	1.046	.779	.878
2.28	-433.89	-.3027	-.1185	1.2977	.0327	.701	1.041	1.851	1.024	.809	.914
2.23	-470.50	-.3155	-.1215	1.3152	.0420	.672	1.034	1.861	1.019	.814	.921
2.18	-505.96	-.3295	-.1244	1.3339	.0507	.651	1.027	1.871	1.014	.819	.927
2.13	-541.80	-.3433	-.1265	1.3533	.0572	.692	1.015	1.887	1.010	.829	.933
2.08	-573.63	-.3598	-.1284	1.3733	.0639	.664	1.011	1.893	1.007	.830	.938
2.03	-602.61	-.3777	-.1299	1.3939	.0700	.633	1.008	1.898	1.004	.831	.942
1.98	-627.88	-.3968	-.1309	1.4154	.0752	.619	1.005	1.903	1.002	.830	.945
1.93	-648.31	-.4173	-.1312	1.4377	.0794	.626	1.002	1.908	1.000	.828	.949
1.88	-662.43	-.4391	-.1308	1.4605	.0827	.658	1.000	1.912	.998	.826	.952
1.83	-668.33	-.4621	-.1297	1.4839	.0851	.722	.997	1.915	.997	.823	.955
1.76	-662.17	-.4966	-.1277	1.5177	.0866	.872	.994	1.919	.996	.818	.957



ნახაზი 24. მეთილჰიდრიდსილოქსანის ციკლოჰექსა-1,3-დიენთან ჰიდრიდული მიერთებისას რეაქციის სიჩქარის მუდმივას ლოგარითმის დამოკიდებულება ტემპერატურის შებრუნვებულ სიდიდესთან

ჩატარებულია XXVI ოლიგომერის გელ-შეღწევადი ქრომატოგრაფიული გამოკვლევა და ნაჩვენებია, რომ მას გააჩნია მონომოდალური მოლეკულურ-მასური განაწილება. საშუალო მოლეკულური მასა შეადგენს 48×10^3 . სრული ჰიდროსილილირებ ის დროს ოლიგომერის მოლეკულური მასის მნიშვნელობა არ უნდა აღემატებოდეს $4,3 \times 10^3$. მიღებული XXVI ოლიგომერის გაზრდილი მოლეკულური მასა მიუთითებს იმაზე, რომ ჰიდროსილილირება მიმდინარეობს მოლეკულარურისი გზით განტოტვილი სისტემების წარმოქმნით. ამდენად, მიღება სხვადასხვა რგოლიანი ოლიგომერები (ნახაზი 25).



ნახაზი 25. XXVI ოლიგომერის გელ-შეღწევადი ქრომატოგრაფიული მრუდი

ოლიგომერებისათვის ჩატარებულია ფართოკუთხოვანი რენტგენოგრაფიული გამოკვლევები და ნაჩვენებია, რომ ისინი წარმოადგენენ ამორფულ ერთფაზიან სისტემებს ჯაჭვთაშორისი მნიშვნელობით $d_l = 8,43 \text{ \AA}$. როგორც მე-6 ცხრილიდან ჩანს, ოლიგომერების გამინების ტემპერატურა დამოკიდებულია ციკლოჰექსენილის ჯგუფების რაოდენობაზე გვერდით ჯაჭვში და იცვლება $-14^\circ\text{C} \div -10^\circ\text{C}$ ტემპერატურულ ინტერვალში. დასინთეზებული ოლიგომერების გაზრდილი გამინების ტემპე-

რატურა პოლიდიმეთილსილოქსანთან შედარებით აიხსნება ციკლოპექსენილის ფრაგმენტების არსებობით და დასინთეზებული ოლიგომერების ნაწილობრივი განტოტვით.

თერმოგრავიმეტრიული გამოკვლევებით დადგენილია, რომ ოლიგომერებისათვის 5% მასის დანაკარგი შეიმჩნევა 230°C ტემპერატურაზე. ტემპერატურის გაზრდასთან ერთად მასის დანაკარგი იზრდება და 750°C ზევით მასის დანაკარგს ადგილი არ აქვს. ამდენად, ციკლოპექსენილის ჯგუფების შეყვანით მეთილსილოქსანურ ჯაჭვში ოლიგომერების თერმოუანგვითი სტაბილურობა იზრდება დიმეთილსილოქსანურ პოლიმერებთან შედარებით, ვინაიდან არაბლოკირებული დიმეთილსილოქსანური პოლიმერები 300°C -ზე სრულ დესტრუქციას განიცდის.

ამდენად, ჩვენს მიერ, პირველად შესწავლილია მეთილპიდრიდსილოქსანების პიდრიდული მიერთების რეაქციები ციკლოპექსა-1,3-დიენთან პლატინაქლორწყალბადმჟავას $0,1\text{M}$ ხსნარის (ტეტრაჰიდროფურანში) თანაობისას და დასინთეზებულია განტოტვილი აღნაგობის ოლიგომერები. დასინთეზებული ოლიგომერები წარმოადგენს საინტერესო სისტემებს, ვინაიდან შეიცავენ რა უჯერ ციკლოპექსენილის ფრაგმენტებს და პლატინის კატალიზატორს გაცხელებით განიცდიან სტრუქტურების რეაქციებს, რაც მათ საინტერესოს ხდის პრაქტიკაში დასანერგად.

2.6. პოლიმერული კომპოზიციები ნორბორნენის და ზოგიერთი სხვა ფუნქციური ჯგუფების შემცველი პოლიორგანოსილოქსანების საფუძველზე

დასინთეზული პოლიმერების საფუძველზე ჩავატარეთ ტექნოლოგიური სამუშაოები პოლიმერული კომპოზიციების მისაღებად [158-160]. მიღებული იყო ორკომპონენტიანი სისტემები (პოლიმერი-შემავსებელი). შემავსებლად შერჩეული გვქონდა ნახშირბად-გრაფიტოვანი მასალები, კერძოდ, ე.წ. დაბალსტრუქტურიანი (მარკა П 803-მარცვლების საშუალო დიამეტრი 1400 ნმ) და მაღალსტრუქტურიანი (მარკა П 357Э მარცვლების საშუალო დიამეტრი 300 ნმ) ტექნიკური ნახშირბადის ნაირსახეობები. პირველი მათგანი ხასიათდება შედარებით დაბალი ელექტროგამტარობით, ვიდრე მეორე. გრაფიტოვან შემავსებლად აღებული იყო თერმიულად გაფართოებული გრაფიტი [161-163], რომელიც გამორჩეულია მაღალი დისპერსიულობით და ფორმოვნებით (მარცვლების საშუალო დიამეტრი 200 ნმ).

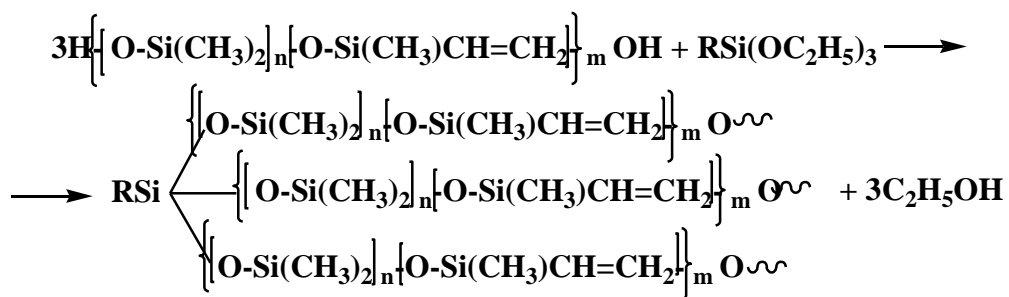
ჩვენს მიერ დასინთეზული სილიციუმორგანული ნივთიერებების გარდა პოლიმერული კომპოზიციების მისაღებად გამოყენებული გვქონდა სამრეწველო პროდუქტები: პოლიდიმეთილვინილმეთილსილოქსანი (მარკა СКТВ), მოლეკულური მასით 400 000-700 000, ГОСТ 10656-66-ის მიხედვით, სადაც ვინილისა და მეთილის ჯგუფების რაოდენობათა შეფარდება მაკრომოლეკულისათვის შეადგენდა 1:(500-1000), რაც ტოლფასია ვინილის ჯგუფის დაახლოებით 0,09-0,2%.

კომპოზიციები მიღებულია ოთხი სხვადასხვა ტიპის ვულკანიზაციის გამოყენებით.

1. ადიციური ვულკანიზაცია. ამ ტიპის ვულკანიზაცია მდგომარეობს პოლიკონდენსაციური პროცესის წარმართვაში ელასტომერის მაკრომოლეკულებისა და სავულკანიზაციო აგენტის მონაწილეობით.

აღნიშნული მეთოდის მიხედვით შემკვრავი აგენტის მოლეკულები, რომლებიც მონაწილეობენ მაკრომოლეკულების შეკერვის რეაქციებში, ვულკანიზაციური ბადის შემადგენელ ნაწილებად გადაიქცევიან.

ადიციური ვულკანიზაციის სქემა პოლიდიმეთილვინილმეთილსილოქსანის ვულკანიზაციის დროს გამამყარებელის - დიეთილამინომეთილტრიეთოქსისილანის* შემთხვევაში შეიძლება გამოისახოს შემდეგნაირად:



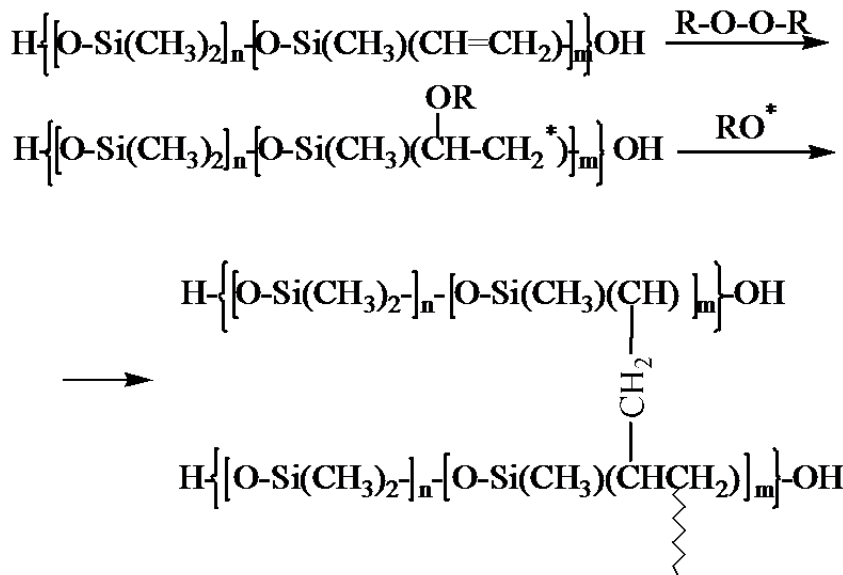
სადაც: $R=(C_2H_5)_2NCH_2-$, $\begin{array}{c} Ph_2Si-O-Me \\ | \\ O \\ | \\ Si-C_2H_4- \\ | \\ Ph_2Si-O \end{array}$

*გამამყარებელი მიღებულია ჩვენს მიერ, დასინთეზული 1-მეთილ-1-ჰიდრო-3,3,5,5-ტეტრაფენილციკლოტრისილოქსანის პიდრიდული მიერთებით ვინილგრიეთოქსისილანთან კატალიზატორის – პლატინაქლორწყალბადმუავას 0.1 M ხსნარის (ტეტრაჰიდროფურანში) თანაობისას [164].

ადიციური ვულკანიზაციის გზით რეზინის მიღება ითვალისწინებს შემდეგ სტადიებს:

- ინგრედიენტების აწონვა მოცემული რეცეპტურით;
- ნარევის დამუშავება (პლასტიფიკაცია) ლაბორატორიულ ვალცებზე;
- ვალცირებული მასის ვალცებიდან მოხსნა ფურცლების სახით;
- მიღებული ფურცლების გადატანა ცელოფანის აფსკებზე და ჰაერზე 24 საათის განმავლობაში შენახვა ოთახის ტემპერატურაზე;
- ნიმუშების თერმოდამუშავება 100°C - 2 საათის, 150°C - 2 საათისა და 200°C - 6 საათის განმავლობაში.

2. პეროქსიდური ვულკანიზაცია [162] მაკრომოლეგულებს შორის გარდობარდმო კაგშირების წარმოქმნა მიმდინარეობს შემდეგი სქემით:



სადაც R-O-O-R გამოსახავს პეროქსიდის მოლებულას.

თუმცა ჩვენ არ გამოვრიცხავთ ვულკანიზაციის რეაქციების მიმდინარეობას სხვა მიმართულებითაც. პეროქსიდად ადგებული იყო დიკუმილის პეროქსიდი ან პეროქსიმონი (ბისმესამეულიბუთილპეროქსიდი ნოპროპილბენზოლი).

3. რადიაციული ვულკანიზაცია.

ამ შემთხვევაში მაკრომოლეგულების გაკერვა მიმდინარეობს რადიაციის ზემოქმედებით (γ -გამოსხივება), რომლის დროსაც ადგილი აქვს სუსტი ქიმიური ბმების გაწყვეტას, რის შედეგადაც წარმოიქმნება რადიკალები, ან იონ-რადიკალები ბმების გაწყვეტის პომო-, ან პეტეროლიტური რეაქციების შედეგად. აქტიური ნაწილაკები ერთვებიან რადიკალების რეკომბინაციის ან დისპროპრციონირების მეორად რეაქციებში, რასაც თან მოსდევს გარდიგარდმო ბმების ან სხვა მოლებულური პროდუქტების წარმოქმნა [165].

ჩვენს მიერ ჩატარებული იყო პოლიდიმეთილვინილმეთილსილოქსანის (CKTB) რადიაციული ვულკანიზაცია, რომელიც მიმდინარეობს ვინილის ჯგუფის აქტივაციის შედეგად – ბმის გაწყვეტით და თავისუფალი რადიკალების წარმოქმნით. ეს რადიკალები მონაწილეობენ შეკერვის რეაქციაში. გამოსხივების დოზა შერჩეული იყო [165]-ში მოცემული რეკომენდაციით.

4. პოლიმერიზაციული შეესება.

როგორც სახელწოდებიდან ჩანს, ამ მეთოდის მიხედვით პოლიმერიზაცია მიმდინარეობს შემავსებლის თანდასწრებით. ამ შემთხვევაში მიიღწევა შემავსებლის

ზედმიწევნით კარგი ერთგვაროვანი განაწილება პოლიმერის მატრიცაში, რაც კომპოზიური მასალებისადმი ერთ-ერთი ძირითადი მოთხოვნაა.

პოლიმერიზაციული შევსების მეთოდი გამოყენებული იყო ზოგიერთი ციკლოსილოქსანური მონომერებისა და მოდიფიცირებული ტექნიკური ნახშირბადისათვის [161]. ამ მეთოდით მიღებული გვქონდა კომპოზიციები, რომლებიც გამოირჩეოდნენ მაღალი ფიზიკურ-მექანიკური და ელექტროგამტარი თვისებებით.

ჩვენ ერთ-ერთ ამოცანად დავისახეთ გაგვირკვია, როგორ ზეგავლენას ახდენს ზემოხამოთვლილი მეთოდები სილიციუმორგანული ელასტომერების საფუძველზე მიღებული კომპოზიციების ზოგიერთ ფიზიკურ თვისებებზე, გამომდინარე იქნებან, რომ ვულკანიზაციის პირობები და მეთოდები მნიშვნელოვან ზეგავლენას ახდენენ რეზინების სტრუქტურასა და თვისებებზე [160, 162]. ნაჩვენები იყო [163], რომ პეროქსიდური ვულკანიზაციით მიღებული რეზინები გამოირჩევიან უფრო მაღალი მოცულობითი კუთრი ელექტროწინადობით ρ_v , ვიდრე რეზინები, რომლებიც მიიღებიან ადიციური ვულკანიზაციით. გამოთქმული იყო აზრი იმის შესახებ, რომ ეს განსხვავება ρ_v -ს სიდიდეებს შორის გამოწვეული იყო ტექნიკური ნახშირბადის დაფანგით პეროქსიდების ზეგავლენით. მაგრამ ასეთი ასენა არ იქნება სრული, თუ არ გავითვალისწინებოთ ვულკანიზატების აღნაგობას, რომლებიც სხვადასხვა გზით მიიღება. მაგალითად, ნაჩვენები იყო [165], რომ რადიაციული შეკერვის შედეგად (დოზა 60 კგრ) მიღებული ვულკანიზატის წინაღობა 5-ჯერ იზრდებოდა სხვა მეთოდებით მიღებული იგივე რეზინების ρ -თან შედარებით.

ჩვენს მიერ ჩატარებულია იყო გამოკვლევა CKTB მარკის პოლიდიმეთილვინილმეთილსილოქსანზე, რომელიც შევსებული იყო ნახშირბად-გრაფიტოვანი მასალებით. ვულკანიზაცია განხორციელებულია ყველა ზემოთ ჩამოთვლილი მეთოდით. მიღებული პროდუქტების ზოგიერთი ფიზიკურ-მექანიკური პარამეტრები და ელექტროგამტარობის სიდიდეები მოვყანილია მე-9 ცხრილში.

ცხრილის მონაცემების ანალიზი შესაძლებელს ხდის გამოვთქვათ შემდეგი მოსაზრებანი:

1. ვულკანიზაციის პირობები არსებით გავლენას ახდენენ ელექტროგამტარი სილიციუმორგანული რეზინების თვისებებზე, რაც ძირითადად იწვევს ვულკანიზაციის დროს კომპოზიციებში სტრუქტურის წარმოქმნის თვისების შეცვლას. მასალების თვისებების ფორმირებაში მნიშვნელოვანი წვლილი შეაქვთ არამარტო სასაზღვრო ფენაში ურთიერთქმედებებს, ასევე დიფუზიურ პროცესებს. აქ მხედველობაში მიიღება როგორც მიკროდიფუზია (მაკრომოლეკულების ბოლო კიდურა ჯგუფების სეგმენტების დიფუზია), ასევე მაკროდიფუზია (პოლიმერულ მატრიცაში შემავსებლის ნაწილაკების დიფუზია) კრაუსის [161], ლიპაროვის [166] და სხვა ჰეტეროგენული პოლიმერული სისტემების მკვლევარი წამყვანი მეცნიერების წარმოდგენათა შესაბამისად.

2. პოლიმერულ მატრიცებში შემავსებლის მოცემული კონცენტრაციისას მაქსიმალური ელექტროგამტარობა უზრუნველყოფილი იქნება, თუ:

ა) მაკრომოლეკულები აბრკოლებენ შემავსებლის ნაწილაკების დისპერგაციას ნაწილაკების მათ ზედაპირთან ურთიერთქმედების მიზეზით და ხელს უწყობენ ვალცებზე რეზინული ნარევების პლასტიფიკაციის დროს ტექნიკური ნახშირის ნაწილაკების დისპერგირებას მინიმალურ ზომამდე;

ბ) შემავსებლის ნაწილაკები ფლობენ გამტარი არხების წარმოქმნისათვის საქმარის “შემავსებელი-შემავსებელი” ტიპის ურთიერთქმედების ენერგიას.

3. ადიციური ვულკანიზაციის პროცესში ხორციელდება მაკრომოლეკულების შეკერვა კიდურა ჯგუფებით მაკრომოლეკულური სეგმენტების დიფუზიური პარამეტრების შენარჩუნებით, რასაც ახლავს თანმიმდევრობითი წარმოქმნა შედა-

რებით მოძრავი სიგრცითი ბადისა, ე.ი. შედარებით დაბალი სიბლანტის მქონე დამაკავშირებელი გარემოსი, რაც განაპირობებს შემაგსებლის მაკროდიფუზიას. ამით გამოწვეულია ის, რომ ადიციური ვულკანიზაციით მიღებულ ვულკანიზატორებში შემაგსებლის ნაწილაკები, პეროქსიდური ვულკანიზაციით მიღებულ ვულკანიზატორებთან შედარებით, წარმოქმნიან ინტენსიურ ელექტროგამტარ ბადეს.

კვლევამ გვიჩვენა, რომ პეროქსიდებით ინიცირებულ ვულკანიზაციას მივყავართ მაკრომოლეკულებს შორის ნაკერების წარმოქმნის უფრო განვითარებულ სისტემამდე. ამგვარად, პეროქსიდური ვულკანიზაციისას, სხვა დანარჩენი პირობების დროს დამაკავშირებელი გარემო გაცილებით მტკიცეა, ვიდრე ადიციური ვულკანიზაციისას. ამიტომ პეროქსიდურ ვულკანიზატებში დიფუზიური პროცესები მეტისმეტად მცირდებიან.

4. რადიაციული ვულკანიზაცია შემაგსებლის და მაკრორადიკალების ზედაპირზე მიმდინარეობს უფრო დრმად აქტიური ჯგუფების ფართო მონაწილეობით [167]. ასეთი ბმები ამცირებენ ტექნიკური ნახშირის ნაწილაკთა შიგნით კოჰეზიურ ძალებს, რასაც მივყავართ მათ დისპერგაციასთან. ეს პროცესი ხელს უწყობს სათადარიგო გამტარი ხიდების წარმოქმნას, და შესაბამისად, ვულკანიზატის გამტარობის გაუმჯობესებას.

5. გაცილებით მაღალი გამტარობა ახასიათებთ ვულკანიზატებს, რომლებიც მიღებული არიან პოლიმერიზაციულად შევსებული CKTB ბაზაზე [168]. ეს ფაქტი აისხება შემაგსებლის ნაწილაკების გაჯერებული დისპერგირებით პოლიმერულ მატრიცაში, რომელიც პოლიმერიზაციის დაწყებამდე წარმოადგენს არეს მაღალი დიფუზიური მახასიათებლებით. პოლიმერიზაციული შევსების დროს შემაგსებლის დისპერგაცია დაყვანილია მინიმუმამდე, რაც ხელს უწყობს ელექტროგამტარი არხებისათვის “სამშენებლო“ მასალების მაქსიმალურ გამოყენებას და გამტარი კვანძის განშტოების ხარისხის გაზრდას. ამიტომ პოლიმერიზაციული შევსებით მიღებული რეზინების მაღალი ელექტროგამტარი თვისებები მიიღწევა შემაგსებლის შედარებით დაბალი კონცენტრაციების დროს. რეზინებში გამტარი სისტემების წარმოქმნის დროს გამხსნელის ნაწილაკების გაძლიერებული მონაწილეობა არის მიზეზი მოცემულ მასალებში დენადობის ზღვარის დაბალი მნიშვნელობებისა.

კარგი ეფექტი მიიღება CKTB-ს პოლიმერიზაციული შევსებისას თერმიულად გახლებილი გრაფიტის ძაფისებრი ნაწილაკებით, რომლებიც ელასტომერის მატრიცაში შემაგსებლის გამტარ ელემენტებს შორის წარმოქმნიან სტრუქტურებს ლრების მინიმალური რაოდენობით და უზრუნველყოფენ ელექტროგამტარი არხების ეფექტური სიგრძის გაზრდას. გარდა ამისა, რეზინის პოლიმერიზაციული შევსებისას თერმიულად გახლებილი გრაფიტი თანაბრად ნაწილდება ელასტომერის მატრიცაში.

6. გამოკვლეული სისტემების ფიზიკურ-მექანიკური თვისებები კარგად ემთხვევა ცნობილ მდგრმარეობებს ნახშირ-გრაფიტოვანი მასალების ელასტომერების გაძლიერების შესახებ [161]. გამოკვლეული სისტემების გამდლებითი თვისებები უმჯობესდება რეზინის ნარევის პლასტიკაციის დროს შემაგსებლის დისპერგირების ხარისხის და ვულკანიზაციური ბადის სიმკვრივის გაზრდისას. სხვადასხვა მეთოდით მიღებულ ვულკანიზატებში მოცემული ფაქტორების გავლენა მჭდარნდება სხვადასხვაგვარად. კერძოდ, ერთი ფაქტორის მიზეზით გამოწვეული გამდლებითი თვისებების გაძლიერება მოცემულ კომპოზიციაში სუსტდება სხვა ფაქტორის მოქმედებით და პირიქით. ამიტომ, ხშირად სხვადასხვა კომპოზიციების ფიზიკურ-მექანიკური მახასიათებლების შედარებისას შესადარებელი პარამეტრების მნიშვნელობები აღმოჩნდებიან დახლოებული. ამდენად, ადიციური და პეროქსიდური ვულკანიზაციებით მიღებული ერთი შედგენილობის რეზინების (შემაგსებელი –

ტექნიკური ნახშირი П357Э მარკის) გამძლეობით თვისებებს შორის განსხვავება გაცილებით მცირეა, ვიდრე განსხვავება (მეორე რიგამდე) მათ გამტარობებს შორის. უნდა გავითვალისწინოთ, რომ CKTB-ს პეროქსიდურ ვულკანიზაციის გარდი-გარდმო კონცენტრაცია გაცილებით მაღალია, ვიდრე ადიციური ვულკანიზაციის შემთხვევაში.

ცნობილია [169], რომ შევსებულ ელასტომერში გარდი-გარდმო ნაკერების სიმკვრივის გაზრდა აუარესებს შემავსებლის განაწილების პომოგენურობას და, შესაბამისად, ამცირებს კომპოზიციური მასალის ელექტროგამტარობას.

განსაკუთრებული ადგილი უჭირავთ პოლიმერიზაციული შევსების მეთოდით მიღებულ კომპოზიციებს. ამ მასალების მაღალი ფიზიკურ-მექანიკური მახასიათებლები მიიღწევა შემავსებლის შედარებით დაბალი შემცველობისას.

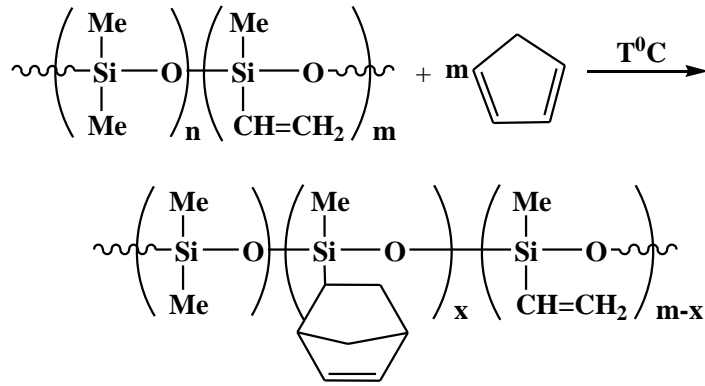
მაშასადამე, CKTB-ს ბაზაზე მიღებული რეზინების ელექტროგამტარი და ფიზიკურ-მექანიკური თვისებები დამოკიდებულია კომპოზიციის მიღების მეთოდზე (მექანიკური შერევა ან მონომერის პოლიმერიზაცია შემავსებლის ზედაპირზე) და ვულკანიზაციის პირობებზე, რომლებიც განაპირობებენ მოლეკულათა შორისი ბმების ტიპებს და ელექტროგამტარ კვანძში შემავსებლის ნაწილაკების ჩართვის ხარისხს.

ტექნიკური თვალსაზრისით, ჩვენს მიერ მიღებული რეზინის კომპოზიციები მთელი რიგი დადებითი თვისებების მიუხედავად ხასიათდება ზოგიერთი ნაკლოვანებით. ასე მაგალითად, ადიციური ვულკანიზაციით რეზინის მიღების მეთოდი ხასიათდება რეზინის ნარევის მცირე ხანძღვებით, შედარებით დაბალი სიმტკიცით და ტოლუოლის გამოყენების აუცილებლობით, რაც მეტად არატექნოლოგიურია.

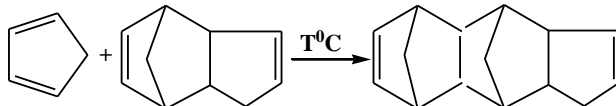
ერთ-ერთ ამოცანად დასახული გვქონდა აღნიშნული ნაკლის თავიდან აცილება. შესადარებელ ობიექტებად აღებული გვქონდა რეზინები, რომლებიც ჩვენს მიერ იქნა მიღებული. ვინაიდან ცნობილია, რომ -Me₂SiO- ფრაგმენტისაგან განსხვებული ახალი ნებისმიერი ფრაგმენტის შეტანა დიმეთილსილოქსანურ ჯაჭვში გამოიწვევდა ახალი თვისებების მქონე ოლიგომერების მიღებას, ამიტომ ჩვენ გადავწყვიტეთ ვინილის ჯგუფი შეგვევალა უფრო რეაქციისუნარიანი უჯერი ბმების შემცველი ჯგუფებით, რომლის ხარჯზეც შესაძლებელი იქნებოდა მაღალ-ტემპერატურული გაკერვის რეაქციების წარმართვაც.

რამდენადაც CKTB-ში არსებული ვინილური ჯგუფები არც თუ ისე დიდი რეაქციისუნარიანობით ხასიათდებიან, ამიტომ გადავწყვიტეთ მისი მოდიფიცირება, ანუ მისი შეცვლა ნორბორნენის ჯგუფებით. ამისათვის გამოყენებული იქნა დილსალდერის რეაქცია, მზა ელასტომერზე.

ვინაიდან ცნობილია [160], რომ 170-200°C ფარგლებში ადგილი აქვს ტრიციკლოდეკადიენის დაშლას ციკლოპენტადიენად, რის შემდეგაც ციკლოპენტადიენი მოქმედებს ეთილენთან ან ა-ჩანაცვლებულ ეთილენთან და მიიღება ნორბორნენის ჯგუფის შემცველი ნაერთი 96% გამოსავლიანობით, შემდეგი სქემის მიხედვით:



მოდიფიცირების რეაქციის ჩასატარებლად ვიღებდით ვინილის ჯგუფების შემცველ პოლიმერს და ჭარბად ვამატებდით ციკლოპენტადიენს აბსოლუტური ტოლუოლის ხენარში, მორეაგირე კომპონენტებს ვაღუდებდით 24 საათის განმავლობაში. უნდა აღინიშნოს, რომ ამ დროს იმის თქმა, რომ ყველა ვინილის ჯგუფი შევიდა რეაქციაში გაძნელებულია, ვინაიდან ბირთვული მაგნიტური რეზონანსის სპექტრში ნორბორნენის -CH=CH- ბმის დამახასიათებელი სიგნალები (მულტიპლეტი ცენტრით ძალის გ.მ.ნ.) ემთხვევა ვინილის ჯგუფისათვის დამახასიათებელ სიგნალებს. ამდენად, რაოდენობრივად შეფასება იმისა, თუ რა სიღრმით მიმდინარეობს დილს-ალდერის რეაქცია გაძნელებულია. რამდენადაც, მოდიფიცირების რეაქციები შეიძლება განვითარდეს შემდეგი სქემის მიხედვით [170]:

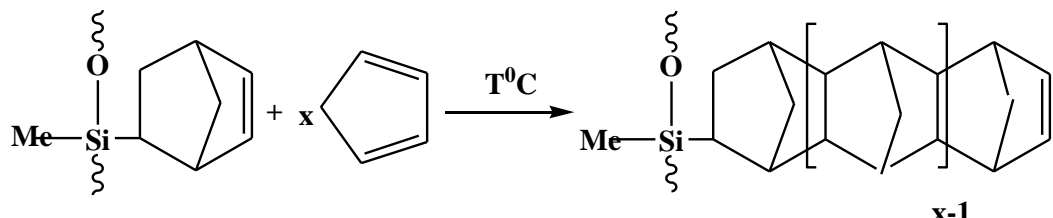


უნდა აღინიშნოს ის ფაქტი, რომ ნორბორნენის ჯგუფებში შემავალი ორმაგი ბმა დიდი რეაქციისუნარიანობით ხასიათდება, როგორც პიდროსილილირების რეაქციების ასევე, პოლიმერიზაციის რეაქციების მიმართ [149].

როგორც, ჩვენს მიერ, ზემოთ იქნა აღნიშნული, ციკლოპენტადიენი აიდებოდა შემავალი ვინილის ჯგუფებზე უფრო მეტი რაოდენობით, ამიტომ ჭარბად არსებულ ციკლოპენტადიენს, როგორც აღნიშნავდნენ ალდერი და შტეინი, უნარი აქს შევიდეს რეაქციაში ტრიციკლოდეკადიენის ბიციკლურ ფრაგმენტში არსებულ უჯერ ბმასთან, რომელიც როგორც ავტორები აღნიშნავენ ხასიათდება დიდი რეაქციისუნარიანობით [170, 171].

თუმცა შესაძლებელია, რომ რეაქცია არ გაჩერდეს აღნიშნულ სტადიაზე და უფრო დრმად განვითარდეს პოლიციკლური ნაერთის წარმოქმნით.

მოდიფიცირებულ სილოქსანურ პოლიმერშიც შესაძლებელია განვითარდეს ზემოთ აღნიშნული შემჭიდროების - მოდიფიცირების რეაქციები, რომლებიც სავარაუდოდ შეიძლება შემდეგნაირად წარმოვიდგინოთ:



შევასება იმისა, თუ რამდენად დრმად მიდის პროცესი, კონდენსირებული გვერდითი ფრაგმენტის წარმოქმნით, შეუძლებელი აღმოჩნდა. ყოველ შემთხვევისათვის პოლიციკლურ ნაერთში ეს იქნება დიმერი, ტრიმერი თუ ტეტრამერი, უჯერი ბმის რეაქციისუნარიანობა არ მცირდება და, როგორც ლიტერატურიდან არის

ცნობილი [170, 171], ვინილური პოლიმერიზაცია შეიძლება უკატალიზატოროდ, მაღალ ტემპერატურაზეც კი ჩატარდეს. ამდენად, ჩვენს მიერ, დასინთეზებულ მოდიფიცირებულ სისტემაში თუ არსებობს ასეთი კონდენსირებული ბირთვები, მასში შემავალი უჯერი ვინილური ბმაც უნდა ხასიათდებოდეს მაღალი რეაქციისუნარიანობით, რომლის ხარჯზეც შესაძლებელი იქნებოდა სტრუქტურირების რეაქციების წარმართვა, რომელიც დამატებით გააუმჯობესებდა მიღებული რეზინის თვისებებს.

ჩვენს მიერ ჩატარებული სამუშაოს არსი მდგომარეობს იმაში, რომ დენგამტარ სილიციუმორგანულ კომპოზიციაში, რომელიც შეიცავს სალოქსანურ გამმაყარებელს-დიეთილამინომეთილტრიეთოქსისილანს და ტექნიკურ ნახშირბადს, დამატებით შეტანილია თუთიის ოქსიდი და აეროსილი-175, ხოლო ელასტომერის სახით შეიცავს პოლიდიმეთილნორბორნენმეთილსილოქსანს, ინგრედიენტების შემდეგი თანაფარდობით (მას. ნაწ.):

პოლიდიმეთილნორბორნენმეთილსილოქსანი - 100,0

აეროსილი -175 - 20,0-45,0

თუთიის ოქსიდი - 2,0-5,0

ტექნიკური ნახშირბადი П357Э- 40,0 -60,0

დიეთილამინომეთილტრიეტოქსისილანი (АДЭ-3) - 4,0-6,0

კომპოზიციაში თუთიის ოქსიდისა და აეროსილის დამატებით შეტანა და ელასტომერად პოლიდიმეთილნორბორნენსილოქსანის გამოყენება აღნიშნული თანაფარდობით საშუალებას იძლევა გააუმჯობესდეს შემდეგი პარამეტრები:

საფულკანიზაციო ნარევის ხანგებელობა, - თვე - 6

სიმტკიცე გაწყვეტაზე, მპა - 4,4-7,1

კომპონენტების მოცემული შემადგენლობა უზრუნველყოფს კომპოზიციის სასურველ თვისებებს, რომლებიც იძლევა საშუალებას მიღწეულ იქნას სავარაუდო ტექნიკური შედეგები.

ანალოგიურად, გამამყარებლად გამოყენებულ იქნა ციკლოტრისილოქსანური ფრაგმენტის შემცველი ტრიეთოქსისილანი, იგივე შემადგენლობით:

პოლიდიმეთილნორბორნენმეთილსილოქსანი - 100,0

აეროსილი -175 - 20,0-45,0

თუთიის ოქსიდი - 2,0-5,0

ტექნიკური ნახშირბადი П357Э- 40,0 -60,0

ორგანოციკლოტრისილოქსანეთილტრიეთოქსისილანი (OCTES) - 4,0-6,0

დადგენილია, რომ გამამყარებლად გამოყენებული ორგანოციკლოტრისილოქსანეთილტრიეთოქსისილანი, მართალია, მიღებული რეზინის ზოგიერთი თვისების უმნიშვნელო ცვლილებას იწვევს, მაგრამ უკეთესია თერმომედეგობის მხრივ, რაც მნიშვნელოვანია ტექნიკური თვალსაზრისით სპეციალური დანიშნულების კომპოზიციების მისაღებად.

ელექტროგამტარ სილიციუმორგანულ კომპოზიციას ვიღებთ შემდეგნაირად: 100 მას. ნაწ. პოლიდიმეთილნორბორნენმეთილსილოქსანს წინასწარ ვამუშავებთ ვალცებზე, ოთახის ტემპერატურაზე 5 წუთის განმავლობაში, შემდეგ შეგვევას შემდეგი ინგრედიენტები: გამამყარებელი – 4-6 მას. ნაწ., თუთიის ოქსიდი – 2-5 მას. ნაწ., აეროსილი – 20-45 მას. ნაწ. და ტექნიკური ნახშირბადი 40-50 მას. ნაწ. გლუვი ზედაპირის მქონე კომპოზიციის წარმოქმნის შემდეგ, რეზინის მასას ხსნიან ვალცებიდან. შემდეგ ვატარებთ ვულკანიზაციას შემდეგ პირობებში: ტემპერატურა 100-200°C, წნევა 0,2-0,3 მპა, ვულკანიზაციის დრო 15-20 წუთი. ინგრედიენტების მოცემულ ზღვრებზე ხაკლები ან მეტი რაოდენობის გამოყენება იწვევს კომპოზიციის თვისებების გაუარესებას - ხანგებელობისა და სიმტკიცის შემცირებას. მიღე-

ბული ელექტროგამტარი სილიციუმორგანული კომპოზიციის უპირატესი დადგებითი თვისებები CKTB-თან შედარებით, სწორედ ნორბორნენის სტრუქტურაში არსებული უჯერი ბმის ხარჯზე მიმდინარე გაკერვებით შეიძლება აიხსნას.

მიღებული ელექტროგამტარი სილიციუმორგანული კომპოზიციები შეიძლება გამოყენებულ იქნას სხვადასხვა დანიშნულების რეზისტორულ ელემენტებად. კერძოდ, ამ მასალებისაგან შეიძლება დამზადდეს მაღალი სტაბილურობის მქონე ტენცო- ან თერმოელემენტები, გამათბობლები (სხვადასხვა ნომინალის მუდმივი ან ცვალებადი დენისათვის), სანტიმეტრული დიაპაზონის ელექტრომაგნიტური ტალ-ლების მშთანთქმელები და სხვა.

ცხრილი 9

გულკანიზაციის მეთოდის და კომპოზიციის მიღების მეთოდის გავლენა CKTB-ბაზაზე მიღებული რეზინების ელექტროგამტარ და ფიზიკურ-მექანიკურ თვისებებზე.

გულკანიზაციის მეთოდი	საგულკანიზა- ცო აგენტი	შემავ- სებლის სახეობა	შემავ- სებლის შემცვე- ლობა, მას. ნაწ.	ρ_v ომი.მ	პრკოლა ციის ზღვარი	ერთგვაროვ ნება $\Delta\rho/\rho_{\text{საჟ}}$, %	სიმტკიცის ზღვარი, მპა	ფარდობითი წაგრძელება გაწყვეტისას, %	ნარჩენი დეფორ მაცია, %	
ადიციური	დიეთილამინო ტრიეთოქსილ ანი (АДЭ-3)	П 803	20	10^4	120	10.8	0.8	101	4.0	
		П 803	30	2.6×10^3	20	98.0	1.7	246	5.5	
		П 803	40	11		75.0	2.1	292	5.7	
		П 357Э	40	0.42		86.0	2.7	240	8.6	
		П 357Э	50	0.05	12	45.0	3.2	360	7.9	
		П 357Э	60	0.02		32.0	2.8	250	4.3	
	კალიუმის დიეთილკაპრილ ატი+ტეტრაეთო ქსილანი	П 803	100	1.60			3.8	325	3.4	
		П 357Э	50	0.24			6.5	610	8.6	
		OCTES	П 357Э	50	0.22	10	27.3	6.9	450	4.6
	პეროქსიდური	დიკუმილის პე- როქსიდი	П 357Э	40	45		360.0	3.3	386	16.0
			П 357Э	50	6.4	25	216.0	4.4	272	11.5
			П 357Э	60	1.2		92.0	4.2	266	8.8
რადიაციული (დოზა-0.1 მგრ)			П 357Э	40	0.3		2.0	3.3	292	11.0
			П 357Э	50	0.08	16	3.0	5.1	360	9.0
			П 357Э	60	0.01		1.0	4.3	250	10.0
პოლიმერი- (АДЭ-3)		ТРГ	10	$1.3 \cdot 10^{-2}$		11.9	2.1	150	0.0	
		ТРГ	20	$1.5 \cdot 10^{-2}$	-	0.6	2.7	230	0.0	
		П 357Э	20	1.4		10.2	2.7	210	4.2	
		П 357Э	30	0.13		1.4	7.1	315	4.9	

ԳԵՐԱԿԱՆ ՊԵՏԱԿԱՆ	OCTES	Π 357Է	40	0.06		1.1	3.8	190	5.0
		Π 357Է	50	$9 \cdot 10^{-3}$		0.8	2.3	150	3.6
		Π 357Է	60	$8 \cdot 10^{-3}$		0.8	2.3	155	3.2
		TPГ	10	$1.3 \cdot 10^{-2}$		11.7	2.0	150	0.0
		TPГ	20	$1.5 \cdot 10^{-2}$	-	0.55	2.7	235	0.0
		Π 357Է	20	1.4		10	2.6	207	4.2
		Π 357Է	30	0.13		1.4	6.2	318	4.8
		Π 357Է	40	0.06		1.1	3.9	195	5.1
		Π 357Է	50	$9 \cdot 10^{-3}$		0.8	2.4	158	3.5
		Π 357Է	60	$8 \cdot 10^{-3}$		0.0	2.3	160	3.0

თავი 3

ექსპერიმენტული ნაწილი

დისერტაციის აღნიშნულ თავში განხილულია ციკლური ფრაგმენტების შემცველი ორგანოსილოქსანური ოლიგომერების სინთეზის ტიპიური მეთოდები. ასევე განხილულია მეთილჰიდრიდისილოქსანების ახალი უჯერი ფრაგმენტების შემცველი თერმორეაქტიული ოლიგომერების სინთეზის რეაქციები.

3.1 ინსტრუმენტული გამოკვლევები

მონომერული ნივთიერებების სისუფთავეს ვაკონტროლებდით გაზ-თხევადურ ქრომატოგრაფზე “ЛХМ-8МД”, ფაზა СКТФТ-100 (10%), ქრომოსორბზე NAW, გაზ-მარებელი – ჰელიუმი, 2 მ სიგრძის სვეტი.

იწ და FTIR სპექტრები დასინთეზებული ნივთიერებისთვის გადაღებულია იწ სპექტროფოტომეტრზე R-20, ვაზელინში ან CCl₄-ში და ფურიე გარდაქმნის იწ სპექტრომეტრზე Nicolet Nexus 470.

ბირთვული მაგნიტური რეზონანსის სპექტრები გადაღებულია სპექტრომეტრზე –“Bruker”, სამუშაო სიხშირით 250 და 400 მჰერცი, დეიტერიორებული ქლოროფორმის ან C₂D₂Cl₄ სინარჩუნები. დეიტერიორებული გამხსნელი ასრულებდა აგრეთვე სტანდარტის როლს.

გელ-შედწევადი ქრომატოგრაფიული გამოკვლევები ჩატარებულია “Waters Model 6000A” ტიპის ქრომატოგრაფზე, რომელიც აღჭურვილი იყო R 401 ტიპის დიფერენციალური რეფრაქტომეტრული დეტექტორით, რომელიც შევსებული იყო 10³ და 10⁴ Å “Ultrastyragel”-ის სვეტით. ნიმუშის კონცენტრაცია იყო დაახლოებით 3% წონით ტოლუოლში, ოლიგოორგანოსილოქსანებისათვის შესხურების საშუალო მოცულობა შეადგენს 5 μL. მიღებული გელ-შედწევადი მრუდების სტანდარტიზაცია გარდებოდა ცნობილი მოლეკულური მასის მქონე პოლისტიროლისა და პოლიდიმეთილისილოქსანის სტანდარტებით.

დიფერენციალურ სკანირებადი კალორიმეტრიული გამოკვლევები ჩატარებულია “Perkin-Elmer-7” ხელსაწყოზე, ტემპერატურის მატებისა და შემცირების სიჩქარე v≈10 გრად/წთ.

ბირთვულ მაგნიტური რეზონანსული სპექტრული, გელ-შედწევადი ქრომატოგრაფიული და დიფერენციალურ სკანირებადი კალორიმეტრიული გამოკვლევები ჩატარებულია ქ. მაინცის (გერმანია) მაქს-პლანკის პოლიმერების სამეცნიერო-კვლევით ინსტიტუტში.

ფართოკუთხოვანი რენტგენოგრაფიული გამოკვლევები ჩატარებულია ხელსაწყოზე “Дрон-2 М”, A-CuK_α, გადაღებას ვაწარმოებდით ფილტრის გარეშე, მობრუნების კუთხეური სიჩქარე აუ2 გრად/წთ. კვლევები ჩატარებულია საქართველოს მინერალური ნედლეულის სამეცნიერო კვლევით ინსტიტუტში.

თერმოგრავიმეტრული გამოკვლევები ჩატარებულია “Paulic-Paulic-Erdey, MOM-102” სისტემის დერივატოგრაფზე. ტემპერატურის მატების სიჩქარე v=5 გრად/წთ. კვლევები ჩატარებულია თსუ ქიმიის მიმართულებაზე.

3.2. საწყისი ნახევარპროდუქტების დახასიათება

ა.ო-ბის(ტრიმეთილსილოქსი)მეთილპიდრიდსილოქსანი ($m \approx 30,53$), ა.ო-ბის(ტრი-მეთილსილოქსი)მეთილპიდრიდ(დიმეთილ)სილოქსანი ($m \approx 33$, $n \approx 23$) გამოყენებულია მზა სახით **ABCR**-იდან. ასევე მზა სახით გამოყენებულია ტრიციკლოდეკადიენი, ციკლოპექსა-1,3-დიენი, ცის-1,5-ციკლოპენტადიენი, 3,4-დიჰიდრო-2H-პირანი, რომლებიც მიღებულია Aldrich-დან.

1,1-დიქლორ-1-სილაციკლოპენტენ-3 – $T_{დენ} = 134-135^{\circ}\text{C}$, $d_4^{20} = 1,2195$;

ცის-1,5-ციკლოპენტადიენი – $T_{დენ} = 149-150^{\circ}\text{C}$, $d_4^{20} = 0,882$;

ციკლოპექსა-1,3-დიენი – $T_{დენ} = 80-81^{\circ}\text{C}$, $d_4^{20} = 0,841$;

ტრიციკლოდეკადიენი – $T_{დენ} = 170-171^{\circ}\text{C}$, $d_4^{20} = 0,986$;

3,4-დიჰიდრო-2H-პირანი – $T_{დენ} = 86-87^{\circ}\text{C}$, $d_4^{20} = 0,922$.

სადისერტაციო ნაშრომის შესრულებისას გამოყენებული გამსხველები გასუფთავებულია შესაბამისი მეთოდებით და მათი სისუფთავე დადგენილია დუღილის ტემპერატურებით, გარდატეხის მაჩვენებლების მნიშვნელობებით და გაზ-თხევადური ქრომატოგრაფიული ანალიზებით.

3.3. სილაციკლოპენტენ-3 ჯგუფის შემცველი სილიციუმორგანული ნაერთების სინთეზი

3.3.1. 1,1-დიქლორ-1-სილაციკლოპენტენ-3-ის სრული ჰიდროლიზი. სამყელა კოლბაში, რომელსაც მორგებული ჰქონდა მექანიკური სარეველა, უკუმაცივარი და საწვეთი ძაბრი მოვათავსეთ 400 მლ ეთერის, 10 მლ აცეტონის, 4,72 მლ (0,262 მოლი) წყლისა და 24,4 მლ (0,262 მოლი) ანილინის ნარევი. საწვეთი ძაბრიდან მუდმივი მექანიკური მორგვის პირობებში $-5-10^{\circ}\text{C}$ ტემპერატურაზე ვამატებდით 300 მლ აბსოლუტურ ეთერში გახსნილ 20 გ (0,131 მოლი) 1,1-დიქლორ-1-სილაციკლოპენტენ-3-ის ნარევს. მთელი ნარევის დამატების შემდეგ მორევა გავაგრძელეთ იგივე ტემპერატურაზე 1 სთ-ის განმავლობაში. ამის შემდეგ სარეაქციო ნარევი გაფილტრეთ, ეთერი გადავდენეთ წყლის ვაკუუმზე. გამოყოფილი მყარი ნივთიერება გადავაკრისტალეთ ჰექსანიდან, რის შედეგადაც გამოვყავით თეთრი ფერის კრისტალური ნივთიერება (I) 9,4 გ (64%) რაოდენობით. დედა ხსნარიდან გამსხველის მოცილების შემდეგ მიღებულია 4,7 გ (32%) ნახევრადეკრისტალური ნივთიერება II.

3.3.2. 1,1-დიქლორ-1-სილაციკლოპენტენ-3-ის ნაწილობრივი ჰიდროლიზი. სამყელა კოლბაში, რომელსაც მორგებული ჰქონდა მექანიკური სარეველა, უკუმაცივარი და საწვეთი ძაბრი ქლორკალციუმიანი მილით მოვათავსეთ 200 გ (1,307 მოლი) 1,1-დიქლორ-1-სილაციკლოპენტენ-3, გახსნილი 200 მლ ეთერში მუდმივი მექანიკური მორევის პირობებში $-5-10^{\circ}\text{C}$ ტემპერატურაზე საწვეთი ძაბრიდან ვამატებდით 12,8 მლ დიოქსანისა და 12,1 მლ (0,652 მოლი) წყლის ნარევს. დიოქსანისა და წყლის ნარევის დამატების შემდეგ გავაგრძელეთ მორევა იგივე ტემპერატურაზე 1 სთ-ის განმავლობაში ხოლო შემდეგ ვურევდით ოთახის ტემპერატურაზე 3 სთ-ის განმავლობაში, ამის შემდეგ სარეაქციო ნარევს მოვაცილეთ გამსხველი, რეაქციაში შეუსვლელი 1,1-დიქლორ-1-სილაციკლოპენტენ-3, დაგაფრაქციონირეთ ვაკუუმში. გამოვყავით ფრაქცია $112-114^{\circ}\text{C}$ (1 მმHg) 39 გ 22% რაოდენობით, რომელიც შეესაბამება 1,3-დიქლორ-1,3-დი(1-სილაციკლოპენტენ-3)-დისილოქსანს III და ფრაქცია $138-139^{\circ}\text{C}$ (1 მმHg), 23,0 გ რაოდენობით 13% რომელიც შეესაბამება 1,5-დიქლორ-1,3,5-ტრი(1-სილაციკლოპენტენ-3)-ტრისილოქსანს IV და ფრაქცია $147-149^{\circ}\text{C}$ (1 მმHg) 14,2 გ (8%), რომელიც შეესაბამება 1,7-დიქლორ-1,3,5,7-ტეტრა(1-სილაციკლოპენტენ-3)-ტეტრასილოქსანს V.

3.3.3. 1,3-დიქლორ-1,3-დი(1-სილაციკლოპენტენ-3)დისილოქსანის სრული ჰიდროლიზი. სამყელა კოლბაში, რომელსაც მორგებული ჰქონდა მექანიკური სარეველა, საწვეთი ძაბრი და უკუმაცივარი, მოვათავსეთ 100 მლ ეთერი, 3,6 გ (0,2 მოლი) წყალი და 18,6 გ (0,2 მოლი) ანილინი. საწვეთი ძაბრიდან მუდმივი მორევის პირობებში ვამატებდით 25,1 გ (0,2 მოლი) 1,3-დიქლორ-1,3-დი(1-სილაციკლოპენტენ-3)დისილოქსანის გახსნილს 200 მლ აბსოლუტურ ეთერში. -5÷10°C-ზე მთლიანად დამატების შემდეგ გავაგრძელეთ მორევა 1 სთ-ის განმავლობაში. ამის შემდეგ ხსნარ-ნალექი გავფილტრეთ, ფილტრატს მოვაცილეთ გამხსნელი წყლის ვაკუუმზე. მიღებულია ფხვნილისებური ნივთიერება (VI) ~10 გ რაოდენობით (~47%), რომელიც კარგად იხსნება ორგანულ გამხსნელებში.

3.3.4. 1,1-დიქლორ-1-სილაციკლოპენტენ-3-ის ჰეტეროფუნქციური კონდენსაცია დიფენილსილანდიოლთან. სამყელა კოლბაში, რომელსაც მორგებული ჰქონდა მექანიკური სარეველა, საწვეთი ძაბრი და უკუმაცივარი, მოვათავსეთ 85 გ (0,556 მოლი) 1,1-დიქლორ-1-სილაციკლოპენტენ-3 გახსნილი 300 მლ აბსოლუტურ ტოლუოლში. მუდმივი მორევისა და გაცივების პირობებში -5÷10°C ტემპერატურაზე ვამატებდით 40 გ (0,185 მოლი) დიფენილსილანდიოლისა და 29,3 გ (0,371 მოლი) პირიდინის ნარევს 2 საათის განმავლობაში. ხოლო შემდგომ ნალექის მომწიფების მიზნით გავაცხელეთ 20 წუთის განმავლობაში. მეორე დღეს ხსნარ-ნალექი გავფილტრეთ, მოვაცილეთ გამხსნელი და გამოვხადეთ ღრმა ვაკუუმზე. შევაგროვეთ ფრაქცია 169-172°C (10⁻² მმHg) 43,6 გ რაოდენობით (გამოსავლიანობა ~64%), რომელიც შეესაბამება – VII ნივთიერებას და ფრაქცია 238-244°C (10⁻² მმHg) 11,4 გ რაოდენობით (16,7%), რომელიც შეესაბამება VIII ნივთიერებას.

3.3.5. 1,5-დიქლორ-1,5-დი(1-სილაციკლოპენტენ-3)-3,3-დიფენილტრისილოქსანის სრული ჰიდროლიზი. სამყელა კოლბაში მოვათავსეთ 2,82 გ (0,03 მოლი) ანილინის 0,55 გ (0,33 მოლი) წყლისა და 100 მლ ეთერის ნარევი. მუდმივი მექანიკური მორევისა და გაცივების პირობებში, -5÷10°C ტემპერატურაზე. სარეაქციო ნარევს ვურევდით იგივე ტემპერატურაზე 1,5 სთ-ის განმავლობაში. ამის შემდეგ მორევა გავაგრძელეთ 1 სთ-ის განმავლობაში. მიღებული ხსნარ-ნალექი გავფილტრეთ. გამხსნელი გადავდენეთ წყლის ვაკუუმზე. გამოყოფილი მყარი ნივთიერება გადავაკრისტალეთ პენტანიდან. მივიღეთ 4,36 გ (69,7 %) ოთრი ფერის მყარი კრისტალური ნივთიერება IX.

3.3.6. 1,5-დიქლორ-1,5-დი(სილაციკლოპენტენ-3)-3,3-დიფენილტრისილოქსანის კონდენსაცია დიფენილსილანდიოლთან. სამყელა კოლბაში, რომელსაც მორგებული ჰქონდა მექანიკური სარეველა, უკუმაცივარი და საწვეთი ძაბრი ქლორკალციუმიანი მილით მოვათავსეთ 25,35 გ (0,056 მოლი) 1,5-დიქლორ-1,5-დი(სილაციკლოპენტენ-3)-3,3-დიფენილტრისილოქსანი გახსნილი 560 მლ აბსოლუტურ ტოლუოლში (ვიდებდით 5%-იან ტოლუოლხსნარს). მუდმივი მექანიკური მორევის პირობებში საწვეთი ძაბრიდან ვამატებდით 12,19 გ (0,05 მოლი) დიფენილსილანდიოლისა და 8,93 გ (0,106 მოლი) პირიდინის ნარევს. მთლიანად დამატების შემდეგ ვაგრძელებდით მორევას 20 სთ-ის განმავლობაში. ამის შემდეგ სარეაქციო ნარევი ვაცხელეთ 2 საათი. მთლიანად დამატების შემდეგ ვაგრძელებდით მორევას 20 სთ განმავლობაში. ამის შემდეგ სარეაქციო ნარევი ვაცხელეთ 2 საათი. გავაცივეთ, გავფილტრეთ, ფილტრატი გავრეცხეთ ნეიტრალურ რეაქციამდე, გავაშრეთ უწყლო Na₂SO₄-ზე. გამხსნელის მოცილებისა და პენტანიდან გადაკრისტალების შემდეგ მივიღეთ ოთრი ფერის მყარი ნივთიერება X, 22,3 გ (53 %).

3.3.7. 1,1-დიქლორ-1-სილაციკლოპენტენ-3-ის ჰეტეროფუნქციური კონდენსაცია დიფენილსილანდიოლთან. სამყელა კოლბაში, რომელსაც მორგებული ჰქონდა მექანიკური სარეველა, საწვეთი ძაბრი და უკუმაცივარი, მოვათავსეთ 28,3 გ (0,185 მოლი)

1,1-დიქლორ-1-სილაციკლოპენტენ-3 გახსნილი 300 მლ აბსოლუტურ ტოლუოლში. მუდმივი მორევისა და გაცივების პირობებში $-5\div10^{\circ}\text{C}$ ტემპერატურაზე ვამატებდით 40 გ (0,185 მოლი) დიფენილსილანდიოლისა და 29,3 გ (0,371 მოლი) პირიდინის ნარევს 2 საათის განმავლობაში. ხოლო შემდგომ ნალექის მომწიფების მიზნით გავაცხელეთ 20 წუთის განმავლობაში. მეორე დღეს ხსნარ-ნალექი გავფილტრეთ, მოვაცილეთ გამხსნელი და გამოვხადეთ დრმა ვაკუუმზე. 30 გ რეაქციის პროდუქტის გამოხდისას მიღებულია 4,5 გ (15%) VII ნივთიერება, 11,7 გ (39%) X ნივთიერება და 3,3 გ (11%) XI ნივთიერება.

3.3.8. 1,1-დიქლორ-1-სილაციკლოპენტენ-3-ის ჰეტეროფუნქციური კონდენსაცია დიეთილამინთან. სამყელა კოლბაში მოვათავსეთ 38,17 გ (0,523 მოლი) დიეთილამინი გახსნილი 200 მლ აბს. ეთერში. მუდმივი მორევისა და გაცივების პირობებში $-5\div10^{\circ}\text{C}$ ტემპერატურაზე საწვეთი ძაბრიდან ვამატებდით 20 გ (0,131 მოლი) 1,1-დიქლორ-1-სილაციკლოპენტენ-3-ს გახსნილს 200 მლ აბს. ეთერში. სარეაქციო ნარევს ვურევდით 2 სთის განმავლობაში. ამის შემდეგ ხსნარ-ნალექი გავფილტრეთ, გადავდენეთ გამხსნელი და გამოვხადეთ ვაკუუმზე. შევაგროვეთ ფრაქცია $93\text{-}94^{\circ}\text{C}$ (1-2 მმ.Hg), მივიღეთ 9.83 გ ნივთიერება ~33,3 % გამოსავლიანობით.

3.4. ნორბორნენ-2-ილ-ჯგუფის შემცველი ციკლური და ხაზოვანი ორგანოსილოქსანების სინთეზი

3.4.1 დიჰიდროქსიმეთილნორბორნენ-2-ილ-სილანის (მეთილნორბორნენსილანდიოლის) სინთეზი. სამყელა კოლბაში, რომელსაც მორგებული ჰქონდა მექანიკური სარეველა, უკუმაცივარი და საწვეთი ძაბრი, მოვათავსეთ 192 მლ დიეთილის ეთერის, 13,2 მლ (0,1449 მოლი) ანილინის, 2 მლ აცეტონისა და 2,6 მლ (0,1449 მოლი) წყლის ნარევი. საწვეთი ძაბრიდან მუდმივი მორევის პირობებში $0\div5^{\circ}\text{C}$ ტემპერატურაზე ვამატებდით 192 მლ აბს. ეთერში გახსნილ 15 გ (0,0724 მოლი) მეთილნორბორნენდიქლორსილანს. ნარევის მთლიანად დამატების შემდეგ მორევას ვაგრძელებთ იგივე ტემპერატურაზე 2 სთის განმავლობაში. ამის შემდეგ ხსნარ-ნალექი გავფილტრეთ, ეთერი მოვაცილეთ წყლის ვაკუუმზე. მიღებული ნივთიერება გადავაკრისტალეთ პენტა-ოქტანის ნარევიდან, მოცულობითი თანაფარდობით 1:2. მივიღეთ 10,9 გ (გამოსავლიანობა ~60%) მოყავისფრო მყარი ნივთიერება ~XIII.

3.4.2. მეთილნორბორნენ-2-ილ-დიქლორისილანის ნაწილობრივი ჰიდროლიზი. სამყელა კოლბაში, რომელსაც მორგებული ჰქონდა მექანიკური სარეველა, უკუმაცივარი და საწვეთი ძაბრი, მოვათავსეთ 124 მლ (0,6896 მოლი) მეთილნორბორნენდიქლორსილანი და 124 მლ დიეთილის ეთერი. საწვეთი ძაბრიდან მუდმივი მექანიკური მორევის პირობებში $-30\div-40^{\circ}\text{C}$ ტემპერატურაზე ვამატებდით 5,6 მლ (0,31 მოლი) წყლისა და 6 მლ დიოქსანის ნარევს. ნარევის მთლიანად დამატების შემდეგ მორევა გავაგრძელეთ იგივე ტემპერატურაზე 2 სთის განმავლობაში. ეთერის გადადენის შემდეგ მიღებულია 100 გ ბლანტი ნივთიერება, რომლის ვაკუუმში დაფრაქციონირების შედეგად გამოყოფილია 38 გრ (38 %) ყვითელი ფერის თხევადი ნივთიერება XIV, რომელიც შეესაბამება 1,3-დიქლორ-1,3-დიმეთილ-1,3-დინორბორნენ-2-ილდისილოქსანს და 31 გ (31%) ოლიგომერული პროდუქტი XV გარდაქმნის ხარისხით m=3.

3.4.3. ნორბორნენ-2-ილ-ტრიქლორისილანის ჰიდროლიზი. სარეაქციო კოლბაში, რომელშიც მოთავსებული იყო ყინულიანი წყალი, მუდმივი მექნიკური მორევის პირობებში ვამატებდით 145 მლ ნორბორნენ-2-ილტრიქლორსილანის ხსნარს 205 მლ აცეტონში, შეიმჩნეოდა ოეთრი ფერის კრისტალური ნივთიერების გამოყოფა. სა-

რეაქციო ნარევი დავტოვეთ მეორე დღემდე. მეორე დღეს ხსნარ-ნალექი გავფილტ-რეთ, კრისტალები გავრეცხეთ ნეიტრალურ რეაქციამდე და ჩავრეცხეთ ტოლუოლით. მიღებულია 100 გ (~70%) თეთრი ფერის მყარი ნივთიერება XVI, რომელიც მხოლოდ დიოქსანში იხსნება.

3.4.4. ნორბორნენ-2-ილ-ტრიქლორსილანის ჰიდროლიზი. სამყელა კოლბაში, რომელსაც მორგებული ჰქონდა მექანიკური სარეველა, უკუმაცივარი და საწვეთი ძაბრი მოვათავსეთ 31,6 გ (0,37 მოლი) NaHCO_3 , 7 მლ (0,376 მოლი) წყალი და 150 მლ ეთერი. საწვეთი ძაბრიდან მუდმივი მორევის პირობებში ოთახის ტემპერატურაზე ვამატებდით 28,54 გ (0,125 მოლი) ნორბორნენ-2-ილტრიქლორსილანს გახსნილს 50 მლ შშრალ ეთერში. ქლორიდის დამატების შემდეგ სარეაქციო ნარევს ვურევდით 3 საათის განმავლობაში. სარეაქციო ნარევი გავფილტრეთ, გავრეცხეთ ნეიტრალურ რეაქციამდე, გავაშრეთ უწყლო Na_2SO_4 -ზე. გამსხველი მოვაცილეთ მივიღეთ მყარი პროდუქტი, რომელიც გავრეცხეთ ჯერ ტოლუოლით და შემდეგ პენტანით. გამოყოფილია დიოქსანში კარგად ხსნადი 17,3 გ (80%) მოყვითალო ფერის ნივთიერება XVI.

3.4.5. ნორბორნენ-2-ილ-ტრიქლორსილანის ჰიდროლიზი ტუტე არეში. სამყელა კოლბაში მოვათავსეთ 20,4 გ (0,15 მოლი) NaOH , 390 მლ წყალი) და 390 მლ ეთერი. მუდმივი მექანიკური მორევის პირობებში $-5\div0^\circ\text{C}$ ტემპერატურაზე საწვეთი ძაბრიდან ვამატებდით 38,9 გ ქლორიდს (0,17 მოლი) გახსნილს 50 მლ აბსოლუტურ ეთერში. მთლიანად დამატების შემდეგ მორევა გავაგრძელეთ იგივე ტემპერატურაზე 3 სთის განმავლობაში. ამის შემდეგ სარეაქციო ნარევი გავყავით გამყოფი ძაბრით. ეთერსნარი გავრეცხეთ ნეიტრალურ რეაქციამდე, გავაშრეთ უწყლო Na_2SO_4 -ზე და ეთერი გადავდენეთ წყლის ვაკუუმზე. ვაკუუმირების შედეგად მიღებულია 17,4 გ (~68%) ოლიგომერული პროდუქტი-ორგანულ გამსხველებში კარგად ხსნადი თეთრი ფერის ფხვნილისმაგვარი ნივთიერება XVII.

3.4.6. ტრიათოროქსინორბორნენ-2-ილ-სილანის ჰფკ ტრიმეთილქლორსილანთან. სამყელა კოლბაში, რომელსაც მორგებული ჰქონდა მექანიკური სარეველა, უკუმაცივარი და საწვეთო ძაბრი მოვათავსეთ 63 გ (0,58 მოლი) ტრიმეთილქლორსილანის ხსნარი 100 მლ აბს. დიოქსანში. საწვეთი ძაბრიდან მუდმივი მექანიკური მორევის პირობებში ოთახის ტემპერატურაზე ვამატებდით 20 გ (0,116 მოლი) $\text{C}_7\text{H}_9\text{Si}(\text{OH})_3$ ხსნარს 28 მლ (0,348 მოლი) აბსოლუტურ პირიდინსა და 250 მლ დიოქსანში. მთლიანად დამატების შემდეგ მორევა გავაგრძელეთ 6 საათის განმავლობაში ხსნარ-ნალექი გავფილტრეთ, გავრეცხეთ ნეიტრალურ რეაქციამდე და გავაშრეთ, გამსხველის მოცილებისა და ვაკუუმირების შედეგად მივიღეთ მოყვითალო ფერის მყარი ნივთიერება XVIII, 28 გ ოდენობით (~62%), რომელიც კარგად იხსნება ეთერში ლდობის $T_{\text{ლდ}}=242\div244^\circ\text{C}$.

3.4.7. მეთილნორბორნენ-2-ილ-დიქლორსილანის ჰფკ 1,3-ჰიდროქსიტერამეთილდისილოქსანთან. სამყელა კოლბაში, რომელსაც მოვარგეთ ორი საწვეთი ძაბრი, მოვათავსეთ 150 მლ აბს ეთერი. მუდმივი მექანიკური მორევის პირობებში $-5\div0^\circ\text{C}$ ტემპერატურაზე ორივე საწვეთი ძაბრიდან ერთდროულად ვამატებდით. კერძოდ, ერთი საწვეთი ძაბრიდან 9,6 გ (0,0528 მოლი) 1,3-დიათოროქსიტერამეთილდისილოქსანის ხსნარს 10,52 მლ (0,1152 მოლი) ანილინში, ხოლო მეორედან -10,92 გ (0,0528 მოლი) მეთილნორბორნენქლორსილანს. მთლიანად დამატების შემდეგ გავაგრძელეთ მორევა იგივე ტემპერატურაზე 48 სთის განმავლობაში. სარეაქციო ნარევი გავფილტრეთ, გავრეცხეთ ნეიტრალურ რეაქციამდე, ეთერი გადავდენეთ და

დავაფრაქციონირეთ ვაკუუმზე. 15 გ ნივთიერების გამოხდისას მიღებულია 6,6 გ (44 %), ბლანტი XIX ნივთიერება.

3.4.8. ნორბორნენჟეპტამეთილციკლოტეტრასილოქსანის სინთეზი. აღწერილი მეთოდის ანალოგიურად 9,1428 გრ (0,0441 მოლი) მეთილნორბორნენდიქლორსილანიდან, 10,6 (0,0441 მოლი) 1,5-დიპიდროქსიპექსამეთილნორბორნენდიქლორსილანიდან და 8,21 (0,0882 მოლი) ანილინიდან მიღებულია 16 გ ბლანტი ნივთიერება, რომლის გამოხდისას ვაკუუმზე მიღებულია 6,1 გ (38%) უფერო ბლანტი ნივთიერება XX.

3.5. α,ω-ბის(ტრიმეთილსილოქსი) მეთილპიდრიდსილოქსან(დიმეთილსილოქსანის პიდროსილიდირების რეაქციები

3.5.1. α,ω-ბის(ტრიმეთილსილოქსი) მეთილპიდრიდსილოქსანის პიდრიდული მიერთვბის რეაქცია ცის-1,5-ციკლოოქტადიენთან (თანაფარდობა 1:30). სარეაქციო კოლბაში მოვათავსეთ 1,6352 გ (0,000833 მოლი) მეთილპიდრიდსილოქსანი და 2,7047 გ (0,025 მოლი) ცის-1,5-ციკლოოქტადიენი გახსნილი 4,5 მლ მშრალ ტოლუოლში. სარეაქციო არეში შევიტანეთ კატალიზატორი H_2PtCl_6 -ის 2 წვეთი ($\sim 5 \div 8 \times 10^{-5}$ გ 1გ პროდუქტზე) და რეაქციას ვატარებდით მუდმივი ტემპერატურის პირობებში ($60^{\circ}C$). სარეაქციო სისტემას ინტენსიურად ვურევდით მაგნიტური სარეველათი. ვაკვირდებოდით მიერთების რეაქციის დროს $\equiv Si-H$ აქტიური ბმების შემცირებას. რეაქციის დამთავრების შემდეგ მიღებული ოლიგომერი გადავლექეთ ტოლუოლსსნარიდან ნ-ჰექსანით, რის შემდეგაც ვახდენდით ვაკუუმირებას მუდმივ მასამდე $50\text{--}60^{\circ}C$ -ის ინტერვალში. მიღებულია 3,3 გ (75%) ოლიგომერი XXI.

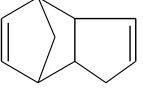
3.5.2. α,ω-ბის(ტრიმეთილსილოქსი) მეთილპიდრიდსილოქსანის პიდრიდული მიერთვბის რეაქცია 3,4-დიპიდრო-2H-პირანთან (თანაფარდობა 1:30). სარეაქციო კოლბაში მოვათავსეთ 2,0389 გ (0,001039 მოლი) მეთილპიდრიდსილოქსანი და 2,6225 გ (0,0311) 3,4-დიპიდრო-2H-პირანი გახსნილი 8 მლ აბსოლუტურ ტოლუოლში. სარეაქციო არეში შევიტანეთ კატალიზატორი Pt/C (5%) საერთო მასის 0,1%. რეაქციას ვატარებდით მუდმივი ტემპერატურის პირობებში ($60^{\circ}C$). სარეაქციო სისტემას ინტენსიურად ვურევდით მაგნიტური სარეველათი. ვაკვირდებოდით მიერთების რეაქციის დროს $\equiv Si-H$ აქტიური ბმების შემცირებას. რეაქციის დამთავრების შემდეგ სარეაქციო ნარევიდან ვახდენდით დასინთეზებული ოლიგომერის გადალექვას ნ-ჰექსანიდან და შემდგომ გამხსნელის ვაკუუმირებას $50\text{--}60^{\circ}C$ -ის ინტერვალში. მიღებულია ~3,7 გ (80%) ოლიგომერი XXII.

3.5.3. α,ω-ბის(ტრიმეთილსილოქსი) მეთილპიდრიდ(დიმეთილ)სილოქსანის პიდრიდული მიერთვბის რეაქცია ტრიციკლოდეკადიენთან. სარეაქციო კოლბაში მოვათავსეთ 1,5029 გ (0,00077 მოლი) მეთილპიდრიდსილოქსანი და 3,0333 გ (0,02298 მოლი) დიციკლოპენტადიენი და 3 მლ აბსოლუტურად მშრალი ტოლუოლი. სარეაქციო არეში შევიტანეთ კატალიზატორი H_2PtCl_6 -ის 2 წვეთი ($\sim 5 \div 8 \times 10^{-5}$ გ 1 გ პროდუქტზე) და რეაქციას ვატარებდით მუდმივი მორევისა და მუდმივი ტემპერატურის პირობებში ($90^{\circ}C$). ვაკვირდებოდით მიერთების რეაქციის სიჩქარეს $\equiv Si-H$ აქტიური ბმების ექსპერიმენტული განსაზღვრით. ამის შემდეგ სარეაქციო პროდუქტს გვილტრავდით, ვაცილებდით ტოლუოლს მუდმივ მასამდე ვაკუუმირებით $50\text{--}90^{\circ}C$ -ის ინტერვალში. მიღებულია 3,85 გ (85%) ოლიგომერი XXIII. მიერთების დანარჩენი რეაქციები ჩატარებულია ანალოგიურად. საწყისი ნივთიერებების რაოდენობები და ოლიგომერების გამოსავლიანობები მოცემულია მე-10 ცხრილში.

3.5.4. α,ω-ბის(ტრიმეთილსილოქსი)მეთილპიდრიდიდსილოქსანის ჰიდრიდული მიერთვების ოეაქცია ციკლოჟექსა-1,3-დიენთან. (თანაფარდობა 1:30). მიერთების ოეაქციები ჩატარებულია წინა სინთეზების ანალოგიურად. საწყისი ნივთიერებების რაოდენობები და ოლიგომერების გამოსავლიანობები მოცემულია მე-11 ცხრილში.

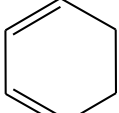
ცხრილი 10

α,ω-ბის(ტრიმეთილსილოქსი)მეთილპიდრიდიდსილოქსანის გრიციკლოდეგადიენთან ჰიდროსილილირების დროს საწყისი ნივთიერებების ჩატვირთვა და მიღებული ოლიგომერების გამოსავლიანობა

ოლიგომერის №	$\text{Me}_3\text{SiO}(\text{SiMe}_2\text{O})_m(\text{SiMe}_2\text{O})_n\text{SiMe}_3$			 δ (მოლი)	ტემპერატურა, $^{\circ}\text{C}$	გამოსავლიანობა, δ , (%)
	m	n	δ (მოლი)			
XXIII	30	0	1.5029 (0.00077)	3.0333 (0.02298)	90	3.85 (85)
XXIV ¹	53	0	1.1248 (0.0003365)	2.3542 (0.01783)	60	2.89 (83)
XXIV ²	53	0	1.1248 (0.0003365)	2.3542 (0.01783)	70	2.61 (75)
XXIV ³	53	0	1.1248 (0.0003365)	2.3542 (0.01783)	80	2.44 (70)
XXIV	53	0	1.1248 (0.0003365)	2.3542 (0.01783)	90	2.33 (67)
XXV	33	23	0.7688 (0.0002)	0.8712 (0.0066)	90	1.15 (70)

ცხრილი 11

α,ω-ბის(ტრიმეთილსილოქსი)მეთილპიდრიდიდსილოქსანის ციკლოჟექსა-1,3-დიენთან ჰიდროსილილირების დროს საწყისი ნივთიერებების ჩატვირთვა და მიღებული ოლიგომერების გამოსავლიანობა

№ ლებელის ოლიგომერი	$\text{Me}_3\text{SiO}\left(\begin{array}{c} \text{Me} \\ \\ \text{Si}-\text{O} \\ \\ \text{H} \end{array}\right)_3\text{O}\text{SiMe}_3$ 30	 δ (მოლი)	ტემპერატურა, $^{\circ}\text{C}$	გამოსავლიანობა, δ , (%)
XXVI ¹	1.4699 (0.7491)	1.7978 (0.022473)	60	3.07 (94)
XXVI ²	1.4699 (0.7491)	1.7978 (0.022473)	70	3.10 (94)
XXVI	1.4699 (0.7491)	1.7978 (0.022473)	80	3.10 (95)

3.6. პოლიმერული კომპოზიციების მიღება

3.6.1. 1,3-დიპიდროქსიტეტრაფენილდისილოქსანის ჰეტეროფუნქციური კონდენსაციის რეაქცია მეთილდიქლორსილანთან. კოლბაში, რომელსაც მორგებული ჰქონდა მექანიკური სარეველა, ორი საწვეთი ძაბრი და უკუმაცივარი ქლორკალციუმიანი მიღით, მოვათავსეთ 11,4 გ (0.12 მოლი) მეთილქლორსილანი გახსნილი 250 მლ აბს.მშრალ ტოლუოლში და ორი საწვეთი ძაბრიდან ვუმატებდით 50 გ (0.12 მოლი) 1,3-დიპიდროქსიტეტრაფენილდისილოქსანს გახსნილს 600 მლ აბს. ტოლუოლში, აგრეთვე 38.2 გ (0.23 მოლი) პირიდინს გახსნილს 40 მლ ტოლუოლში. სარეაქციო ნარევს ვურევდით 7-8 საათის განმავლობაში, რის შემდეგაც ვაცხელებდით 2-3 საათის განმავლობაში ტოლუოლის დუღილის ტემპერატურამდე. მიღებული ხსნარი გავფილტრეთ, გამხსნელი მოვაცილეთ და მივიღეთ 56.3 გ ბლანტი რეაქციის პროდუქტი, რომლის ვაკუუმზე გამოხდით მივიღეთ 20 გ (36%) 1-ჰიდრო-1-მეთილ-3,3,5,5-ტეტრაფენილციკლოტრისილოქსანი (XXVII) დუღილის ტემპერატურით $T_{დუღ} = 190\text{-}195^{\circ}\text{C}$ ($P=1\times 10^{-2}$ მმHg) გამოთვლილი $\text{C}_{25}\text{H}_{24}\text{Si}_3\text{O}_3$: C – 65,79; H – 5.26; Si – 18,42; M=456; ნაპოვნი: C – 65,10; H – 4.99; Si – 18,30; და 23,6 გ (42%) 1,7-დიპიდრო-1,7-დიმეთილოქტაფენილციკლოპექსასილოქსანი XXVIII, $T_{დუღ} = 190\text{-}195^{\circ}\text{C}$ ($P=1\times 10^{-2}$ მმHg), გამოთვლილი $\text{C}_{50}\text{H}_{48}\text{Si}_6\text{O}_6$: C – 65,79; H – 5.26; Si – 18,42; M=912; ნაპოვნი: C – 66,08; H – 5.38; Si – 18,11; [164].

3.6.2. 1-ჰიდრო-1-მეთილ-3,3,5,5-ტეტრაფენილციკლოტრისილოქსანის (XXVII) ჰიდრიდული მიერთების რეაქცია ვინილტრიეთოქსისილანთან. სამყელა კოლბაში, რომელსაც მორგებული ჰქონდა უკუმაცივარი, ინერტული გაზის შემცველი ტუბუსი და კატალიზატორის შესატანი ტუბუსი მოვათავსეთ 9.12 გ (0.02 მოლი) 1-ჰიდრო-1-მეთილ-3,3,5,5-ტეტრაფენილციკლოტრისილოქსანი და 4.75 გ (0.025 მოლი) ვინილტრიეთოქსისილანი გახსნილი 30 მლ აბსოლუტურად შრალი ტოლუოლის ხსნარში, რამდენიმე წვეთი პლატინაქლორწყალბადმეავას 0.1 M ხსნარი ტეტრაჰიდროფურანში ($\sim 5\div 8 \times 10^{-5}$ გ, 1გ პროდუქტზე). რეაქცია ჩავატარეთ 80°C ტემპერატურაზე, Si-H ბმის სრულ ამოწურვამდე. რეაქციის დამთავრების შემდეგ სარეაქციო ნარევში ჩავყარეთ გააქტივებული ნახშირი 1 გ რაოდენობით, გავფილტრეთ, მოვაცილეთ გამხსნელი და ზედმეტი ვინილტრიეთოქსისილანი. მიღებულია 12.7 გ (98%) ტრიეთოქსი ჯგუფების შემცველი გამამურებელი (XXIX).

3.6.3. სილოქსანური პოლიმერების ბაზაზე ელექტროგამტარი კომპოზიტების მიღება. კომპოზიციური მასალების მიღებას ვაწარმოებდით ლაბორატორიულ ვალცებზე, ოთახის ტემპერატურაზე. საწყისი ნაზავის ვალცირებას ვახდენდით 2.6 თავში მოტანილი თანაფარდობით, ერთგვაროვანი სისტემის მიღებამდე. რის შემდეგაც ვახდენდით ფურცლოვანი პროდუქტის თერმოდამუშავებას $120^{\circ}\text{C}\text{-}150^{\circ}\text{C}$ ტემპერატურაზე ვულკანიზირებული პროდუქტის მიღების მიზნით.

მიღებული ვულკანიზატებისათვის ჩატარებულია შემდეგი გამოკვლევები: კუთრი მოცულობითი ელექტრული წინაღობა, გამტარებლობის პერკოლაციის ზღვარი, მასალის ერთგვაროვნება, სიმტკიცის ზღვარი გაჭიმვაზე, ფარდობითი წაგრძელება, ნარჩენი დეფორმაცია სათანადო სტანდარტების მიხედვით.

დასკვნები

1. შესწავლილია 1,1-დიქლორსილაციკლოპენტენ-3-ის როგორც ნაწილობრივი, ასევე სრული ჰიდროლიზის რეაქციები სხვადასხვა პირობებში და დასინთეზებულია ჰიდროქსილისა და ქლორის ფუნქციური ჯგუფების შემცველი სილაციკლოპენტენ-3-ის შემცველი ახალი ხაზოვანი აღნაგობის ოლიგომერები.
2. 1,1-დიქლორსილაციკლოპენტენ-3-ის ჰეტეროფუნქციური კონდენსაციის რეაქციებით დაიძროება სიდივენილსილანთან მორეაგირე კომპონენტების სხვადასხვა თანაფარდობით აქცეპტორ-პირიდინის თანაობისას მიღებულია ხაზოვანი და ციკლური აგებულების ორგანოსილოქსანები.
3. შესწავლილია მეთილნორბორნენდიქლორსილანის ნაწილობრივი და სრული ჰიდროლიზის რეაქციები, სხვადასხვა პირობებში და დასინთეზებულია ფუნქციური ჯგუფების შემცველი სილანები და სილოქსანები; ხოლო ნორბორნენტრიკლორსილანის ჰიდროლიზის რეაქციებით, როგორც მჟავა, ტუტე და ნეიტრალურ არეში, ჩვენს მიერ დასინთეზებულია, როგორც შესაბამისი ტრიოლი, ასევე მათი კონდენსაციის კიბისებრი პროდუქტები.
4. ყველა ინდივიდუალური ორგანოსილოქსანების აღნაგობა დამტკიცებულია ფუნქციური და ელემენტური ანალიზით, მოლეკულური რეფრაქციით, მოლეკულური მასების განსაზღვრით, იწ და ბმრ სპექტრების მონაცემებით.
5. შესწავლილია მეთილჰიდრიდსილოქსანების ჰიდრიდული მიერთების რეაქციები ცის-1,5-ციკლორეტადიენთან და 3,4-დიჰიდრო-2H-ჰიდროპირანთან როგორც პლატინაჸლორწყალბადმჟავას (0.1 M ხსნარის ტოლუოლში) თანაობისას, ასევე Pt/C თანაობისას. დადგენილია, რომ ცის-1,5-ციკლორეტადიენთან \equiv Si-H ბმის მაღალი კონვერსიის დროს ადგილი აქვს შეკერილი ოლიგომერების წარმოქმნას. ამიტომ რეაქციას ვწყვეტდით \equiv Si-H ბმის 80% კონვერსიის დროს; 3,4-დიჰიდრო-2H-ჰიდროპირანთან ჰიდროსილილირების დროს პლატინაჸლორწყალბადმჟავას კატალიზატორის გამოყენებისას ადგილი ჰქონდა შეკერილი ოლიგომერების წარმოქმნას. ამიტომ ხსნადი ოლიგომერების მიღებისათვის ვიყენებდით Pt/C კატალიზატორს.
6. ჩვენს მიერ პირველად შესწავლილია მეთილჰიდრიდსილოქსანების და მეთილჰიდრიდსილოქსან-დიმეთილსილოქსანური ოლიგომერების ჰიდრიდული მიერთების რეაქციები ტრიციკლორდეკადიენთან პლატინაჸლორწყალბადმჟავას კატალიზატორის თანაობისას და ნაჩვენებია, რომ ჰიდროსილილირება მიმდინარეობს როგორც 9,10 ასევე 1,2-მიერთებით. ამასთანავე ადგილი აქვს მაკრომოლეკულათშორის ჰიდროსილილირებას განტოტვილი აგებულების სისტემების მიღებით. დასინთეზებული ოლიგომერები წარმოადგენენ საინტერესო სისტემებს კარბოჸაჭვური ელასტომერების მოდიფიკაციისათვის, ვინაიდან ისინი განიცდიან გაკერვის რეაქციებს სისტემაში არსებული კატალიზატორის ხარჯზე დამატებითი გაცხელების დროს.
7. ჩატარებულია მეთილჰიდრიდსილოქსანების ჰიდრიდული მიერთების რეაქციები ციკლოპენსა-1,3-დიენთან პლატინაჸლორწყალბადმჟავას 0,1M ხსნარის ტეტრაჸიდროფურანში თანაობისას და დასინთეზებულია განტოტვილი აღნაგობის ოლიგომერები. დასინთეზებული ოლიგომერები წარმოადგენენ საინტერესო სისტემებს, ვინაიდან შეიცავენ რა უჯერ ციკლოპენსენილის ფრაგმენტებს და პლატინის კატალიზატორს, გაცხელებით განიცდიან სტრუქტურირების რეაქციებს, რაც ხდის მათ საინტერესოს პრაქტიკაში დასახერგად.
8. მეთილდიმეთოქსისილანის ტრიციკლორდეკადიენთან და ციკლოპენსა-1,3-დიენთან მიერთების რეაქციის სრული დახასიათებისათვის, მოდელური რეაქციისათვის, ჩატარებულია გათვლები ნახევრადემპირიული ქვანტურ-ქიმიური მეთოდით AM1. ყველა საწყისი, შუალედური და საბოლოო პროდუქტისათვის მოდელურ რეაქ-

ციაში: $[\text{Me}(\text{MeO})_2\text{SiH}]$ მეთილდიმეთოქსისილანის პიდროსილილირებისას ტრი-ციკლოდეკადიენთან გათვლილია წარმოქმნის სითბოები (ΔH_f), სისტემის ენერგიის ცვლილება (ΔH) $\equiv C-Si \equiv$ ბმის მანძილის ცვლილებისას (R_{C-Si}), აგრეთვე მუხტების მნიშვნელობები (q_i) ატომებზე, დიპოლური მომენტები (μ) და ბმის რიგები (P_{ij}). ქვანტურ-ქიმიური მეთოდით მიღებული შედეგები სრულ თანხვდენაშია ბირთვულ-მაგნიტურ რეზონანის მონაცემებთან, რაც საშუალებას გვაძლევს გამოვიყენოთ ეს მეთოდი რეაქციის უპირატესი მიმართულების განსაზღვრისათვის.

9. დასინთეზებული თერმორეაქტიული ოლიგომერებისათვის ჩატარებულია ^1H , ^{13}C , FTIR სპექტრული გამოკვლევები და ფართო კუთხოვანი რენტგენოგრაფიული, თერმოგრავიმეტრიული და გელ-შედწევადი ქრომატოგრაფიული გამოკვლევები.
10. ნორბორნენის და ზოგიერთი სხვა ფუნქციური ჯგუფის შემცველი პოლიორგანოსილოქსანებისა და წვრილდისპერსიული ელექტროგამტარი (ტექნიკური ნახშირბადი, გრაფიტი) ფხვნილების საფუძველზე მიღებულია ელექტროგამტარი რეზინები ტექნიკური მახასიათებლების რიცხვითი მნიშვნელობების ფართო დიაპაზონით. ნაჩვენებია, რომ: а) რეზინის ვულკანიზაციის პირობები არსებით გავლენას ახდენს ელექტროგამტარი სილიციუმორგანული რეზინების თვისებებზე; б) რეზინების ფიზიკურ-მექანიკური მახასიათებლები მნიშვნელოვნად არის დამოკიდებული არა მარტო კომპონენტების გვარობაზე და კონცენტრაციაზე, არამედ მათ შორის ურთიერთქმედების ხასიათზე; პოლიმერიზაციული შევსების მეთოდით მიღებული რეზინები გამოირჩევიან მაღალი პომოგენურობით, ელასტიურობით და ელექტროგამტარობით; გ) ელექტროგამტარი სილიციუმორგანული კომპოზიტების გამოყენება შეიძლება სტაბილურ რეზისტორებად, ტენზო- და თერმოელემენტებად, მოკლეტალდოვანი გამოსხივებების მშთანთქმელებად და სხვა.

გამოყენებული ლიტერატურა

1. "Silicon-Containing Polymers"; Jones R.G., Ando W., Chojnowski J. // Dordrecht, Kluwer Academic Publisher, 2000, pp. 79-112.
2. Richard H., Mauzac M., Si gaud G., Achard M.-F., Hardouin F. "Side-Chain Liquid Crystalline Polymers". // Liq. Cryst. 1991, vol. 9, №6, pp. 679-688.
3. Hu J.-Sh., Zhang B.-Y., Liu Z-J., Zang B.-L. "Synthesis and phase behavior of chiral side-chain liquid-crystalline polysiloxanes containing two mesogenic groups". //J. Appl. Polym. Sci., 2002, vol. 86, №11, pp. 2670-2676.
4. Zhu Z., Einset A. G., Yang C.-Y., Chen W.-X., Wnek G. E. "Synthesis of Polysiloxanes Bearing Cyclic Carbonate Side Chains. Dielectric Properties and Ionic Conductivities of Lithium Triflate Complexes". //Macromolecules, 1994, vol. 27, №15, pp. 4076-4079.
5. Bisberg J., Cumming W.J., Gaudiana R.A., Hutchinson K.D., Ingwall R.T.; Kolb E.S., Mehta P. G., Minns R.A., Petersen C.P. "Excimer Emission and Wavelength Control from Light-Emitting Diodes Based on Side-Chain Polymers". //Macromolecules, 1995, vol. 28, №15, pp. 386-389.
6. Belfield K.D., Chinna C., Najjar O. "Synthesis of Novel Polysiloxanes Containing Charge Transporting and Second-Order Nonlinear Optical Functionalities with Atom Economical Constructs". // Macromolecules, 1998, vol. 31, №9, p. 2918-2924.
7. Sauvet G., Fortuniak W., Kazmierski K., Chojnowski J. "Amphiphilic block and statistical siloxane copolymers with antimicrobial activity". //J. Polymer Science, Part A: Polymer Chem., 2003, vol. 41, №19, pp. 2939-2948.
8. Hazziza-Laskar J., Helarry G., Sauvet G. "Biocidal polymers active by contact. IV. Polyurethanes based on polysiloxanes with pendant primary alcohols and quaternary ammonium groups". //J. Appl. Polym. Sci., 1995, vol. 58, № 1, pp. 77-84.
9. Bratcher M. S., DeClue M. S., Grunnet-Jepsen A., Wright D., Smith B. R., Moer-ner W. E., Siegel, J. S. "Synthesis of Bifunctional Photorefractive Polymers with Net Gain: Design Strategy Amenable to Combinatorial Optimization". //J. Am. Chem. Soc. 1998, vol. 120, № 37, pp. 9680-9681.
10. Chang-Chien G.-P., Kuo J.-F. "Synthesis, characterization, and thermotropic properties of side-chain liquid crystalline polysiloxane polymers with an oligo (ethylene oxide) unit in the side chain". //J. Appl. Polym. Sci., 1995, vol. 57, № 10, pp. 1183-1204.
11. Manners I. "Polymers and the Periodic Table: Recent Developments in Inorganic Polymer Science". //Angew. Chem., Int. Ed. Engl 1996, vol. 35, №12, pp. 1602-1621.
12. Abbasi F., Mirzadeh H., Katbab A.A. "Modification of polysiloxane polymers for biomedical applications: a review". //Polym. Int, 2001, vol. 50, № 5, pp. 1279-1287.
13. Finkelmann H., Kock Yans-J., Rehage G. "Investigation on Liquid Crystalline Polysioxanes, liquid Crystalline Elastomers - A New Type of Liquid Crystalline Material". //Macromol. Chem., Rapid Commun., 1981, vol. 2, № 2, pp. 317-322.
14. Rindsdorf H., Schneller A. "Liquid Crystalline Side Chaim Polymers with Low Glass Transition Temperatures". //Macromol. Chem., Rapid Commun. 1982, vol. 3, №3, pp. 557-562.
15. Kawatsuki N., Sakashita., takatani K., Yamamoto T., Sangan O. "Synthesis, Characterization and Photoreaction of Side Chaim Liquid Crystalline Polymers Comprising Cinnamoyl Biphenyl Mesogen". //Macromol. Chem.Phys. 1996, vol. 197, № 12, pp. 1919-1935.
16. Godovsky Iu.K., Mamaeva I.I., Makarova N.N., Papkov V.S., Kuzmin N.N. "Influence of Molecular Weight on the Thermotropic Mesophase Behaviour of Polydipropylsiloxane". //Macromol. Chem., Rapid Commun., 1985, vol. 6, pp. 797-801.

17. Годовский Ю.К., Макарова И.И., Папков В.С., Кузьмин Н.Н. "Термотропная мезофаза в линейном полидипропилсилоксане". //Высокомол. соед. сер. Б, 1985, vol. 27, № 3, pp. 164-165.
18. Godovsky Iu.K., Makarova N.N., Papkov V.S., Kuzmin N.N. "Crystalline Phases and a Mesophase Poly(dipropylsiloxane)". //Macromol. Chem., Rapid Commun., 1985, vol. 6, pp. 443-450.
19. Rao A.V., Pajonk G.M., "Effect of methyltrimethoxysilane as a co-precursor on the optical properties of silica aerogels". //J. Non-Crystalline Solids, 2001, vol. 285, №1-2, pp. 202-209.
20. Ackerman W.C., Vlachos M, Rouanet S., Fruendt J., "Use of surface treated aerogels derived from various silica precursors in translucent insulation panels". // J. Non-Crystalline Solids, 2001, vol. 285, №1-2, pp. 264-271.
21. "Comprehensive Handbook on Hydrosilylation", Marciniec B., Pergamon Press, 1994, pp. 1-792.
22. "Encyclopedia of Catalysis", Marciniec B., Guli J., Maciejewski H., John Wiley & Sons Inc., 2002, p.1-28.
23. Pantode W., Wilcock D.F. "Methylpolysiloxanes". //J. Amer. Chem. Soc., 1946, v.68, pp. 358-363.
24. "Методы синтеза полиорганосилоксанов", Соколов Н.Н., М. ГЭН. 1959, 147 с.
25. Андрианов К.А. "Исследования в области алкил- и арилзамещенных эфиров кремниевой кислоты". //Журн. Общ. Химии, 1938, т.8, вып. 8, с. 1255-1263.
26. "Organosilicon compounds Scientific Publication", Eaborn G. London., 1960, p. 45.
27. Измаилов Б.А. "Синтез и свойства полиорганосилоксанов с высшими алкильными радикалами ". Автореф. дис. канд. хим. наук, М. МНТХТ им. Ломоносова 1967, 25 с.
28. Андрианов К.А. Ногаидели А.Н., Цховребашвили В.С., Накайдзе Л.Н., Жинкин Д.Я. "Реакции гидролиза ди- и трихлорсиланов жирно-ароматического ряда". //Докл. АН СССР., 1975, т. 223, №3, с.603-605.
29. Чернышев К.А., Комаленкова Н.Т., Ключкова Т.А., Кузмина Т.М., Бочкарев В.И. "Кремнийорганические гетероциклические соединения". //Журн. Общ. Химии, 1975. т. 45, вып. 10, с 2229-2234.
30. Шостаковский М.Ф., Кондратьев Х.Н. "Исследования в области синтеза и превращений кислородосодержащих кремнийорганических соединений". //Изв. АН СССР ОХН., 1956, №8, с. 967-973.
31. Ткешелашвили Р.Ш., Андрианов К.А., Ногаидели А.Н. "О реакции диметил- и фенилметилдихлорсиланов с 1,4-диметил-1,4-дигидранафталином". //Изв. АН. СССР. Сер.Хим., 1965, №8, с. 1396-1402.
32. Андрианов К.А., Ногаидели А.Н., Ткешелашвили Р.Ш. "О реакции конденсации дифенилдихлорсилана с 1,4-диметил-1,4-дигидранафталином". // Изв. АН. СССР. Сер. Хим., 1966, № 12, с. 2229-2230.
33. Ногаидели Г.А. "Синтез и превращения некоторых кремнийорганических соединений на основе дициклопентадиена". Автореф. дис.канд. хим. наук-Тбилиси, ТГУ, 1977, 22 с.
34. Hamman W.C., Hobbs C.P., Bauer D.J. "Methy(2-thyenyl and methyl(2-furyl)cyclosiloxanes". //J. Amer.Chem. Soc. 1967, v. 69, pp. 2841-2845.
35. Маркарашвили Е.Г. "Тиенилсодержащие органосиланы, силоксаны и полимеры на их основе". Автореф. дис.канд. хим. Наук- Тбилиси, ТГУ, 1988.
36. Пат. США 3340287 кл. 260-448. г."Способ получения смешанных циклотрисилоксанов". Sprok. Ch. R-Заявл. 20.06.66., опубл. 5.09.67. РЖХ 1968, 9C., 408 П.
37. Пат. США 3328346 кл. 260-46.5. //?"Метилфенилсилоксаны". Sprok. Ch. R-Заявл. 18. 12.61., Опубл. 27.06.64. РЖХ 1969, 2C, 373 П.

38. Жданов А.А., Андрианов К.А., Малыхин А.П., Емельянов В.Н. “О синтезе три- и тетрасилоксанов с функциональными группами у атома кремния”. //Изв.АН. СССР. Сер. хим., 1973, № 10, с. 2229-2303.
39. Пат. США 3328346 кл. 260-46.5// Циклополисилоксаны. Wu Т.С. Заяв. 28.12.64. опубл. 23. 07.68. РЖХ или 1969, 20 С, 251 П.
40. Жданов А.А., Андрианов К.А., Астапова Т.В., Виноградова Т.Ф. “Синтез смешанных диоргоноциклюсилоксанов с реакционными группами у атома кремния”. //Изв. АН. СССР. сер. хим. 1973, № 11, с. 2628-2629.
41. Чоговадзе Т.В. “Синтез и исследование свойств дициклопентадиенилсиланов и силоксанов”. Дис. канд. хим. Наук.-Тбилиси., ТГУ, 1979.
42. Андрианов К.А., Лаврухин Б.Д., Комов В.М., Пряхина Т.А., Стрелкова Т.В. “Анализ стереоизомеров метилвинилфенилциклотрисилоксанов и циклотетрасилоксанов по спектрам ЯМР”. //Изв.АН.СССР. сер. хим. 1978, №4, с. 843-850.
43. Цыганов Ю.П. “Закономерности реакции гетерофункциональной конденсации силанов с хлорсиланами”. Автореф. Канд. канд. хим. наук, Ленинград, ВНИИСК 1983, 23 с.
44. Андрианов К.А., Зачернюк А.Б. “Синтез органохлорциклотрисилоксанов”. //ЖВХО им Д.И. Менделеева, 1974, т.19, №1, с. 107-110.
45. Андрианов К.А., Зачернюк А.Б. “Реакция замещения в органоциклюсилоксанах, содержащих функциональные группы у атома кремния”. //Химия Гетероц. Соед., 1972, №8, с.1183-1185.
46. Зачернюк А.Б., Бурлова Е.А., Жданов А.А. “О синтезе органоциклюсилоксанов с функциональными группами у атома кремния”. //Журн. Общ. Химии, 1985, т.55, вып. 6, с. 1368-1376.
47. Андрианов К.А., Ермакова М.Н., Дмитриев Н.А., Шкловер В.Е., Бокий Н.Г., Стручков Ю.П. “О реакций полициклизации винилхлорсилана с дифенилсиландиолом и 1,3-ди-гидрокситетрафенилдисилоксаном”. //Докл.АН.СССР, 1975, т. 220, №6, с. 1321-1324.
48. Жданов А.А., Дмитриев Н.А., Ермакова М.Н., Лаврухин Б.Д., Стрелков Т.В. “ Гетерофункциональная конденсация винилтрихлорсилана с кремнийорганическими диолами”. //Журн. Общ. Химии, 1984, т 54, вып 2, с. 343-345.
49. Макарова Н.Н., Петрова Н.М., Годовский Ю.К., Лаврухин Б.Д., Жданов А.А. “Синтез стереорегулярных циклонинейных метилсилоксановых сополимеров с различным размером цикла в макромолекулярной цепи”. //Докл. АН. СССР, 1982, т. 269, №6, с. 1368-1374.
50. Меладзе С.М., Мукбаниани О.В., Хананашвили Л.М. “Гетерофункциональная конденсация 1,3-дигидрокситетрафенилдисилоксана с органохлорсиланами и четырехлорористым кремнием”. //Журн. Общ. Химии, 1980, т.51, вып.7, с. 1624-1628.
51. Андрианов К.А., Зачернюк А.Б., Данилов С.А. “ Гетерофункциональная конденсация хлорсиланов с тетра- и гексафенилсилоксандиолами”. //Химия Гетероц. Соед., 1972, №7, с. 893-896.
52. Коява Н.А., Мукбаниани О.В. “Синтез органоциклюсилоксанов с функциональными группами у атома кремния”. // Тез.докл. Всесоюз.конф. по химии и применению кремнийорганических соединений. Тбилиси, 1980, т. 1, С-20.
53. Макарова Н.Н., Лаврухин Б.Д., Тимофеева Т.В, Зеленчева В.Н. “Синтез и некоторые свойства дифункциональных декаоргоноциклогексасилоксанов”. //Изв. АН.СССР, сер. хим., 1985, №5, с. 1114-1121.
54. Игнатьева Г.М., Карпова Н.В., Одинец В.А. “Дифункциональные (арилэтил)метилдиметилциклюсилоксаны”. // I Всесоюзн. конф. по химии и применению кремнийорганических соединений, Рига 1986, с. 237-238.

55. Ачелашили В.А., Мукбаниани О.В., Хананашвили Л.М., Николадзе В.С., Цицишвили В.Г. “ Синтез линейных органосилоксанов с функциональными группами и некоторые их превращения”. //Журн. Общ. Химии, 1986, т.56, вып. 7., с. 1530-1535.
56. Жданов А.А., Астапова Т.В., Лаврухин Б.Д. “Синтез и спектры ЯМР органобициклосилоксанов с этиленовыми мостиками”. //Изв. АН СССР, сер. хим., 1988, №3, с. 657-662.
57. Карчхадзе М.Г., Ткешелашвили Р.Ш., Хананашвили Л.М., Лабарткава М.О. “Синтез и строение органоциклических силоксанов с α -нафтильными радикалами у атома кремния”. // Журн. Общ. Химии, 1990, т.60, вып.7, с. 1567-1572.
58. Лукевич Э.Я., Воронков М.Г. “Гидросилилирование, гидрогермилирование, гидростаннилирование”. Изд. АН Латвийский ССР, Рига, 1964, с. 7-17.
59. Benkeser R.A., Cunico R.F. “Skeletal rearrangements in the reaction of trichlorosilane with t-butylcyclohexanes”. //J.Organomet. Chem., 1966, 6, pp. 441-443.
60. Рейхсфельд В.О., Астраханов М.И., Каган Е.Г. “Гомогеннокатализическое гидросилилирование в присутствии платиностирольных комплексов”. // Журн. Общ. Химии, 1970, т. 40, с. 699-704.
61. Лукевич Э.Я. “Новейшие исследования реакции гидросилилирования”. //Успехи химии, 1977, 46, с. 507-521.
62. Chalk A.J., J.F.Herrod. “Homogenous Catalysis”. II. “The Mechanism of the Hydrosilylation Of Olefins Catalyzed by Group VIII Metal Complexes”. // J. Amer. Chem. Soc., 1965, 87, p. 16-20.
63. Рейхсфельд В.О., Королева Г.Н. “Исследование в области монооргансиланов”. X. “Кинетика взаимодействия с гексеном-1 и метилстиролом ”. // Журн. Общ. Химии, 1966, т. 36, с. 1474-1477.
64. Королева Г.Н., Рейхсфельд В.О. “Исследование в области монооргансиланов”. XII. “Присоединение монооргансиланов ненасыщенным соединениям”. //Журн. Общ. Химии, 1967, т. 37, с. 2559-2564.
65. Королева Г.Н., Рейхсфельд В.О. “Исследование в области монооргансиланов”. XIV. “О закономерностях в реакциях присоединения монооргансиланов к непредельным соединениям ”. // Журн. Общ. Химии, 1967, т. 37, с. 2768-2774.
66. Рейхсфельд В.О., Королева Г.Н. “Исследование в области монооргансиланов”. XV. “Влияние растворителей на реакционную способность монооргансиланов в реакциях присоединения непредельных соединений ”. //Журн. Общ. Химии, 1967, т. 37, с. 2774-2777.
67. Померанцева М.Г., Белякова З.В., С.А., Шварц Н.С. “Получение карбофункциональных органосимланов по реакции присоединения ”. РИИТЕХИМ, М, 1971, с. 85-95.
68. Barry A.J., L.Depree, Hook D.E. “The Reaction of Olefins and Chlorohydrosilanes”. //J. Am. Chem. Soc., 1947, v. 69, pp. 2916-2920.
69. Barry A.J., Depree L., Hook D.E. “Cycloaliphatic silanes”. C.A., 1951, 45, 3409 i.
70. Hatcher D.B., Bunnell R.H. “Cycloaliphatic silanes”. C.A., 1951, 45, 7590 i.
71. Hatcher D.B., Bunnell R.H. “Organosilicon resins ”. C.A., 1955, 47, 3613 i.
72. Hatcher D.B., “Cyclic organosilicon compounds ”. C.A., 1955, 49, 1105 g.
73. Lipscomb R.D. “Organosilanes ”. C.A., 1951, 46, 6141b.
74. Goldblatt L.O., Oldroyd D.M. “Organochlorosilanes”. C.A., 1951, 45, 2262 d.
75. Воронков М.Г., Романова Н.Г. “Термическое присоединение трихлорсилана к диофильновым углеводородам”. //Журн. Общ. Химии, 1958, т. 28, с. 2122-2128.
76. Миронов В.Ф., Непомнича В.В. “Синтез алкенилсиланов высокотемпературной конденсацией непредельных соединений с кремнийгидридами”. //Изв. АН СССР, сер. хим., 1961, с. 1886-1888.

77. Миронов В.Ф., Максимова Н.Г., Непомнина В.В. “Синтез кремнийорганических соединений, содержащих циклопентильный, циклопентенильный и циклопентадиенильный радикалы”. //Изв. АН СССР, сер. хим., 1967, с. 329-334.
78. Платэ А.Ф., Петров А.Д., Чернишев Е.А., Долгая М.Е., Беликова Н.А., Краснова Г.Л., Лейтес Л.А., Прянишникова М.А., Тац Г.С., Козыркин Б.И. “Получение кремнийорганических производных бицикло(2,2,1)гептана”. //Журн. Общ. Химии, 1961, т. 31, с. 1199-1208.
79. Schmerling L., Luvisi J.P., Welch R.W. “Some Reactions of 2,5-Norbornadiene (Bicyclo(2,2,1)-2,5-heptadiene)”. //J.Am.Chem. Soc., 1956, v. 78, pp. 2819-2822.
80. Roberts J.D., Trumbull. E.R. “The reaction of Norbornylene with N-Bromosuccinimide. Nortricyclene and its Derivative”. //J.Am.Chem. Soc., 1950, v. 72, pp. 3116-3119.
81. Чоговадзе Т.В., Ногаидели А.И., Хананашвили Л.М., Накаидзе Л.И., Цховребашвили В.С., Гусев А.И., Нестеров Д.Ю. «О реакции гидросилирирования дициклопентадиена». //Доклады Академии Наук СССР. 1979, т. 246, №4, с. 891-895.
82. “Теоретические проблемы органической химии”. Реутов О.А., Курц А.Л., Бутин К.П. Изд. Москва, Бином, Лаборатория Знаний, 2005, ч. 4, с. 215-216.
83. Андрианов К.А., Сидоров В.И., Хананашвили Л.М. “О реакциях присоединения метилвинилхлорсилана и ненасыщенных органических соединений к пентаметилдисилоксану и 3-н-гептаметилтрисилоксану”. //Изв. АН СССР, сер. хим., 1967, с. 321-329.
84. Ryan J.W., Speier J.L. “The addition of Silicon Hydrides to Olefinic double bonds. VIII. The Addition of Trichlorosilanes”. //J.Am.Chem. Soc., 1964, v.86, pp. 895-899.
85. Sommer L.H., Lyons J.E., Fujimoto H., Michael K.W. “Stereo specific exchange reactions of optically active $R_3SiH(D)$ catalyzed by group VII metals”. //J.Am.Chem. Soc., 1967, v. 89, pp. 5483-5485.
86. Каган Е.Г. “К вопросу о механизме гомогенно-катализитического гидросилирирования в присутствии $H_2PtCl_6 \cdot H_2O$ ”. //Журн. Общ. Химии, 1967, т. 37, с. 1692-1693.
87. Ногаидели А.И., Чоговадзе Т.В., Ногаидели Г.А. “Реакция гидросилирирования дициклопентадиена некоторыми органохлорсиланами и силоксанами”. //Сообщ. АН ГССР, 1976, т. 82, с. 589-592.
88. Bruson H.A., Reiner F. “The Chemistry of Dicyclopentadiene Hydration and Rearrangement”. // J.Am.Chem. Soc., 1945, v.67, pp. 723-728.
89. Bruson H.A. “Trihalotetrahydronopolycyclopentadienes”. C.A., 1946, 40, 364. “Hydroxydihydronopolycyclopentadienes”. C.A., 1946, 40, 1885.
90. Ногаидели Г.А. “Синтез и превращение некоторых кремнийорганических соединений на основе дициклопентадиена”. Канд. дисс. ТГУ, Тбилиси, 1977.
91. Чоговадзе Т.В. “Синтез и исследование свойств дициклопентадиенилсиланов и – силоксанов”. Канд. дисс. ТГУ, Тбилиси, 1979.
92. Ногаидели А.И., Чоговадзе Т.В., Соколов В.В. “Реакций гидрирования кремнийорганических соединений с дициклопентельными группами у атома кремния”. //Тезисы I Все-союзного симпозиума по строению и реакционной способности кремнийорганических соединений”. Иркутск, 1977, с. 270.
93. Магомедов Г.К.И., Школьник О.В., Хананашвили Л.М., Накаидзе Л.И., Кацитадзе М.Г. “Катализ карбонилами кобальта реакции гидросилирирования дициклопентадиена хлорсиланами”. //Металлоорг.хим., 1988, вып. 1, с. 232-234.
94. Cornish A. J., Lappert M. F., Nile T. A. “Selective addition of hydrosilanes to 1,3-dienes catalyzed by polyamide-supported metal complex catalysts”. // J. Organometal. Chem., 1977, vol. 136, № 1, pp. 73-85.
95. Cornish A. J., Lappert M. F., Nile T. A. “A The Insertion of Diene Hydrocarbons in a Transition Metal–Ligand Bond”. //J. Organometal. Chem., 1977, vol. 132, №1, pp. 138-148.

96. Kiso Y., Kumada M., Tamao K., Umeno M. "Nickel-catalyzed regio- and stereoselective homo 1,4-dialkenylation of conjugated dienes ". //J. Organometal. Chem., 1973, vol 50, №1, pp. 297-310.
97. Yamamoto K., Hayashi T., Uramoto Y. et al. "Catalytic asymmetric hydrosilylation of olefins. II. Chiral phosphine-Nickel(II) and -rhodium(I) complex-catalyzed reaction ". //J. Organometal. Chem., 1976, vol.118, № 3, p. 331-349.
98. Kiso Y., Jamamoto K., Tamao K., Kumada M. "Asymmetric homogeneous hydrosilylation with chiral Phosphine-palladium complexes ". //J. Amer. Chem. Soc., 1972, vol. 94, № 12, pp. 4373-4374.
99. Юрьев В.П., Салимгариева И., Каверин В.В., Толстиков Г.А. «Гидросилирование циклоолефинов». // Журн. Общ. Химии, 1977, 47, с. 355-359.
100. Юрьев В.П., Салимгариева И.М., Жебаров О.Ж., Каверин В.В., Рафиков С.Р. «О гидросилировании ненасыщенных соединений трихлорсиланами». //Докл. АН ССР, 1976, т. 229, №4, с. 892-895.
101. Yamamoto K, Kumada M. " Hydrosilation of cyclooctadienes and bicyclo[3.3.0]octene-2". // J.Organomet. Chem., 1968, №13, pp. 131-137.
102. Kumada M., Kiso Y., Umeno M. "Nickel(II) complexes as catalysts in the hydrosilylation of olefins ". //Chem.Commun., 1970, №3, pp. 611-617.
103. Максимова Л.Н., Кошутин В.И. "Гидросилирование аллилцикlopентадиена". //Ж. Общ. Хим., 1974, т. 44, №10, с. 2180-2182.
104. Петров А.Д., Пономоренко В.А., Соколов Б.А., Одабашян Г.В. «Изучение реакции присоединения гидридсиланов к непредельным соединениям в присутствии платинированного угля». //Изв. АН ССР. ОХН, 1957, №10, с. 1206-1217.
105. Speier J.L., Webster J.A., Barnes G.H. "The Addition of Silicon Hydrides to Olefinic Double Bonds. Part II. The Use of Group VIII Metal Catalysts ". //J.Am.Che. Soc., 1957, vol. 3, pp. 974-979.
106. Пат. 2823218 (США), 1958. "Кремнийорганические соединения". С.А., 1959, vol. 53, 16965
107. US Patent, 6245925, 2001; Endo Mikio, Tonomura, Yoichi, Kubota, Tohru, " Hydrosilylation of 4-vinyl-1-cyclohexene".
108. Manners I. "Polymers and the Periodic Table: Recent Developments in Inorganic Polymer Science". // Angew. Chem., Int. Ed. Engl 1996, vol. 35, №12, pp. 1602-1621.
109. Abbasi F., Mirzadeh H., Katbab AA. "Modification of polysiloxane polymers for biomedical applications: a review". // Polym. Int, 2001, vol. 50, № 5, pp. 1279-1287.
110. «Modification Reactions of Oligomethylhydridesiloxanes», Mukbaniani O.V., Tatrishvili T.N., and Zaikov G.E. The book, Nova Science Publisher, Inc. Huntington, New York, 2007, pp. 1-228.
111. Mukbaniani O.V., Gurgenidze G.N., Meladze S.M., and Khananashvili L.M. «Dehydrocondensation and Hydrosilylation Reactions of Methylhydridesiloxane to Allyl Alcohol». //Russian Polymer News, 2001, v. 6, №4, pp. 18-24.
112. გურგებიძე გრიგოლი. საკანდიდატო დისერტაცია, "სავარცხლისებური აღნაგობის მეთოდსილოქსანური ოლიგომერების სინთეზი და კვლევა". თბილისი 2003 წ., თბილისის სახელმწიფო უნივერსიტეტი.
113. Mukbaniani O.V., Scherf U., Gurgenidze G.N., Karchkhadze M.G., Meladze S.M., Khananashvili L.M. «Comb-type Organosilicon Compounds with Epoxy Groups in the Side Chain». //Intern. Journ. of Polymeric Materials, 2001, v. 48, № 3, pp. 267-293 .
114. ჭავჭავა ეთერი. საკანდიდატო დისერტაცია, "გოგირდ- და სილიკოუმბურცველი ზოგიერთი ეთერის სინთეზი და მაღალმოლეკულური ნაერთები მათ ბაზაზე". თბილისი 1998 წ., თბილისის სახელმწიფო უნივერსიტეტი.

115. Chachua E.I., Mukbaniani O.V., Gadzhiev-Shengelia D., Karchkhadze M.G., Khananashvili L.M., Samsonia A.Sh. «Methylsiloxane Oligomers with Thioalyl Fragments in the Side Chain». //Bulletin of the Georgian Academy of Sciences, 1998, №2, pp. 82-85.
116. ფიცხელიანი ნანა. საკანდიდატო დისერტაცია, “ α,ω -ბის(გრიმეთილსილოქსი)მეთილპიდრიდიდსილოქსანის პიდრიდული მიერთების რეაქციები აკრილისა და მეთაკრილის მევებთან და მათ ეთერებთან”. თბილისი 2003 წ., თბილისის სახელმწიფო უნივერსიტეტი.
117. Mukbaniani O., Zaikov G., Pirckheliani N., Tatrishvili T., Meladze S., Pachulia Z., Labartkava M. «Hydrosilylation and Dehydrocondensation Reactions of Methylhydridesiloxane to Acrylic and Methacrylic Acids». //Journ. Applied Polymer Science, 2007, v.103, pp. 3243–3252.
118. ფირცხელიანი ნ., თათრიშვილი თ., მუკბანიანი ნ., ხანანაშვილი ლ., ლაბარტყავა მ., მუკბანიანი ო. « α,ω -ბის(გრიმეთილსილოქსი)მეთილპიდრიდიდსილოქსანის პიდრიდული მიერთების რეაქცია მეთაკრილის მევას სილილირებულ ეთერთან». საქართველოს მეცნიერებათა აკადემიის მაცნე. ქიმის სერია 2004, ტ. 30, №3-4, გვ. 261-265.
119. ფირცხელიანი ნ., თათრიშვილი თ., მუკბანიანი ნ., ხანანაშვილი ლ., ლაბარტყავა მ., მუკბანიანი ო. « α,ω -ბის(გრიმეთილსილოქსი)მეთილპიდრიდიდსილოქსანის პიდრიდული მიერთების რეაქცია მეთაკრილის მევას სილილირებულ ეთერთან». საქართველოს მეცნიერებათა აკადემიის მაცნე. ქიმ. სერია 2004, №3-4, გვ. 62-67.
120. Movsum-Zade E.M. «Hydride addition of cyclolinear polymethylhydridesiloxane to acrylonitrile ». //Azerb. Khim.Zhurn., 1981, №1, pp. 90-94.
121. Angelone R., Caste C., Castelvetro V., Ciardelli F., Colligiani A., Greco F., Mazzotta A., Ruggeri G. «synthesis and electrooptical characterization of polysiloxanes containing indolyl groups acting as photoconductive substrates for photorefractive materials». //e-Polymers, 2004, №75, pp. 1-15.
122. Wermter H., Finkelmann H. «Liquid crystalline elastomers as artificial muscles ». //e-Polymers, 2001, №13, p. 1-13.
123. Finkelmann H., Rehage G. «Investigation on liquid crystalline polysiloxanes, I Synthesis and characterization of linear polymers ». // Macromol. Chem., Rapid Commun., 1980, v.1, №1, pp. 31-34.
124. Li Zh., Li J., Qin J., Qin A., Ye Ch. «Synthesis and characterization of polysiloxanes containing carbazolyl and sulfonyl-indole based chromophore as side chains ». //Polymer, 2005, v.46, №2, pp. 363-368.
125. Mukbaniani O., Tatrishvili T., Titvinidze G., Mukbaniani N., Brostow W., Pietkiewicz D. «Formation of Polymethylsiloxanes with Alkyl Side Groups». //Journ. Applied Polymer Science, 2007, v. 104, Issue 2, pp. 1176-1183.
126. Hieronim Maciejewski, Agata Wawrzynczak, Michał Dutkiewicz and Ryszard Fiedorow. “Silicone waxes—synthesis via hydrosilylation in homo- and heterogeneous systems”. //Journal of Molecular Catalysis A: Chemical, 2006, v. 257, Issues 1-2, pp. 141-148.
127. Antic V.V., Antic M.P., Govendaricam N., Dvornic P.R.. Kinetics and Mechanism of the Formation of Poly[(1,1,3,3-tetramethyldisiloxanyl)ethylene] and Poly(methyldecylsiloxane) by Hydrosilylation. Journal of Polymer Science: Part A: Polymer Chemistry, 2007, v. 45, pp. 2246–2258.
128. Mukbaniani O., Tatrishvili T., Titvinidze G., Mukbaniani N. «Hydrosilylation reactions of methylhydridesiloxane to styrene and α -methylstyrene». //Journal of Applied Polymer Science, 2006, v. 101, Issue 1 , pp. 388–394.

129. Mukbaniani O., Tatrishvili T., Titvinidze G., Mukbaniani N., Lezhava L., Gogesashvili N. «Hydrosilylation Reaction of Methylhydridesiloxane to Phenylacetylene». //Journ. Applied Polymer Science, 2006, v. 100, pp. 2511-2515.
130. Karatas Y., Kaskhedikar N., Burjanadze M., Wiemhofer H-D. “Synthesis of cross-linked comb polysiloxane for polymer electrolyte membranes”. // Macromol. Chem. Phys., 2006, v. 207, pp. 419–425.
131. Jian Ming Yu, Dominique Teyssie, and Sylvie Boileau. “Hydrosilylation of allyl carbonates by polymethylhydrosiloxane and related side-reactions”. //Polymer Bulletin 1992, v.28, pp. 435-440.
132. Siska D. P. and Shriver D. F. “ Li^+ Conductivity of Polysiloxane-Trifluoromethylsulfonamide Polyelectrolytes”. //Chem. Mater. 2001, 13, pp. 4698-4700.
133. Zhang H.B., Ling Y., Fu R.N., Wen Y.X., Gu J.L. “A New Gas Chromatographic Stationary Phase: Polysiloxane with β -Cyclodextrin Side Chain for the Separation of Chiral and Positional Isomers”. //Chromatographia, 1997, v. 46, No. 1/2, pp. 155-170.
134. Zhengcheng Zhang, Leslie J. Lyons, Ryan West. Khalil Amine & Robert West. Synthesis and ionic conductivity of mixed substituted polysiloxanes with oligoethyleneoxy and cyclic carbonate substituents. Silicon Chemistry, 2005, 3, pp. 259–266.
135. Ki Hong Min, Dae Beom Kim, Yong Ku Kang, Dong Hack Suh. Ionic Conductivity and Morphology of Semi-Interpenetrating-Type Polymer Electrolyte Entrapping Poly(siloxane-g-allyl cyanide). //Journal of Applied Polymer Science, 2008, v. 107, pp. 1609–1615.
136. Metha Rutnakornpituk. “Modification of epoxy-novolac resins with polysiloxane containing nitrile functional groups: synthesis and characterization”. //European Polymer Journal 2005, v. 41, pp. 1043–1052.
137. Ачелашвили В.А., Коберидзе Х.Е., Комаленкова Н.Г. «Органоцикlosилоксаны с силациклопентен-3 фрагментами в цепи и их полимеризация». //VII Всесоюзная конференция по химии, технологии производства и практическому применению кремнийорганических соединений, Тезисы докладов, Тбилиси, 1990, ч. 1, с. 223.
138. Ткешелашвили Р.Ш., Коберидзе Х.Е., Комаленкова Н.Г., Хананашвили Л.М. «Синтез кремнийорганических соединений с силациклопентен-3 обрамляющими группами у атомов кремния». //Андиановские Чтения, посвященные 90-летию со дня рождения Академика К.А. Андианова, Тезисы докладов, Москва, 17-19 Января, 1995, 161, с. 43.
139. ქობერიძე ხ., თათრიშვილი თ., მუკბანიანი ო. “სილაციკლოპენტენ-3 ჯგუფის შემცველი ზოგიერთი სილიციუმორგანული ნაერთის სინთეზი და გარდაქმნა”. //საქართველოს მეცნიერებათა აკადემიის მაცნე, ქიმიის სერია, 2009, ტ. 35, №3, გვ. 297-301.
140. «Спектрометрическая идентификация органических соединений». Сильверстейн Р., Басслер Г., Морил Т., Издат. «Мир», Москва 1977, с. 590.
141. «Инфракрасные спектры сложных молекул». Беллами Л., Изд., ИЛ. М., 1963, с. 480-485.
142. «Колебательные спектры элементоорганических соединений элементов IVB и VB группы». Чумаевский Н.А., Москва, Изд., Наука, 1971.
143. Кононов Н.Ф., Лапшина Я.Ш., Новиков С.С. //Известия АН Укр. ССР, 1953, №1, с. 112-115.
144. Петров А.Д., Плате А.Ф., Чернышев У.А., Долгая М.А., Беликова Н.А., Краснова Т.Л., Лейтис Л.А., Прянишникова М.А., Таитс Г.С., Козыркин Б.И. «Получение кремнийорганических производных бицикло(2,2,1)гептана». //Журн. Общ. Химии, 1961, 31, с. 1199-1203.

145. Mukbaniani O., Karchkhadze M., Koberidze Kh., Meladze S., Tkeshelashvili R., Aneli J. «Cyclic and Linear Organosiloxanes with Norbornene-2-il Groups at Silicon Atom». //Proceedings of the Georgian Academy of Sciences, 2001, v.27, №1-2, pp. 53-57.
146. Юрьев В.П., Салимгариева И.М., Жебаров О.Ж., Каверин В.В., Рафиков С.Р. «О гидросилировании ненасыщенных соединений трихлорсиланами». //Докл. АН ССР, 1976, т. 229, №4, с. 892-895.
147. Yamamoto K, Kumada M. "Hydrosilation of cyclooctadienes and bicyclo[3.3.0]octene-2". // J. Organomet. Chem., 1968, №13, pp. 131-137.
148. თათრიშვილი თ., კობერიძე ხ., ქოიაგა ნ., მუკბანიანი ო. "მეთილჰიდრიდსილოქსანების ჰიდრიდული მიერთების რეაქციები ცის-1,5-ციკლოოქტადიენის". //საქართველოს მეცნიერებათა აკადემიის მაცნე, ქიმიის სერია, 2009, გ. 35, №3, გვ. 302-306.
149. Mukbaniani O.V., Scherf U., Karchkhadze M.G., Koberidze Kh.E., Labartkava M.O. «Hydride Addition of Methylhydridesiloxanes to Dicyclopentadiene». //Intern. J. of Polymeric Materials, 2000, v.48, №2, pp. 177-191.
150. Mukbaniani O., Zaikov G., Tatrishvili T., Mukbaniani N., Koberidze Kh. «Modification Reactions of Methylhydrosiloxanes with Tricyclodecadiene». //Macromolecular Symposia, 2007, v. 247, pp. 411-419.
151. Mukbaniani O.V., Zaikov G.E., Tatrishvili T., Mukbaniani N., Koberidze Kh.. "Modification of Methylhydrosiloxanes with tricyclodecadiene", Chapt. 10, p. 149-162. in the book Mukbaniani O.V., Tatrishvili T.N., and Zaikov G.E. «Modification Reactions of oligo-methylhydridesiloxanes». Nova Science Publisher, Inc. Huntington, New York, 2007.
152. Dewar, M.I.S.; Zeobish, E.G.; Healy, E.F.; Stewart, J.S. J. "Development and use of quantum mechanical molecular models. 76. AM1: a new general purpose quantum mechanical molecular model". //Am. Chem. Soc., 1985, 107, pp. 3902-3909.
153. Мукбаниани О.В., Коберидзе Х.Э. «Гидридное присоединение метилгидридисилоксана к 1,3-циклогексадиену». //Тезисы докл. конференции посвященной к 95 со дня рождения акад. К.А. Андрианова. Москва, 1-4 Февраля 2000, С37 .
154. თათრიშვილი თ., კობერიძე ხ., მუკბანიანი ო., ფაჩულია ზ. "მეთილსილოქსანების თლივომერების სინთეზი უჯერი ბმებით გვერდით ჯაჭვში". //V რეპუბლიკური კონფერენცია ქიმიაში. მოხსენებათა თეზისები. თბილისი, 2004 წ., გვ. 56.
155. Mukbaniani O.V., Zaikov G.E., Tatrishvili T., Mukbaniani N., Koberidze Kh. "Hydride addition of methylhydrosiloxanes to cyclohexa-1,3-diene", Chapt. 11, p. 163-178, in the book O.V. Mukbaniani, T.N. Tatrishvili and G.E. Zaikov. «Modification Reactions of Oligo-methylhydridesiloxanes». Nova Science Publisher, Inc. Huntington, New York, 2007, pp. 1-228.
156. Mukbaniani O., Zaikov G., Scherf U., Meladze S., Tatrishvili T., Pachulia Z., Koberidze Kh., Labartkava M. «Hydride Addition of Methylhydridesiloxane to 1,3-Cyclohexadiene». //Journal of the Balkan Tribological Association 2005, v.1, #1, pp. 1-15.
157. O. Mukbaniani, T. Tatrishvili, Kh. Koberidze. "Hydrosilylation reaction of methylhydrosiloxane with cyclohexa-1,3-diene". Abstracts of communications of Frontiers in polymer science. International Symposium Celebrating the 50 th Anniversary of the Journal Polymer 7-9 June, 2009, Congress Centrum Mainz, Germany, P2-20.
158. Анели Дж.Г., Мукбаниани О.В., Коберидзе Х.Е., Хананашвили Л.М. «Влияние способа вулканизации на электропроводность наполненных кремнийорганических резин». //Каучук и Резина, 1997, №4, с. 29-31.
159. Aneli J.N., Koberidze Kh.E., Mukbaniani O.V., Karchkhadze M.G., Khananashvili L.M. «Influence of the Method of Vulcanization on Electro conductivity of Filled Siliconorganic Rubbers». // Russian Polymer News, 1998, v.3, №4, pp. 7-9.

160. ანელი კ., მუქბანიანი თ., ქარჩხეაძე გ., ტყეშელაშვილი რ., კობერიძე ს. “დებ-გამტარი სილიციუმორგანული კომპოზიცია”. საიდენტ. № 9326/01, 2009. 05. 11.
161. “Усиление эластомеров”. Краус Дж., Пер. с англ. //Под ред. К.А. Печковской. М.: Химия, 1968, 484 с.
162. “Вулканизация и вулканизующие агенты”. Гофман В. Пер. с Нем./ Под. ред. И.Я. Поддубного. М.: Химия, 1968.- 464 с.
163. Schatz M., Novak V. „Elektroleitfähiger Silikongummi“ //Plaste und Kautschuk. 1977. Bd. 24. N8. pp. 567-570.
164. Khananashvili L.M., Mukbaniani O.V., Inaridze I.A., Porchkhidze G.V., Koberidze Kh.E. «Organosilicon Polycyclic Copolymers of Bead-Like Structure». //European Polymeric Journal, 1998, v.34, №3/4, pp. 581-584.
165. Галашина Н.М. “Полимеризационное наполнение как метод получения новых композиционных материалов”. //Высокомол. соед. 1994. т. 36. № 4. с. 640-650.
166. «Физическая химия наполненных полимеров». Липатов Ю.С. М.: Химия, 1977, 304 с.
167. «Радиационная химия эластомеров». Махлис Ф.А. М.: Химия, 1976, 154 с.
168. Анели Дж.Н., Пагава Д.Г., Какулия Ц.В., Цомая Н.И. “Влияние расстяжения на свойства электропроводящих кремнийорганических резин”. //Каучук и резина. 1991, № 4, с.13-15.
169. «Электропроводящие полимерные композиции». Гуль В.Е. Шен菲尔ль Л.З. М.: Химия, 1984. 240 с.
170. «Циклопентадиен и его превращения». Гасанов А.Г., Садыхов Ф.М., Мусаев М.Р. Баку, Издательство «Горгуд», 1998, с. 11-13.
171. «Диеновый синтез», Онишенко А.С., М. Изд-во АН СССР, 1963, 650 с.